

ГОСУДАРСТВЕННЫЙ КОМИТЕТ СССР  
ПО ГИДРОМЕТЕОРОЛОГИИ

Ордена Ленина Гидрометеорологический  
научно-исследовательский центр СССР

---

РУКОВОДСТВО  
ПО ГИДРОЛОГИЧЕСКИМ  
ПРОГНОЗАМ

Выпуск 2

Краткосрочный прогноз  
расхода и уровня воды  
на реках

Одобрено

Центральной методической комиссией  
по гидрометеорологическим прогнозам  
Госкомгидромета СССР

30 марта 1968 г.

Утверждено

Президиумом Государственного комитета СССР  
по гидрометеорологии Ю. А. Израилем

3 апреля 1968 г.

## Предисловие

За последние десятилетия в нашей стране стало больше уделяться внимания проблеме рационального использования водных ресурсов. Эта проблема поставила новые задачи перед практикой краткосрочных водных прогнозов, от надежности которых в определенной степени зависит эффективность эксплуатации водозахватных комплексов, а также своевременное принятие потребителем оперативных мер при угрозе опасных гидрологических явлений.

Решение указанных задач обусловило проведение исследований по совершенствованию традиционных и разработке новых методов краткосрочных водных прогнозов с использованием электронных вычислительных машин и математических моделей. В связи с этим со времени первого издания Руководства по гидрологическим прогнозам (1964 г.) методическая база краткосрочных прогнозов существенно изменилась и расширилась. Это побудило подготовить второе издание Руководства, в котором некоторые методы приведены без изменений по сравнению с 1964 г., а значительная часть их излагается впервые. Настоящий выпуск Руководства состоит из трех частей.

В первой части изложены методы краткосрочных прогнозов расхода в устьях вод на участках рек, основанные на приближенных приемах учета закономерностей перемещения и трансформации паводочных вод в речных руслах. Большое внимание уделено методам, основанным на использовании линейных моделей трансформации.

Во второй части рассмотрены методы прогноза талого и дождевого стока для небольших водосборов, основанные на использовании данных об осадках и снежном покрове. Значительное место в ней занимают математические модели формирования гидрографа половодья и дождевых паводков.

В третьей части даны методы прогноза для речных систем, которые построены на одновременном использовании способов, рассмотренных в первой и второй частях.

Большинство рассматриваемых методов адаптируется приемами их применения. Поскольку многие методы ориентированы на использование электронных вычислительных машин, в приложении дан перечень имеющихся в отраслевом фонде алгоритмов и программ (ОФАП) Госкомгидромета СССР программных средств и их краткая характеристика.

При подготовке настоящего выпуска Руководства использованы учебные и практические пособия: Б. А. Аллолов, Г. П. Калинин, В. Д. Комаров «Курс гидрологических прогнозов» (1974 г.),

Е. Г. Полов «Гидрологические прогнозы» (1979 г.), Р. А. Нежновский «Способы по краткосрочным прогнозам годового стока рек» (1973 г.), Н. Ф. Бегин, Г. П. Калинин «Упражнения и методические разработки по гидрологическим прогнозам» (1983 г.); научные работы, выполненные в Гидрометцентре СССР, ГГИ и региональных НИИ, а также опыт, накопленный в оперативной практике Службы гидрологических прогнозов нашей страны.

Руководство составлено коллективом сотрудников Гидрометцентра СССР: введение, гл. 2—4, 7 и п. 6.1, 6.3 написаны В. И. Коржем, гл. 1, 8 и п. 2.2—П. Ю. Харченко, гл. 9 и п. 6.4—В. М. Мухомов, п. 6.2 и 7.2—А. П. Жидковом и Н. С. Начасовой, гл. 5—В. А. Бельчиковым и В. И. Коржем. При подготовке гл. 3 и п. 6.3 использованы материалы, представленные А. В. Ромашовым и М. Н. Соседко. Общее руководство и научное редактирование осуществлялось А. П. Жидковым, В. И. Коржем и Е. Г. Половым.

109a0m0aaefnyaaar 0-iaeaana aadbuu

## Введение

Всем гидрологическим процессам в большей или меньшей степени присуща изменчивость. Чем меньше заблаговременность прогноза, тем в большей мере будущее состояние водного объекта зависит от текущего его состояния. В связи с этим в краткосрочных прогнозах значительно большее место занимают детерминистические методы, основанные на общих законах физики. Однако вследствие чрезвычайной сложности и неравномерности гидрометеорологических процессов, а также ограниченности данных наблюдений при разработке практических методов прогноза приходится прибегать к значительной схематизации реальных процессов и упрощению уравнений математической физики. В силу этого методом прогноза в большей или меньшей степени носят эмпирический либо полуматематический характер. Поэтому очень важную роль играют данные наблюдений, которые используются при разработке методов (определение параметров и элементов водного баланса, установление графических связей).

Несмотря на большое разнообразие методов краткосрочных прогнозов водного режима по физическим предпосылкам их можно разбить на три группы:

1. Методы, основанные на закономерностях процессов, происходящих в речевой сети. Чаще всего это методы прогноза для участков сравнительно крупных рек. Расчетные соотношения этих методов получаются в результате различных упрощений уравнения неразрывности водного потока и динамического уравнения. Для составления прогноза используются данные гидрометрических наблюдений.

2. Методы, основанные на закономерностях процессов стокообразования, происходящих на водосборе. Такие подходы, как правило, используются для небольших водосборов (10—15 тыс. км<sup>2</sup>). Теоретической основой служат уравнения тепло- и массового обмена в почве и приземном слое атмосферы. Однако из-за чрезвычайной сложности процессов, происходящих на водосборе, широко используются эмпирические зависимости. Основными исходными данными при составлении прогноза являются материалы гидрометеорологических наблюдений.

3. Методы, основанные на учете статистических связей между основными стокообразующими факторами. Такие методы прогноза разрабатываются в основном для крупных рек. Так же как и в предыдущем случае, при составлении прогноза используются гидрометеорологические данные.

Следует отметить, что чаще всего вторая группа методов включает в себя также описание процессов, происходящих в речевой

сети. Однако основное внимание все же уделяется процессам, происходящим на водосборе. Это обстоятельство подчеркивает некоторую условность такой классификации.

По целевому назначению краткосрочные прогнозы водного режима можно разделить на прогнозы общего пользования и специализированные прогнозы. К первой группе можно отнести прогнозы для предупреждения населения и народнохозяйственных организаций о резких изменениях водного режима (наводнениях, маловодьях). Специализированные прогнозы предназначены для планирования деятельности народнохозяйственных организаций при использовании водных ресурсов с учетом специфики требований различных отраслей народного хозяйства.

В нашей стране к краткосрочным водным прогнозам условно относятся прогнозы расходов и уровней воды, заблаговременности которых составляет 12—15 сут. Вместе с тем в практике Всемирной метеорологической организации (ВМО) принята другая классификация прогнозов по их заблаговременности. В частности, к краткосрочным относятся прогнозы заблаговременностью до 3 сут, к среднесрочным — с заблаговременностью 7—10 сут, к долгосрочным — с заблаговременностью более 10 сут. В настоящее время используется классификация, принятая в нашей стране.

Основным фактором, определяющим заблаговременность прогноза, является регулирующее влияние речного водосбора и речулов сети. Регулирующее влияние зависит от физико-географических условий водосбора и особенно от его размеров и густоты речной сети. Чем больше площадь водосбора и густота речной сети, тем при прочих равных условиях больше регулирующее влияние, а следовательно, тем больше возможная заблаговременность прогноза.

Для методов первой группы прогнозов заблаговременность полностью определяется регулирующим влиянием речулов сети, т. е. запасами воды на рассматриваемом участке русла. Наиболее отчетливо это обстоятельство проявляется при использовании крытых водобоев.

В методах второй группы помимо регулирующего влияния речулов сети сказывается еще регулирующее влияние собственно водосбора. Поэтому возможная заблаговременность может быть несколько больше, чем в первом случае. Дополнительными факторами увеличения заблаговременности в этих методах является возможность использования краткосрочных метеорологических прогнозов.

Заблаговременность в методах третьей группы также в основном определяется регулирующим влиянием речулов сети и водосбора. Однако статистический характер получаемых прогностических связей позволяет в некоторых случаях достичь большей заблаговременности.

## Часть I

# ПРОГНОЗ РАСХОДОВ И УРОВНЕЙ ВОДЫ НА УЧАСТКАХ РЕК

Физической основой практически всех методов прогноза расходов и уровней воды на участках рек являются уравнения Сех-Венана, отражающие основные закономерности перемещения речных волн в одномерном приближении:

$$\frac{1}{g} \frac{\partial Q}{\partial t} + \frac{1}{g} \frac{\partial}{\partial x} \left( \frac{Q^2}{\omega} \right) + \omega \frac{\partial Q}{\partial x} = -\omega \frac{\partial H}{\partial x}, \quad (1)$$

$$\frac{\partial \omega}{\partial t} + \frac{\partial Q}{\partial x} = q, \quad (2)$$

где  $Q$  — расход воды;  $H$  — уровень воды;  $\omega$  — площадь поперечного сечения;  $K$  — модуль стока;  $q$  — боковой приток (отток) на единицу длины;  $g$  — ускорение свободного падения;  $x$  — расстояние, отсчитываемое вдоль потока;  $t$  — время.

Для полной замкнутости системы уравнений (1)–(2) задают еще соотношения, связывающие переменные  $H$ ,  $q$ ,  $K$ :

$$K = \alpha C \sqrt{R}, \quad (3)$$

$$q = f(H), \quad (4)$$

где  $C$  — скоростной коэффициент в формуле Шези;  $R$  — гидравлический радиус, являющийся функцией уровня.

Система уравнений (1)–(4) в общем случае не имеет аналитического решения, поэтому при разработке практических схем прогноза ее интегрируют различными методами либо используют различные модификации этой системы. Особнованность той или иной модификации определяется степенью отклонения неустановившегося режима от установившегося. Характеристикой этого отклонения может служить максимальное значение отношения абсолютного добавочного уклона водной поверхности (при прохождении волны паводка или половодья) к первоначальному уклону при установившемся режиме ( $i_0$ ):

$$k = \max \left| \frac{\partial H}{\partial x} \right| + i_0 \frac{H_0}{H_0} \quad (5)$$

Чем меньше значение  $k$ , тем ближе связь расхода к уровню воды к однозначной, т. е. ширина петли кривой расходов. При  $k < 0,03 \dots 0,05$  ширина петли не выходит за пределы погрешности измерений расхода (3—5%), т. е. связь можно считать однозначной  $k$ , следовательно, волна паводка, перемещаясь вниз, не расплывается (практически не меняет форму). Такой режим может наблюдаться при прохождении волны половодья на сравни-

только коротких участках, а для рек, имеющих большие уклоны для — и при паводках.

Если значение добавочного уклона сопоставимо с начальным уклоном (условие  $\kappa < 1$  не выполняется), кривая расходов будет существенно неоднородной и вода будет распыляться (трансформироваться). Такие уклоны характерны для высоких кратковременных паводков, а для больших равнинных рек — и для половодья. Однако изменения скорости течения во времени и при переходе от створе к створу не всегда значительны, что позволяет пренебречь вторичными членами (первое два члена в уравнении (1)) при разработке методов, учитывающих трансформацию волн половодья по длине реки.

Для волн полуса вблизи ГЭС в при резких изменениях морфометрических и гидравлических характеристик русла по длине уже нельзя пренебречь вторичными членами. Такой режим может наблюдаться в дикангах бьефов ГЭС при резких попусках, в водохранилищах (при очень малых значениях  $\tau_0$ ), на участках рек с переменным подпором либо хорошо развитой поймой.

В соответствии с рассмотренными особенностями перемещения паводочных волн методы прогноза расходов и уровней воды на участках рек можно разбить на три группы:

- 1) методы, не учитывающие в явном виде распыливание волн паводка (см. гл. 1),
- 2) методы, основанные на приближенных уравнениях трансформации волны (см. гл. 2),
- 3) методы, основанные на численном интегрировании уравнений Сен-Венана (см. гл. 3).

В практике наибольшее распространение получили методы первой группы. Они просты, не требуют больших вычислений при выпуске прогноза и часто дают достаточную точность. Сюда можно отнести прогнозы по соответствию уровня, методу тендеций и кривым спада. Однако при резких изменениях уровней (расходов) воды (особенно при попусках ГЭС) и большом распыливателе паводочных волн эти методы могут оказаться неэффективными. В таких случаях в последнее время стали широко использоваться методы второй группы, которые из-за трудоемкости (как при разработке метода, так и при выпуске прогноза) чаще реализуются на ЭВМ.

Методы третьей группы еще только начинают внедряться в практику прогноза. Эти методы существенно более трудоемки и ориентированы только на ЭВМ. При использовании программного обеспечения, реализующего также методы, необходимо наличие квалифицированного персонала, подготовленного в области программирования и прикладной математики. Использовать такие подходы целесообразно только для зарегулированных очень важных в народнохозяйственном отношении рек, когда могут наблюдаться очень малые (например, в водохранилищах) либо даже обратные уклоны водной поверхности.

## Глава 1. Способы прогноза по соответственным уровням и расходам воды

Суть метода сводится к установлению эмпирических связей между соответственными уровнями (расходами) воды, наблюдаемыми в верхнем и нижнем створе. Зная одновременно прогноза равна разности сроков наступления таких уровней (расходов) в указанных створе.

Построение такого рода эмпирической зависимости для заданного участка реки представляет собой приближенное решение уравнений (1) и (2) при допущении малости их вторичных членов. При таком условии прогноза зависимость для расходов воды имеет вид

$$Q_{n,t+\tau} = Q_{n,t} + Q_{n,t+\tau} \quad (1.1)$$

где  $Q_{n,t+\tau}$  — расход воды в нижнем створе в момент времени  $t+\tau$ ;  $Q_{n,t}$  — расход воды в верхнем створе в момент времени  $t$ ;  $Q_{n,t+\tau}$  — общий промежуточный приток на участке ( $\tau$  — время добега на участке).

Методически способы прогноза по соответственным уровням и расходам можно разделить на три группы:

- 1) для бесприточных и слабоприточных участков рек, когда достаточно точными бывают зависимости вида:

$$H_{n,t+\tau} = f(H_{n,t}) \quad (1.2)$$

$$Q_{n,t+\tau} = f_1(Q_{n,t}) \quad (1.3)$$

- 2) для участков рек со значительным промежуточным притоком ( $Q_{n,t}$ ), но при небольшом распыливателе паводка, когда строгая зависимость типа:

$$H_{n,t+\tau} = f(H_{n,t}, Q_{n,t}) \quad (1.4)$$

$$Q_{n,t+\tau} = f_1(Q_{n,t} + Q_{n,t}) \quad (1.5)$$

- 3) для участков рек при значительном распыливателе паводочных волн, когда вид зависимости имеет:

$$H_{n,t+\tau} = f(H_{n,t}, \Delta H_p) \quad (1.6)$$

$$Q_{n,t+\tau} = f_1(Q_{n,t} + \Delta Q_p) \quad (1.7)$$

где  $\Delta H_p$  и  $\Delta Q_p$  — соответственно поправки уровня и расхода воды на распыливание паводка.

Эти поправки могут быть приближенно учтены через значения уровня и расхода воды в верхнем и нижнем створе за некоторый промежуток времени, например:

$$\Delta H_p = f(H_{n,t}, H_{n,t}) \quad (1.8)$$

$$\Delta Q_p = f_1(Q_{n,t}, Q_{n,t}) \quad (1.9)$$

## 1.1. Способы прогноза на бесприточных и слабoprиточных участках реки

### 1.1.1. Определение соответственных уровней (расходов) воды двух постов и времени их добегаания на участке по характерным точкам графика колебаний уровня (расхода) воды

Наиболее точно соответственные уровни (расходы) воды и время их добегаания могут быть определены путем сопоставления совмещенных графиков колебаний уровня (расхода) воды в верхнем и нижнем створах. На графиках отмечают максимумы и минимумы в ходе уровня (расхода) воды в точки перегиба. Время добегаания определяют как разность сроков наступления соответственных уровней (расходов) воды в верхнем и нижнем створах. При этом пики отдельных наводков являются наиболее показательными.

По полученным данным строят графики связи соответственных уровней (расходов) воды верхнего и нижнего постов и времени добегаания между ними в зависимости от уровней (расходов) верхнего створа. Если время добегаания меняется слабо и трудно установить закономерность его изменения от уровня (расхода) воды или фазы режима, то вычисляют его среднее значение, которое принимают постоянным для всех уровней (расходов) и которое определяет заблаговременность краткосрочных прогнозов.

### 1.1.2. Построение графика связи между соответственными уровнями двух постов и определение времени добегаания воды на участке по кривым расхода и таблицам наблюдений за уровнем воды

Этот способ, предложенный А. В. Оглевским, применим при наличии устойчивых кривых расхода воды. Пользуясь им, строят график связи уровней воды в двух створах (рис. 1.1). Для этого при общей оси расходов строят кривые  $Q_1=f(H_1)$  для верхнего и нижнего створов. Затем задаются различными значениями расхода воды и графическим путем определяют координаты графика связи соответственных уровней в первом квадранте.

Пользуясь полученным графиком и данными наблюдений, определяют время добегаания. Берут какой-либо уровень воды на верхнем посту и по графику соответственных уровней (см. рис. 1.1) находят отвечающий ему уровень воды на нижнем посту. По таблице ежедневных уровней воды на нижнем посту определяют дату наступления найденного уровня воды. Разность дат наступления этих уровней принимают за время добегаания. Повторяя эти вычисления для ряда уровней воды (для

всего диапазона изменения уровня), наблюдавшихся на верхнем посту, получают данные для построения графика времени добегаания.

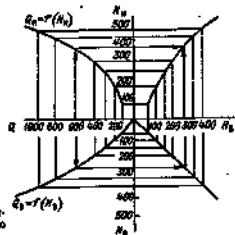


Рис. 1.1. Построение графика соответственных уровней воды с помощью кривых расхода воды.

Если кривые расхода имеют ясно выраженные ветви подъема и спада, то строят графики соответственных уровней для фазы подъема и спада. Время добегаания в этом случае определяют с учетом фазы режима уровней.

### 1.1.3. Определение времени добегаания воды на участке реки на основе принципа наименьших потерь энергии

Задаются несколькими приближенными значениями времени добегаания между створами и для каждого значения строят график соответственных уровней воды. Наиболее близкий к реальному будет то время добегаания, которому соответствует наиболее тесная связь.

Способ расчета времени добегаания на участке реки, предложенный Г. П. Калининским, заключается в следующем. Вначале по данным за прошлые годы определяют даты наступления какого-либо одного произвольного выбранного уровня воды в верхнем створе. Затем, задавшись несколькими наиболее возможными для выбранного участка значениями времени добегаания, для каждого из них выбирают уровень воды в нижнем створе, которые соответствуют исходному уровню в верхнем створе, и вычисляют среднее отклонение (без учета знака) этих уровней воды от их среднего значения. Окончательно принимают то время добегаания, при котором отклонение будет минимальным.

Аналогично указанному проводят расчеты для различных исходных уровней в верхнем створе. После этого строят графики времени добегаания и соответственных уровней.

**Пример 1.1.** Построение графиков связи соответственных уровней и времени их добегания для р. Днестра на участке г. Галич — р. Могилев-Подольский по характерным точкам.

Строим совмещенный график хода уровня воды в верхнем и нижнем створах почти беспроточного участка (рис. 1.2). На графике отмечаем характерные точки — максимумы, минимумы, точки перегиба и длительного стояния примерно одинакового уровня воды (эти точки помечены цифрами: для г. Галича 1, 2, 3, ...).

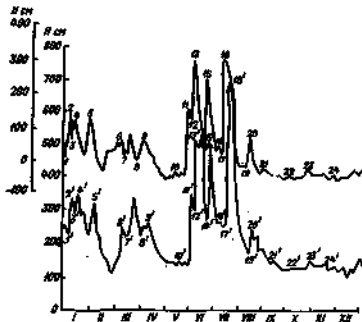


Рис. 1.2. Совмещенный график колебаний уровня р. Днестра у г. Галича и у г. Могилева-Подольского. Цифрами обозначены соответственные уровни.

для г. Могилева-Подольского 1', 2', 3' ...). По выделенным точкам находим время добегания воды как разность дат наступления соответственных уровней в нижнем и верхнем створах участка. Результаты заносим в таблицу.

Время добегания нужно определять по тем характерным точкам, у которых наилучшее соответствие в ходе уровней в обоих створах.

По данным таблицы строим график (рис. 1.3) соответственных уровней и времени добегания. Для большей надежности такие графики надо строить по данным за ряд лет.

**Пример 1.2.** Определение времени добегания с помощью графика соответственных уровней воды и данных наблюдений за

уровнем воды для р. Днестра на участке г. Галич — г. Могилев-Подольский.

Воспользуемся графиком соответственных уровней для этого участка, полученным в примере 1.1 (рис. 1.2). Все вычисления сведем в табл. 1.1.

По ряду уровней р. Днестра у г. Галича (табл. 1.1, графы 1—3) с графика (рис. 1.3) снимаем значения соответственных уров-

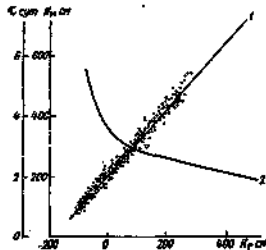


Рис. 1.3. Связь соответственных уровней р. Днестра у г. Галича  $H_r$  и у г. Могилева-Подольского  $H_n$  (1) и времени добегания между ними с уровнями в верхнем створе  $H_r$  (2).

ней р. Днестра у г. Могилева-Подольского (графа 4). По фактическим ежедневным значениям уровня р. Днестра у г. Могилева-Подольского 1.1.

Определяем время добегания по графику соответственных уровней

г. Галич			г. Могилев-Подольский					
Дата	Уровень $H_r$	Фазы	Дата или время наблюдения за уровнем $H_n$	Фактический уровень воды в нижнем створе		Дата, определенная по интервалу (с округлением) $\Delta t$	Время добегания $\Delta t$ , сут.	
				в момент $H_n$ , н	в момент $H_n$ , к			
1	2	3	4	5	6	7	8	9
2/VI	122	Полдень	335	4—5/VI	187	384	5/VI	3,0
18/VII	450	Полдень	783	20/VII	703	703	20/VII	2,0
15/VIII	40	Свет	240	18—19/VIII	244	230	15/VII	3,0

Подольского выбираем даты, когда наблюдались снятие с графика уровня воды. Если уровень воды был между сроками наблюдений, то вычисляем как эти сроки, так и уровни воды (графы 5—7). В графе 8 записываем даты наблюдения соответствующих уровней, которые устанавливаем путем линейной интерполяции:

$$D_N = D_{M_n} + (H_M - H_{M_n}) / (H_{M_n} - H_{M_{n-1}})$$

где  $D_{M_n}$  — дата начала интервала, в котором наблюдался уровень  $H_{M_n}$ . По разности дат, приведенных в графах 8 и 1, определяем расчетное время добегания и записываем в графу 9.

Описанным способом наиболее точно можно определить время добегания в периоды интенсивных изменений уровня. При малых изменениях уровня за время добегания, сопряженных с погрешностью графиков, могут быть допущены довольно большие ошибки. Эти случаи не рекомендуется использовать в расчетах.

Пример 1.3. Построение графиков связей соответственных уровней и времени их добегания для р. Мархи на участке створа Чумпурук — с. Малыйкай на основе принципа наименьших погрешностей.

Вначале задаем уровень воды у поста Чумпурук — 700 см — и за ряд лет определяем даты наступления этого уровня. Затем выбираем наиболее вероятные даты для данного участка значения времени добегания от 0 до 4 сут. Находим уровни воды у с. Малыйкай, сдвинутые на эти значения времени добегания. Дальше производим вычисления в соответствии с табл. 1.2. Как следует

Таблица 1.2

Расчет времени добегания

Дата наступления уровня воды у п. Чумпурук	Уровни воды у с. Малыйкай через 0—4 сут ( $H_1, \dots, H_4$ ) и их отклонение от среднего уровня ( $\Delta H_1 = H_1 - H_0, \dots, \Delta H_4 = H_4 - H_0$ )										
	$H_0$	$\Delta H_0$	$H_1$	$\Delta H_1$	$H_2$	$\Delta H_2$	$H_3$	$\Delta H_3$	$H_4$	$\Delta H_4$	$\Delta H_1$
1	2	3	4	5	6	7	8	9	10	11	
19/VI-67	632	-156	664	-87	662	-49	685	-84	650	-3	
31/VI-68	615	25	759	7	678	-33	613	-64	580	-73	
3/VI-69	324	38	771	30	721	16	574	-9	632	-21	
18/VI-70	755	-9	765	15	729	12	682	5	641	-12	
1/VI-71	760	-28	782	1	710	-1	691	14	785	12	
1/VI-72	804	16	765	17	706	-3	640	-37	586	-67	
4/VI-73	817	29	783	32	724	18	693	14	690	37	
3/VI-76	812	24	787	16	721	10	678	-4	628	-28	
1/VI-77	716	-76	730	-21	732	41	776	90	798	113	
1/VI-79	629	41	763	15	747	36	740	60	713	60	
17/VI-80	794	6	717	-34	698	-18	613	-69	543	110	
31/VI-81	736	-62	727	-24	725	14	732	45	705	92	
2/VI-83	527	130	795	44	687	-34	616	-69	591	-62	
Средн.	768	38	751	25	711	20	677	36	653	67	

из данных таблицы, минимальная ошибка соответствует времени добегания, равному 2 сут (графа 7). Следовательно, уровню 700 см у поста Чумпурук соответствует уровень 711 с (графа 6) у с. Малыйкай. Аналогичные вычисления выполняем для исходных

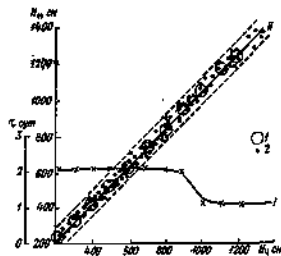


Рис. 1.4. График времени добегания (1) и связь соответственных уровней воды для р. Мархи на участке створа Чумпурук ( $H_{Ч}$ ) — с. Малыйкай ( $H_{М}$ ) (2).  
1 — по способу наименьших погрешностей, 2 — по данным гидрологической информации. Пунктирные линии соответствуют допустимой погрешности прогноза, равной 65%.

уровней 200, 300, 400, 500, 600, 800, 900, 1000, 1100 и 1200 см. Окончательные результаты этих вычислений сводим в таблицу, по данным которой строим график времени добегания и соответственных уровней воды (рис. 1.4).

## 1.2. Способы прогноза на приточных участках

Основой при разработке способов прогноза уровня (расхода) воды для приточного участка является карта изохрон руслового добегания воды в бассейне до замыкающего створа. Для ее построения по отдельным участкам рек определяют время добегания, которое наносят на карту (схему) речной сети. По этим данным на карте проводят линии с одинаковыми значениями времени руслового добегания, т. е. изохроны.

Карты можно строить для периодов разной водности реки (высокая, средняя и низкая уровни воды). Если влияние промежуточной приточности не позволяет достаточно точно определять

время добегания на некоторых участках, то его приближенно можно установить с учетом средней скорости добегания по участкам рек и притоков.

В данном случае скорость добегания может быть вычислена как среднее из скоростей течения воды на ближайшем верхнем и нижнем постом (створах). После построения карты изохрон (рис. 1.6) не представляет больших затруднений установить связь

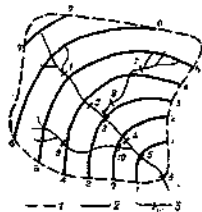


Рис. 1.6. Схема критического участка реки.  
1 — линия истока, 2 — створом условного добегания воды (цифры у истоков — время добегания в сутках), 3 — гидрометрические посты с 1 по 10-й.

между уровнями (расходами) верхних и нижних постов (створов). Для приведенных на рис. 1.6 постов можно записать:

$$H_1 = f(H_2), \quad H_2 = f(H_2, H_3), \quad H_3 = f(H_3), \quad H_4 = f(H_4, H_5),$$

$$H_5 = f(H_5), \quad H_6 = f(H_6), \quad H_{10} = f(H_6).$$

Наиболее просто прогноз уровня воды для нижнего поста по данным наблюдений двух вышележащих постов можно составить по графической зависимости  $H_n = f(H_{n-1}, H_n)$ . При построении графиков связь соответственных уровней с учетом двух верхних створов можно использовать два приема.

В первом случае на осях координат откладывают уровни воды верхних створов, а у точек пишут соответствующие им уровни нижнего створа, по значениям которых на поле графика проводят изомнии (рис. 1.6). Прогнозируемый уровень в нижнем створе определяют путем интерполяции между изомниями в зависимости от значений соответственных уровней в верхних створах.

Во втором случае на оси абсцисс откладывают уровни верхнего створа, а на ось ординат — уровни нижнего створа. У точек выписывают значения уровней воды на притоке, по которым проводят линии (рис. 1.7).

Если во входных створах имеются данные о расходе воды, то число створов можно не ограничивать. При одинаковом времени добегания от всех верхних постов устанавливают связь расходов

или уровней воды в замыкающем створе с суммой расходов воды во входных створах, отстоящих на время добегания:

$$Q_{n,t+\tau} = f\left(\sum_{i=1}^n Q_{p,i}\right), \quad (1.10)$$

$$H_{n,t+\tau} = f\left(\sum_{i=1}^n Q_{p,i}\right), \quad (1.11)$$

где  $n$  — число входных створов.

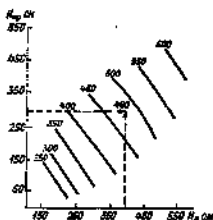


Рис. 1.6. Связь соответственных уровней трех постов.  
У изомний — уровни нижнего поста.

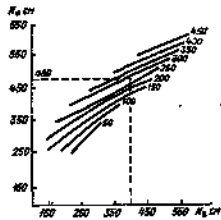


Рис. 1.7. Связь соответственных уровней трех постов.  
У изомний — уровни воды на притоке.

Использование в качестве исходной величины суммированных расходов воды позволяет ввести треть переменную, например неучтенный входными створами боковой приток. Для характеристики бокового притока иногда используют метеорологические факторы. Можно рекомендовать, например, зависимость следующего типа:

$$H_{n,t+\tau} = f\left[\sum_{i=1}^n Q_{p,i}, (\eta_1 P + \eta_2 h_2)\right], \quad (1.12)$$

где  $\eta_1$  — коэффициент стока осадков  $P$ ;  $\eta_2$  — коэффициент стока талых вод  $h_2$ .

Иногда не удается выбрать верхние створы таким образом, чтобы время добегания от каждого из них к замыкающему створу было одинаковым. В таких случаях расходы воды суммируют с учетом времени добегания. Естественно, в этом случае заблаговременность прогноза будет равна минимальному времени добегания. Если заблаговременность мала, то прибегают к интерполяции расходов по рекам, на которых гидрометрические створы

расположены выше и ниже изохроны, отвечающей принятой за-  
благовременности прогноза.

Для интерполяции лучше всего использовать соотношения про-  
межуточных площадей водосбора между гидрометрическими  
створами:

$$Q_i = Q_2 - (f_i/f)(Q_2 - Q_1) \quad (1.13)$$

где  $Q_1$  — расход воды на заданной изохроне;  $Q_2$  — расход  
воды в створах выше и ниже заданной изохроны соответственно;  
 $f_i$  — приращение площади водосбора на участке между изохроной  
и нижним створом;  $f$  — приращение площади между верхним  
и нижним створом. Однако следует учитывать, что зависимости,  
построенные с учетом интерполяции, являются менее точными.

**Пример 1.4.** Зависимость для прогноза уровня воды Амура  
у с. Константиновка по методу соответственных уровней.

Рассмотрим участок Амура от с. Черныя до с. Константи-  
новка. Промежуточная площадь на этом участке составляет  
293 тыс. км<sup>2</sup>, причем на основной приток (р. Зен у с. Мазанова)  
приходится 199 тыс. км<sup>2</sup>, т. е. более 67 % этой площади. Участок  
характеризуется хорошо развитой поймой.

Построим прогностическую зависимость вида

$$N_{k,t} = f\{N_{ч,t-\tau}, N_{м,t-\tau}\}$$

где  $N_{k,t}$  —  $N_{ч,t-\tau}$  — уровень р. Амура у с. Константиновка и  
у с. Черныя;  $N_{м,t-\tau}$  — уровень р. Зен у с. Мазанова;  $\tau$  и  $\tau_1$  —  
время добегания соответственно от с. Черныя до с. Констан-  
тиновки и от с. Мазанова до с. Константиновки.

Время добегания волны паводка от с. Черныя на р. Амуре  
и от с. Мазанова на р. Зен до замыкающего створа с. Констан-  
тиновка определено по скорости перемещения волны. Оказалось,  
что для обоих участков время добегания почти не зависит от  
уровня и равно в среднем 4 сут.

Графическое построение выполним по второму способу (у то-  
чек нанесем уровни воды на притоке). Полученная связь пред-  
ставлена на рис. 1.8. Прогноз по этой связи имеет обеспечен-  
ность 97 %.

**Пример 1.5.** Зависимость для прогноза ежедневных уровней  
воды р. Днепра у с. Речица по сумме расходов верхних створом.

Строим график связи уровней р. Днепра у с. Речица с сум-  
мой соответственных расходов в верхних створах, лежащих на  
одной изохроне с 3-суточным временем добегания до нижнего  
створа (рис. 1.9):

$$N_{p,t+\tau} = f(Q_{ж,t} + Q_{ж,t})$$

где  $N_{p,t+\tau}$  — уровень р. Днепра у с. Речица на дату  $t+3$ ;  $Q_{ж,t}$   
и  $Q_{ж,t}$  — расход воды соответственно р. Днепра у г. Жлобна и  
р. Березины у г. Светлогорска в момент  $t$ .

По данным об уровне воды на дату выпуска прогноза опре-  
деляем расход воды р. Днепра у г. Жлобна и р. Березины  
у г. Светлогорска и их сумму, по которой с помощью связи на  
рис. 1.9 находим прогнозируемые значения уровня на дату  $t+3$ .

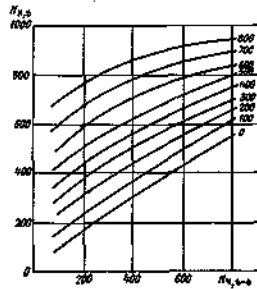


Рис. 1.8. Связь соответственных  
уровней р. Амура у с. Констан-  
тиновки  $N_{k,t}$ , Амура у с. Че-  
рныя  $N_{ч,t-\tau}$  и р. Зен у с. Ма-  
занова  $N_{м,t-\tau}$   
Днепра у створа — значения  
 $N_{ж,t-\tau}$

### 1.3. Способы прогноза с учетом распластывания паводка

На относительно длинных участках рек может наблюдаться  
значительное распластывание паводка, т. е. рост продолжитель-  
ности и снижение высоты паводка по мере продвижения вниз по  
течению.

Основой прогноза в этом случае служат уравнения (1.6) либо  
(1.7). Как и в предыдущем случае, лучше пользоваться данными о  
расходе воды. Для практического использования указанных со-  
отношений необходимо каким-либо образом учесть распластыва-  
ние паводка  $\Delta Q_p$ . Эта величина зависит от степени заполнения  
русла и распределения расхода (уровня) на данном участке. По-  
этому для учета величины  $\Delta Q_p$  можно использовать расход воды  
в ордине и нижнем створах, косвенно характеризующий крутизну  
волны. В этом случае можно искать зависимость вида (1.9) либо

$$\Delta Q_p = f(Q_{ж,t}, \bar{Q}_p) \quad (1.14)$$

где  $\bar{Q}_p$  — средний расход воды в верхнем створе за некоторый  
предшествующий период времени.

Используют также следующие характеристики крутны волны:

$$I_n = Q_{n,t} - Q_{n,t} \quad (1.15)$$

или

$$I_n = Q_{n,t} - M - Q_{n,t} \quad (1.16)$$

Если участок приточный, то необходимо наряду с расклатыванием учитывать влияние приточности, применяя подходы, которые описаны в к. 1.2.

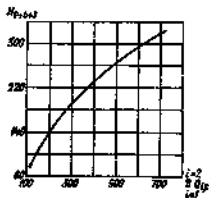


Рис. 1.9. Связь уровней в Днепре у с. Речисла  $H$  (1+3) с суммой соответствующих расходов вод в р. Днепра у г. Жалбына и в р. Березины у г. Светогорска  $\sum_{i=1}^{i=2} Q_{i,t}$  при заблаговременности 3 сут.

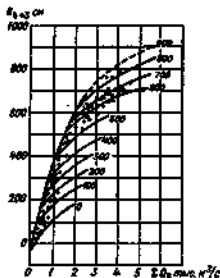


Рис. 1.10. Связь для прогноза уровня воды в нижнем плуфте реки по сумме расходов в верхних плуфтах. Цифры у линий — уровень воды в нижнем плуфте на дату выпуска прогноза.

Аналогичные характеристики крутны волны можно получить и для уровня. Чаще других используют характеристики уклона, обычно определяемые по равенству отметок уровня верхнего и нижнего постов. Иногда в качестве характеристики трансформации используют уровень воды нижнего створа в день выпуска прогноза. Такая связь показана на рис. 1.10, которая построена для приточного участка реки. Характеристикой притока служит сумма расходов вод в верхних створах реки ( $\sum Q_i$ ).

## Глава 2.

### Прогноз расходов и уровней воды, основанный на приближенных уравнениях трансформации паводочных волн

Расчетные соотношения этой группы методов получаются из уравнения неразрывности (1), проинтегрированного по длине реки, и динамического уравнения (2) без инерционных членов:

$$dW/dt + Q - Q_0 = Q_0 \quad (2.1)$$

$$W = f(\bar{Q}), \quad (2.2)$$

где  $W$  — объем воды на участке русла длиной  $L$ ;  $Q$  и  $Q_0$  — расход воды в выходном и входном створах участка;  $Q_0$  — боковой приток на всем участке;  $\bar{Q}$  — некоторый взвешенный на рассмотриваемом участке расход вод. Зависимость (2.2) часто называют кривой объемов.

Допущение о малости инерционных членов для большинства паводочных волн вполне приемлемо и не должно приводить к существенным погрешностям. Более принципиальным является допущение о наличии односторонней связи между объемом и некоторым взвешенным расходом воды на участке. Собственно различные методы, реализующие соотношения (2.1) — (2.2), связаны с разным видом этой зависимости, который бы лучше всего отвечал реальному физическому процессу. В соответствии с этим можно рассматривать модели, основанные на линейной и нелинейной аппроксимации выражения (2.2).

Большим преимуществом первого подхода является возможность получить относительно простые аналитические решения. В связи с этим линейные модели получили значительно большее распространение в практике, чем нелинейные. Этому способствует также возможность использования кусочно-линейной аппроксимации зависимости (2.2) для учета нелинейности. В любом случае нелинейные модели целесообразно использовать только тогда, когда ни одна из линейных моделей не дает приемлемых для практики результатов.

#### 2.1. Линейные модели трансформации для бесприточных участков

Разобьем рассматриваемый участок реки  $L$  на  $n$  расчетных участков (могут быть разной длины), для каждого из которых задаем линейные зависимости типа (2.2). Причем взвешенные расходы в них возьмем равными линейной комбинации входного

и выходного расходов для данного отрезка. Положим также, что боковой приток на участке пренебрежимо мал, т. е.  $Q_0 = 0$ . Тогда для определения расхода воды в замыкающем створе участка получим систему линейных уравнений с постоянными коэффициентами:

$$dW/dt + Q_i = Q_{i-1} \quad (2.3)$$

$$W_i = \alpha_i [a_i Q_{i-1} + (1 - \alpha_i) Q_i] \quad (i = 1, 2, \dots, n), \quad (2.4)$$

где  $Q_{i-1}$ ,  $Q_i$  — расход воды в начале и в конце  $i$ -го расчетного участка соответственно;  $\alpha_i$  — параметр для получения взвешен-

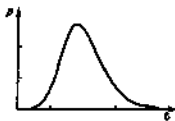


Рис. 2.1. Общий вид кривой добегания.

ных расходов  $Q_i$ ;  $\alpha_i$  — параметр кривой объемов, соответствующий среднему времени добегания на  $i$ -м расчетном участке.

При нулевых начальных условиях (расход воды в начальный момент времени равен нулю на всем рассматриваемом участке русла) решение этой системы можно представить в виде интеграла Дюамеля:

$$Q(t) = \int_0^t p(t-\tau) Q_0(\tau) d\tau \quad (2.5)$$

где  $Q(t)$  — расход воды в замыкающем (пешнем) створе;  $Q_0(t)$  — расхода воды во входном (вердном) створе участка;  $p(t)$  — кривая добегания (функция влияния) на рассматриваемом участке, показывающая, какая часть расхода воды в верхнем створе доходит до замыкающего створа в момент времени  $t$ . Типичный вид кривой добегания для речных вод показан на рис. 2.1. Важным свойством является то, что площадь фигуры, ограниченной кривой добегания, равна единице. Это свойство отражает условие сохранения объема воды на участке. Характерно также, что кривая добегания имеет максимум и с увеличением времени стремится к нулю.

Соотношение (2.5) иногда более удобно представить в виде

$$Q(t) = \int_0^t p(\xi) Q_0(t-\xi) d\xi \quad (2.6)$$

При большой кривизне связи  $W = f(Q)$  ее приходится разбивать на два (или больше) линейных отрезка с различным ко-

эффициентами  $\tau$  для каждого из них. В этом случае выражение (2.6) можно записать в следующем виде:

$$Q(t) = \sum_{i=1}^l \int_0^t p_i(\xi) Q_0(t-\xi) d\xi \quad (2.7)$$

где  $l$  — число отрезков кривой связи;  $p_i(t)$  — кривая добегания, соответствующая  $i$ -му отрезку связи (2.2).

Расход воды обычно задает дискретно. В соответствии с этим и кривую добегания целесообразно задавать с той же дискретностью по времени. Тогда вместо соотношения (2.7) можно записать выражение для определения расходов воды в замыкающем створе в дискретные моменты времени:

$$Q_i = \sum_{j=1}^i \sum_{k=1}^j p_{ij} Q_0(t-j+1), \quad (2.8)$$

где  $r_i$  — максимальное число значимых ординат кривой добегания для  $i$ -го отрезка кривой объемов (часто его называют памятью кривой добегания); сумма  $r_i$  ординат каждой кривой добегания должна быть равна единице.

Выражение (2.8) является основным соотношением для расчета расхода воды в конце беспроточного участка. Расчет расхода воды в замыкающем створе сводится к последовательному умножению каждого расхода во входном створе на все ординаты соответствующей кривой добегания и последующему суммированию полученных произведений по строкам. Пример такого расчета для р. Волги у г. Астрахани показан в табл. 2.1. Входным створом является створ Волжской ГЭС им. XII съезда КПСС. Расчетный интервал времени равен 2 сут. Используются две кривые добегания: одна — для расходов воды до 15 000 м<sup>3</sup>/с (ординаты приведены в графе 4 таблицы); другая — для расходов воды больше 15 000 м<sup>3</sup>/с (графа 5).

Следует учитывать, что рассчитанные расходы воды можно принимать во внимание только с момента времени, отстоящего от начала расчета не меньше чем на  $r_i$  единиц времени, т. е. на число ординат кривой добегания (в данном случае со строки 11, т. е. с 10 мая). Это связано с тем, что в начальный момент времени заданы не нулевые расходы. В практике, как правило, приходится вести расчеты именно в таких случаях. Поэтому, чтобы получить расход выходного створа с какого-либо момента времени, необходимо начинать расчеты на  $r_i$  единиц времени раньше.

Наиболее часто расход воды в замыкающем створе рассчитывают для случая  $l=1$ , и выражение (2.8) принимает вид

$$Q_i = \sum_{j=1}^i p_j Q_0(t-j+1)$$



Вычисления производят следующим образом. По данным  $Q_n, t$  и  $Q_i$  определяют матрицу  $Q_n$  и вектор  $Q_i$ . Задают начальное значение  $\beta$ . Ближе к нулю, и систему (2.10) решают методом Гаусса. Затем, последовательно умножая  $\beta$  на множитель  $\Delta\beta$  и каждый раз решая систему (2.10), получают набор решений, из которых выбирают то, для которого оказывается минимальной величина

$$u = \left| \sum_{i=1}^n |p_i - 1| \right| \quad (2.12)$$

Верхний предел изменения  $\beta$  может служить средний объем воды в выходном створе за время  $t$ . После определения  $\beta$ , для которого  $u$  оказалось наименьшим, расчеты можно повторить в области этого минимума с меньшим значением  $\beta$ , что позволит уточнить результат.

На точность решения большее влияние оказывает правильность задания числа исходных ординат  $n$ . Нужно стремиться, чтобы  $n$  не только превышало фактическое число значимых ординат кривой добегаия. Ориентировочно можно оценить  $n$  путем сопоставления входного и выходного гидрографов.

2.1.1.2. Метод Калянина—Миллюева. Решение получено в предположении, что  $\tilde{Q}_i$  можно приравнять расходу воды и выходной створе каждого  $i$ -го отрезка, т. е. положить равным нулю  $z_i$  в системе (2.3)—(2.4). Такое допущение приближенно выполняется для участков русла определенной длины, называемых характеристичными участками. В соответствии с этим весь рассматриваемый участок реки необходимо условно разбить на  $n$  таких характеристичных участков, т. е. построить систему уравнений (2.3)—(2.4) с  $\alpha_i = 0$ . Кроме этого полагается, что время добегаия для всех участков одинаково, т. е.  $t_i = t = \text{const}$ . При этих предположениях из системы (2.3)—(2.4) можно получить следующее уравнение кривой добегаия, представленное в дискретном виде:

$$p_i = \frac{\Delta t}{t(n-1)} \left(\frac{t}{\tau}\right)^{n-1} \exp(-t/\tau) \quad (i = 1, 2, \dots, n), \quad (2.13)$$

где  $\Delta t$  — расчетный интервал времени (время добегаия обычно выражается в единицах, кратных расчетному интервалу, поэтому  $\Delta t = 1$ ).

Если в выражении (2.13) факториал  $(n-1)!$  заменить гамма-функцией  $\Gamma(n)$ , это соотношение можно использовать и при дробных значениях  $n$ . Из выражения (2.13) можно легко вычислить ординаты кривой добегаия в соответствующие моменты времени  $i$ . Следует заметить, что при расчетах по соотношению (2.13) для дискретных моментов времени сумма полученных ординат кривой добегаия может не достигать единицы для ограниченного числа ординат. Например, для  $n=1$ ,  $\tau=1$  сумма значимых ординат, вычисленных по соотношению (2.13), достигает лишь значения 0,666. Это связано с тем, что непрерывная кривая добегаия заменяется

ступенчатой. Для более точного определения ординат необходимо интегрировать выражение (2.13) для каждого отрезка  $(i-1, i)$ . Тогда получим следующую зависимость для определения ординат:

$$p_i = \exp[-(i-1)/\tau] \sum_{j=1}^n \left\{ \left(\frac{t-j}{\tau}\right)^{n-1} / (n-j)! \right\} - \exp(-t/\tau) \sum_{j=1}^n \left\{ \left(\frac{t}{\tau}\right)^{n-1} / (n-j)! \right\} \quad (i = 1, 2, \dots, n). \quad (2.14)$$

Это выражение очень громоздко и может быть использовано только при целых значениях  $n$ . Многочисленные расчеты показали, что ближе к этим результатам можно получить более простым пересчетом ординат, полученных по соотношению (2.13): каждую полученную ординату делят на сумму всех ординат.

Приведенный в табл. 2.2 пример иллюстрирует хорошее совпадение данных, полученных по соотношению (2.14), с данными, пересчитанными с использованием суммы ординат, вычисленных по выражению (2.13).

Таблица 2.2

Значения ординат кривой добегаия для  $n=1$  и  $\tau=1$ , полученными различными способами

Способ получения ординат	Искомые ординаты								Сумма
	1	2	3	4	5	6	7	8	
По соотношению (2.13)	0,369	0,137	0,061	0,019	0,007	0,003	0,001	0,000	0,586
От деления на сумму ординат	0,628	0,234	0,087	0,033	0,012	0,005	0,002	0,000	1,000
По соотношению (2.14)	0,632	0,231	0,086	0,032	0,012	0,004	0,002	0,001	1,000

Для практических расчетов выражение (2.13) нужно записать в другом виде:

$$p_i = \exp \{ (i-1) \ln(t/\tau) - t/\tau - \ln[\tau \Gamma(n)] \}. \quad (2.15)$$

Вычисления ординат кривой добегаия необходимо вести с точностью не ниже 0,001. Для целых значений  $\Gamma(n) = (n-1)!(n-1) \cdot (n-2) \cdot \dots \cdot 1$ . Если  $n$  дробное,  $\Gamma(n)$ , можно определить по таблице (прил. 1). Таким образом, расчет ординат кривой добегаия осуществляется в следующей последовательности:

- по соотношению (2.13) рассчитывают значения  $p_i$  при увеличении  $i$  от 1 до  $n$ , при котором  $p_{i+1} < 0,001$ ;
- находят сумму полученных ординат;
- все ординаты делят на полученную сумму и принимают в качестве окончательных значений.

Определение параметров  $n$  и  $t$ . Несмотря на то, что параметр кривой дообегания (2.13) и  $n$  и  $t$  имеют четкий физический смысл, задать достаточно надежные их значения по характеристикам русла трудно. Это связано с тем, что для разного состояния русла его гидравлические и морфометрические характеристики очень сильно меняются и трудно определять, для какого состояния лучше определять  $n$  и  $t$ . Поэтому чаще всего эти параметры определяют подбором, когда ищут некоторые оптимальные для всего диапазона изменения расходов воды оценки параметров. Исходными данными при этом служат расход воды во входном и выходном створах для нескольких (трех—пяти) паводков (половодья). Необходимо также задать первое приближение параметров  $n$  и  $t$  (начальные значения).

Для определения начального значения параметра  $n$  можно пользоваться рядом приближенных зависимостей. Наиболее общей, имеющей теоретическое обоснование, является зависимость

$$n = L/l_k \quad (2.16)$$

где

$$l_k = \frac{Q}{I_T} \frac{\Delta H}{\Delta Q} \quad (2.17)$$

$L$  — длина рассматриваемого участка реки;  $l_k$  — длина так называемого характерного участка;  $Q$ ,  $I_T$  — соответственно расход воды и уклон водной поверхности при установившемся режиме;  $\Delta H/\Delta Q$  — отношение приращений уровней и расходов воды, снятых с кривой расходов.

Если кривые расходов отсутствуют, можно пользоваться эмпирическими зависимостями:

$$n = 2L\bar{h}/\bar{h} \approx 2 \Delta H_L/\bar{h} \quad (2.18)$$

где  $\bar{h}$  — средняя глубина на участке,  $\Delta H_L$  — падение уровня на всем рассматриваемом участке при установившемся режиме с глубиной  $\bar{h}$ .

Начальное значение параметра  $t$  при наличии гидрографов во входном и выходном створах можно определить по формуле

$$t = \Delta t'/(n - 1) \quad (2.19)$$

где  $\Delta t'$  — сдвиг в сроках наступления максимальных расходов, выраженный в прыжках расчетных единиц времени.

Можно также пользоваться следующей приближенной зависимостью:

$$t = L/\bar{h}(1.50n) \quad (2.20)$$

где  $\bar{h}$  — средняя скорость течения на участке.

После определения начальных значений параметров  $n$  и  $t$  по соотношению (2.8) можно рассчитать гидрограф в замыкающем створе и сравнить его с фактическим. Если расхождения окажутся значительными, необходимо несколько изменить  $n$  и  $t$  и повторить

расчет гидрографа и сравнение его с фактическим. Эту процедуру необходимо повторять до получения удовлетворительной степени рассчитанного и фактического гидрографов. Сравнение необходимо вести для нескольких паводков, чтобы подбор не оказался случайным. Целесообразно проводить корректировку обоих параметров не одновременно, а сначала  $t$ , затем  $n$ . При этом необходимо учитывать следующее:

1) при увеличении параметра  $t$  и неизменном значении  $n$  увеличивается трансформация гидрографа (снижение максимума), причем максимум его смещается вправо;



Рис. 2.2. Схема, иллюстрирующая подбор параметра  $t$  по крайним расходам.  $Q_{max}$  — оптимальное значение параметра.

2) при увеличении параметра  $n$  и неизменном значении  $t$  трансформация уменьшается и максимум гидрографа смещается тоже вправо.

Процедура такого подбора довольно трудоемка, особенно если параметр меняется с изменением расхода воды, когда приходится определять несколько значений  $t$  и  $n$ . В связи с этим процедура была реализована на ЭВМ (прил. 2.1) и может быть использована для подбора параметров кривой дообегания.

Определив  $n$  и  $t$  при отсутствии измерений расхода воды в замыкающем створе. В период открытого русла и в этом случае можно воспользоваться уровнем воды.

Положим, что между уровнем и расходом воды в замыкающем створе в период открытого русла существует однозначная связь. Тогда, определив параметр  $n$  и  $t$  по зависимостям (2.18) и (2.20), рассчитаем расход воды по соотношению (2.8). Строим график связи  $Q_p = f(H)$  ( $Q_p$  — расчетные расходы воды,  $H$  — фактические уровни). Связь может оказаться неоднозначной, т. е. будет петля. В этом случае расчеты повторить еще раз с иными значениями  $t$ . При этом следует руководствоваться следующими правилами: если точка, соответствующая фазе подъема, располагается на графике  $Q_p = f(H)$  ближе к оси расходов (рис. 2.2 а, б), то параметр  $t$  следует увеличивать, а при противоположном расположении точек (рис. 2.2 а, в) — уменьшать. Эту процедуру необходимо продолжать до тех пор, пока крайняя связь станет близкой к однозначной (рис. 2.2 г). Следует отметить, что расчеты необходимо вести для нескольких разных по амплитуде паводков, чтобы получить параметры, характерные для всех случаев.

Приведенная схема может оказаться громоздкой для ручного счета (особенно, если используется не одна кривая добогания), и, кроме того, она основана на субъективной оценке схожести. Поэтому при наличии ЭВМ можно пользоваться следующим алгоритмом нахождения параметров  $a$  и  $\tau$ .

Связь расхода и уровня воды представим в виде

$$Q_0 = a(H - H_0)^b, \quad (2.21)$$

где  $H_0$  — отметка дна в замыкающем створе;  $a$  и  $b$  — параметры связи.

Прологарифмировав соотношение (2.21), можно найти выражение для расчета средней квадратической ошибки определения уровня воды по рассчитанным расходам воды:

$$s = D_h - K_{hq}^2/D_q, \quad (2.22)$$

где  $K_{hq}$  — корреляционный момент рядов  $h = \ln(H - H_0)$  и  $q = \ln Q_0$ , характеризующий их связь;  $D_h$  и  $D_q$  — дисперсия значений  $h$  и  $q$  соответственно.

Корреляционный момент и дисперсия определяют из известных соотношений:

$$K_{hq} = \frac{1}{N} \sum_{i=1}^N h_i q_i, \quad D_h = \frac{1}{N} \sum_{i=1}^N (h_i - \bar{h})^2,$$

где  $N$  — длина ряда,  $\bar{h}$  — среднее значение ряда.

Меняя значения параметров  $a$  и  $\tau$ , будем получать различные значения  $s$ . Задача заключается в нахождении тех значений  $a$  и  $\tau$ , для которых  $s$  минимальна. Поэтому можно воспользоваться методами оптимизации, позволяющими найти минимум функции (2.22). В итоге получим оптимальные значения параметров  $a^*$  и  $\tau^*$ , а соответствующие им коэффициенты  $a$  и  $b$  рассчитаем по формулам:

$$b = D_q^2/K_{hq}, \quad (2.23)$$

$$a = b \exp(\bar{h} - b^{-1}), \quad (2.24)$$

где  $\bar{h}$  — среднее значение ряда  $h$ ;  $D_q^2$  и  $K_{hq}$  — значения дисперсии и корреляционного момента, полученные по рассчитанным расходам воды при оптимальных значениях  $a^*$  и  $\tau^*$ . Необходимо помнить, что получаемая кривая расходов условна, так как при умножении всех значений расхода воды на постоянный коэффициент параметры кривой не изменяются. Таким образом, рассчитанные расходы воды могут отличаться от истинных на постоянный коэффициент.

Этот алгоритм реализован на ЭВМ (прил. 2.1), причем для оптимизации был использован метод Розенброка.

2.1.1.3. Метод Мяслигина. Этот метод разработан в службе гидрологических прогнозов США и основан на предположении, что можно найти однозначную линейную связь между объемом

воды на всем рассматриваемом участке и эквивалентным расходом, который представляет собой линейную комбинацию стока  $(Q_0)$  и выходящего  $(Q)$  расходов воды типа (2.4):  $W = \alpha Q_0 + (1 - \alpha) Q$ , где  $\alpha$  и  $\tau$  — эмпирические параметры.

После численного интегрирования уравнения (2.3) с учетом последнего выражения для  $W$  расход воды в замыкающем створе рассчитывают по простому соотношению:

$$Q_0 + \Delta t = \alpha Q_0 t + \alpha Q_0 t + \Delta t + \alpha Q_0, \quad (2.25)$$

где

$$\alpha_1 = (\tau + 0,5 \Delta t)(\tau - (\tau - 0,5 \Delta t)), \quad (2.26)$$

$$\alpha_2 = -(\tau - 0,5 \Delta t)[\tau - (\tau - 0,5 \Delta t)], \quad (2.27)$$

$$\alpha_3 = [\tau - (\tau + 0,5 \Delta t)][\tau - (\tau - 0,5 \Delta t)]. \quad (2.28)$$

Из уравнений (2.25) — (2.28) следует, что  $\alpha_1 + \alpha_2 + \alpha_3 = 1$ , а шаг по времени  $\Delta t$  должен быть заключен в пределах

$$2\tau \alpha \leq \Delta t \leq 2\tau(1 - \alpha). \quad (2.29)$$

Таким образом, предвычисленный расход воды в замыкающем створе зависит от расхода воды во входном створе а момент выпуска прогноза и расходов в замыкающем и входном стовах в момент времени, отстоящем на  $\Delta t$  единицы до выпуска прогноза. Используя соотношение (2.25) для последовательно меняющихся моментов, можно рассчитать весь гидрограф.

Основная трудность состоит в определении параметра  $\alpha$ . Прямолинейно его можно оценить по соотношению

$$\alpha = \frac{1}{2} [1 - Q_0 / (BL^2 i)],$$

где  $B$  — средняя ширина на участке,  $L$  — длина участка,  $i$  — уклон водной поверхности при установившемся режиме.

После оценки параметра  $\alpha$  по этому соотношению его значение необходимо уточнить, добиваясь наиболее тесной связи между объемом и расходом воды. Следует иметь в виду, что значение параметра  $\alpha$ , как правило, заключено в пределах  $0,25 \leq \alpha \leq 0,6$ , а при  $\alpha = 0,5$  этот метод дает практически такие же результаты, как и метод соответственных расходов.

Другой способ определения коэффициентов  $\alpha$ , основан на использовании данных о ежедневных расходах воды во входном и выходящем стовах. Вначале определяют время добогания  $t$  на участке. Заблаговременность прогноза  $b$  прикладывают к времени разной  $t$ . По значению  $b+t$  находят коэффициент  $\alpha$  (табл. 2.3).

Таблица 2.3

Значения коэффициента $\alpha$ для различных значений $b/t$	
$b/t$	0,70 0,80 0,90 1,00 1,10 1,30 1,50 1,40
$\alpha$	0,07 0,09 0,11 0,14 0,17 0,19 0,22 0,24

По данным о расходе воды строит линейную связь

$$\Delta Q_t = \alpha_2 \Delta Q_{t-1} = f(Q_{t-1} - Q_{t-2}), \quad (2.30)$$

где

$$\Delta Q_t = Q_t - Q_{t-1}, \quad \Delta Q_{t-1} = Q_{t-1} - Q_{t-2}.$$

Тангенс угла наклона этой связи равен  $1 - \alpha_2$ , а коэффициент  $\alpha_2 = 1 - (\alpha_2 + \alpha_3)$ .

Метод Масингам обладает меньшей гибкостью, чем метод Калинин—Милосюкова, в частности изменение расхода воды во входном створе практически сразу оказывает влияние на расход воды в замыкающем створе, что часто нехарактерно, особенно для длинных участков рек. Этот недостаток преодолевают путем использования комбинированной схемы трансформации—сдвига. В этом случае вводит дополнительный параметр сдвига  $t_{\text{сдв}}$  равный числу единиц времени, на которые сдвигается вперед рассчитанный по соотношению (2.25) расход воды.

В силу отмеченных недостатков метод Масингам целесообразно применять для сравнительно коротких участков рек. Не рекомендуется использовать этот метод при резких изменениях расхода воды во входном створе, так как во условиях (2.29)  $\Delta t$  необходимо выбирать близким к  $\tau$ , что может привести к сильному сглаживанию входного гидрографа.

**Пример 2.1.** Определение ординат кривой добегапия путем решения обратной задачи.

Рассмотрим участок р. Юг между гидрометрическими створами с. Кичменгский Городок—с. Подосиновец длиной 125 км. На участке наблюдается заметный боковой приток, который учитывается с помощью коэффициента стоковой проводки ( $k=1,59$ ), введенного в значение расхода воды входного створа (с. Кичменгский Городок). Используя данные о расходе воды в указанных створах за 1977 г. в период весеннего половодья (рис. 2.3), строим систему уравнений (2.6) для 29 моментов (с 17 апреля по 15 мая) при числе ординат кривой добегапия, равном 10. Полученную систему приводим к нормальной системе (2.10), которую решаем методом Гаусса при различных значениях параметра регуляризации  $\beta$  (в диапазоне от  $10^{-3}$  до  $10^3$ )—см. табл. 2.4.

Таблица 2.4

Значимость ошибок $\mu$ от параметра регуляризации $\beta$
$\beta \dots 10^{-4} \ 0,06 \ 0,96 \ 3,2 \ 88 \ 10^3$
$\mu \dots 1,82 \ 1,00 \ 0,11 \ 0,00 \ 0,10 \ 0,84$

Как видно из данных таблицы, оптимальная оценка получена при  $\beta=3,2$ . Кривая добегапия при этом значении показана на рис. 2.4. Кривая достаточно гладкая и даже в конце незначи-

тельно уходит в отрицательную область (до  $-0,014$ ). В расчетах использована приведенная кривая добегапия, которую получили следующим образом: ординаты, начиная с первой отрицательной, исключали; подсчитывали сумму оставшихся ординат (в данном случае 0,936), которые затем делили на эту сумму. Таким образом, сумма ординат приведенной кривой добегапия равна единице и она незначительно отличается от исходной кривой. Гидро-

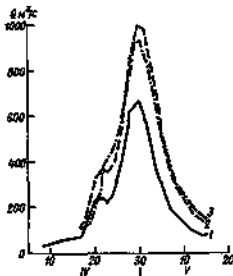


Рис. 2.3. Вливно (1) и выливные (2—расширенная) гидрографы; р. Юг—с. Подосиновец, 1977 г.

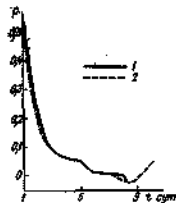


Рис. 2.4. Кривая добегапия (1) и приведенная (2) кривые добегапия; р. Юг—участок с. Кичменгский Городок—с. Подосиновец.

рограф, рассчитанный с использованием приведенной кривой добегапия, показан на рис. 2.3.

**Пример 2.2.** Определение параметров кривой добегапия для расчета уровней воды в створе с. Усть-Кожва по расходу воды в с. Усть-Шугор (р. Печора).

Длина участка 164 км. Для расчетов используем программу для ЭВМ (прил. 2.1), реализующую подход, основанный на аппроксимации кривой расходов соотношением (2.21) и минимизации ошибки (2.22) (см. п. 2.1.1.2). Исходной информацией является расход воды в с. Усть-Шугор за 1966, 1967, 1973, 1975, 1976 гг. в период весеннего половодья (после оттаивания ото льда) и уровни воды в с. Усть-Кожва за те же периоды.

Параметр  $N_0$  кривой расходов (2.21) определяем приближенно, путем сопоставления уровня воды входного створа, при котором расход близок к нулю, с соответствующим ему уровнем замыкающего створа. Его значение оказалось равным 50 см.

Начальные значения параметров кривой дообегания  $\lambda$  и  $\tau$ , полученные по сдвигу центров тяжести входного гидрографа (с. Усть-Шур) и графика хода уровня в замыкающем створе (с. Усть-Кожва),

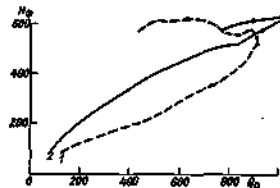


Рис. 25. Кривые расходов воды при начальных (1) и оптимальных (2) значениях параметров; р. Печора — с. Усть-Кожва, 1965 г.

равны 2,0 и 3,4 соответственно. Коэффициент стоковой привода принимаем разным единице, так как участок практически беспроточный.

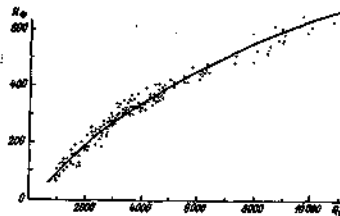


Рис. 26. Условная кривая расходов, полученная для р. Печора у с. Усть-Кожва.

В результате оптимизации с использованием указанной программы и данных о расходе и уровне воды за пять лет были получены следующие значения параметров трансформации и кривой расхода в створе с. Усть-Кожва:  $\lambda = 3,41$ ,  $\tau = 0,61$ ,  $a = 0,642$ ,  $b = 1,472$ . На рис. 25 для одного года показано, как в процессе перехода от начальных параметров  $\lambda$  и  $\tau$  оптимальными приближается к однозначной связи расхода и уровня воды в створе с. Усть-Кожва.

Полученная условная кривая расхода показана на рис. 26. Там же нанесены точки по фактическому уровню и рассчитанному расходу в с. Усть-Кожва для пяти рассмотренных лет.

Пример 2.3. Установление прогностической зависимости для р. Прут на участке с. Корпач — г. Унгены по методу Маскингам.

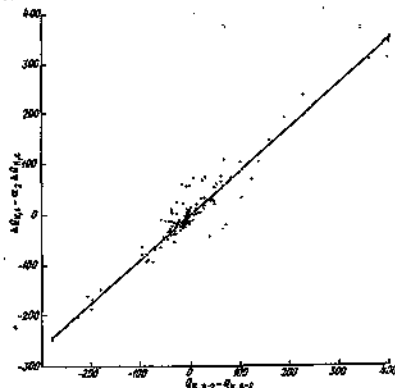


Рис. 27. Связь  $\Delta Q_{в,t=2} - \alpha_2 \Delta Q_{в,t=0} = 1(Q_{в,t=2} - Q_{в,t=0})$  для определения коэффициента  $\alpha_2$ ; р. Прут участок с. Корпач — г. Унгены.

Длина участка 200 км, боковой приток на участке составляет менее 15–20 % стока верхнего створа и в прогностической схеме не учитывается. Время дообегания  $\tau$ , определенное по пикам заводков, равно 2 сут и почти не зависит от расхода воды. Учетываем это, заблаговременность  $\delta$  приемем равной 2 сут.

Из табл. 2.3 при  $\delta t = 1$  найдем значение коэффициента  $\alpha_2 = -0,14$ . По данным о расходах воды во входном (с. Корпач) и выходном (г. Унгены) створах с учетом полученного коэффициента  $\alpha_2$  построим график связи (2.30), рис. 27. Тангенс угла наклона средней линии этой связи равен 0,87, следовательно,  $\alpha_2 = 0,13$ , а  $\alpha_1 = 1 - (\alpha_2 + \alpha_2) = 0,73$ .

Таким образом получаем уравнение для расчета расходов воды в створе г. Углены с заблаговременностью 2 сут:

$$Q_{t+2} = 0,73Q_{t+1} + 0,14Q_{t+1} + 0,13Q_t$$

где  $Q_{t+2}$ ,  $Q_t$  — расход воды в створе г. Углены в моменты времени  $t+2$  и  $t$ ;  $Q_{t+1}$ ,  $Q_{t+1}$  — расход воды в створе с. Кордач в моменты времени  $t+2$  и  $t$ .

При использовании этого уравнения для прогноза полагают, что в течение 2 сут после выпуска прогноза расход воды во входном створе останется неизменным, т. е.  $Q_{t+2} = Q_{t+1} = Q_{t+1}$ . Тогда прогнозическое уравнение

$$Q_{t+2} = 0,87Q_{t+1} + 0,13Q_t$$

## 2.2. Нелинейные модели трансформации

Нелинейные модели основываются на решении системы уравнений (2.1) и (2.2) в случае нелинейной зависимости (2.2). Построение кривой объемов довольно сложный и трудоемкий процесс. В связи с этим нелинейные модели целесообразно применять только в тех случаях, когда линейные модели не дают удовлетворительного описания гидрографа стока.

### 2.2.1. Построение кривых объемов для участка реки

При построении кривых объемов в основном используются гидрометрические либо морфометрические данные. В соответствии с этим можно выделять ряд способов установления кривой объемов.

Построение кривой объемов с использованием уравнения водного баланса. Уравнение водного баланса для участка реки можно записать в виде

$$Q_0 \Delta t + Q_0 \Delta t - Q \Delta t = \Delta W, \quad (2.31)$$

где  $Q_0$  в  $Q$  — средний расход воды соответственно в верхнем и нижнем створах участка за расчетный интервал времени  $\Delta t$ ;  $Q_0$  — средний боковой приток на участке между этими створами;  $\Delta W$  — изменение объема воды на участке за тот же интервал времени.

Произведя последовательное суммирование изменений объема воды и отняв сумму к соответствующим значениям расхода в нижнем створе для расхода, среднему на участке ( $\bar{Q}$ ), можно построить графики зависимостей  $W = f(Q)$  или  $W = f(\bar{Q})$ . Для построения этих зависимостей отбирают несколько паводков, характеризующихся интенсивным подъемом и спадом и разных по максимальному расходу. Подсчет можно вести как за период всего паводка, так и только за период его спада. При расчете только за период спада суммирование объема надо вести в обратном направлении, от момента  $t_0'$  в сторону равных дат (рис. 2.8). Чтобы

избежать искажения кривой объемов, расчеты не следует вести в самом конце спада, когда разность расходов воды резко уменьшается. Рисунок 2.8 иллюстрирует динамику объема воды на участке в период прохождения паводка.

Пример расчета за период спада одного паводка для беспроточного участка приведен в табл. 2.5. Расчеты выполняются в сле-

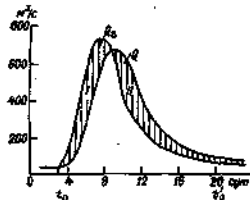


Рис. 2.8. Сравнение гидрографов на беспроточном участке реки.

$Q_0$  — расход воды в верхнем створе;  
 $Q$  — расход воды в нижнем створе;  
 $t_0$  — момент начала паводка;  $t_0'$  — момент окончания спада воды.

дующем порядке. В графы 2 и 3 записывают расход воды в нижнем ( $Q$ ) и верхнем ( $Q_0$ ) створах на одну и ту же дату. Разность этих расходов записывают в графу 4, затем их последовательно суммируют, начиная с последней разности (снизу вверх). Нарастающую сумму разностей заносит в графу 5. Объем воды определяют путем умножения числа графы 5 на число секунд в сутках (графу 6). Для практических расчетов трансформации по су-

Таблица 2.5

Пример расчета ordinат кривой объемов для беспроточного участка реки на среднем створном значении расходов воды

Дата	Расход воды, м³/с		Разность расходов воды	Сумма разностей расходов воды	Объем воды на участке, млн м³	Средний расход воды на участке, м³/с
	в нижнем створе	в верхнем створе				
1	2	3	4	5	6	7
30/III	4780	4210	550	5873	767	4485
31/III	4780	5600	1390	5323	718	4150
1/IV	4310	2540	1770	7083	610	3255
2/IV	3830	1650	2400	5203	487	2650
3/IV	2680	1140	1540	3298	284	1910
4/IV	1760	851	899	1783	151	1300
5/IV	1250	716	534	864	74	963
6/IV	1070	750	320	320	28	910

точкам интервалам кривую объемов лучше строить прямо по данным графа 5, что сокращает объем вычислений. Наконец, в последнюю графу таблицы заносим вычисленные на каждую дату средние значения расхода  $\bar{Q} = 0,5 (Q_1 + Q_2)$ .

Полученные для каждого отдельного паводка кривые объемов наносит на один график и приводит к одному произвольно выбранному расходу  $\bar{Q}$  путем смещения по вертикали. Первоначально кривую объемов строят как среднюю для пучка смежных кривых или как некоторую огибающую в этом пучке.

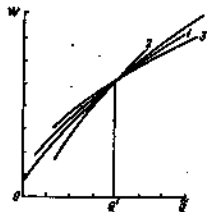


Рис. 2.8. Построение кривой объемов для участка реки.  
1-3 — паводки.

Для уточнения формы кривой объемов в области небольших расходов воды вычисляют два-три значения объема воды на участке для разных расходов при установившемся режиме:

$$W = L(Q_1 + Q_2) \cdot v,$$

где  $L$  — длина участка,  $v$  — средняя скорость течения. Эти значения наносят на тот же график и проводят среднюю для пучка кривую (рис. 2.9).

Рассмотренный подход может быть использован также для приточных участков. Если на участке впадает одна или несколько крупных притоков, то их расход прибавляют к расходу воды верхнего створа главной реки. Средний расход определяют при этом по соотношению

$$\bar{Q} = 0,5 (\sum Q_1 + Q_2 + Q), \quad (2.32)$$

где  $Q_1$  — расход воды притоков.

Если кроме сосредоточенного притока с измеренными на нем расходами имеются другие, мелкие притоки без наблюдений, общий расход бокового притока воды на участке определяют по соотношению

$$Q_1 = (1 + k) Q_{пр}, \quad (2.33)$$

где  $Q_{пр}$  — известный расход притока, выпадающего на участке русла;  $k$  — коэффициент, определяемый из условия баланса за паводок

$$A = (W - W_{в} - W_{пр}) / W_{пр}, \quad (2.34)$$

где  $W_{в}$ ,  $W$  и  $W_{пр}$  — объем воды за период паводка соответственно в верхнем и нижнем створах, а также на притоке.

Построение кривой объемов по средневзвешенному на участке расходу воды. Для длинных речных волн при незначительной кривизне линии расходов воды по длине можно пользоваться зависимостью

$$W = \tau \bar{Q}, \quad (2.35)$$

Для безприточных участков время дообегания  $\tau$  довольно просто определяется по характерным точкам совмещенного графика уровней (расходов) воды. Средневзвешенный расход можно определять по соотношению  $\bar{Q} = 0,5 (Q_1 + Q_2)$ . Если время дообегания сильно меняется в зависимости от расхода воды, расчеты  $W$  необходимо вести по интервалам, для которых  $\tau$  можно считать постоянным:

$$W(\bar{Q}) = \sum_{i=1}^n (\bar{Q}_{i+1} - \bar{Q}_i) \frac{1}{2} [\tau(\bar{Q}_i) + \tau(\bar{Q}_{i+1})] \quad (2.36)$$

Значительно сложнее определить время дообегания и средневзвешенный расход на приточном участке. В этом случае можно воспользоваться подходом, предложенным Р. А. Нежиковским. Время дообегания описывается по средней скорости течения ( $\tau = L/v$ ), которая определяется по формуле

$$v = \alpha \bar{Q}^0,5 \cdot i^{0,3}, \quad (2.37)$$

где  $i$  — средний уклон водной поверхности на участке в межень, ‰;  $\bar{Q}$  — средний расход воды на участке, м<sup>3</sup>/с;  $\alpha$  — параметр, зависящий в основном от отношения средней ширины реки  $B$  к средней максимальной глубине  $\bar{h}_{max}$  на участке при данном расходе  $\bar{Q}$ .

Значения параметра  $\alpha$  для всего диапазона колебаний максимальных годовых расходов воды даны в табл. 2.6. Если на участке в русле водная растительность в пойме почти сплошь покрывает кустарником и лесом, то параметр  $\alpha$  уменьшают на 25—30 %, и наоборот, если русло чистое, песчаное, а пойма открытая и ровная, то его увеличивают на 15—20 %. Величины  $B$  и  $\bar{h}_{max}$  берут по данным промеров, гидрографических описаний, материалов аэрофотоъемок и пр. При отсутствии данных о средней максимальной глубине параметр  $\alpha$  ориентировочно можно брать с учетом отношения средней ширины при расходе  $\bar{Q}$  к средней ширине в межень (графа 3 табл. 2.6).

Таблица 2б

Параметр  $\alpha$  в формуле  $q = \alpha Q_1$  (для большого, непропорционально обширного участка реки)

Характеристика реки	Морфометрические характеристики участка		$\alpha$
	Отношение средней ширины (м) к средней максимальной глубине (м) в водосборе (а)	Отношение средней ширины в водосборе (м) к средней ширине в бассейне (м) (б)	
1	2	3	4
300 км <sup>2</sup> < F < 3 000 км <sup>2</sup>			
Очень большая	600	80	0,07
	900	40	0,08
Большая	200	30	0,00
	100	15	0,12
Средняя	75	15	0,14
	40	8	0,18
Небольшая	25	4	0,22
	15	2	0,27
Отсутствует	10	1,3	0,50
	3	1,1	0,38
2 000 км <sup>2</sup> < F < 10 000 км <sup>2</sup>			
Очень большая	800	85	0,00
	400	35	0,12
Большая	300	25	0,14
	150	15	0,18
Средняя	100	10	0,24
	75	7	0,38
Небольшая	50	4	0,38
	25	2	0,42
Отсутствует	15	1,3	0,47
	10	1,1	0,50
10 000 км <sup>2</sup> < F < 50 000 км <sup>2</sup>			
Очень большая	1500	50	0,10
	800	25	0,12
Большая	400	23	0,15
	250	14	0,18
Средняя	150	9	0,23
	100	6	0,27
Небольшая	75	4	0,32
	40	2	0,42
Отсутствует	25	1,3	0,50
	15	1,1	0,55
50 000 км <sup>2</sup> < F < 1 000 000 км <sup>2</sup>			
Очень большая	2000	45	0,11
	1000	20	0,13
Большая	700	22	0,14
	500	13	0,16
Средняя	400	9	0,19
	200	16	0,24
Небольшая	150	4	0,37
	80	3	0,38
Отсутствует	50	1,3	0,40
	25	1,1	0,50

При отсутствии данных об уклоне на участке реки его можно считать в промахе (в пределах равнинной части Европейской территории СССР) во выражении

$$i = 1/L^{0,02} \quad (2.38)$$

где  $L$  — расстояние от истока реки до середины участка, км;  $\xi$  — параметр, зависящий от рельефа бассейна и в среднем равный на излучинах 2, на равнинах 4, на увалах 10, на возвышенностях 17.

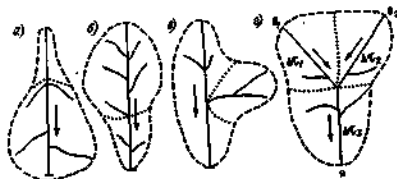


Рис. 2.10. Схемы притоков участка рек.

Среднезвешенный расход воды на притоком участке реки входят в зависимости от типа притока (рис. 2.10) по соотношению

$$\bar{Q} = \alpha Q_1 + (1 - \alpha) Q_2 \quad (2.39)$$

где  $\alpha$  — коэффициент, отражающий влияние расходов воды в верхнем и нижнем створах участка, причем  $0 \leq \alpha \leq 1$ .

Если приток на участке поступает по ряду небольших рек (распределенный приток),  $\alpha$  определяют по формуле

$$\alpha = 0,5 [L_1/L + (1 - F_1/F)] \quad (2.40)$$

где  $L_1$  и  $F_1$  — длина и площадь водосбора верхнего подучастка,  $L$  и  $F$  — то же для всего участка.

Расчленение на два подучастка осуществляют на гиз непропорционально по карте речной сети (по характеру нарастания площади водосбора). При нарастании площади бассейна в основном в нижней половине участка (рис. 2.10а) коэффициент  $\alpha$  больше, чем при обратном нарастании площади (рис. 2.10б).

Если же на долю одной впадающей реки приходится более половины всего притока (рис. 2.10в), используют круглую формулу:

$$\alpha = 0,5 - (0,5 - L_1/L) F_1/F \quad (2.41)$$

где  $L_1$  — расстояние от верхнего створа участка до устья впадающей реки, площадь водосбора которой  $F_1$ .

При слиянии равных рек (рис. 2.10а) соотношение для расчета средневзвешенного расхода воды должно учитывать время догазания на отдельных подучастках и площади их бассейнов. В этом случае проще сразу записать выражения для расчета объема воды на таком участке:

$$W = (\tau_1 + \tau_2) Q_{0,1} + (\tau_2 + \tau_1) Q_{0,2} + \tau_1(Q - Q_{0,1} - Q_{0,2}), \quad (2.42)$$

причем

$$\tau_1 = \frac{L_1}{v} + \frac{L_1}{v} \left( (\tau_1 + \tau_2) F_1 / F + (\tau_2 + \tau_1) F_2 / F \right), \quad (2.43)$$

где  $\tau_1, \tau_2, \tau_3$  — время догазания на подучастках;  $F_1$  и  $F_2$  — площади бассейнов двух верхних подучастков;  $F$  — площадь всего частного бассейна.

Если время догазания на верхних подучастках практически одинаково ( $\tau_1 + \tau_2 = \tau_3 = \tau$ ), зависимость (2.43) упрощается:

$$\tau_1 = 0,5(\tau_1 + \tau(F_1 + F_2)/F),$$

где  $\tau$  — общее время догазания на участке.

Если, кроме того  $\tau_3 = 0,5\tau$ , а  $(F_1 + F_2)/F = 0,5$ , получается простое выражение для расчета объема воды на участке:

$$W = \tau(Q_{0,1} + Q_{0,2} + Q)2. \quad (2.44)$$

Построение кривой объемов по морфометрическим данным. Если по длине участка имеются данные о поперечных профилях русла и поймы, то объем воды можно вычислять, пользуясь формулой

$$W = \sum_{i=1}^n \bar{\omega}_i L_i. \quad (2.45)$$

где  $\bar{\omega}_i$  — средняя площадь поперечного сечения на участке между двумя поперечниками,  $L_i$  — расстояние между этими поперечниками,  $n$  — число поперечников.

Выполнив расчеты по выражению (2.45) при различных расходах воды, легко построить кривую объемов в зависимости от средневзвешенного расхода воды.

Можно использовать и другой подход. По картам или аэрофотоснимкам определяют при различных уровнях площадь водной поверхности  $\Omega$  на участке, ограничивают створами двух гидрологических постов. Затем строят зависимость  $\Omega = f(H)$ . Средний уровень  $\bar{H}$  по аналогии с расходами воды можно определить по уровням верхнего ( $H_1$ ) и нижнего ( $H$ ) постов:  $\bar{H} = 0,5(H_1 + H)$ . После этого можно вычислить объемы воды для различных  $H_1$ , найд некоторым начальным уровнем  $H_0$ :

$$W(\bar{H}_n) = \sum_{i=0}^n \frac{1}{2} [\Omega(\bar{H}_{i+1}) + \Omega(\bar{H}_i)] (\bar{H}_{i+1} - \bar{H}_i). \quad (2.46)$$

При расчете по этой формуле приращению среднего уровня ( $\bar{H}_{i+1} - \bar{H}_i$ ) необходимо выбирать такими, чтобы на этих участках функцией  $\Omega = f(H)$  была линейной.

Получив значения  $W$  для различных значений  $H_1$ , и используя зависимость  $\bar{H} = f(Q)$ , можно построить кривую объемов.

Такой подход можно использовать в тех случаях, когда нет других необходимых данных для более точного получения кривых объемов.

Способы построения кривых объемов по морфометрическим данным используют нечасто, так как они очень трудоемки и редко имеются необходимая информация.

Уточнение кривой объемов. Исклад кривых объемов, построенных одним из рассмотренных выше способов, имеет вид петли. Это чаще всего связано с приближенностью определения средневзвешенного расхода воды на участке, относительно которого строят кривую объемов.

Чтобы уменьшить размер петли и разброс точек, параметр  $\alpha$  в соотношении (2.39) уточняют подбором. Делают несколько построений кривой объемов при различных значениях  $\alpha$  и выбирают ту кривую, у которой разброс точек наименьший. Такой подбор может быть осуществлен для нескольких диапазонов  $\bar{Q}$ , т. е. может быть подобрано несколько значений  $\alpha$ .

Построение кривой объемов по ветвям спада паводка. Такое построение правомерно тогда, когда приток воды в русловую сеть отсутствует или сравнительно постоянный, и относится к небольшим рекам и верхьям рек, ограниченным одним створом на расстоянии 80–100 км от истока. В этом случае задача сводится к двум операциям: последовательному суммированию с конца паводка  $t_k$  (ходом вниз) наблюдаемых средних суточных расходов воды и замыкающего створа ( $Q_1$ ) за вычетом расходов грунтового притока ( $Q_{10} = \text{const}$ ):

$$W_i = \Delta t \sum_{k=i}^1 (Q_i - Q_{10}) \quad (i = i_k, i_k - 1, i_k - 2, \dots, i_k - i_{\text{нач}});$$

$i_{\text{нач}}$  — начало спада)

и построению связи  $W = f(Q)$ .

Такую процедуру осуществляют для нескольких паводков и находят среднюю кривую объемов.

Если нельзя отобрать паводки с пренебрежимо малым притоком в русловую сеть за период спада, то для исключения его влияния применяют следующие приемы:

а) на графике с совмещенными кривыми объемов за отдельные паводки проводят линию отгибающую кривую;

б) строят кривую объемов по нижней отгибающей линии на графике связи  $Q_{i+1} = f(Q_i)$ . Для этого по ряду паводков в период спада (после точки перегиба) строят график связи средних суточных расходов воды за смежные сутки: по оси абсцисс — расход за данные сутки ( $Q_i$ ), по оси ординат — расход за

следующие сутки ( $Q_{i+1}$ ) (рис. 2.11 а). На графике проводят нижнюю отгибающую кривую, причем отдельные, сильно отклоняющиеся точки могут быть оставлены ниже этой кривой. Отгибающую кривую ориентируют в нижней части графика на точку с координатами  $Q_i = Q_{i+1} - Q_{\text{пр}}$ .

Полученную кривую дерастраивают в кривую спада. Для этого в пределах кривой берут наибольшее значение расхода  $Q_0$  и с нее снимают соответствующее ему на оси ординат значение

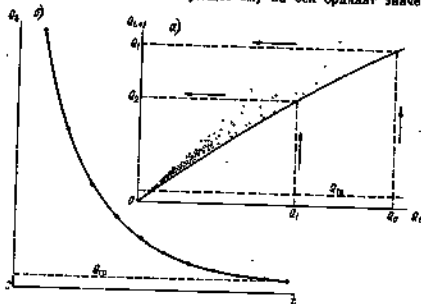


Рис. 2.11. Схема дерастроения нижней отгибающей кривой на графике спада  $Q_{i+1} = f(Q_i)$  (а) в кривую спада паводка  $Q(t)$  (б).

$Q_0$ , по которому затем с кривой снимают соответствующее ему на оси ординат значение  $Q_0$ , в т. д. путем последовательного снятия с кривой определяют убывающие значения  $Q_0, Q_1, Q_2, \dots, Q_{i-1}, Q_i, Q_{i+1}$ . По ним строят кривую спада (рис. 2.11 б), где отсчет времени ведут от даты наступления расхода  $Q_0$  с интервалом в один сутки. Сумма суточных значений разности  $Q_i - Q_{i+1}$  (задан назад) от момента  $t_{i-1}$  до момента  $t_i$  умноженная на число секунд в сутках, есть объем воды  $W_i$ , соответствующий расходу  $Q_i$ . Средняя длина зависимости  $W_i = f(Q_i)$  представляет собой некоторую кривую объемов.

Ветвь спада гидрографа, полученная на основании нижней отгибающей графика  $Q_{i+1} = f(Q_i)$ , зачастую оказывается слишком крутой. Вследствие этого вычисленный объем оказывается меньше объема, определенного путем суммирования расходов с конца паводка, и учитывает запас воды в основном только в главном русле. При значительном притоке в русловую сеть в период

спада паводка (например, на малых и средних реках лесной зоны, на горных реках) применение описанного способа невозможно.

Пример 2.4. Построение кривой объемов воды для участка р. Оки от Калуги до Каширы по ураламского водного баланса.

На этом участке в р. Оку впадает р. Протва. Утренняя язычковым створом (с. Спас-Залорье) площадь бассейна р. Протвы

Таблица 27

Вычисление объема воды в р. Оке на участке Калуга—Кашира за гидропериод 1968 г. ( $k=2,85$ ), м<sup>3</sup>/с

Дата	Калуга $Q_0$	Кашира $Q_0$	Приток с реки Протва $Q_{\text{пр}}$	$Q_{\text{пр}} - kQ_0$	$Q_{\text{пр}} - kQ_0 + Q_0$	$Q_{\text{пр}} - kQ_0 + Q_0 + Q_{\text{пр}}$	$W = \sum (Q_i - Q_{i+1})$	$W \cdot 2,85$	$\frac{Q_0 + Q_{i+1}}{2}$
1	2	3	4	5	6	7	8	9	
10/IV	181	171	8,81	11,5	188	—3	—8	181	
11/IV	160	174	8,41	11,7	177	21	0	167	
12/IV	177	181	8,26	17,3	202	21	21	179	
13/IV	227	200	9,96	19,9	256	56	77	214	
14/IV	300	237	12,2	25,4	312	101	178	268	
15/IV	513	321	19,3	40,1	672	251	423	417	
16/IV	1000	503	38,3	79,7	1118	558	984	786	
17/IV	2090	1096	68,6	142	2330	1230	2304	1995	
18/IV	3710	1806	128	260	3056	1936	3499	2355	
19/IV	3150	2238	184	387	3723	793	4292	3040	
20/IV	4390	4040	336	609	5425	786	5077	4515	
21/IV	6040	5910	504	1046	7692	1982	7069	5825	
22/IV	7330	6720	665	1262	9397	2677	9738	7060	
23/IV	7430	8020	700	1486	9686	1068	11302	7725	
24/IV	6730	8540	692	1281	8683	19	11315	7636	
25/IV	3890	8170	478	884	7362	—808	10507	7030	
26/IV	4970	7940	349	798	6346	—1195	9312	6105	
27/IV	3370	2230	282	394	4746	—1484	7828	5100	
28/IV	2360	5200	226	474	3662	—1626	6300	4126	
29/IV	2040	4390	198	408	2644	—1745	4454	3216	
30/IV	1470	3410	127	264	1861	—1849	2906	2440	
1/V	1380	2320	82,3	171	1839	—937	1968	1725	
2/V	885	1630	66,3	138	1089	—961	1407	1265	
3/V	736	1270	62,8	131	929	—341	1086	1008	
4/V	641	1000	62,4	89	898	—167	894	823	
5/V	585	852	57,3	150	763	—89	810	718	
6/V	527	759	64,1	91,7	657	—96	714	643	
7/V	476	683	56,1	75,1	587	—94	620	578	
8/V	432	617	81,0	64,6	527	—90	530	524	
9/V	384	569	28,8	55,7	496	—93	487	472	
10/V	346	512	29,3	48,3	415	—94	343	430	
11/V	316	468	20,6	42,9	381	—84	250	392	
12/V	291	431	18,7	38,9	349	—82	177	361	
13/V	267	401	16,8	34,9	319	—82	95	334	
14/V	249	379	15,6	32,2	297	—82	18	314	
Сумма	71 016	67 819	5489,7						

составляет 3540 км<sup>2</sup>, а общая площадь, с которой формируется промежуточный приток, 13800 км<sup>2</sup>. Необходимые для построения кривой объемов расчеты приведены в табл. 2.7, в которой расходы воды по трем сторонам и их сумма за восемь давок указаны в графах 2—4. Коэффициент боковой приточности  $k$  для данного вывода определяем по выражению

$$k = \left( \sum_{\Gamma} Q_{\Gamma} - \sum_{\Gamma} Q_{\Gamma} - \sum_{\Gamma} Q_{\Gamma} \right) / \sum_{\Gamma} Q_{\Gamma} = 2,08.$$

С учетом этого коэффициента вычисляем боковой приток ( $Q_{\Gamma}$ , графа 5). Общий приток воды на участке русла указан в графе 6. В графе 7 приведено изменение суточных объемов воды, равное левой части соотношения (2.31). Сумма суточных изменений объемов воды дает объем воды на участке (графа 8). Вычисляем средние расходы воды на участке (графа 9) и графически связываем с объемами воды. По полю точек проводим кривую.

Аналогичным образом делаем построение для различных выводов (за многолетие с экстремальными значениями подоста на участке). Все полученные кривые объемов наносим на один график и получаем серию кривых. Затем на оси  $Q$  выбираем расход воды, близкий к среднему ( $\bar{Q}$ ), и с каждой кривой снимаем значение  $W_i$ , соответствующее этому значению расхода. По этим значениям определяем среднее значение  $W$ , которое наносим на график. В эту точку проводим вертикальное смещение кривых и получаем их нуль. Через нуль проводим среднюю линию, которую и принимаем за расчетную кривую объемов (рис. 2.12).

### 2.2.2. Расчет расходов воды по кривым объемов

Систему уравнений (2.1) и (2.2) при  $Q_0=0$  можно записать в разностной форме:

$$Q_{i+1} = Q_{i+1} + Q_{i+1} - Q_i - \frac{2}{\Delta t} (W_{i+1} - W_i), \quad (2.47)$$

$$W_i = f(\bar{Q}_i), \quad (2.48)$$

где  $\Delta t$  — расчетный интервал времени;  $i, i+1$  — классы, указывающие на начало и конец расчетного интервала времени. Кривую объемов обычно задают в табличной форме.

В общем случае эту систему решают методом итераций (приближений): вначале значение искомого расхода воды  $Q_{i+1,0}$  принимают равным расходу в предыдущий момент времени  $i$ ; используя это значение, по кривой объемов (2.48) находят начальное значение объема; вычисляют крайнюю часть выражения (2.47), в результате чего получают новое приближение расхода  $Q_{i+1,1}$ ; если разность  $(Q_{i+1,1} - Q_{i+1,0})$  меньше заданной точности вычи-

слений ( $d$ ), то значение  $Q_{i+1,1}$  принимают в качестве окончательного; в противном случае значение  $Q_{i+1,1}$  заменяют расходом  $Q_{i+1,1}$  и процедуру расчета повторяют до достижения заданной

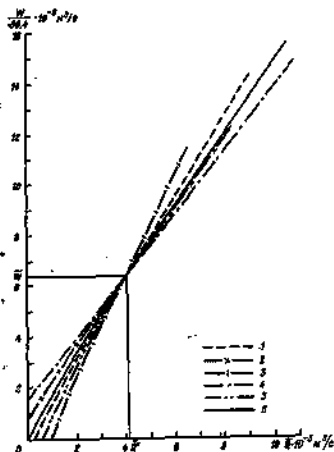


Рис. 2.12. Построение кривой объемов для участка русла по нескольким выводам.

Кривая 6 — средняя.

точности. Опыт показал, что значение  $d$  следует принимать равным 0,001  $Q_{i+1, макс}$ . Для скорости итераций расчетный интервал времени необходимо выбирать меньше минимального значения величин  $2 \Delta W / \Delta Q$ .

Описанная процедура довольно трудоемка для ручных расчетов и, как правило, реализуется с помощью вычислительных машин.

Для ручных расчетов можно воспользоваться графоаналитическим способом. В этом случае уравнения (2.47) записывают в виде

$$Q_{n+1} + Q_{n+1, \text{с.}} + (2W_1/\Delta t - Q_1) = 2W_1/\Delta t + Q_{n+1} \quad (2.48)$$

Для решения этого уравнения предварительно строят вспомогательную зависимость

$$2W_1/\Delta t + Q = f(Q). \quad (2.50)$$

При известной кривой объемов такую зависимость легко построить по данным о расходах воды, используя для вычислений

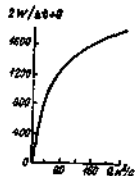


Рис. 2.13. Зависимость  $2W_1/\Delta t + Q = f(Q)$ .

левую часть уравнения (2.49), в которой все величины известны. Вид такой зависимости показан на рис. 2.13.

Расходы рассчитывают в следующем порядке (табл. 2.8). В графе 1 записывают порядковые номера расчетных интервалов. В этом примере принят полусуточный расчетный интервал и поэтому, если первый stroke относится к 8 ч утра, то второй — к 20 ч, третий — к 8 ч утра следующего дня и т. д. Значения притока в указанные сроки вносят в графу 2, а фактический расход

Таблица 2.8

Пример расчета графоаналитическим способом

Интервал расчетного интервала	$Q_n$ , м³/с	$2W_1/\Delta t - Q$ , м³/с	$2W_1/\Delta t + Q$ , м³/с	$Q$ , м³/с
1	2	3	4	5
1	50	950	1000	(40)
2	80	870	1030	44
3	180	1022	1232	60
4	230	1322	1462	120
5	180	1266	1622	168
6	100	1266	1526	190
7	70	1266	1436	114
8	80	1162	1536	88
9	50	1124	1272	74
10	42	1086	1216	64

воды в нижнем створе (40 м³/с) записывают в первую строку графы 5, по значению которого с зависимости на рис. 2.13 снимают значение  $2W_1/\Delta t + Q = 1000$  м³/с и записывают в первую строку графы 4.

Величину  $2W_1/\Delta t - Q$  в графе 3 определяют как

$$2W_1/\Delta t + Q - 2Q = 1000 - 2 \times 40 = 920 \text{ м}^3/\text{с}.$$

Суммируя расходы притока на начало и конец расчетного интервала с величиной, указанной в графе 3, вычисляют значение  $2W_1/\Delta t + Q$  на конец первого интервала ( $50 + 80 + 920 = 1050$ ), а по нему с кривой на рис. 2.13 снимают расход воды в нижнем створе, равный 44 м³/с. Затем определяют  $2W_1/\Delta t - Q$  для второй строки ( $1050 - 2 \times 44 = 962$ ) и выделенным путем вычисляют значение  $2W_1/\Delta t + Q$  для конца второго интервала ( $80 + 180 + 962 = 1202$ ) и соответствующий ему расход воды в нижнем створе (60 м³/с) и т. д.

### 2.3. Линейные модели трансформации для приточных участков

К приточным участкам можно отнести участки рек, на которых боковой приток (отток) составляет 10 % и больше стока входного створа. Чаще приходится иметь дело с притоком, однако при хорошо развитой пойме заметное влияние на сток могут оказывать потери на пойме (отток).

В практике прогноза используют два принципиально различных способа учета бокового притока: в форме сосредоточенного и распределенного притока. К сосредоточенному относится приток, поступающий на участок по сравнительно большим для данного бассейна рекам. При распределенном притоке большая его часть поступает по сравнительно небольшим рекам и со склонов. Провести четкую грань между этими двумя типами притока довольно трудно. Поэтому при выборе схемы учета бокового притока следует руководствоваться следующими практическими рекомендациями:

1. Построить проточностную схему, основанную на сосредоточенном притоке, проще. Поэтому распределенный приток следует учитывать только в случае, если он составляет 50 % и больше суммарного бокового притока и не меньше 25 % стока входного створа.

2. Чем больше число учитываемых сосредоточенных притоков, тем сложнее определять параметры проточностной схемы. Поэтому для характеристики сосредоточенного притока следует выбирать реки, сток которых составляет больше 25 % суммарного притока на участке, но не меньше 15 % стока входного створа.

3. Практика показала, что нежелательно использовать больше двух сосредоточенных притоков. Если на участке имеются больше двух довольно крупных притоков, сток некоторых из них

необходимо объединить (просуммировать) расход воды). Эти суммы можно прибавить к расходам воды входного створа (если створ, учитывающий сток на притоке, расположен вблизи входного створа участка) или непосредственно к трансформированным расходам, полученным в выходном створе (если створ, учитывающий сток на притоке, расположен вблизи выходного створа).

4. Если створы с данными о стоке расположены далеко от места впадения притока в главную реку, выделение сосредоточенного притока по соотношению объемов стока сделать трудно. В таких случаях для оценки вклада каждого из притоков можно пользоваться соотношением их площадей водосборов.

### 2.3.1. Методы, основанные на учете сосредоточенного бокового притока

Эти методы основаны на использовании частных кривых добогания, т. е. кривых добогания от каждого учитываемого в прогностической схеме входного створа, аналогичных рассмотренным в п. 2.1. Приведенное ранее соотношение (2.8) для бесприточного участка можно обобщить и привести к виду

$$Q_i = \sum_{k=1}^m k_k \sum_{l=1}^i \sum_{j=1}^{i-l+1} P_{ik} Q_{k,l,i-l+1} \quad (2.51)$$

где  $m$  — число учитываемых на участке притоков плюс единица;  $P_{ik}$  — ординаты частной кривой добогания для  $i$ -го вклада;  $Q_{k,l}$  — расход воды  $i$ -го вклада;  $k_k$  — коэффициенты стоковой привоки, соответствующие каждому  $i$ -му входному створу и позволяющие увязать баланс стока на рассматриваемом участке реки.

При разработке методики прогноза сначала необходимо выбрать входные створы на притоках, сток которых будет использован в качестве характеристики сосредоточенного бокового притока. При этом следует руководствоваться рекомендациями, приведенными в начале этого раздела. Необходимо также учитывать, что чем ближе выбранный створ на притоке к замыкающему створу участка, тем большее влияние он оказывает на уменьшение заблаговременности прогноза. Иногда приходится рассматривать несколько вариантов учета входных створов и окончательный выбор делать после сравнительных расчетов по каждому варианту.

После выбора входных створов нужно определять коэффициенты стоковой привоки для каждого из них. Обычно эти коэффициенты определяют путем сопоставления объемов вклада и выходного створа. Для ряда впадов (или поворотов) определяют объем стока во входных и выходном створах. С помощью карты бассейна промежуточную площадь водосбора, по освещенную данными наблюдений за стоком, распределяют между всеми вкладами. Полагая, что модуль стока с освещенных

и не освещенных данными наблюдений площадей равен, можно определить коэффициенты по площадям для каждого вклада:

$$k_{i,l} = 1 + f_{i,l} / f_i \quad (i = 1, 2, \dots, m), \quad (2.52)$$

где  $f_{i,l}$  — не освещенная данными наблюдений площадь, отнесенная к  $i$ -му входу;  $f_i$  — площадь до  $i$ -го входного створа, по которому используются расходы воды. Очевидно, что  $\sum_{i=1}^m (f_{i,l} + f_i)$  должна быть равна площади водосбора до выходного створа.

Для каждого выбрального впадка находят коэффициент невязки баланса с учетом полученных коэффициентов по площадям:

$$K_{n,i} = W_i \sum_{l=1}^m k_{l,i} / W_{l,i}; \quad (i = 1, 2, \dots, N), \quad (2.53)$$

где  $W_i$  — объем стока (сумма расходов воды) в замыкающем створе для  $i$ -го впадка;  $W_{l,i}$  — объем стока  $i$ -го впада для  $i$ -го впадка;  $N$  — число впадов.

Если коэффициенты  $K_{n,i}$  сильно меняются от впадка к впадку, нужно попробовать поменять коэффициенты  $k_{l,i}$  и определить новые значения  $K_{n,i}$ . Нужно выбрать те значения  $k_{l,i}$ , которые дают наименьший разброс  $K_{n,i}$ . После этого определяют коэффициенты стоковой привоки:

$$k_{li} = k_{l,i} / \bar{K}_{n,i} \quad (2.54)$$

где  $\bar{K}_{n,i}$  — среднее арифметическое значение коэффициента невязки баланса за все впадки.

При выборе коэффициента невязки следует также учитывать неравенство

$$Q_{\max,i} / k_i < \sum_{l=1}^m (k_l Q_{\max,l,i}), \quad (2.55)$$

где  $Q_{\max,i}$ ,  $Q_{\max,l,i}$  — максимальные расходы в замыкающем створе и входных створах соответственно для  $i$ -го впадка.

Если неравенство (2.55) не выполняется, необходимо повторить процедуру определения коэффициентов стоковой привоки, увеличив вес впадов с большими максимальными расходами воды.

Если возникают затруднения при определении площадей  $f_{i,l}$  по карте, можно пользоваться следующими приближенными выражениями для их определения:

$$f_{i,l} = f_{i,0} (S_{i,l} / S_i) \sum_{j=1}^m (S_{i,j} / S_i), \quad (2.56)$$

где  $f_{i,0}$  — не освещенная данными наблюдений промежуточная площадь,  $f_{i,l}$  — общая промежуточная площадь на участке. В этом случае не освещенная данными наблюдений площадь распределяется обратно пропорционально площадям, ограниченным входными створами.

Кривые добогания  $p_i$  для каждого входного створа выражают аналогично кривым для бесприточного участка. Однако в этом случае общее число ординат кривых добогания для всех входных створов может быть большим. Поэтому целесообразно использовать только аналитические представления кривых добогания. Чаще всего для этого используют соотношение (2.13), которое будет включать в себя по два параметра для каждого входного створа (если принимаем одну кривую добогания для всего диапазона изменения расходов, т. е.  $i=1$ ). Следовательно, общее число параметров кривых добогания будет равно  $2m$  и при большом числе входов найти их единственные значения достаточно сложно. Поэтому, как отмечалось выше, не рекомендуется использовать больше трех частных кривых добогания.

Параметры кривых добогания определяют так же, как и для бесприточных участков. Однако следует иметь в виду, что зависимость (2.16) — (2.20) при оценке параметров  $\lambda_i$  и  $\tau_i$  могут давать заметную погрешность. Поэтому, как правило, их приходится уточнять путем сопоставления фактических и рассчитанных расходов воды в замыкающем створе. Объем вычислений при этом значительно больше, чем для бесприточных участков. Поэтому следует пользоваться алгоритмами оптимизации, реализованными на ЭВМ (прил. 2.1).

Процедуру подбора параметров удается упростить, если гидрографы на притоках сдвигаются во времени по отношению друг к другу таким образом, что в замыкающем створе наблюдаются две (или больше) волны, сформированные расходами различных входов. В этом случае сначала уточняют параметры кривых добогания для входного створа, сформировавшего первую волну при постоянных начальных значениях параметров для остальных входных створов. При этом сравнивают фактические и рассчитанные расходы воды только для первой волны. После этого аналогичные расчеты выполняются для другого входа с учетом расходов воды второй волны.

Пример 2.5. Выбор сосредоточенных притоков и определение коэффициентов стоковой привошки для р. Усы на участке с. Петруха — с. Адылья.

Промежуточная площадь составляет 27200 км<sup>2</sup>, причем больше половины ее (54 %) приходится на приток р. Косью. Другой приток р. Кочмес составляет всего 6 % промежуточной площади. Таким образом, целесообразно рассматривать сосредоточенный приток (р. Косью). Сток р. Косью будем учитывать как сумму расходов в створах д. Косью (р. Косью) и д. Кожин (р. Кожин, приток р. Косью). Для соблюдения баланса воды на участке определим коэффициенты стоковой привошки. Неосвоенную промежуточную площадь распределим пропорционально площади входов (2.56). Расчеты по соотношениям (2.56) и (2.52) сведены в табл. 2.9.

После определения коэффициентов  $k_i$ , рассчитываем коэффициенты стоковой привошки (табл. 2.10), используя соотношения

Таблица 2.9

Расчет коэффициентов  $k_i$  и учетных площадей  $F_i$  по освоенной площади заповедной овражной

Рек — створ	$I_i$ км <sup>2</sup>	$\frac{I_i}{I}$	$\frac{I_i \beta_i}{\sum_{i=1}^n (I_i \beta_i)}$	$F_i$ , км <sup>2</sup>	$\frac{F_i}{I_i}$	$\frac{\frac{F_i}{I_i} \beta_i}{\sum_{i=1}^n \frac{F_i}{I_i} \beta_i}$
1	2	3	4	5	6	7
Усы — с. Адылья (выходной)	54700	—	—	—	—	—
Усы — с. Петруха (входной)	27500	0,99	0,25	4545	0,2	1,2
Косью — д. Косью + Кожин — д. Кожин (промежуточная площадь)	27200	0,92	0,75	13435	1,5	2,5
Сумма		4,01				

(2.53) и (2.54). Предварительно подсчитываем объемы (сумма расходов) за полугодие и выбираем максимальные расходы воды по входным и выходному створам (графа 2—4). Затем в графах 5—8 подсчитываем коэффициенты стоковой привошки за каждый год и средние значения для входного створа (1,02) и для притока (2.13). По этим коэффициентам находим объемы в выходном створе и их отношение к фактическим (графа 9—10). Ошибка расчета объемов с использованием этих коэффициентов стоковой привошки не превышает 6 % фактического объема. Рассчитанные непропорциональные максимальные расходы воды (графа 11) во всех случаях превышают максимальные расходы замыкающего створа (графа 12), т. е. равенство (2.55) выполняется.

### 2.3.2. Учет распределенного бокового притока

Выражение для расчета трансформации с учетом распределенного притока можно получить аналогично тому, как это делалось для бесприточного участка. Если в правую часть уравнения (2.5) добавить распределенный приток, поступающий на каждый расчетный участок, и принять допущения, которые были сделаны в методике Калинин—Милотова, из уравнений (2.3) — (2.4) получим

$$Q(t) = \int p(z) Q_0(t-z) dz + \sum_{i=1}^n \int p_i(z) Q_{0i}(t-z) dz. \quad (2.57)$$

Таблица 2.10

Расчет коэффициентов стандартной привади

Год	Сумма расходов на топливо $W = \sum Q \cdot 10^{-3}$			$\sum k_{i,j} \cdot W_{i,j}$	$k_{i,j} = \frac{W_{i,j}}{\sum k_{i,j} \cdot W_{i,j}}$	$k_i = k_{i,j} \cdot j$		$W_p = \sum k_i \cdot W_{i,j}$	$W - W_p = \Delta W$	$Q_{\text{норм. р.}} = \sum k_i \cdot Q_{\text{норм. р.}}$	$\Delta Q_{\text{норм. р.}} = Q_{\text{норм. р.}} - Q_{\text{норм. р.}}$
	Максимальная величина $Q_{\text{норм. р.}}$					Потребл.	Космо - Космо				
	с. Азия	с. Европа	Космо - Космо								
1	2	3	4	5	6	7	8	9	10	11	12
1966	$\frac{196}{7150}$	$\frac{194}{4850}$	$\frac{37,2}{1910}$	218	0,89	1,07	2,23	185	-11	9160	2010
1970	$\frac{180}{8630}$	$\frac{102}{4620}$	$\frac{36,8}{3060}$	219	0,82	0,96	2,05	187	7	11300	2570
1971	$\frac{260}{10000}$	$\frac{152}{3380}$	$\frac{43,2}{2150}$	303	0,86	1,08	2,15	268	-2	13000	3000
1973	$\frac{292}{10400}$	$\frac{175}{7320}$	$\frac{55,7}{3010}$	349	0,81	0,97	2,08	298	16	14500	4100
1976	$\frac{397}{11300}$	$\frac{188}{6850}$	$\frac{66,8}{3600}$	373	0,86	1,06	2,30	317	-10	14600	3300
Сумма						5,11	10,66		0		
Среднее						1,02	2,18				

Таблица 2.10

Расчет коэффициентов стоковой функции

Год	Сумма расходов за поливочный период $\sum_{i=1}^n Q_i = \sum_{i=1}^n Q_i^0 + \sum_{i=1}^n Q_i^1$				1	2	3	4	5	6	7	8	9	10	11	12
	Максимальный расход (данные в Актен)	Средний расход (данные в Актен)	Коэффициент стока	Коэффициент стока												
1966	104 7 180	104 4850	37,2 1910	218	0,89	1,07	2,23	186	-11	9 160	3010					
1970	189 8 650	105 4620	38,8 3060	219	0,82	0,98	2,05	187	7	11 200	2870					
1971	280 19 000	162 8 950	48,2 3120	303	0,88	1,03	2,15	208	-2	13 000	3000					
1973	282 13 400	175 7820	54,7 3010	349	0,81	0,97	2,08	208	16	14 900	4100					
1976	327 11 800	189 8850	58,8 2800	378	0,83	1,06	2,20	317	-10	14 600	3300					
Сумма																
Среднее																

где  $Q_{0j}$  — боковой приток на  $j$ -й расчетный участок;  $p_j(\xi)$  — кривая добегаия бокового притока с  $j$ -го расчетного участка, выражения, аналогично (2.13), через два параметра ( $j$  и  $\tau$ ):

$$p_{j,i} = \frac{M}{\tau(j-1)!} \left(\frac{t}{\tau}\right)^{j-1} \exp(-it/\tau), \quad (2.58)$$

где  $j$  — номер расчетного участка, начиная от замыкающего створа к впадению. При  $j=1$  кривая добегаия бокового притока совпадает с кривой добегаия для впадного створа. Таким образом, выражение (2.57) не содержит новых параметров и, как в случае бесприточного участка, содержит те же два параметра ( $\tau$  и  $\tau_0$ ).

Наиболее сложно в данном случае задать распределение притока по длине участка. По фактически данным задать непосредственно  $Q_{0j}$  не представляется возможным даже при густой сети измерений стока, так как разделение участка на  $n$  отрезков является условным и нельзя указать границ этих отрезков. Поэтому приходится определять общий боковой приток  $Q_0$  на участке и распределять его по длине каким-либо образом.

В зависимости от характера распределения русловой сети можно выделить четыре типа распределения бокового притока по длине участка: 1) равномерное по длине; 2) линейно возрастающее к замыкающему створу; 3) линейно убывающее к замыкающему створу; 4) описываемое симметричной параболой. В этих случаях соотношение (2.57) можно упростить:

$$Q(t) = \int_0^t p(t) Q_0(t-\xi) d\xi + \int_0^t p_0^*(t) Q_0(t-\xi) d\xi, \quad (2.59)$$

где  $Q_0(t)$  — общий боковой приток на участке;  $p_0^*$  — кривая добегаия общего бокового притока по основному руслу, ординаты которой в зависимости от типа распределения притока вычисляются по следующим соотношениям:

— для первых трех типов (для 1-го типа распределения  $\alpha=1$ ,  $\beta=0$ ; для 2-го типа  $\alpha=1$ ,  $\beta=-1$ ; для 3-го типа  $\alpha=0$ ,  $\beta=1$ )

$$p_{0,i}^* = \frac{1}{(2\alpha+\beta)\alpha^\beta} \sum_{j=1}^i \frac{2(\alpha+j)-\beta}{\tau(j-1)!} \left(\frac{t}{\tau}\right)^{j-1} \exp(-it/\tau) \quad (i=1, 2, \dots, r_0), \quad (2.60)$$

— для симметричного распределения (4-го типа)

$$p_{0,i}^* = \sum_{j=1}^i \frac{2j(n+1-j)-2(n+2)}{n^2(j-1)!} \left(\frac{t}{\tau}\right)^{j-1} \exp(-it/\tau). \quad (2.61)$$

При выборе типа распределения для конкретного участка реки необходимо ориентироваться на распределение площадей водосборов впадающих рек. Естественно, что соответствие какому-либо из четырех типов распределения может быть лишь приближенным.

Следует отметить, что для небольших участков рек ( $\lambda \ll 2$  сут) и небольшим боковым притоком влияние типа распределения на результаты расчета незначительно. Для больших участков рек преобладают симметричное и равномерное распределения.

Существующие способы определения общего бокового притока могут давать разные величины: от притока непосредственно в основную реку до притока со склонов. При этом трудно с уверенностью сказать, какой вид притока в каждом конкретном случае мы получим. Поэтому рассчитанный какими-либо способом боковой приток необходимо трансформировать в приток к основному руслу с помощью достаточно гибкой модели. Такой моделью может служить интеграл Дюамеля с кривой дообегания типа (2.13):

$$Q_0(t) = \int_0^t p_0^*(t-\tau) q_0(\tau) d\tau, \quad (2.62)$$

где  $p_0^*(t)$  — кривая дообегания рассчитанного бокового притока до основного русла с параметрами  $\lambda_0$  и  $\tau_0$ ;  $q_0(\tau)$  — рассчитанный общий боковой приток.

Таким образом, расчеты в этом случае необходимо вести в следующей последовательности:

- 1) рассчитать не трансформированный общий боковой приток ( $q_0$ );
- 2) определять тип распределения бокового притока по длине участка;
- 3) определить параметры кривых дообегания для входного створа ( $\lambda, \tau$ ) и рассчитанного бокового притока ( $\lambda_0, \tau_0$ );
- 4) рассчитать ординаты кривых дообегания  $p(t)$ ,  $p_0^*(t)$  и  $p_0^*(t)$ , используя соотношения (2.13), (2.60) либо (2.61);
- 5) рассчитать гидрограф притока к основному руслу по соотношению (2.62);
- 6) преобразовать полученный гидрограф притока к основному руслу в гидрограф бокового притока к замыкающему створу с помощью кривой дообегания  $p_0^*(t)$ ;
- 7) осуществить трансформацию гидрографа входного створа;
- 8) найти общий гидрограф стока в замыкающем створе как сумму трансформированных гидрографов бокового притока и входного стока.

Рассмотренная схема связана с большим объемом вычислений, поэтому для ее реализации целесообразно привлечь ЭВМ.

Для исключения двойного расчета трансформаций общего бокового притока можно соотношение (2.62) подставить в уравнение (2.59):

$$Q(t) = \int_0^t p(\xi) Q_0(t-\xi) d\xi + \int_0^t p_0(\xi) q_0(t-\xi) d\xi, \quad (2.63)$$

где  $p_0(t)$  — общая кривая дообегания бокового притока к замыкающему створу, равная

$$p_0(t) = \int_0^t p_0^*(\xi) p_0^*(t-\xi) d\xi. \quad (2.64)$$

В этом случае ординаты кривых дообегания для каждого из рассмотренных четырех типов распределения бокового притока можно приближенно оценить по табл. 2.11—2.14, полученным

Таблица 2.11

Ординаты кривых дообегания бокового притока при равномерном распределении притока по длине участка

Параметры входного створа, сут	Время дообегания на участке, сут									
	1	2	3	4	5	6	7	8	9	10
0	0,00	0,30	0,20	0,15	0,12	0,10	0,09	0,08	0,07	0,06
1	0,37	0,37	0,29	0,23	0,18	0,15	0,13	0,11	0,10	0,09
2	0,09	0,21	0,28	0,21	0,18	0,15	0,13	0,11	0,10	0,09
3	0,02	0,08	0,18	0,18	0,17	0,15	0,13	0,11	0,10	0,09
4	0,00	0,03	0,07	0,12	0,14	0,14	0,13	0,11	0,10	0,09
5		0,01	0,03	0,07	0,11	0,12	0,12	0,11	0,10	0,09
6		0,00	0,01	0,03	0,06	0,09	0,10	0,11	0,10	0,09
7			0,00	0,01	0,03	0,06	0,09	0,10	0,09	0,09
8				0,00	0,01	0,03	0,06	0,07	0,08	0,09
9					0,00	0,01	0,03	0,06	0,06	0,07
10						0,00	0,01	0,03	0,04	0,05
11							0,00	0,02	0,03	0,04
12								0,00	0,02	0,03
13									0,01	0,02
14									0,00	0,01
15										0,00

в предположении, что параметры кривых дообегания бокового притока  $\lambda_0 = 1$ , а  $\tau_0 = 1$  сут. Это значительно сокращает объем вычислений. Выбирая тип распределения бокового притока и зная общее время дообегания на рассматриваемом участке, из соответствующей таблицы выбирают ординаты кривой дообегания бокового притока. Определяют параметры и соответствующие им ординаты кривой дообегания для входного створа. По соотношению (2.63) рассчитывают расход воды в замыкающем створе.

Пример 2.6. Определение ординат кривой дообегания бокового притока для р. Онеги на участке д. Наннорожский Пососг — а. Замлево.

Длина участка 182 км, площадь частного бассейна 28 100 км<sup>2</sup> (в 2,2 раза больше, чем во входном створе). Значительных притоков на участке нет, так что боковой приток можно считать распределенным довольно равномерно по длине участка. Среднее

Таблица 2.12

Ординаты кривых добегама бокового притока при линейном увеличении притока по длине участка

Порядковый номер ординаты, сут	Время добегама на участке, сут									
	1	2	3	4	5	6	7	8	9	10
0	0,02	0,41	0,81	0,25	0,22	0,19	0,17	0,14	0,12	0,11
1	0,37	0,38	0,36	0,23	0,26	0,24	0,21	0,19	0,17	0,16
2	0,69	0,16	0,19	0,28	0,30	0,19	0,18	0,16	0,15	0,14
3	0,92	0,04	0,04	0,12	0,14	0,18	0,14	0,13	0,13	0,13
4	0,00	0,01	0,04	0,06	0,09	0,10	0,11	0,11	0,11	0,11
5		0,00	0,02	0,03	0,05	0,07	0,08	0,09	0,10	0,08
6			0,01	0,02	0,03	0,04	0,06	0,07	0,07	0,07
7			0,00	0,01	0,01	0,02	0,03	0,05	0,05	0,06
8				0,00	0,00	0,01	0,02	0,03	0,04	0,05
9					0,00	0,01	0,02	0,03	0,04	0,04
10						0,00	0,01	0,02	0,03	0,03
11							0,00	0,01	0,02	0,03
12								0,00	0,01	0,02
13									0,00	0,01
14										0,00

время добегама на участке 3 сут. В соответствии с типом распределения бокового притока и временем добегама на участке из табл. 2.11 выбираем ординаты кривой добегама бокового притока (табл. 2.15).

Таблица 2.13

Ординаты кривых добегама бокового притока при линейном увеличении притока по длине участка

Порядковый номер ординаты, сут	Время добегама на участке, сут									
	1	2	3	4	5	6	7	8	9	10
0	0,02	0,19	0,09	0,05	0,03	0,02	0,01	0,01	0,01	0,01
1	0,37	0,35	0,33	0,13	0,09	0,06	0,04	0,03	0,02	0,02
2	0,69	0,38	0,29	0,22	0,14	0,11	0,07	0,05	0,04	0,04
3	0,92	0,11	0,22	0,24	0,30	0,16	0,11	0,08	0,07	0,06
4	0,00	0,05	0,10	0,16	0,19	0,18	0,15	0,11	0,09	0,08
5		0,01	0,05	0,10	0,16	0,16	0,16	0,14	0,12	0,10
6		0,00	0,02	0,06	0,11	0,14	0,15	0,15	0,13	0,11
7			0,00	0,02	0,05	0,10	0,13	0,14	0,14	0,11
8				0,01	0,02	0,05	0,09	0,12	0,12	0,11
9				0,00	0,01	0,03	0,05	0,08	0,10	0,11
10					0,00	0,01	0,03	0,05	0,07	0,09
11						0,00	0,01	0,03	0,05	0,07
12							0,00	0,01	0,03	0,05
13								0,00	0,01	0,03
14									0,00	0,01
15										0,00

Таблица 2.14

Ординаты кривых добегама бокового притока при изменении притока на участке по симметричной parabole

Порядковый номер ординаты, сут	Время добегама на участке, сут									
	1	2	3	4	5	6	7	8	9	10
0	0,02	0,30	0,17	0,10	0,07	0,05	0,04	0,03	0,03	0,02
1	0,37	0,37	0,31	0,22	0,17	0,13	0,09	0,07	0,05	0,04
2	0,69	0,21	0,26	0,27	0,22	0,18	0,16	0,11	0,09	0,08
3	0,92	0,05	0,16	0,19	0,21	0,19	0,18	0,15	0,11	0,11
4	0,00	0,05	0,08	0,12	0,15	0,17	0,16	0,16	0,14	0,12
5		0,01	0,05	0,08	0,10	0,13	0,13	0,14	0,13	0,13
6		0,00	0,01	0,03	0,05	0,08	0,08	0,10	0,12	0,12
7			0,00	0,01	0,02	0,04	0,04	0,07	0,09	0,10
8				0,00	0,01	0,02	0,04	0,06	0,08	0,09
9					0,00	0,01	0,02	0,04	0,06	0,07
10						0,00	0,01	0,02	0,04	0,05
11							0,00	0,01	0,02	0,03
12								0,00	0,01	0,02
13									0,00	0,01
14										0,00

Таблица 2.15

Ординаты кривой добегама бокового притока

i	1	2	3	4	5	6	7
Р <sub>0</sub>	0,20	0,29	0,25	0,15	0,07	0,03	0,01

### 2.3.3. Расчет бокового притока на участке реки

Наиболее распространены способы расчета притока, основанные на использовании гидрометрических данных. В отдельных случаях, при редкой гидрометрической сети, могут быть использованы прямые методы расчета бокового притока по длинам об осадках либо об интенсивности снеготапия. Последний подход более трудоемок и требует хорошей осведомленности частного водосбора данными измерений об осадках. В связи с этим его целесообразно использовать только при сильном влиянии бокового притока и невозможности использования других подходов.

Определение притока воды по стоку малых рек. Суммарный боковой приток к участку русла можно рассматривать как общий расход воды всех малых рек, впадающих между верхним и нижним створами:

$$Q_0 = \frac{F}{n} \sum_{i=1}^n (Q_i + \Delta W_i / \Delta t_i), \quad (2.65)$$

где  $F$  — общая промежуточная площадь,  $f_i$  — площадь малых рек,  $Q_i$  — расход воды  $i$ -й малой реки,  $\Delta W_i$  — изменение объема воды

в  $i$ -й малой реке,  $n$  — число малых рек,  $\Delta t$  — расчетный интервал времени.

Использование этой формулы предполагает выбор ряда малых бассейнов, которые бы учитывали приток воды во всех зонах формирования стока и отражали средние условия стока в пределах водосбора, принимающего в участку русла.

Для малых рек, характеризующихся однородными условиями формирования стока, с примерно одинаковыми временами достижения воды, изменениями объемов воды в руслах этих рек можно пренебречь. Тогда формула (2.65) примет вид

$$Q_0 = \frac{F}{n} \sum_{i=1}^n (Q_i/f_i). \quad (2.66)$$

Если площадь малых бассейнов примерно одинакова, суммарный боковой приток воды к участку русла можно рассчитать по формуле

$$Q_0 = [F(f_1 + f_2 + \dots + f_n)] \sum_{i=1}^n Q_i. \quad (2.67)$$

Иногда вместо выражения (2.66) используется следующая зависимость:

$$Q_0 = (Q_1 + Q_2 + \dots + Q_n) + \bar{M}(F - (f_1 + f_2 + \dots + f_n)). \quad (2.68)$$

где  $\bar{M} = \frac{1}{n} \sum_{i=1}^n Q_i/f_i$  — средний арифметический модуль стока, который относится только к не освещенной измерениями промежуточной площади водосбора. Это правомерно, если измерениями стока малых рек освещено более половины водосборной площади участка реки.

Если отнести модуль расхода реки-аналога к тяготеющей площади, то боковой приток можно подсчитать по выражению

$$Q_0 = \frac{Q_1}{f_1} F_1 + \frac{Q_2}{f_2} F_2 + \dots + \frac{Q_n}{f_n} F_n = k_1 Q_1 + k_2 Q_2 + \dots + k_n Q_n, \\ F_1 + F_2 + \dots + F_n = F, \quad (2.69)$$

где  $F_1, F_2, F_3$  и т. д. — площади, тяготеющие к плотиному соответственно 1, 2-й и т. д. малой реки. Эту формулу целесообразно использовать для подсчета бокового притока тогда, когда можно выделить стокооднородные площади, а также при расчетах по большим интервалам времени (декада, месяц). В этих случаях затуманиваются особенности формирования стока, вызванные различием физико-географических условий, и главную роль играет неравномерность распределения стока по территории, связанная с неравномерностью выпадения осадков.

Заметного повышения точности подсчета бокового притока, при наличии достаточного количества рек-аналогов, можно достичь, предварительно определив общую площадь водосбора всех водо-

токов, выпадающих на участке русла, отдельно по диапазонам  $0-500, 500-2000, 2000-5000$  и  $5000-10000$  км<sup>2</sup> (реки с  $F_i > 10000$  км<sup>2</sup> учитываются отдельно). Подобрать для каждого диапазона водотоков, по меньшей мере, две-три реки-аналога соответствующих размеров, вычисляя

$$Q_0 = \bar{M}_{0-500} \sum_{i=1}^{500} F_i + \bar{M}_{500-2000} \sum_{i=500}^{2000} F_i + \bar{M}_{2000-5000} \sum_{i=2000}^{5000} F_i + \\ + \bar{M}_{5000-10000} \sum_{i=5000}^{10000} F_i, \quad (2.70)$$

где  $\bar{M}_{0-500}, \bar{M}_{500-2000}$  и т. д. — средние арифметические модули расхода воды рек-аналогов соответственно с площадью водосбора  $0 < f_i < 500$  км<sup>2</sup>,  $500 < f_i < 2000$  км<sup>2</sup> и т. д.

Применение выражения (2.70) целесообразно, если хотя бы для отдельных лет или периодов прослеживается приближенная зависимость модуля расхода  $M_i$  от площади водосбора  $f_i$ . В являющейся такой зависимости можно убедиться путем построения за каждый день паводочного периода графика связи  $M_i = f(f_i)$ . Обычно в период спада паводка связь прямая, а в период подъема — обратная. В период от даты максимальной паводка на малых реках до максимума бокового притока на участке, определенном, например, по уравнению водного баланса, эта связь наименее точна.

Рассмотренные выражения (2.65) — (2.70) для расчета бокового притока являются приближенными и могут давать незначительную погрешность на участке за весь период прохождения паводка. Поэтому для уточки баланса предварительно рассчитывают боковой приток за ряд паводков, находят суммарное значение за каждый паводок ( $\bar{W}_{\delta, i}$ ) и по фактическому приращению объема воды на участке  $\bar{W}_{\delta, \delta, i}$  за эти же паводки определяют коэффициенты связи баланса

$$k_i = \bar{W}_{\delta, \delta, i} / \bar{W}_{\delta, i}. \quad (2.71)$$

Полученные значения коэффициентов стоковой паводки усредняют за все паводки, и боковой приток, полученный по приведенным выше соотношениям, умножают на среднее значение коэффициента.

В практике часто приходится комбинировать несколько приемов подсчета бокового притока. Если на участке русла выдает одна сравнительно небольшая река и несколько малых, то расход в устье большой реки устанавливают по расходу в вышерасположенном створе на этой реке, умноженному на постоянный коэффициент  $k_1 = F_1/f_1$  ( $F_1$  и  $F_0$  — площадь водосбора соответственно до устья и до створа). Боковой приток с остальной промежуточной площадью вычисляют, например, по формуле (2.66). Такой подсчет бокового притока дает хорошие результаты для больших интервалов времени.

Для суточного интервала расходы воды на большой реке необходимо предварительно пересчитать в расходы в устье, используя для этого кривые добогама либо простую скинжу на время добогания. Боковой приток рассчитывают как и в первом случае. Таким же образом можно поступать, если на участке русла впадает несколько больших притоков.

Точность расчета притока воды по приведенным соотношениям во многом зависит от подбора рек-аналогов. Однозначно решать вопрос о необходимом числе рек-аналогов и их репрезентативности довольно трудно. Можно рекомендовать лишь ряд общих соображений.

Большой бассейн следует разбить на несколько более или менее однородных частей (полуторную и ривинную, залеженную и полую и т. д.) и для каждой части в отдельности рассчитывать приток. С большой осторожностью следует отбирать очень малые водотоки ( $f_i \leq 10 \dots 20 \text{ км}^2$ ). При площади водосбора реки-аналога 5—7 тыс. км<sup>2</sup> она практически всегда репрезентативна. Прознаком репрезентативности в первом приближении является примерное равенство средних многолетних слоев стока за полугодовое реки-аналога ( $\bar{Q}_i$ ) и большой реки в замыкающем створе ( $\bar{Q}$ ).

Более детальный анализ репрезентативности можно осуществлять по средним суточным модулям стока рек-аналогов. На каждые сутки (для длительных лаводок интервал можно увеличить) определяют средний по всем рекам-аналогам модуль в среднее квадратическое отклонение от него частных модулей:

$$\bar{M}_j = \frac{1}{n} \sum_{i=1}^n M_{i,j}, \quad \sigma_j = \sqrt{\frac{1}{n-1} \sum_{i=1}^n (M_{i,j} - \bar{M}_j)^2}$$

( $j = 1, 2, \dots, N$ ), (2.72)

где  $n$  — число анализируемых малых рек;  $\bar{M}_j$  — средний модуль на  $j$ -е сутки;  $N$  — число суток, используемых при анализе. Если по какой-нибудь реке имеется большое число отклонений ( $M_{i,j} - \bar{M}_j$ )  $\geq 3\sigma_j$ , то эта река нерепрезентативна.

При большом числе малых рек целесообразно построить матрицу парных коэффициентов корреляции средних суточных расходов воды для всех рек  $r_{i,j}$ . Для каждой из  $n$  рек получается  $n-1$  коэффициентов  $r_{i,j}$ . По этим значениям для каждой реки определяют среднее значение  $\bar{r}_i$  и  $\sigma_i^2$ . В качестве рек-аналогов выбирают реки с наибольшими значениями  $\bar{r}_i$  в самых малых  $\sigma_i^2$ .

Обычно при краткосрочных прогнозах стока весеннего половодья большой реки ( $F = 20 \dots 50 \text{ тыс. км}^2$ ) со сравнительно однородными условиями достаточно иметь 5—7 рек-аналогов. Для дождевого стока их, как правило, требуется в 2—3 раза больше. При достаточном числе рек-аналогов их лучше отбирать так, чтобы во возможности обеспечивалась равномерное их размещение на водосборе.

Определение притока воды по уравнению водного баланса. В этом случае используют уравнение водного баланса участка реки (2.1) и кривую объема:

$$Q_0(t) = 0,5[Q(t) + Q(t - \Delta t)] - 0,5[Q_0(t) + Q_0(t - \Delta t)] + [W(t) - W(t - \Delta t)]/\Delta t, \\ W(t) = \int \tilde{Q}(t) dt, \quad (2.73)$$

где  $Q(t)$  и  $Q_0(t)$  — расход воды в замыкающем и входном створах соответственно в момент времени  $t$ ;  $\tilde{Q}(t)$  — взвешенный расход в соответствии с тем, как его задавали при построении кривой объемов;  $\Delta t$  — интервал времени, выраженный в секундах. Кривая объемов может быть задана аналитически либо таблично. Способы ее построения изложены в п. 2.2.

Следует отметить, что точность расчета бокового притока по уравнению водного баланса увеличивается с увеличением  $\Delta t$ . Опыт показал, что приемлемая для практических целей точность достигается, когда  $\Delta t$  больше или равно времени добогания на участке, а расход бокового притока соизмерим с расходом в верхнем створе или превышает его.

Пример 2.7. Определение бокового притока воды на участке р. Оки от г. Калуги до г. Кашпири по уравнению водного баланса.

Общая площадь, на которой формируется боковой приток, составляет 13 800 км<sup>2</sup>. Воспользуемся кривой объемов, полученной в примере 2.4 (рис. 2.12) для этого участка.

Для расчетов уравнение водного баланса удобно записать в виде

$$Q_{0,t} = 0,5(Q_t + Q_{t-1}) - 0,5(Q_{0,t} - Q_{0,t-1}) + (W_t - W_{t-1}). \quad (2.74)$$

В этом соотношении объем воды используется в виде суммы расходов, как он был получен в примере 2.4, т. е. уменьшен в 86 400 раз.

Порядок вычислений по этому уравнению показан в табл. 2.16. По расходам воды в верхнем и нижнем створах (графа 2 и 3) определяют средний на участке расход воды (графа 4). С кривой объемов (рис. 2.12) снимаем значения объемов воды на участке (графа 5), соответствующие средним расходам. В графах 6—8 вычисляем составляющие уравнения водного баланса (2.74). Сумма этих составляющих дает боковой приток (графа 10).

Пример 2.8. Расчет суммарного бокового притока на участках р. Томи от г. Новокузнецка до г. Кемерово и от г. Кемерово до г. Томска по данным о расходах воды.

В качестве рек-аналогов используем шесть малых рек бассейна, впадающих на участке г. Новокузнецк—г. Томск. Верхний участок (г. Новокузнецк—г. Кемерово) протяженностью  $L_1 = 307 \text{ км}$  и площадью водосбора  $F_1 = 17 600 \text{ км}^2$ , нижний (г. Кемерово—г. Томск) длиной  $L_2 = 199 \text{ км}$  и площадью водосбора  $F_2 = 9800 \text{ км}^2$ .

Таблица 2.16

Расчет бокового притока ( $Q_2$ ) по упрощенно выделенного баланса, м<sup>3</sup>/с

Дата	$Q_1$ (1) Калуга	$Q_1$ (2) Комары	$\bar{Q}_1(t) = \frac{Q_1(1)}{2} + \frac{Q_1(2)}{2}$	$W(t)$	$\bar{Q}_2(t) = \frac{Q_2(1)}{2} + \frac{Q_2(2)}{2}$	$\bar{Q}_2(t) = \frac{Q_2(1)}{2} + \frac{Q_2(2)}{2}$	$\bar{Q}_2(t) = \bar{Q}_2(t) \cdot \bar{E}_2(t)$	$\Delta W(t) = W(t) - W(t-1)$	$Q_2 = \Delta W(t) + \Delta W(t)$
1	2	3	4	5	6	7	8	9	10
14/IV	151	171	161	200					
11/IV	160	174	167	210	158	172	16	10	26
13/IV	177	181	179	250	168	178	10	40	50
15/IV	227	200	214	250	202	190	12	30	18
14/IV	360	237	268	360	284	218	48	50	34
18/IV	513	321	417	620	406	279	127	250	123
16/IV	1200	568	782	1280	756	442	314	680	340
17/IV	2290	1080	1836	2580	1848	822	728	1580	857
18/IV	3715	1890	2752	3700	2490	1440	960	1060	150
19/IV	3183	2690	3040	4920	2580	2365	568	1180	615
20/IV	4390	4640	4518	7190	3770	3788	15	2260	2276
21/IV	6040	6610	5825	9000	5215	5128	90	1810	1720
22/IV	7380	6730	7050	10700	6710	6168	545	1700	1185
23/IV	7430	3022	7725	11620	7405	7370	35	920	885
24/IV	6730	6840	7635	11500	7080	8280	1200	120	1080
25/IV	8890	8170	7030	10690	8310	8358	2045	540	1205
26/IV	4870	7240	6105	9400	5430	7205	2275	1285	1015
27/IV	3290	6290	5100	8000	4270	6375	1205	1400	505
28/IV	2040	4390	4135	6520	3585	5790	2205	1480	975
29/IV	3090	4390	3215	5200	2500	4840	2840	1480	960
30/IV	1470	3410	2440	4060	1765	2600	2145	1150	295
1/V	1130	2220	1725	2280	1300	2885	1665	1130	435
2/V	855	1855	1368	2180	1005	1985	877	770	267
3/V	796	1270	1009	1780	810	1480	690	490	290
4/V	641	1020	820	1480	685	1150	447	300	147

По условиям формирования стока водосборная площадь нижнего участка довольно однородна, поэтому модуль стока, характеризующий боковой приток на этом участке, можно взять средним для всей площади. Для определения среднего модуля восполняемых расходов рек-авалогов: р. Вязьма—с. Верхний Варзаский ( $Q_2$ ), площадь водосбора  $F_2=743$  км<sup>2</sup> и р. Лебяжье—с. Безменово ( $Q_2$ ), площадь водосбора  $F_2=1390$  км<sup>2</sup>. Промежуточная площадь верхнего участка разделена на две части: левобережье (лесостепь), характеризующееся сравнительно низким модулем стока (площадь  $F_{12}$  составляет 38%  $F_1$ ), и лесной правобережье (площадь  $F_{11}$ ) с большой протяженностью главных притоков и высоким модулем стока. Для левобережной части использованы расходы воды:

р. В. Уньга—с. Панфиловское ( $Q_3$ ) с площадью водосбора  $F_3=978$  км<sup>2</sup> и р. Усвят—с. Красуляно ( $Q_4$ ) с площадью водосбора  $F_4=1100$  км<sup>2</sup>. Для правобережья использованы расходы: р. Сред. Терсь—пос. Монашка ( $Q_1$ ), площадь водосбора  $F_1=1890$  км<sup>2</sup> и р. Тайдом—с. Медведка ( $Q_2$ ), площадь водосбора  $F_2=1330$  км<sup>2</sup>.

Используя соотношения (2.67) и (2.68), можно записать выражения для расчета бокового притока:

1) для верхнего участка

$$Q_{k,1} = k_{k,1} [0,5(Q_{1f,1} + Q_{1f,2})F_{1,1} + 0,5(Q_{1f,1} + Q_{1f,2})F_{1,2}]$$

2) для нижнего участка

$$Q_{k,2} = k_{k,2} [0,5(Q_{2f,1} + Q_{2f,2})F_2]$$

где  $k_{k,1}$  и  $k_{k,2}$ —коэффициенты стоковой привода, вычисленные по средним многолетним значениям отношения фактического приращения объема стока за половецкие на участках г. Новокузнецк—г. Кемерово—г. Томск к вычисленному притоку по стоку вышеприведенных малых рек ( $k_{k,1}=0,67$ ;  $k_{k,2}=1,31$ ).

Подставив значения  $k_{k,1}$ ,  $k_{k,2}$  и  $F_1$ , получим:

$$Q_{k,1} = 2,29Q_1 + 2,04Q_2 + 1,96Q_3 + 2,75Q_4$$

$$Q_{k,2} = 2,17Q_1 + 4,9Q_2$$

По этим соотношениям можно рассчитать боковой приток к этим участкам, используя данные о ежедневных расходах воды для выбранных рек-авалогов.

## 2.4. Практические приемы прогноза с использованием уравнения трансформации волны

При использовании рассмотренных в этой главе методов для краткосрочных прогнозов расходов и уровней воды приходится решать ряд задач:

- как оценить возможную заблаговременность кризиса;
- как задать входные данные (расход на входных створах и боковой приток) на период заблаговременности;
- каким образом избежать накопления ошибок, связанных с тем, что расчет необходимо начинать за  $\gamma$  (память кривой добега) единиц времени до даты выпуска прогноза.

Рассмотрим практические способы решения этих задач.

### 2.4.1. Определение возможной заблаговременности при использовании кривых добега

Основные ошибки прогнозов, при составлении которых используются кривые добега, определяются достоверностью фактических данных, доступных к моменту выпуска прогноза и неточностью экстраполяции входных данных на период заблаговременности. Увеличением заблаговременности, как правило, увеличиваются

погрешности и средняя квадратическая ошибка может превышать среднюю квадратическую изменчивость расходов за период заблаговременности.

В общем случае допустимую заблаговременность можно определить опытным путем, используя критерий эффективности прогноза:

$$z_0 \leq 0,8\sigma_0 \quad (2.75)$$

где  $z_0$  — средняя квадратическая ошибка прогноза с заблаговременностью  $\delta$  единиц времени,  $\sigma_0$  — средняя квадратическая изменчивость расходов воды замыкающего створа за время  $\delta$ .

Вспустив серию провальных прогнозов на архивных данных и получив оценки  $z_0$  и  $\sigma_0$  ( $\delta=1, 2, \dots, \delta_m$ ), находим то наибольшее значение  $\delta$ , для которого еще выполняется неравенство (2.75). Это и будет допустимой заблаговременностью. Такой подход неудобен, так как бывает затруднительно выпустить массовые прогнозы на архивных данных.

Если мы знаем средние квадратические ошибки экстраполяции (прогноза) входных гидрографов на несколько единиц времени ( $\sigma_{10}, \sigma_{20}, \dots, \sigma_{\delta 0}$ ), ординаты кривых добегаания и средние квадратические ошибки схемы в расчетном режиме (при использовании на период заблаговременности фактических расходов во входных створах), можно использовать неравенство

$$\sqrt{z_{\delta, p}^2 + \sum_{i=1}^m k_i^2 \sum_{j=1}^{\delta} \sigma_{i, j}^2 + r_i \rho_i^2 + r_{i+1}^2} \leq 0,8\sigma_0 \quad (\delta=1, 2, \dots, \delta_m) \quad (2.76)$$

где  $z_{\delta, p}$  — средняя квадратическая ошибка схемы в расчетном режиме;  $k_i$  — коэффициент ступочной привязки для  $i$ -го входа;  $\rho_{i, j}$  — ординаты кривых добегаания  $i$ -го входа;  $m$  — число входных створов.

Аналогично предыдущему находят наибольшее значение  $\delta$ , для которого выполняется неравенство (2.76).

Если на период заблаговременности входные расходы воды полагаются равными расходам на дату выпуска прогноза (см. п. 2.4.2), можно пользоваться более простым выражением:

$$\sqrt{z_{\delta, p}^2 + \sum_{i=1}^m k_i^2 \sum_{j=1}^{\delta} \sigma_{i, j}^2 + \sigma_{i, \delta}^2 + r_{i+1}^2} \leq 0,8 \sqrt{\sigma_0^2} \quad (\delta=1, 2, \dots, \delta_m) \quad (2.77)$$

где  $\sigma_{1, j}, \sigma_{i, j}, \sigma_{i, \delta}$  — средняя квадратическая изменчивость за сутки расходов  $i$ -го входного створа и замыкающего створа соответственно.

Из соотношений (2.76) и (2.77) следует, что допустимая заблаговременность зависит не только от ошибок экстраполяции и форм кривых добегаания, но и от точности схемы в расчетном режиме.

Для расчета по соотношению (2.77) необходимо определить среднюю квадратическую изменчивость расходов входных и выходного створов за один сутки, а также ошибку расчета расходов воды замыкающего створа за  $\delta_m$  единиц времени.

Следует учитывать, что на небольшой изменчивости расходов за небольшие интервалы времени (1—2 сут) относительные ошибки в первые-вторые сутки могут оказаться больше, чем для нескольких последующих суток. Опыт показывает, что оптимальной заблаговременностью в первом приближении является заблаговременность, заключенная в пределах  $0,5\tau_0 \leq \delta \leq \tau_0$ , т. е. при  $\delta < 0,5\tau_0$  прогнозы могут оказаться неэффетивными. Конечно, точность прогноза сильно зависит от точности экстраполяции входных расходов на период заблаговременности, поэтому оценка, не учитывающая этого обстоятельства, является ориентировочной и после разработки метода прогноза должна быть уточнена по соотношениям (2.75) — (2.77).

#### 2.4.2. Задаче входных данных на период заблаговременности прогноза

Во всех рассмотренных в этой главе методах прогноза необходимо знать ход притока и расхода воды во входных створах на период заблаговременности прогноза. Чем больше заблаговременность тем при прочих равных условиях значительнее роль последующих условий. Приближенно удачнее влияние последующих условий можно оценить по сумме начальных ординат кривых добегаания (при их числе, равном заблаговременности).

В практике прогноза используют ряд приближенных способов определения будущего лотка. Выбор того или иного подхода должен основываться на физическом анализе особенностей формирования притока в каждом конкретном случае.

1. На период заблаговременности приток (боковой либо во входных створах) принимают равным притоку на дату выпуска прогноза. Этот прием целесообразно применять в период подъема паводка, если сумма начальных ординат кривых добегаания невелика.

2. Осуществляют линейную экстраполяцию входных расходов либо расходов бокового притока:

$$Q_{i, t+\delta} = Q_{i, t} + \delta(Q_{i, t} - Q_{i, t-1}) \quad (2.78)$$

где  $\delta$  — заблаговременность прогноза,  $t_0$  — момент выпуска прогноза. Такой прием может давать положительные результаты только при плавных изменениях экстраполируемых расходов воды.

3. Устанавливают связь смежных приращений расхода воды по архивным данным:

$$\Delta Q_{i, t+\delta} = r \Delta Q_i + (1-r) \Delta Q_i \quad (2.79)$$

где  $\Delta Q_{i, t+\delta}$  и  $\Delta Q_i$  — разность расходов воды за моменты времени  $t+\delta$  и  $t$ , а также  $t$  и  $t-1$ ;  $r$  — коэффициент корреляции разностей расходов, сдвинутых на единицу времени;  $\Delta Q_i$  — средняя разность.

Используя соотношение (2.79) для моментов времени  $t_0+1$ ,  $t_0+2$  и т. д., можно последовательно определять значения  $\Delta Q$  на период заблаговременности и найти соответствующие расходы воды:

$$Q_{n, t_0+\delta} = Q_{n, t_0+\delta-1} + \Delta Q_{n, t_0+\delta} \quad (2.80)$$

Пример расчета на 3 сут вперед дан в табл. 2.17.

Таблица 2.17

Расчет притока с заблаговременностью 3 сут ( $r=0,5$ ,  $\Delta \bar{Q}=0$ , дата выпуска прогноза 4 мая)

Дата	Данные $Q_n$ , вычисленные к моменту прогноза	$\Delta Q_{n, t_0+\delta} = r \Delta Q_{n, t_0+\delta-1}$	Расчетные на период заблаговременности значения $Q_n, t_0+\delta$
2	3	3	4
3/V	1150		
4/V	1230		
5/V		64,0	1294
6/V		51,2	1345
7/V		41,0	1386

Начальное значение  $\Delta Q_{n, t_0}$  (80 м<sup>3</sup>/с) получено по двум фактическим расходам воды, а остальные (графа 3) — в результате последовательного решения уравнения (2.79). По этим приращениям и по уравнению (2.80) рассчитан расход воды на период заблаговременности.

Этот подход дает несколько лучшие результаты, чем дальнейшая экстраполяция. Однако он может быть успешно использован, если достаточно большое ( $r \geq 0,6 \dots 0,7$ ).

4. Ход притока за период заблаговременности устанавливается по типовой кривой спада гидрографа. Типовую кривую спада находят по ежедневным расходам. Обычно ежедневные расходы воды в период спада выражают в долях максимального расхода  $Q_{n, \max}$  и наносят на график с осями  $Q_n/Q_{n, \max}$  и  $t$ . На один график наносят данные о кривых спада за ряд (20—30) лет. Затем проводят среднюю кривую, которую и принимают за типовую кривую спада в относительных величинах  $Q_n/Q_{n, \max} = f(t)$ . Такой подход возможен, когда кривые спада не зависят от максимального расхода. Если это условие не выполняется, типовую кривую спада находят отдельно для лет с большими, средними и малыми значениями  $Q_{n, \max}$ .

Для выражения кривой спада в аналитическом виде можно пользоваться следующими зависимостями:

$$Q_t \approx Q_{n, \max} \exp(-\alpha t^n), \quad (2.81)$$

$$Q_t = Q_{n, \max} / (1 + \beta t^2), \quad (2.82)$$

$$Q_t = Q_{n, \max} [1 - (\beta t / \tau)^m]^\beta, \quad (2.83)$$

где  $t_{\text{эк}}$  — продолжительность спада;  $\alpha, \beta, m$  — параметры зависимостей.

Обычно эти зависимости спрямляют каким-либо образом, строят графики в новых переменных и по ним находят параметры. Зависимость (2.81) спрямляют с помощью графика связи

$$\lg(\lg(Q_{n, \max}/Q_t)) = f(\lg t). \quad (2.84)$$

Параметр  $n$  будет тангенсом угла наклона этой связи, а параметр  $\alpha = 0,435 \cdot 10^4$ , где  $L$  — отрезок, отсекаемый прямой на оси ординат.

Зависимость (2.82) спрямляют с помощью графика связи

$$\sqrt{Q_{n, \max}/Q_t} - 1 = f(t). \quad (2.85)$$

Параметр  $\beta$  равен тангенсу угла наклона этой прямой. Для спрямления зависимости (2.83) строят график связи

$$\lg(1 - \sqrt{Q_n/Q_{n, \max}}) = f(t/t_{\text{эк}}). \quad (2.86)$$

Тангенс угла наклона этой связи будет параметром  $m$ .

Установить, какой из рассмотренных типов связи лучше подходит в конкретном случае, можно только опытным путем. Выбрав ту зависимость, для которой спрямляющая связь наиболее тесная близка к прямой. Следует иметь в виду, что при использовании зависимости (2.83) для прогноза необходимо предварительно калибровать способ задания ожидаемого продолжительности спада. Чаще всего удается построить график связи  $t_{\text{эк}} = f(Q_{n, \max})$ , по которому и находят продолжительность спада в процессе выпуска прогноза.

Рассмотренные зависимости могут быть использованы при более или менее устойчивой форме кривых спада от года к году. Иногда не удается построить такие обобщенные кривые спада. Тогда для прогноза на несколько суток можно рекомендовать следующий простой прием. Полагаем, что на период заблаговременности (на спаде) расходы воды убывают по экспоненте с постоянным коэффициентом. Тогда для расчета в будущие моменты времени можно воспользоваться выражением

$$Q_{t_0+\delta} = Q_{t_0} e^{-\beta \delta}. \quad (2.87)$$

где  $t_0$  — момент выпуска прогноза,  $\delta$  — заблаговременность.

Параметр  $\beta$  этого уравнения приблизительно можно оценить по двум предшествующим прогнозам расходам воды  $\beta = Q_{t_0}/Q_{t_0-1}$ .

Рассмотрение выше четыре способа задания входных данных на период заблаговременности не обладают высокой точностью и могут быть успешно применены только для прогноза небольшой заблаговременности, когда сумма начальных ординат кривых достигала мала. В каждом конкретном случае целесообразно испытывать несколько рассмотренных подходов и выбрать для прогноза лучший из них.

### 2.4.3. Учет начальных условий и корректировка прогноза

Эта задача возникает только при использовании идеальных методов трансформации, рассмотренных в п. 2.1 и 2.3. В этих случаях данные о расходах (уровнях) воды в замыкающем створе, поступившие к моменту выпуска прогноза, не используются, что может приводить к накоплению ошибок прогноза. Для исключения возможного накопления ошибок к моменту выпуска прогноза в таких случаях необходимо учесть начальные условия, т. е. расходы (уровни) воды в замыкающем створе, поступившие к моменту выпуска прогноза.

В общем виде соотносимые, учитывающие начальные условия, можно представить в виде

$$\hat{Q}_{t+s} = \hat{Q}_{t+s} + \Phi_t(Q, \delta), \quad (2.88)$$

где  $\Phi_t(Q, \delta)$  — корректирующий оператор, позволяющий учесть фактические данные на выходе, поступившие к моменту выпуска прогноза;  $Q_{t+\delta}$  — расход воды, полученный в результате прогноза по кривым добегама без учета начальных условий, т. е. по соотношениям (2.8), (2.31) либо (2.37);  $t_0$  — момент выпуска прогноза;  $\delta$  — заблаговременность прогноза;  $Q$  — фактический расход воды в замыкающем створе за некоторый период перед выпуском прогноза.

Рассмотрим в порядке усложнения несколько подходов, позволяющих задать оператор  $\Phi_t(Q, \delta)$ .

1. Если параметр кривой добегама  $n$  равен единице,

$$\Phi_t(Q, \delta) = Q_{t+\delta} \exp(-\delta/\tau), \quad (2.89)$$

где  $\tau$  — параметр кривой добегама;  $Q_{t+\delta}$  — расход воды в замыкающем створе на дату выпуска прогноза.

Если параметр  $n$  близок к единице, но не равен ей, можно округлить  $n$  до единицы, пересчитав параметр  $\tau$  по выражению  $\tau^* = n\tau$ . При этом ординаты кривой добегама, используемые при вычислении первого слагаемого соотношения (2.88), лучше считать по исходным значениям (без округления) параметров.

2. Если  $n$  по основному входу равно 2, корректирующий оператор можно записать в следующем виде:

$$\Phi_t(Q, \delta) = (\delta + 1) Q_{t+\delta} \exp(-\delta/\tau) - \delta Q_{t-1} \exp[-(\delta + 1)/\tau], \quad (2.90)$$

т. е. здесь используются два предшествующих выпуску прогноза расхода воды замыкающего створа ( $Q_{t+\delta}$  и  $Q_{t-1}$ ). В этом случае, как и в предыдущем, при прогнозе не нужно считать трансформацию за период, предшествующий прогнозу, поэтому получается очень простое выражение для прогноза, которое включает в себя входные расходы только за период заблаговременности прогноза:

$$\hat{Q}_{t+s} = \sum_{j=1}^s Q_{t+s-j+\delta} \rho_j + \Phi_t(Q, \delta), \quad (2.91)$$

т. е. при заблаговременности 1 сут необходимо вычислить только одно произведение (помимо вычисления  $\Phi_t(Q, \delta)$ ), для 2 сут — сумму двух произведений и т. д.

Например, нужно выпустить прогноз с двухсуточной заблаговременностью для участка реки, для которого параметры кривой добегама  $n$  и  $\tau$  соответственно равны 2 и 1. Ординаты кривой добегама, рассчитываемые при этих параметрах до соотношения (2.15), равны 0,40; 0,29; 0,16 и т. д. Тогда можно записать выражение для прогноза:

$$\hat{Q}_{t+2} = 0,40Q_{t+2} + 0,29Q_{t+1} + 5Q_t \exp(-2) - 2Q_{t-1} \exp(-3) = 0,40Q_{t+2} + 0,29Q_{t+1} + 0,41Q_t - 0,10Q_{t-1},$$

где  $Q_t$  — расход воды во входном створе.

Так же как в предыдущем подходе, параметр  $\tau$  можно округлять до 2, но для пересчета в этом случае необходимо пользоваться отношением

$$\tau^* = n\tau/2.$$

Рассмотренные подходы достаточно просты, однако при наличии нескольких входов возникают затруднения. В этих случаях можно рекомендовать следующие приемы. Если один из входов вносит значительно больший вклад, чем остальные, можно пользоваться соотношением, аналогичным (2.90), с т, соответствующим этому входному створу:

$$\Phi_t(Q, \delta) = (\delta + 1) \Delta Q_{t+\delta} \exp(-\delta/\tau) - \delta \Delta Q_{t-1} \exp[-(\delta + 1)/\tau], \quad (2.92)$$

где  $\Delta Q_t$  — расход воды в замыкающем створе за вычетом рассчитанных на этот момент времени расходов воды по всем входам, кроме выделенного для учета начальных условий.

Если расходы воды всех входных створов соизмеримы между собой, лучше получить средние для всех входов параметры  $n$  и  $\tau$  и их использовать в соотношении (2.90).

3. Способ коррекции основан на учете ошибки расчета в день выпуска прогноза. По рассчитанному без коррекции расходу воды в день выпуска прогноза ( $\hat{Q}_t$ ) и фактическому расходу в этот день ( $Q_t$ ) в выходном створе определяем ошибку  $\Delta Q_t = Q_t - \hat{Q}_t$ . Полагая, что эта ошибка обусловлена неточностью входного расхода, вес которого при расчете  $\hat{Q}_t$  максимален. Естественно, что им будет расход, отстоящий от даты выпуска прогноза (назад) на число единиц времени, равное номеру максимальной ординаты ( $i_{\max}$ ). Тогда корректирующий оператор

$$\Phi_t(Q, \delta) = (\Delta Q_{t-i_{\max}} / \rho_{i_{\max}}) \rho_{i_{\max}+\delta} \quad (2.93)$$

Номер максимальной ординаты можно определить непосредственно по графику кривой добегама либо при аналитическом задании кривой добегама по соотношению

$$i_{\max} = \text{int} [\tau(n-1) + 0,5], \quad (2.94)$$

где  $t$  и  $n$  — параметры кривой дообегания,  $int$  — символ целой части, т. е.  $i_{int}$  полагается равным целой части выражения, стоящего в квадратных скобках.

Например, при  $t=2$ ,  $3$  и  $n=4$ ,  $i_{int}=7$ , т. е. получим

$$Q_n(Q, \delta) = (\Delta Q_n / p) p_{t+1}$$

На параметр  $n$  в этом подходе ограничений нет. При наличии нескольких входов можно поступать аналогично предыдущему. В этом случае можно также воспользоваться довольно простым разделением выходящего гидрографа на несколько, соответствующих каждому входу. Если допустить, что относительные ошибки расчета выходящих гидрографов для каждого входа одинаковы, то фактический гидрограф в замыкающем створе можно разделить на  $m$  гидрографов по соотношению

$$Q_{i,t} = (Q_i / Q_m) Q_{m,t} \quad (i=1, 2, \dots, m), \quad (2.95)$$

где  $Q_i$ ,  $Q_{m,t}$  — фактический и рассчитанный расход воды в замыкающем створе в момент  $t$ ;  $Q_{i,t}$  — рассчитываемый трансформированный расход, соответствующий  $i$ -му входу;  $Q_{i,t}$  — условный фактический расход, соответствующий  $i$ -му входу. Используя полученные значения  $Q_{i,t}$  и соответствующие каждому входу кривые дообегания, можно ввести поправки для каждого входа независимо.

4. Прием, основанный на использовании кривых истощения русловых запасов. Сущность этого подхода заключается в том, что расход воды в замыкающем створе рассматривается состоящим как бы из двух частей. Одна часть расхода обуславливается объемом и распределением воды на участке в начальный момент времени (момент выпуска прогноза), другая распределяется поступлением воды через верхний створ участка к с частотой бассейна (для приточного участка) после момента выпуска прогноза. При допущении, что распределение расхода воды по длине участка описывается двучленной параболой с показателем степени, равным 3,8, получим ординаты кривых истощения для входного и выходного створов при различном времени дообегания на участке (табл. 2.18, 2.19).

Ожидаемый расход в этом случае вычисляются по формуле

$$\begin{aligned} Q_{t+\delta} = & \sum_{i=1}^k Q_n \cdot \delta + \delta - 1 + p_1 + \sum_{j=1}^m Q_n \cdot \delta + \delta - 1 + p_{k,j} + \\ & + p_{шт,2} \cdot \delta Q_n \cdot \delta + p_{шт,3} \cdot \delta Q_n \cdot \delta \end{aligned} \quad (2.96)$$

где  $\delta$  — заблаговременность прогноза;  $Q_n$ ,  $Q_\delta$  — расход воды во входном створе и боковой приток;  $p_1$  и  $p_{k,j}$  — кривые дообегания расходов воды во входных створях и бокового притока;  $p_{шт,2}$ ,  $p_{шт,3}$  — ординаты кривых истощения расходов воды во входных створях и расходов в замыкающем створе, определяемые по табл. 2.18 и 2.19.

Таблица 2.18

Ординаты кривой истощения для входного створа

δ сут	Время дообегания на участке, сут									
	1	2	3	4	5	6	7	8	9	10
0	0,63	0,38	0,28	0,20	0,16	0,14	0,11	0,09	0,08	0,07
1	0,15	0,25	0,30	0,30	0,32	0,36	0,33	0,30	0,18	0,16
2	0,04	0,26	0,35	0,56	0,49	0,41	0,34	0,30	0,26	0,24
3	0,01	0,10	0,30	0,33	0,37	0,51	0,45	0,39	0,34	0,31
4	0,00	0,04	0,18	0,22	0,32	0,57	0,64	0,49	0,44	0,39
5		0,00	0,05	0,16	0,25	0,53	0,58	0,59	0,53	0,46
6			0,01	0,07	0,21	0,39	0,52	0,60	0,58	0,54
7				0,01	0,22	0,60	0,34	0,55	0,62	0,62
8					0,00	0,33	0,11	0,37	0,45	0,57
9						0,01	0,05	0,14	0,30	0,45
10							0,00	0,01	0,07	0,31
11								0,00	0,05	0,20
12									0,01	0,12
13										0,01
14										0,01
15										0,02
16										0,02
17										0,01
										0,00

Таблица 2.19

Ординаты кривой истощения выходного створа

δ сут	Время дообегания на участке, сут									
	1	2	3	4	5	6	7	8	9	10
0	0,33	0,60	0,72	0,80	0,84	0,86	0,89	0,84	0,82	0,80
1	0,05	0,25	0,45	0,61	0,66	0,74	0,77	0,80	0,82	0,84
2	0,01	0,07	0,22	0,38	0,51	0,59	0,66	0,71	0,74	0,78
3	0,00	0,02	0,10	0,22	0,35	0,47	0,52	0,61	0,66	0,69
4		0,00	0,04	0,12	0,23	0,34	0,44	0,51	0,55	0,58
5			0,00	0,05	0,13	0,23	0,32	0,40	0,47	0,54
6				0,01	0,04	0,12	0,23	0,30	0,38	0,46
7					0,00	0,01	0,05	0,13	0,21	0,28
8							0,02	0,08	0,19	0,27
9								0,02	0,05	0,10
10									0,01	0,04
11										0,01
12										0,02
13										0,01
14										0,00
15										0,00
16										0,01
17										0,00

Если используется не один входной створ, то ordinаты кривой истечения умножают на сумму расходов воды во всех входных створах, т. е.

$$Q_n = Q_{n,1} + Q_{n,2}.$$

б. Подход, основанный на моделировании ошибок входных гидрографов (статистический алгоритм адаптации). В этом случае нет ограничений на число входов и параметры кривых добегаля. Корректирующий оператор, связывающий фактические данные на выходе, имеет вид

$$\Phi_n(Q, \delta) = \sum_{i=1}^m k_{pi} \sum_{j=1}^{l_i} \eta_{i,j} + \delta - i + i P_i \alpha \quad (2.97)$$

где  $m$  — количество входных створов;  $k_{pi}$  — коэффициенты стоковой проводки для  $i$ -го входа;  $\eta_{i,j}$  — доля стока  $i$ -го входа по отношению к стоку в замыкающем створе;  $l_i$  — длина  $i$ -й кривой добегаля;  $P_{i,j}$  — ordinаты  $i$ -й кривой добегаля;  $\eta_i$  — ошибка на входе в соответствующий момент времени.

Обычно ошибки входных данных неизвестны, поэтому их приходится моделировать. Полагаем, что ошибки подчиняются нормальному закону распределения с центром  $\bar{\eta}$  и дисперсией  $D_{\eta}$ , которые необходимо оценить по фактическим данным к моменту выпуска прогноза. Для их определения строят алгоритм, основанный на поиске минимума ошибки расчета расходов воды в замыкающем створе непосредственно перед выпуском прогноза:

$$R(\bar{\eta}, D_{\eta}) = \sum_{i=1}^m k_{pi} \sum_{j=1}^{l_i} \alpha^{i-1} (Q_i - \bar{Q}_i)^2 \quad (2.98)$$

где  $l_i$  — период, за который учитываются ошибки расчета до момента выпуска прогноза (равен максимальному значению произведения  $l_i$  из всех входов);  $\alpha$  — коэффициент, позволяющий придавать меньший вес ошибкам, полученным в моменты времени, отстоящие дальше от даты выпуска прогноза;  $Q_i$  — фактический расход воды в замыкающем створе перед выпуском прогноза;  $\bar{Q}_i$  — расход воды, полученный по соотношению (2.98) с оператором  $\Phi$ , рассчитанным по выражению (2.97). По параметрам  $\bar{\eta}$  и  $D_{\eta}$ , соответствующим минимуму выражения (2.98), находят вектор  $\bar{\eta}$ , который используется для корректировки прогноза по соотношению (2.97).

Рассмотренный алгоритм очень трудоемок, поэтому расчеты необходимо вести на ЭВМ, используя, например, программу прил. 2.8. Начальный вектор  $\bar{\eta} = 0$  и  $D_{\eta} = 1$  моделируют с помощью стандартных таблиц случайных функций. Для нахождения минимума выражения (2.98) используют метод минимизации Розенброка.

Значения  $\bar{\eta}$  и  $\alpha$  рассчитывают по соотношениям:

$$\bar{\eta}_i = \left( k_{pi} \sum_{j=1}^{l_i} Q_{n,i,j} \right) / \left( \sum_{i=1}^m k_{pi} \sum_{j=1}^{l_i} Q_{n,i,j} \right) \quad (i=1, 2, \dots, m), \quad (2.99)$$

$$\alpha = \begin{cases} \delta / N_{\min} & \text{при } \alpha < 1, \\ 1 & \text{при } \alpha \geq 1, \end{cases} \quad (2.100)$$

где  $l_{i,\max}$  — целая часть произведения параметров трансформации ( $l_i$ ), соответствующих тому входному створу, для которого оказалась максимальной величина  $\alpha$ .

Процедуру оптимизации критерия (2.98) повторяют для 16 случайных векторов и из них выбирают тот вектор, для которого критерий окажется минимальным.

Дать однозначные рекомендации о выборе одного из предложенных алгоритмов корректировки довольно трудно. Если прогноз составляют с помощью ЭВМ, лучше пользоваться последним алгоритмом, практически не имеющим ограничений. При ручном составлении прогноза можно пользоваться остальными алгоритмами, причем необходимо пропустить проверочные прогнозы с использованием 2—3 подходов и выбрать лучший.

#### 2.4.4. Примеры прогноза, основанного на использовании кривых добегаля

Особое внимание при подборе примеров обращалось на особенность использования начальных условий и способа экстраполяции входных данных на период заблаговременности.

Пример 2.8. Прогноз расхода воды р. Усы в створе с. Адызя с учетом сосредоточенного притока.

Разработку метода будем вести для участка с. Петрунь — с. Адызя. Характеристика этого участка и способ определения коэффициентов стоковой проводки даны в примере 2.5. В соответствии с этим заложим выражение для расчета расхода воды в створе с. Адызя:

$$Q_{4+8} = 1.02 \sum_{i=1}^2 Q_{1, i+8-i+1} P_1 + 2.13 \sum_{i=1}^2 Q_{2, i+8-i+1} P_2 + \Phi_4(Q, \delta), \quad (2.101)$$

где  $Q_1$  — расход воды в створе с. Петрунь,  $Q_2$  — сумма расходов в створах р. Косью — д. Косью и р. Кожим — д. Кожим;  $P_1$  и  $P_2$  — ordinаты кривых добегаля входных расходов  $Q_1$  и  $Q_2$  соответственно;  $\Phi_4(Q, \delta)$  — корректирующий оператор, рассчитываемый по соотношению (2.97).

Для определения параметров  $\eta$  и  $\alpha$  кривых добегаля были выбраны расход воды в период половодья за пять лет (1966, 1967, 1978, 1975, 1976) для всех используемых в расчете

створов. По соотношениям (2.18) и (2.19) были получены начальные значения параметров:  $\eta_1=1,0$ ,  $\tau_1=3,2$ ,  $\eta_2=3,6$ ,  $\tau_2=0,84$ . С помощью программы прил. 2 эти значения были уточнены, и окончательные их значения оказались равными:  $\eta_1=3,05$ ,  $\tau_1=0,59$ ,  $\eta_2=2,65$ ,  $\tau_2=1,60$ . При этих значениях параметров память кривых добегания  $r_1$  и  $r_2$  можно ограничить 15 ординатами. Зная эти параметры, по соотношению (2.15) рассчитываем ординаты кривых добегания  $p_1$  и  $p_2$ . Таким образом, мы получили все данные, необходимые для расчета по соотношению (2.10).

Необходимо также задать способ экстраполяции расходов воды во входных створах  $Q_1$  и  $Q_2$  на период заблаговременности. Для обоих входных створов расход экстраполировали следующим образом: на подъеме использовали линейную экстраполяцию (2.78), на спаде — кривую спада (2.87) с временным коэффициентом, определяемым по двум смежным расходам воды. Окончательно для прогноза использовался следующее выражение:

$$Q_{t+s} = \sum_{i=1}^{\delta} (1,02\bar{Q}_{t, t+s-i+1} p_{1, t+s-i+1} r_{1, t} + 2,13Q_{t, t+s-i+1} p_{2, t}) + \\ + \sum_{i=1}^{\bar{m}} (1,02Q_{t, t+s-i+1} p_{1, t} + 2,13Q_{t, t+s-i+1} p_{2, t}) + \\ + \sum_{j=1}^{\bar{m}} \bar{Q}_{t+s-j+1} (1,02\bar{m}_1 p_{1, j} + 2,13\bar{m}_2 p_{2, j}), \quad (2.102)$$

где  $Q_1$ ,  $Q_2$  — расходы воды, полученные в результате экстраполяции;  $\eta_1$  и  $\eta_2$  — параметры статистического алгоритма адаптации, определяемые автоматическим.

Из соотношения (2.102) следует, что для прогноза на  $\delta$  сут необходимо иметь фактический расход воды за (15—6) сут до выпуска прогноза в створах с Петруши, д. Косью, д. Кожки и за 4 сут в замыкающем створе. Проверочные прогнозы ежедневных расходов воды в период несения половода за шесть лет показали, что эта методика может быть использована с заблаговременностью до 3 сут. Оценка эффективности ( $\eta/Q_0$ ) за этот период для заблаговременности до 3 сут составляет соответственно 0,42; 0,64 и 0,81 при средней квадратической ошибке ( $s$ ) 250, 585 и 952 м<sup>3</sup>/с. Быстрый рост ошибок с увеличением заблаговременности связан в основном с низкой точностью экстраполяции расхода воды во входных створах. Об этом свидетельствует то, что средняя квадратическая ошибка расчета (во входных створах задают фактические расходы воды на период заблаговременности) для той же заблаговременности равна 226, 364 и 480 м<sup>3</sup>/с.

**Пример 2.10.** Прогноз расхода воды р. Огони в створе д. Зиньво с учетом распределенного бокового притока.

Входным створом может быть д. Надпорожский Порог, расположенный на 182 км выше д. Зиньво. Характеристика этого

участка и кривая добегания бокового притока даны в примере 2.6 (см. табл. 2.15).

Ежедневный расход бокового притока вычислен с помощью среднего арифметического модуля расхода по трем малым рекам: р. Волошка — д. Заволжье ( $F_1=680$  км<sup>2</sup>); р. Кена — д. Короний Двор ( $F_2=5550$  км<sup>2</sup>); р. Можга — д. Мышелово ( $F_3=8110$  км<sup>2</sup>), т. е.

$$Q_{b, t} = \frac{28100}{3} \left( \frac{Q_{1, t}}{680} + \frac{Q_{2, t}}{5550} + \frac{Q_{3, t}}{8110} \right) = 14,9Q_{1, t} + \\ + 1,69Q_{2, t} + 1,16Q_{3, t}$$

Здесь 28100 км<sup>2</sup> соответствует промежуточной площади водосбора между входным и выходным створами участка. Анализ показал, что расход бокового притока в течение половода очень изменчив, причем спад может быть кривая довольно существенными подъемами. Это обстоятельство усложняет экстраполяцию бокового притока на период заблаговременности, поэтому заблаговременность была уменьшена до 2 сут, хотя время добегания на участке равно 3 сут.

Для учета начальных условий используем подходом, основанным на кривых истечения (п. 2.4.3). Для участка реки с  $\tau = -3$  сут при заблаговременности прогноза 2 сут, согласно данным табл. 2.18 и 2.19, ординаты кривых истечения для входного и выходного створов соответственно равны 0,55 и 0,22, т. е. оператор  $Q_t(Q, \delta)$  можно записать так:

$$Q_t(Q, 2) = 0,55Q_{b, t} + 0,22Q_{t, t}$$

где  $Q_{b, t}$  и  $Q_{t, t}$  — расход воды во входном и выходном (д. Зиньво) створах в момент выпуска прогноза  $t_0$ .

Первые три ординаты кривой добегания для входного створа оказались равными 0,6; 0,84 и 0,19, а ординаты кривой добегания бокового притока (см. табл. 2.15) — 0,20; 0,29 и 0,25. Учитывая это, можно записать выражение для расчета расходов воды в д. Зиньво:

$$Q_{t+s} = (0,19Q_{b, t} + 0,04Q_{t, t} + 1) + (0,25Q_{b, t} + 0,29Q_{t, t} + 1 + \\ + 0,20Q_{t, t+s}) + 0,55Q_{b, t} + 0,22Q_{t, t} \quad (2.103)$$

Для использования этого выражения при выпуске прогноза сделаны следующие допущения: а) ход расхода воды во входном створе и бокового притока на период заблаговременности;

1. Расход воды во входном створе (д. Надпорожский Порог) сохраняется постоянным, равным расходу в день выпуска прогноза, на последующие 2 сут, т. е.  $Q_{b, t+s} = Q_{b, t+s} = Q_{b, t}$ .

2. За каждые сутки на фазе подъема половода боковой приток возрастает на 400 м<sup>3</sup>/с. В этом случае выражение (2.103) для прогноза на подъеме половода можно записать в виде

$$Q_{t+s} = 0,78Q_{b, t} + 0,22Q_{t, t} + 0,74Q_{t, t} + 276 \quad (2.104)$$

3. В первой половине спада половодья (от  $Q_{0, \text{ч.макс}}$  до  $0,5Q_{0, \text{ч.макс}}$ ) изменение бокового притока описывается кривой спада  $Q_{0, t+1} = Q_{0, t} \cdot 0,9^t$ , т. е.  $Q_{0, t+1} = 0,9 Q_{0, t} + Q_{0, t+1} = 0,81 \times Q_{0, t}$  и выражение (2.103) принимает вид

$$Q_{0, t+2} = 0,78Q_{0, t} + 0,22Q_{0, t+1} + 0,67Q_{0, t+1} \quad (2.105)$$

4. Во второй половине спада (после наступления  $0,5Q_{0, \text{ч.макс}}$ ) за каждые сутки боковой приток уменьшается на  $80 \text{ м}^3/\text{с}$ . Тогда соотношение (2.103) можно записать в виде

$$Q_{0, t+2} = 0,78Q_{0, t} + 0,22Q_{0, t+1} + 0,74Q_{0, t+1} - 55. \quad (2.106)$$

Таким образом, для прогноза с заблаговременностью 2 сут на подеме половодья используется соотношение (2.104), а на спаде — (2.105) и (2.106). Эффективность методики за период весеннего половодья, получаемая по данным за три года (118 случаев), характеризуется величиной  $s/Q_0 = 0,82$  как на подеме, так и на спаде половодья.

Пример 2.11. Прогноз уровня воды р. Онон в створе р. Чиндэт 1-й.

Будем рассматривать участок с. Бытэе—с. Чиндэт 1-й протяженностью 226 км. На участке впадает одна сравнительно крупная притока, площадь водосбора которого составляет около 30% промежуточной площади. Для разработка метода прогноза воспользуемся линейной моделью трансформации с сосредоточенным притоком (2.9). В качестве входных створов будем использовать с. Бытэе на р. Онон и с. Иля на притоке Иля, для которых имеются данные о расходах воды. В замыкающем створе (с. Чиндэт 1-й) измеряется только уровень воды. Коэффициенты стоковой притоки входных створов полагаем равными единице, так как приток на участке слабый, а расход воды в нижнем створе отсутствует.

Для определения параметра кривых добегакиа используем программу (прил. 2.1) для случая, когда в входном створе задан уровень воды. Так как на этом участке р. Онон имеется изкорная пойма, полагаем, что при выходе воды на пойму (в среднем при расходе в створе с. Бытэе, равном  $1000 \text{ м}^3/\text{с}$ ) может меняться параметр кривой добегакиа  $\alpha_1$  при неизменной  $\lambda$ . Расчеты будем вести только в период прохождения дождевых паводков. Для определения параметра кривых добегакиа и условий кривой расходов в замыкающем створе были подготовлены данные за пяти характерных годов. Отметка для  $H_0$  в замыкающем створе, используемая в выражении (2.21) для кривой расходов, принята равной 230 см.

В результате оптимизации с использованием указанной программы были получены значения параметров трансформации и коэффициентов уравнения кривой расходов, приведенные в табл. 2.20.

Таблица 2.20

Значения оптимальных характеристик

Параметр	1-й вход р. Онон — с. Бытэе		2-й вход р. Иля — с. Иля		Средний створ р. Онон — с. Чиндэт 1-й
	$\alpha_1$	$\alpha_2$	$\alpha_1$	$\alpha_2$	
$\alpha_1$	4,5	—	9,0	—	0,0088 2,14
$\alpha_2$	0,88	—	0,80	—	
$\lambda$	1,09	—	—	—	
$\lambda$	—	—	—	—	
$\delta$	—	—	—	—	

Используя эти параметры, можно рассчитать ежедневные уровни воды в створе с. Чиндэт 1-й по заданным расходам воды в створах с. Бытэе и с. Иля. Для выпуска прогноза необходимо задать способ экстраполяции расходов воды во входных створах на период заблаговременности. Для обоих входных створов экстраполяции осуществляли следующим образом: на подеме паводка расход воды увеличивали ежедневно на величину, равную приращению расхода воды на предшествующие выпуску прогноза сутки; на спаде — по кривой спада с постоянным коэффициентом, равным для створа с. Бытэе  $\beta_1 = 0,87$ , для створа с. Иля  $\beta_2 = 0,75$ :

$$\tilde{Q}_{0, t+1} = Q_{0, t+1} + (Q_{0, t} - Q_{0, t-1}) \quad \text{при } Q_{0, t} - Q_{0, t-1} \geq 0,$$

$$\tilde{Q}_{0, t+1} = \beta_i Q_{0, t} \quad \text{при } Q_{0, t} - Q_{0, t-1} < 0 \quad (i=1, 2). \quad (2.107)$$

здесь индекс  $i=1$  соответствует входному створу с. Бытэе, а  $i=2$  — створу с. Иля.

Начальные условия при выпуске прогноза вводили аналогично примеру 2.9, только вместо фактических расходов в замыкающем створе использовал уровень воды.

Объясняя соотношение (2.107), (2.21), (2.88), можно получить окончательное выражение для прогноза:

$$H_{t+\delta} = 230 + \left(\frac{1}{\alpha}\right)^{1/\delta} Q_{0, t+\delta} = 230 + 14,44Q_{0, t+\delta}^{0,87} \quad (2.108)$$

где

$$Q_{0, t+\delta} = \sum_{j=1}^{\delta} (\tilde{Q}_{0, t+\delta-j+1} \beta_1)^j + \tilde{Q}_{0, t+\delta-j+1} \beta_2^j + \\ + \sum_{j=1}^{\delta} (Q_{0, t+\delta-j+1} \beta_1)^j + Q_{0, t+\delta-j+1} \beta_2^j + \Phi_0(H, \delta),$$

где  $Q_1$  и  $Q_2$  — фактический расход воды в створах с. Бытэе и с. Иля соответственно;  $\beta_1$  и  $\beta_2$  — ординаты кривых добегакиа для тех же створов;  $\tilde{Q}_1$  и  $\tilde{Q}_2$  — расходы воды в створах с. Бытэе и с. Иля, полученные в результате экстраполяции по соотношению

(2.107);  $\Phi_{2,1}(H, \delta)$  — корректирующий оператор, вычисляемый по выражению (2.97).

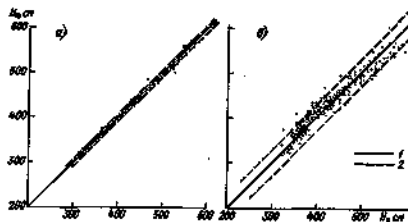


Рис. 2.14. Связь фактических ( $H_0$ ) и прогностных ( $H_n$ ) уровней воды для р. Озон — с Чиндаг 1-й.

а) заблаговременность 1 сут; б) заблаговременность 4 сут; 1 — линия реального значения; 2 — пределы допустимых ошибок (0,674  $\sigma_0$ ).

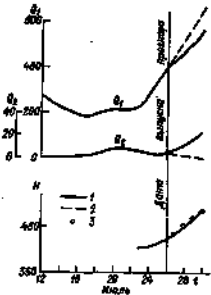


Рис. 2.15. Пример прогноза, составленного 26/VI 1971 г. для р. Озон — с Чиндаг 1-й.

1 — фактические расходы и уровни воды; 2 — восстановленные расходы; 3 — уровни, ожидаемые по прогнозу.

Эта методика позволяет выпускать прогноз ежедневных уровней воды с заблаговременностью до 4 сут. Проверочные прогнозы по 16 годам за период открытого русла показали, что отношение  $s/\sigma_0$  не превышает 0,4 для любой указанной заблаговременности

при значениях  $t$  для заблаговременности 1—4 сут, равных 5, 8, 12 и 18 см соответственно.

Как видно на рис. 2.14, связь фактического и прогностного уровней воды (для примера даны данные для заблаговременностей 1 и 4 сут) достаточно тесная. Ошибки подавляющего числа прогнозов не выходят за рамки допустимых (0,674  $\sigma_0$ ). Следует подчеркнуть, что большую роль в повышении точности прогноза (особенно для заблаговременности 1 сут) играет текущая корректировка. Без корректировки средняя квадратическая ошибка заметно выше и для заблаговременности 1—4 сут равна 14, 14, 15 и 19 см соответственно.

Для выпуска прогноза в какой-либо момент времени необходимо знать расход воды в створах с. Бытэн и с. Ила за 15 сут до выпуска прогноза, а также уровень воды в с. Чиндаг 1-й за 4 сут. предстоящих выпуску прогноза. На рис. 2.15 показан пример прогноза с заблаговременностью 1—4 сут, составленного 26/VI 1971 г. Для наглядности на рис. 2.15 также показаны фактические расходы и уровень воды на период заблаговременности, не использованные в расчетах.

### Глава 3. Использование уравнений Сен-Венана для расчета (прогноза) расходов и уровней воды на зарегулированных участках рек

Для крупных зарегулированных рек с большой изменчивостью режима регулирования стока упрощенные методы расчета неустоявшегося движения воды могут оказаться неэффективными, особенно если створы, для которых разрабатывается методика прогноза, находятся в зоне переменного подпора. В таких случаях целесообразно использовать уравнения Сен-Венана. Однако существенным условием для использования такого подхода является наличие ЭВМ и необходимого минимума данных наблюдений о расходах и уровнях воды.

Процесс разработки методики в этом случае можно разбить на два этапа:

- 1) построение разностных аналогов уравнений (1) — (4) и задание соответствующих начальных и граничных условий при членном интегрировании;
- 2) задание морфометрических (площадь поперечного сечения, ширина) и гидравлических (модуль расхода, коэффициент шероховатости) характеристик русла.

### 3.1. Численное интегрирование уравнений Сен-Венана

Область решения задачи по длине реки  $x$  и времени  $t$  заменяем сеточной областью с шагами  $\Delta x$  и  $\Delta t$  (рис. 3.1), а производные — разностными отношениями. Подставив разностные отношения в дифференциальные уравнения (1)–(2), получим разностные

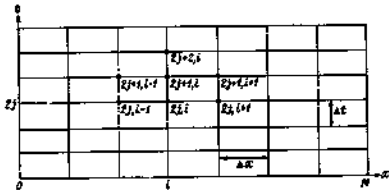


Рис. 3.1. Примитивная сеточная область.

алгебраические уравнения. Записав их для каждой точки сетки  $(i, j)$ , будем иметь систему алгебраических уравнений. Для решения этой системы используют хорошо разработанные методы, позволяющие найти значения искомого функции  $(Q, H)$  в узлах разностной сетки в каждый момент времени  $t$ .

Существует множество различных способов записи разностных отношений, которым соответствуют различные разностные схемы интегрирования уравнений (1)–(2). Подобладающее большинство их получено на прямоугольных разностных сетках (см. рис. 3.1). Основными отличительными признаками разностных схем являются условия устойчивости и точность аппроксимации. Точность аппроксимации схем оценивают относительно шагов разностной сетки  $(\Delta t$  и  $\Delta x)$ . Если остаточные члены разностных отношений пропорциональны первой степени какого-либо из шагов сетки, говорят, что схема первого порядка точности; если пропорциональны второй степени шагов  $\Delta t$  либо  $\Delta x$  — второго порядка и т. д.

Условия устойчивости приближительно различны для явных и неявных схем. Для всех явных схем, когда разностные уравнения для каждой точки сетки решаются независимо от соответствующих уравнений для других точек, решение будет устойчивым только при соблюдении следующего соотношения между шагами сетки:

$$c \Delta t / \Delta x \leq 1, \quad (3.1)$$

где  $c = u + \sqrt{gh}$  — скорость перемещения волны ( $u$  — скорость течения,  $h$  — средняя глубина потока).

Обычно, исходя из степени изменчивости характеристик русла и крайних линий уровня воды по длине, выбирают шаг  $\Delta x$ , а  $\Delta t$  находят из соотношения (3.1) при максимально возможном для данной реки значении  $c$ . Это условие является существенным ограничением явных схем, так как шаг по времени приходится выбирать значительно меньше, чем того требует точность описания неустановившегося режима. Обычно  $\Delta t$  приходится выбирать равным нескольким минутам, что экономически нецелесообразно из-за изменения уровней и расходов воды даже при попытках ГЭС.

Такого ограничения лишены неявные схемы, когда для получения значений искомого функций в любой точке сетки необходимо решить систему разностных уравнений, объединяющих все точки сетки. Система разностных уравнений нелинейная, и приходится прибегать к итерационным методам либо к ее линеаризации, что снижает эффективность неявных методов. Следует отметить, что в некоторых неявных схемах может возникнуть неустойчивость, если не выполнено условие

$$\Delta t \leq \frac{c}{g} \sqrt{\frac{h}{1-\gamma}}. \quad (3.2)$$

Это условие часто оказывается более жестким, чем критерий (3.1). Поэтому для некоторых неявных схем приходится выбирать такие же шаги  $\Delta t$ , как и для явных.

Из сказанного следует, что трудно выбрать какую-либо одну разностную схему, превосходящую остальные во всех отношениях. В связи с этим для практического использования в гидрологических прогнозах можно рекомендовать такие схемы, для которых имеются программные средства, включенные в отраслевой фонд алгоритмов и программ (ОФАП), и которые были использованы для краткосрочных прогнозов. К таким схемам можно отнести схему Лакаса—Вендрофа, реализованную в методиках прогноза расходов и уровней воды для рек Волги и Иртыша и излагаемую соответствующие программные документы в ОФАП (прил. 2.3). В этой схеме использованы следующие разностные отношения (см. рис. 3.1):

— для четных шагов по времени

$$\frac{\partial y}{\partial t} = \frac{g(2i+1, i) - \frac{1}{2} [g(2i, i+1) - g(2i, i-1)]}{\Delta t}, \quad (3.3)$$

$$\frac{\partial y}{\partial x} = \frac{g(2i, i+1) - g(2i, i-1)}{2 \Delta x}; \quad (3.4)$$

— для четных шагов по времени

$$\frac{\partial y}{\partial t} = \frac{g(2i+2, i) - g(2i, i)}{2 \Delta t},$$

$$\frac{\partial y}{\partial x} = \frac{g(2i+1, i+1) - g(2i+1, i-1)}{2 \Delta x}, \quad (3.5)$$

где  $i, j$  — номера точек сетки по осям  $x$  и  $t$  соответственно;  $y$  — условное обозначение искомым функций ( $H, Q$ ). Эта схема имеет первый порядок точности по времени и второй — по расстоянию. Для обеспечения устойчивости необходимо выполнить неравенства (3.1) и (3.2).

Другим важным моментом при численном интегрировании уравнений Сен-Венана является задание начальных и граничных условий. Из свойств системы (1) — (2) следует, что для единственности ее решения необходимо задать две функции в начальный момент времени (начальные значения) и по одному граничному условию во входном и выходном стоках. Обычно задают расходы и уровни воды по длине рассматриваемого участка в начальный момент времени:

$$H(0, t) = H_0(t) |_{t=0}, \quad Q(0, t) = Q_0(t) |_{t=0} \quad (i=0, 1, 2, \dots, M), \quad (3.6)$$

где  $H_0(t)$  и  $Q_0(t)$  — измеренные уровни и расходы воды по длине реке.

Шаг интегрирования по длине обычно значительно меньше ( $1-10$  км), чем расстояние, через которые измеряют уровни и расходы воды. Поэтому для получения значений  $H_0$  и  $Q_0$  во всех точках сетки в начальный момент времени их интерполируют в узлы разностной сетки. Измеренный расход воды может быть недостаточно даже для приближенной интерполяции. В этом случае расходы воды в начальный момент времени можно определить по формуле Шеана, используя полученные значения уровней  $H(0, t)$ .

На верхней границе ( $i=0$ ) задают гидрограф либо ход уровней воды; нижнюю границу ( $i=M$ ) выбирают обычно достаточно далеко от источника возмущения, чтобы процесс распространения попуска (заводка) практически закончился. Тогда в качестве нижней границы можно использовать однозначную кривую расходов:

$$Q(j, M) = f[H(j, M)]. \quad (3.7)$$

Таким образом, решая разностные уравнения одновременно с условиями (3.6) и (3.7) последовательно для каждого момента времени  $j$ , будем получать ход расходов и уровней воды в каждой  $i$ -й точке рассматриваемого участка. Заблаговременность прогноза увеличивается с нижней границе и для любого стока приближенно может быть оценена по соотношению

$$\delta \approx 0,185 \Delta x / v, \quad (3.8)$$

где  $\delta$  — заблаговременность в часах при  $\Delta x$  в км, а  $v$  в м/с.

Из этого соотношения следует, что при скорости течения  $1-2$  м/с лишь на расстоянии  $130-250$  км от верхней границы может быть достигнута суточная заблаговременность, т. е. любые изменения режима во входном створе не будут сказываться в течение суток на этом расстоянии. Практически прогнозы дают с заблаговременностью несколько больше указанной, так как обычно используют различные способы экстраполяции расходов (уровней) воды во входном створе.

### 3.2. Задание морфометрических и гидравлических характеристик русла

Для решения уравнений (1) — (2) необходимо задать функции  $\omega(H, x)$  и  $K(H, x)$ . По данным фактических измерений их можно определять только для небольшого числа створов ( $K$  можно определить только для створов, в которых измеряют расходы воды). В остальных точках разностной сетки значения  $\omega$  и  $K$  интерполируют. Многочисленные расчеты показали, что при таком задании морфометрических и гидравлических характеристик точность расчета неустойчивошего движения для реальных реч оказывается недостаточной. В связи с этим приходится корректировать эти характеристики путем визуального сопоставления фактических и рассчитанных гидрографов. Такой подход чрезвычайно трудоемок и требует большого навыка.

Рассмотрим более формализованный подход, основанный на решении обратной задачи. Так как для детального изложения этого подхода необходимо привести ряд разделов математического анализа и вычислительной математики, выходящих за рамки настоящего Руководства, остановимся лишь на его основных принципиальных положениях. Более подробно и систематическое описание этого способа можно найти в работах [3, 4].

Будем считать, что измерения уровней воды достаточно хорошо освещают их распределение по длине, а расходы воды измеряются только во входном и выходном стоках. Вместо модуля расхода удобнее искать коэффициент шероховатости  $n$  в формуле Шези-Манинга. Функции  $\omega(H, x)$  и  $n^2(H, x)$  представляют в виде разложения по полному и Чебышева:

$$\omega(H, x) = \sum_{s=0}^m D_s(x) \psi_s(H), \quad (3.9)$$

$$n^2(H, x) = \sum_{s=0}^d P_s(x) \psi_s(H), \quad (3.10)$$

где  $D_s(x)$ ,  $P_s(x)$  — некоторые коэффициенты разложения,  $\psi_s(H)$  — полиномы Чебышева  $s$ -го порядка.

Соотношения (3.9) и (3.10) подставляют в интегральные уравнения, полученные путем интегрирования дифференциальных уравнений (1) и (2) без итерационных членов. Коэффициенты разложения  $D_s(x)$  и  $P_s(x)$  находят для  $N$  створов, в которых измеряются уровни воды. После замены интегралов суммами получают две системы линейных алгебраических уравнений, соответствующих уравнениям (2) и (1), записанным для  $M$  моментов времени:

$$WD = \Omega, \quad (3.11)$$

$$\Phi P = V, \quad (3.12)$$

где  $D$  и  $P$  — векторы искомым коэффициентов разложения функций  $\omega = \omega_j \psi_j$  и  $n^2$  длиной  $mN$  и  $(d+1)N$  соответственно;  $\Omega$  и  $V$  —

векторы правых частей интегральных уравнений, полученных интегрированием уравнений (2) и (1) соответственно, длиной  $M$ ;  $W$  и  $\Phi$  — матрицы порядка  $M \times mN$  и  $M \times (d+1)N$  соответственно, включающие подинты Чебышева в соответствии с интегральными представлениями уравнений (2) и (1). Элементы матриц  $W$  и  $\Phi$ , а также векторы  $\Omega$  и  $V$  вычисляются по фактически данным измерениям об уровнях и расходах воды в выбранные моменты времени. Число моментов времени должно быть не меньше числа исходных коэффициентов разложения  $D$  и  $P$ . Вначале решают систему (3.11), а затем (3.12), так как при задании матрицы  $\Phi$  используют коэффициенты разложения  $D$ . Если расходы воды заданы во всех сечениях, в которых измеряют уровни, системы (3.11) и (3.12) могут быть решены совместно.

Для перехода от ширины русла  $B$  к площади поперечного сечения необходимо определить коэффициенты разложения  $D_0(x)$ . Для этого используют данные об отметках dna русла реки  $H_0(x)$ :

$$D_0(x) = \frac{2}{3} [H_{\text{нм}}(x) - H_0(x)] \sum_{i=1}^m D_2(x) \frac{d^2 H_{\text{нм}}}{dH^2} - \sum_{i=1}^m D_2(x) \Phi_i(H_{\text{нм}}). \quad (3.13)$$

где  $H_{\text{нм}}(x)$  — минимальные наблюдаемые уровни воды;  $D_2(x)$  — коэффициенты разложения, полученные в результате решения системы (3.11).

Это соотношение получено в предположении, что форма русла ниже отметки  $H_{\text{нм}}(x)$  хорошо аппроксимируется параболой.

Если участок реки достаточно протяженный, а характеристики русла сильно меняются по длине, число коэффициентов разложения может оказаться большим и решение систем (3.11) и (3.12) будут неустойчивыми, т. е. могут получиться физически нереальные результаты, например  $\psi(x, H) < 0$  либо  $\eta(x, H) < 0$ .

Для получения устойчивых решений используют регуляризующий алгоритм А. Н. Тихонова, позволяющий найти приближенное решение, стремящееся к точному при стремлении ошибки исходных данных к нулю. В этом случае вместо систем (3.11) и (3.12) решают системы

$$(W^*W + \alpha C)D = W^*\Omega, \quad (3.14)$$

$$(\Phi^*\Phi + \alpha C)P = \Phi^*V, \quad (3.15)$$

где  $W^*$  и  $\Phi^*$  — транспонированные матрицы;  $C$  — трехдиагональная квадратная матрица порядка  $mN$ , зависящая от расстояний между пунктами измерения уровней воды;  $\alpha$  — параметр регуляризации.

Из приведенных соотношений следует, что при  $\alpha=0$  получим исходные системы уравнений (3.11) и (3.12). Чем больше ошибки исходных данных и чем хуже рассматриваемая модель описывает

реальный процесс, тем больше будет  $\alpha$  и тем более сглаженное решение мы получим. Поэтому необходимо выбрать оптимальное значение этого параметра  $\alpha_{\text{опт}}$ . В рассматриваемом алгоритме для этого используют неравенство

$$\alpha_0 < \alpha_{\text{опт}} < \alpha_1 < \alpha_2 < \alpha_3, \quad (3.16)$$

где  $\alpha_0$  — локальный максимум функции  $\psi(x)$ ;  $\alpha_1, \alpha_2$  — локальные минимумы функций  $s(x)$ ,  $\phi(x)$ ;  $\alpha_3$  — минимум последовательности чисел обусловленности матриц  $(W^*W + \alpha C)$  при различных значениях  $\alpha$ . Эти функции находят по следующим соотношениям:

$$\psi(x) = \sum_{i=1}^m [W_i \alpha D] dx - (WD - \Omega)^T \sum_{i=1}^m (WD - \Omega)^T, \quad (3.17)$$

$$s(x) = \sum_{i=1}^m [D(\alpha_{i+1}) - D(\alpha_i)]^T, \quad (3.18)$$

$$\phi(x) = \sum_{i=1}^m (\alpha D/d\alpha)^T. \quad (3.19)$$

Здесь приведены функции для системы (3.14). Для системы (3.15) их получают аналогично.

Поведение функции  $\psi(x)$ ,  $s(x)$ ,  $\phi(x)$  прежде всего зависит от частоты измерения уровней воды по длине и по времени. Чем меньше выражены неустойчивости в рамах, тем больший интервал дискретности (порядка нескольких суток) по времени можно выбирать. При больших перепадах уровней между сечениями, ограничивающими рассматриваемый участок, лучше пользоваться не уровнями воды, а значениями глубины.

При выборе оптимальной степени полиномов для функции  $F(x, H)$  используют уравнение баланса на участке:

$$Q_0(i, M) = Q(i, 0) - \sum_{j=1}^m \frac{\partial}{\partial x} \left[ \sum_{k=0}^m D_k(x) \psi_k(H) \right] (x_{i+1} - x_i). \quad (3.20)$$

Выбирают значение  $M_{\text{опт}}$ , которому соответствует минимальное отклонение расходов воды в выходящем створе ( $Q_0(i, M)$ ), рассчитанных по соотношению (3.20) при различных значениях  $m$ , от фактических. Функция  $\psi(H, x)$  значительно меньше чувствительна к изменению стелени полинома  $d$ , поэтому значение  $d_{\text{опт}}$  можно принимать равным 1 либо 2.

Рассмотренный алгоритм определения функции  $\psi(H, x)$  и  $\eta(H, x)$  реализован в виде пакета программ для ЭВМ и включен в ОФАН. Краткое описание программы дано в прил. 2.2.

Пример 3.1. Расчет (прогноз) расходов и уровней воды в разветвленной системе русел Нижней Волги с использованием одномерной модели неустойчивого движения воды.

Рассмотрим участок р. Волги ниже Волгожской ГЭС им. XII съезда КПСС. Из-за полоухов ГЭС и завода в эксплуатации в 3 км ниже вершины дельты волжского владельца

Условий естественного распределения воды между восточной и западной частями дельты существенно нарушаются. Практически все модели с сосредоточенными параметрами, использующиеся для расчетов неустановившегося движения воды, не в состоянии учесть явление кратковременного переменного подпора, возникающего выше вершины дельты в период работы вододолителя.

На рис. 3.2 представлена принятая схематизация рассматриваемой системы с одним входом, одной вершиной и двумя выходами.

Для разработки численного метода прогноза водного режима воспользуемся программным обеспечением (прил. 2.2 и 2.3), разработанным в соответствии с изложенным в этой главе алгоритмом. При этом необходимо последовательно решить три задачи.

1. Определение морфометрических характеристик русла для каждого участка. В соответствии с компонентом MORSIN программного комплекса (прил. 2.2) необходимо подготовить следующие исходные данные:

— ежедневные уровни воды в период открытого русла: для девяти постов 2-го расчетного участка; для четырех постов 1-го расчетного участка и для трех постов 3-го расчетного участка;

— ежедневные расходы воды в период открытого русла для Волжской ГЭС им. XII съезда КПСС и Верхнелебязьского, для оси володелазелья, Астрахани, Савоулунта и Красного Яра (информацию выбирают за год с наибольшей амплитудой колебания уровней и расходов воды на всех участках и лучшей освещенностью данными измерений. Расчеты ведут для каждого участка независимо, поэтому для каждого из явд могут быть использованы данные за различные годы. В частности, в данном случае для 2-го участка использованы данные за 1970 г., а для двух других — за 1974 г. Расходы воды для Астрахани и Красного Яра восстановлены по крутым расходам воды, востроенным за другие годы);

— отметки дна для всех постов по дание трех расчетных участков;

— расстояние от входных створов до всех постов.

После этого заддем ряд степеней полинома, аппроксимирующую функцию  $\omega(H, x)$ , и для каждой створки определяем коэффициенты разложения и отклонение расчетных от соотношению (3.20) расходов воды в выходном створе от фактических. Окончательно выбираем ту степень полинома ( $m_{opt}$ ), для которой это отклонение минимально. Для рассматриваемых трех участков  $m_{opt}$  соответственно равно 4, 6, 4.

Полученные при этих значениях  $m_{opt}$  коэффициенты разложения используем для расчета ширины и площади поперечного сечения русла на постах в зависимости от глубины либо от уровня воды.

2. Определение гидравлических характеристик русла. В этом случае используем компонент программы HYDRSIN (прил. 2.3). Помимо исходных данных, веречисленных при определении морфометрических характеристик русла, здесь используем коэффициенты разложения этих характеристик, полученные при  $m_{opt}$ .

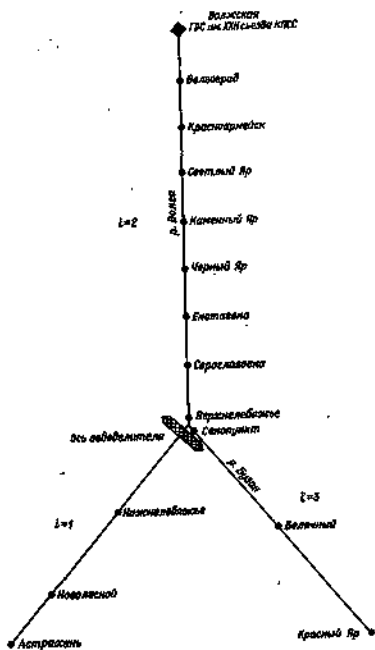


Рис. 3.2. Принятая схема типизации системы разветвляющихся русел Волжской дельты.

Как отмечалось в п. 3.2, коэффициенты разложения гидравлических характеристик русла можно определить только при одной степени полинома ( $d_{\text{ит}}=2$ ). Для всех рассматриваемых участков  $d_{\text{ит}}=2$ .

В результате расчета на ЭВМ получаем коэффициенты разложения функции  $h^2(H, x)$ , по которым определяем коэффициенты шероховатости и модули расходов воды в створах постов для заданного диапазона изменения уровня воды.

3. Прогноз расходов и уровней воды по данным участков по заданному графику расходов воды в створе ГЭС. Расчеты ведем по программе (прил. 2.3). Большая часть исходных данных не меняется от прогноза к прогнозу. Сюда можно отнести:

- вычисленные ранее функции  $B(H, x)$ ,  $\omega(H, x)$ ,  $\lambda(H, x)$  для всех постов (эти характеристики задают в виде таблиц с постоянными шагами по уровню воды, равным 0,5 м);
- кривые расходов воды для створов Астрахань и Красный Яр;
- нули графиков всех постов;
- расстояния от входных створов каждого участка до поста, в котором задаем характеристики русла;
- шаг интегрирования по времени  $\Delta t$  и по расстоянию  $\Delta x$  (шаги интегрирования по расстоянию должны быть равны величине  $L_i/(N_i-1)$ , где  $L_i$  — длина  $i$ -го расчетного участка, м;  $N_i$  — число узлов конечно-разностной сетки на  $i$ -м участке). В нашем случае  $\Delta t=180$  с;  $\Delta x_1=3633,23$  м;  $\Delta x_2=5600$  м;  $\Delta x_3=4650$  м.

При каждом выпуске прогноза необходимы также:

- уровни воды на момент выпуска прогноза для всех постов (в сантиметрах над нулем графика). Если по некоторым из них информации отсутствует, необходимые начальные значения уровней рассчитывают путем линейной интерполяции между ближайшими створами, где имеются измеренные значения;
- заданный график расходов воды во входном створе (Волжская ГЭС як. XXII съезда КПСС) с суточным интервалом времени на весь период прогноза;
- уровни воды с суточным интервалом времени, характеризующие режим работы водохранилища на период прогноза. Эти данные необходимы только при регулировании стока водохранилищ.

Для корректировки прогноза используют кривые связи фактических и рассчитанных уровней воды для всех постов. Эти зависимости устанавливают путем проведения пробных расчетов на архивных материалах.

В результате расчета на ЭВМ получаем расходы и уровни воды во всех интересующих пунктах по длияе реки в заданные моменты времени. Уровни воды рассчитываем в двух вариантах: с корректировкой и без корректировки.

Программа может быть использована для решения двух задач: выбора оптимального графика пусков Волжской ГЭС при XXII съезде КПСС с учетом и без учета регулирования стока

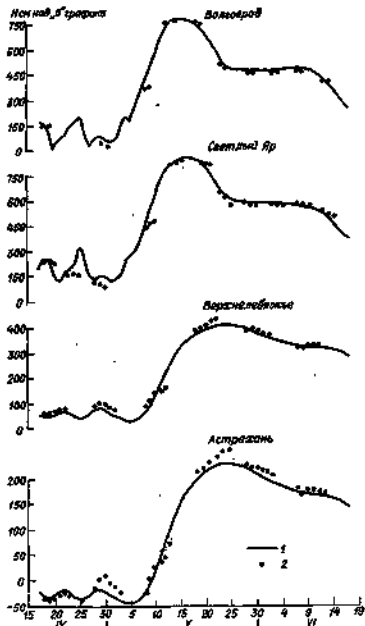


Рис. 3.3. Фактические (1) и рассчитанные (2) с разной заблаговременностью уровни воды р. Волги за 1980 г. Заблаговременно: 2 сут — Волгоград, 3 сут — Светлый Яр, 4 сут — Верхне-Лейбкиса, 6 сут — Астрахань.

вододелителем и прогноза уровней и расходов воды на рассматриваемых участках по заданному графику пускоков или краткосрочным прогнозам.

В первом случае выполняют многократные расчеты при различных графиках пускоков и различных режимах регулирования стока вододелителем. На основе анализа полученных результатов выбирают оптимальный с точки зрения народного хозяйства вариант графика пускоков и регулирования стока вододелителем. Расчет в этом случае проводят на длительный период времени (от одного до двух месяцев). Начальные значения расходов и уровней воды при этом практически не влияют на результаты расчетов.

При выпуске краткосрочных прогнозов начальный режим играет большую роль. Поэтому для повышения точности расчетов необходимо постоянно учитывать информацию о распределении уровней воды по длине реки. На рис. 3.3 приведены результаты серии краткосрочных прогнозов уровней воды в 1960 г.

## Часть II

# ПРОГНОЗ ЕЖЕДНЕВНЫХ РАСХОДОВ ВОДЫ ДЛЯ НЕБОЛЬШИХ ВОДОСБОРОВ

В этой части рассмотрены схемы прогноза, основанные на использовании данных об осадках и интенсивности снеготаяния. Во всех практических схемах прогноза данные об осадках и снежном покрове рассматриваются как средние либо как минимум по водосбору. Это обстоятельство накладывает ограничения на размер водосбора, для которого могут быть разработаны такие методы прогноза: среднее количество осадков и характеристики снежного покрова должны быть достаточно репрезентативными для всего водосбора. Опыт показывает, что оптимальным размером водосбора для использования таких подходов является 5—10 тыс. км<sup>2</sup>.

Для водосбора таких размеров время добегания до замыкающего створа мало, поэтому естественная (основанная только на инерционности процессов стекания) заблаговременность прогноза в этом случае незначительна и для небольших горных рек может составлять несколько часов. При существующих способах сбора и передачи оперативной информации расчетный интервал времени трудно принять меньше 12 ч. В связи с этим для получения прогноза даже небольшой заблаговременности (0,5—1 сут) в большинстве случаев необходимо использовать прогноз осадков, а в период формирования весеннего половодья и прогноз температуры воздуха. Естественно, что в этом случае оценка прогноза расходов воды будет зависеть и от точности метеорологических прогнозов. Оперативная практика показала, что прогноз температуры воздуха на 3—5 сут может быть с успехом использован при расчетах интенсивности снеготаяния. Количественные прогнозы осадков пока недостаточно надежны и при прогнозе лаводков могут быть использованы лишь как грубые оценки с небольшой заблаговременностью (до суток). Поэтому прогнозы дождевых паводков необходимо непрерывно уточнять при получении новых данных об осадках.

## Глава 4. Процессы формирования речного стока и их характеристики

К основным процессам, определяющим формирование стока в речном бассейне, относятся:

- 1) поступление воды на поверхность почвы;
- 2) потери дождевых и талых вод;
- 3) стекание воды по склонам и руслам рек.

Детальность учета этих процессов для различных методов прогноза различна и зависит от имеющейся информации и особенностей формирования стока в той или иной физико-географической зоне.

#### 4.1. Уравнение водного баланса для небольших интервалов времени

Явно или неявно во всех методах этой главы использовано уравнение водного баланса для элементов склона:

$$dW/dt = h_0 - q - E - q_1 - q_2 \quad (4.1)$$

где  $W$  — запас поглощенной и задержанной воды в выделенном слое почвы;  $h_0$  — количество поступающей воды на поверхность почвы;  $E$  — суммарное испарение;  $q_1$  — интриточвенный сток;  $q_2$  — отток влаги в нижележащий слой почвы;  $q$  — поверхностный сток. При переходе к водобору составляющие баланса усредняют по площади.

В уравнение (4.1) явно не входит составляющая потеря на интритывание в почву. Однако любое соотношение для расчета поверхностного стока включает в себя эту составляющую. Для решения уравнения (4.1) необходимо задать зависимости для определения всех составляющих, входящих в правую часть. Для этой цели обычно используют эмпирические зависимости либо различные графические связи, которые приведем при рассмотрении соответствующих методов прогноза. Здесь дадим общую характеристику составляющих баланса.

**Поступление воды на поверхность почвы.** Характеристикой поступления воды на поверхность почвы является средний по площади слой жидких осадков или талой воды за расчетную единицу времени.

**Плотность определения среднего слоя жидких и твердых осадков** зависит от плотности и равномерности распределения осадковмерных или снегомерных пунктов в бассейне, а также от степени неравномерности распределения осадков по территории. Чем равномернее распределены наблюдательная сеть (при одной и той же плотности), тем более простые способы могут быть применены для определения среднего слоя осадков. Неравномерность распределения осадков оказывает тем большее влияние на точность определения их среднего значения, чем неравномерное распределение есть или чем она реже.

Наиболее простым приемом является использование среднего арифметического значения осадков по показанию всех пунктов наблюдений на данном водоборе. При недостаточном числе измерений в данном бассейне могут быть привлечены пункты, расположенные вблизи водобора. Этот способ можно применять, когда сеть станций более или менее равномерна по территории. Иногда при использовании такого подхода целесообразно группиро-

вать пункты измерений по прикину близкого их расположения друг к другу. В этом случае сначала определяют средние арифметические значения для каждой группы, а затем среднее из всех групп:

$$\bar{P} = \frac{1}{N} \sum_{i=1}^K \frac{1}{n_i} \sum_{j=1}^{n_i} P_{i,j} \quad (4.2)$$

где  $P_{i,j}$  — осадки по  $j$ -й станции, отнесенной к  $i$ -й группе;  $n_i$  — число станций, отнесенных к  $i$ -й группе;  $N$  — число групп.

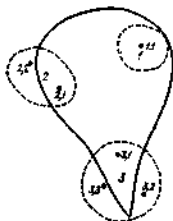


Рис. 4.1. Схема объединения дождемеров станций на группу.

1, 2, 3 — номера выделенных групп, у точек — номер станций.

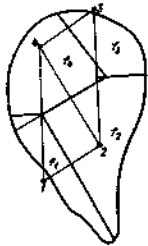


Рис. 4.2. Схема определения средних коэффициентов по методу Тиссова.

$i=1$  — номер станции;  $i_1$  — площадь, приходящая к  $i$ -й станции.

На рис. 4.1 показана схема объединения дождемеров в группы. В этом примере зависимость для расчета среднего слоя осадков следующая:

$$\begin{aligned} \bar{P} &= \frac{1}{8} \left[ P_{1,1} + \frac{1}{2} (P_{2,1} + P_{2,2}) + \frac{1}{3} (P_{3,1} + P_{3,2} + P_{3,3}) \right] = \\ &= \frac{1}{8} P_{1,1} + \frac{1}{8} P_{2,1} + \frac{1}{8} P_{2,2} + \frac{1}{9} P_{3,1} + \frac{1}{9} P_{3,2} + \frac{1}{9} P_{3,3} \end{aligned}$$

Если станции распределены неравномерно, лучше использовать метод взвешивания (Тиссова). Все наблюдательные пункты на карте бассейна соединяют прямыми линиями; из середины каждой из них проводят перпендикуляры (рис. 4.2). Последнее вокруг каждой станции образуют многоугольники, площади которых определяют в долях общей площади бассейна. Эти отношения и

являются коэффициентами при суммах осадков по станциям. Средние для водосбора осадки вычисляются по выражению

$$\bar{P} = \sum_{i=1}^N k_i P_i \quad (4.3)$$

где  $k_i = f_i/F$  ( $f_i$  — площадь, тяготеющая к  $i$ -й станции,  $F$  — общая площадь водосбора);  $N$  — число станций.

Коэффициенты  $k_i$  являются постоянными при постоянной сети станций. При составлении прогноза могут быть случаи, когда от ряда постов информация не поступит. Тогда необходимо уточнить эти коэффициенты с учетом только тех пунктов, с которых поступила информация.

Наиболее надежным способом вычисления среднего слоя осадков, позволяющим учитывать неравномерность их выпадения и неравномерность наблюдательной сети, является способ изогнет для равных значений осадков, проведенных на карте бассейна. Средний слой осадков в данном случае вычисляют как сумму произведений среднего слоя осадков между двумя соседними изогнетами на соответствующие площади между изогнетами, выраженные в долях общей площади бассейна. Достоинством этого подхода является то, что он позволяет учесть физико-географические особенности при проведении изогнет. Однако при выпуске краткосрочных прогнозов стока способ изогнет очень трудоемок, так как в этом случае приходится строить карты изогнет для каждого момента времени.

При расчете гидрографа талого стока коммо получения средней характеристики запаса воды в снеге на водосборе необходимо рассчитывать слой стояния снега за расчетный интервал времени. Основой для расчета интенсивности снеготаяния служит уравнение теплового баланса. Для практических расчетов на основе этого уравнения получены приближенные зависимости. В гидрологических прогнозах часто используют простой прием расчета, основанный на данных о температуре воздуха, которую, как правило, прогнозируют на несколько суток. Предполагается, что слой стоявшей воды за рассматриваемый интервал времени (как правило, сутки) пропорционален средней за это время температуре воздуха:

$$h_w \leq 0 \quad A_w = \alpha T_w \quad \alpha \text{ и } C_w \text{ см. стр. } 10$$

где  $\alpha$  — коэффициент таяния, обычно выражается в мм/(сут.°C);  $T_w$  — средняя температура воздуха.

Предполагается также, что таяние происходит только при положительной температуре воздуха; при отрицательной температуре  $h_w = 0$ .

Уравнение (4.4) обычно лучше выполняется для лесных участков и для районов с многоснежными зимами, примерно для территории к северу от 54—55° широты.

Расчитанная каким-либо способом интенсивность снеготаяния еще не является поступлением воды на поверхность почвы. Вскоре

после начала таяния часть бассейна начинает освобождаться от снега и дальнейшее его таяние происходит на все меньшей и меньшей площади и поступление талой воды по мере схода снега также уменьшается. Следовательно, в каждый момент расчета интенсивности снеготаяния необходимо знать часть площади, на которой снег уже сошел ( $f_c$ ). Тогда средний для всего водосбора слой стоявшей воды (приведенная интенсивность снеготаяния)

$$A_w = A_w (1 - f_c) \quad \text{и } S_w \text{ см. стр. } 10$$

Для определения площади схода снега обычно строят кривые распределения снежного покрова по бассейну. Анализа эмпириче-

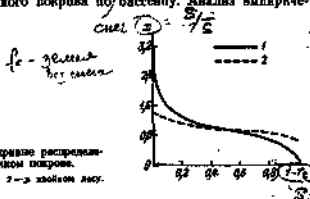


Рис. 4.3. Интегральные кривые распределения запаса воды в снежном покрове. 1 — за открытой местности, 2 — за хвойном лесу.

ских кривых распределения за разные годы показал, что запас воды в снеге в каждой точке лучше выражать в долях среднего запаса по водосбору. В этом случае приемлемым приближением этой кривой является гамма-распределение:

$$f_0(x_i) = \frac{1}{\Gamma(\alpha)} a^\alpha x_i^{\alpha-1} \exp(-\alpha x_i) \quad (4.6)$$

где  $x = S/S$  — запас воды в снеге, выраженный в долях среднего запаса по водосбору;  $S_w$  — общая площадь водосбора к данному моменту расчета;  $\alpha = 1/C_w^2$  ( $C_w$  — коэффициент вариации запаса воды в снежном покрове).

Общий вид этой кривой показан на рис. 4.3.

Кривые распределения снежного покрова, выраженные в долях среднего запаса воды, в общем достаточно устойчивы. Это позволило В. Д. Комарову построить типовую кривую распределения для степной и лесостепной (исключая леса) зон европейской части СССР, аппроксимируемую выражением (4.6) с  $\alpha$ , вычисленными при  $C_w = 0,45$ .

В лесу ветровой перенос очень ослаблен и снег залегает более равномерно. Неравномерность залегания в этом случае в основном обусловлена пространственной неравномерностью лесного покрова. Так, для хвойного леса полхотой 0,7—0,8 коэффициент вариации запаса воды в снежном покрове можно принять равным 0,3

( $\alpha=11$ ), а для листового леса — равным 0,15—0,20 ( $\alpha=45 \dots 25$ ).

В горах запас воды в снежном покрове закономерно меняется с высотой. Поэтому для гор неравномерность залегания снежного покрова необходимо рассматривать для каждой зоны с разностью отметок 200—400 м.

Другим важным фактором, регулирующим поступление талой воды на поверхность почвы, является способность снежного покрова удерживать часть талой воды. Водоудерживающая способность снега зависит в основном от его структуры, главными показателями которой являются размер частиц льда и плотность снега: чем более мелкозернистый снег, тем больше его водоудерживающая способность. При влажности снега, равной водоудерживающей способности, часть задержанной воды постепенно сбрасывается в процессе таяния. В практических расчетах обычно используют довольно простой прием учета водоудерживающей способности снега.

До тех пор, пока слой стаявшей воды не достигнет значения  $S$  (запас воды в снеге), поступающая вода на поверхность почвы принимается равным нулю, после чего его рассчитывают по соотношению

$$h_2 = h_2(1 - \frac{S}{h_2}) \quad h_2 = \frac{S}{1 - \frac{S}{h_2}} \quad (4.7)$$

Вскоре после таяния снежный покров становится среднераспределенным и эдакий обычно остается почти до конца таяния. Водоудерживающую способность такого снега можно принимать равной 0,13. Тогда при влажности снега, равной водоудерживающей способности, поступление воды на поверхность почвы

$$h_2 = 1,15 h_2$$

Процессы снегонакопления и таяния в поле и в лесу существенно различаются. Поэтому в бассейнах, где есть площади, занятые лесом, поступление воды на поверхность почвы необходимо рассчитывать отдельно для полевых и лесных площадей. Суточный слой поступления для посева водосбора определяется как средневзвешенная подача воды на полевую ( $h_{2,п}$ ) и лесную ( $h_{2,л}$ ) части бассейна:

$$h_2 = (1 - \beta) h_{2,п} + \beta h_{2,л} \quad (4.8)$$

где  $\beta$  — коэффициент лесности бассейна.

Потери дождевых и талых вод. Потери дождевых и талых вод определяются главным образом расходом воды на инфильтрацию и испарение. Потери стока на испарение во время дождей или снеготаяния, как правило, не имеют решающего значения, и поэтому в большинстве случаев их исключают из уравнения водного баланса. Однако в безветровые периоды испарение может оказывать решающую роль на режим влажности почвы и, следовательно, определять будущую потерю на инфильтрацию. В связи с этим при определении предельночных характеристик

увлажнения (явления увлажнения) почвы прямо или косвенно приходится учитывать потерю на испарение.

Наиболее важной и сложной для расчета является составляющая потеря на инфильтрацию. Экспериментальные исследования показывают, что в начальный момент выпадения дождя инфильтрация протекает вся вода. Длительность этой фазы зависит от начальной влажности почвы и интенсивности дождя. Затем, по мере выпадения дождя, скорость инфильтрации резко уменьшается и достигает относительно постоянного значения. Приближенно эту зависимость можно описать следующим уравнением (кривая инфильтрации)

$$q_e \rightarrow 1 - i_0 + A \sqrt{t} \quad (4.9)$$

где  $i_0$  — интенсивность инфильтрации;  $A$  — коэффициент инфильтрации;  $t$  — интенсивность инфильтрации максимальной почвой;  $t$  — время;  $A$  — параметр.

При выпуске оперативных прогнозов паводков кривые инфильтрации могут быть использованы только в тех случаях, когда данные об осадках отсутствуют через 1—3 ч. Такая информация, как правило, отсутствует. Поэтому в практике прогноза паводков используют различные эмпирические зависимости, интегрально учитывающие водологотельные свойства почвы. Чаше строит практические связи, которые включают в себя характеристики предшествующей влажности почвы, сумму осадков, их продолжительность и др. Примеры таких связей даны в следующей главе.

Потери талой воды в почву во время весеннего снеготаяния имеют ряд особенностей. Существенное влияние в этом случае оказывает льдистость почвы к началу таяния. Чем больше лдистость, тем ниже водопроницаемость мерзлой почвы и тем больше отпадение от предельной талой воды. Обычно лдистость характеризуется заделом замерзшей в почве влаги. Второй особенностью является возможность образования практически водонепроницаемых слоев за счет замерзания части талой воды. Проникнуть в почву в начальной фазе снеготаяния.

Для учета этих особенностей в практике чаще всего используют формулу промерзания. Причем ее влияние проявляется двойко при наибольшей глубине промерзания: во-первых, из-за температуры почвы и, следовательно, сильнее лдистоеобразование при промерзании в ее поры талой воды и, во-вторых, меньше суммарная площадь участков, где почва слабо промерзла или осталась талой. На рис. 4.4 показано типичное изменение доли площади, где глубина промерзания почвы перед началом снеготаяния меньше 15 см, в зависимости от средней для бассейна глубины промерзания почвы в это же время.

Опыт показывает, что колебания глубины промерзания почвы особенно сильно влияют на инфильтрацию талых вод в степной и лесостепной зонах, где почва более структурирована. Для лесных же почв колебания глубины промерзания не вызывают весьма существенного изменения потерь воды на инфильтрацию, поскольку для

ВНХ характерно наличие крупных ледяных пробок, сохраняющихся при промерзании даже в нижней почве.

Следует также ответить, что влияние глубины промерзания и влияния льдистости почвы на инфильтрацию талых вод взаимосвязаны. При высокой влажности почвы влияние глубины промерзания проявляется значительно сильнее, чем при сухой почве. Так, для черноземных почв, если они сухие, промерзание практически не сказывается на инфильтрационной способности.

Помимо расходов воды испаряющейся в почву воды на испарение часть ее сбрасывается в нижележащий слой ( $q_2$ ), обычно рассмат-

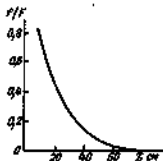


Рис. 4.4. Изменение доли площади с глубиной промерзания почвы перед началом снегозадержки высотой 15 см в зависимости от средней глубины промерзания почвы на юге в это же время.

ривается слой почвы толщиной 50—100 см), а часть сбрасывается в реки по промежуточным водосборам в почве ( $q_3$ ). Роль этих составляющих в формировании паводков сильно зависит от физико-географических и климатических условий. Внутриводочный сток, как правило, играет значительно большую роль в формировании паводков в лесной зоне и в горных условиях. Так, при формировании весеннего половодья в лесной зоне он может составлять 30—40 % общего стока. Для дождевых паводков роль внутриводочного стока заметно меньше. Однако в районах с искусственным кахматом внутриводочный сток может оказывать также существенное влияние на гидрограф паводка.

При анализе фактических гидрографов довольно трудно отделить внутриводочный сток от поверхностный. В связи с этим в практических схемах прогноза поверхностный и почвенный сток рассматривают, как правило, вместе. Явно учитываются почвенные составляющая лишь при использовании математических моделей стока.

Отток влаги в нижележащий слой почвы может оказывать заметное влияние лишь на продолжительные паводки, длящиеся месяц и более. В краткосрочных схемах эта составляющая баланса явно не учитывается. Чаще полагают, что она пропорциональна поступлению на поверхность воды.

Стеkanie воды в речные бассейнах. Сформировавшийся поверхностный сток, прежде чем достичь замыкающего створа, проходит по склонам, а затем по оврагам и руслам рек.

В результате общей продолжительности добегаемая единичного объема воды до рассматриваемого створа складывается из времени перемещения по склонам и руслам.

При стекании по склонам часть воды задерживается в различных бессточных углублениях. Большая часть этой воды не участвует в стоке замыкающего створа. Для учета количества задержанной воды в понижениях рельефа используют кривые распределения поверхностной влажности бассейна. В соответствии с ними поверхностный сток формируется только на тех участках водосбора, для которых количество задержанной воды меньше водостачивающего. Аккумуляция водочного стока в бессточных углублениях в бассейнах с относительно пересеченным рельефом обычно невелика (около нескольких миллиметров), но достигает десятков миллиметров в бассейнах с преобладающим пониженным форм рельефа.

Наблюдения за процессом склонового стекания показывают, что общее время склонового стекания часто по много раз превышает продолжительность стекания в мелкой речной сети. Поэтому учет процессов, происходящих на водосборе, позволяет увеличивать заблаговременность прогноза стока.

Продолжительность стекания воды к замыкающему створу зависит от характера и протяженности склонов и русловой сети их уклонов. В связи с этим она сильно меняется: от нескольких часов для малых горных рек до десятков суток для крупных равнинных рек. Собственно, эта продолжительность во многом и определяет заблаговременность прогноза.

Стеkanie воды, поступившей на водосбор за единицу времени, происходит в течение некоторого времени, называемого максимальным временем добегаания притока воды в речную сеть. Как и для участка реки, для водосбора должно построить кривую добегаания притока воды в речную сеть. Так как на практике трудно определить график притока воды в русловую сеть, чаще строят общую кривую добегаания по склонам и руслам до замыкающего створа. Способы построения этой кривой во многом аналогичны рассмотренным в предыдущей части. Некоторые другие подходы рассмотрены в гл. 5.

Характер добегаания внутриводочного стока к русловой сети изучен значительно хуже. В практических расчетах чаще используют те же подходы, что и для трансформации поверхностного стока.

## 4.2. Математические модели для гидрологических прогнозов

Как известно из изложенного выше, формирование дождевого и талого стока представляет собой чрезвычайно сложный многофакторный процесс, обусловленный взаимодействием большого числа элементарных процессов. Многочисленные экспериментальные

исследования посвящены изучению отдельных процессов стокообразования на водосборе, так как организовать надежные прямые измерения всех составляющих баласа во коротких временных интервалах удается только для небольших площадей. В связи с этим важную роль в описании взаимодействия всех процессов стокообразования с помощью ЭВМ приобрело математическое моделирование, адаптированное на расчет гидрографа стока.

Под математической моделью понимается совокупность математических и логических соотношений, которые на основе данных гидрометеорологических наблюдений позволяют рассчитать различные элементы гидрологического режима, в частности гидрограф стока. При построении математических моделей формирования стока используют как общие теоретические представления о процессе стокообразования (законы сохранения массы и энергии), так и эмпирически установленные соотношения, используемые для описания отдельных процессов.

Практически все модели, реализованные для задач прогноза стока, пренебрегают деталями стокообразования на отдельных участках и оперируют с некоторыми интегральными для всего водосбора характеристиками. Это так называемые модели с сосредоточенными параметрами. Такие модели включают в себя ряд параметров, интегрально характеризующих особенности рассматриваемого водосбора в среднем. Некоторые из этих параметров учитывают влияние различных зональных факторов стокообразования и слабо меняются для водосборов, находящихся в пределах одной зоны. Другие параметры отражают влияние локальных особенностей формирования стока и могут существенно различаться для водосборов, находящихся даже в пределах одной зоны. Поэтому успешность использования модели для конкретного водосбора во многом зависит от надежности определения параметров модели, отражающих как зональные условия стокообразования, так и локальные особенности водосбора.

Точность определения параметров модели зависит от точности, репрезентативности и объема исходной информации. Чем ниже точность и меньше объем данных, тем проще должна быть модель. В связи с этим практически каждая модель явля или не являя включает в себя более простые подмодели, содержащие меньшее число параметров, чем полная модель. В процессе определения параметров выбирают лучшую подмодель для данного водосбора и данного состава исходных данных. Для определения параметров обычно используют методы оптимизации, позволяющие найти приближенные оценки параметров, при которых получают наилучшее соответствие фактическим и рассчитанным гидрографов. В общем виде любая процедура оптимизации заключается в итерационном переборе различных значений параметров, начиная с некоторых начальных их значений.

Выбор новых значений параметров основан на анализе заданной некоторым образом ошибки расчета гидрографа стока. Чаще всего используют среднюю квадратическую ошибку расчета либо

сумму квадратов погрешностей (критерий качества). Изменение параметров происходит до тех пор, пока критерий качества не приближится к минимальному значению. Чем больше оптимизируется параметров, тем сложнее поведение этой ошибки при изменении параметров и тем сложнее поиск минимума этой ошибки.

На рис. 4.5 показаны линии равных значений критерия качества в зависимости от двух параметров. Очевидно, что в этом случае оптимальные значения параметров будут лежать на пересечении перпендикуляров, проходящих через точку с минимальным критерием качества (точка А), с осями координат.

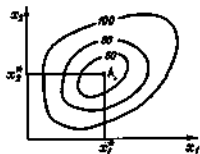


Рис. 4.5. Топография критерия качества. А — точка, соответствующая минимальному значению критерия;  $X_1^*$ ,  $X_2^*$  — оптимальные значения параметров.

Процесс определения параметров с помощью методов оптимизации позволяет достаточно быстро с помощью ЭВМ найти оптимальные оценки параметров. Однако следует иметь в виду, что как всякий формализованный подход он не лишен недостатков. Так, окончательные оценки параметров могут зависеть от заданных начальных значений параметров, а при слабом влиянии какого-либо процесса часть параметров может притягивать кривые значения. В связи с этим необходимо осуществлять физический анализ полученных оптимальных параметров и при необходимости многократно повторить процедуру оптимизации при различных начальных значениях параметров для различных групп паводков (половодий) и модифицировать модель. Для уменьшения вероятности попадания в «ложные» минимумы необходимо задавать возможные пределы изменения параметров исходя из физических соображений и имеющихся экспериментальных данных.

В настоящее время имеется большое число математических моделей, описывающих формирование речного стока с разной степенью детальности. Особенностью моделей является то, что при их разработке и применении необходимо большой объем данных, которые трудно обобщить и обработать вручную. Поэтому широко использование моделей в оперативной практике тесно связано с автоматизацией сбора и обработки гидрометеорологической информации. Дальнейшее повышение точности и оперативности краткосрочных прогнозов гидрографа дождевых паводков и весеннего половодья может быть достигнуто благодаря внедрению автоматизированных систем выпуска прогноза на базе математических

моделей. Особенно эффективно использовать такие подходы при разработке методов прогнозов для крупных речных систем.

Необходимо также учитывать, что рассматриваемые модели формирования стока основаны на прямом расчете составляющих водного баланса, поэтому требуют достаточно надежных данных о приходной части баланса (осадках, запасах воды в снегу). Для водоборов, плохо освещенных такими данными, точность расчетов с использованием моделей может оказаться недостаточной. В таких случаях целесообразно использовать более простые графоаналитические или статистические способы, позволяющие построить приближенные зависимости стока с разлечными косвенными характеристиками, включая приближенные оценки приходной части баланса (например, суммарные осадки за холодный период).

## Глава 5. Графоаналитические способы прогноза гидрографа стока

### 5.1. Прогноз дождевых паводков по данным об осадках

Разработка метода прогноза включает в себя два этапа: установление зависимостей для определения стока за паводок и разработка методики расчета расходов (уровней) воды паводка.

#### 5.1.1. Построение зависимостей между паводочным стоком и факторами, обуславливающими его

Обычно такие связи характеризуются большой нелинейностью. Довольно общее аналитическое выражение этих связей можно представить в виде

$$Y = P - P_{\text{мин}} [1 - \exp(-P/P_{\text{мин}})] \quad (5.1)$$

где  $Y$  — сток,  $P$  — количество осадков за паводок,  $P_{\text{мин}}$  — максимально возможные потери при данном увлажнении бассейна.

Зависимость (5.1) устанавливается для конкретных водоборов следующим образом. За ряд паводков выводят значения сток и осадков, вызвавших эти паводки. Затем для каждого паводка по формуле (5.1) с учетом полученных значений стока и осадков определяют значение параметра  $P_{\text{мин}}$ . После этого устанавливают графическую связь параметра  $P_{\text{мин}}$  с факторами, определяющими потери дождевого стока. Такими факторами могут быть: характеристика влажности почвы перед паводком, продолжительность выведения осадков, сезон года и др. Установив зависимость  $P_{\text{мин}}$  от определяющих его факторов, нетрудно вычислить сток, сформированный заданными осадками.

Для некоторых водоборов удается получить сравнительно простую зависимость для расчета стока:

$$Y = I_n (P, I_n) \quad (5.2)$$

где  $I_n$  — индекс предшествующего увлажнения почвы.

Построение такого вида зависимостей не требует обширной информации. Наиболее приемлемой такой подход для водоборов, сложенных легкопроницаемыми почвами с близким залеганием водоупора.

Другой возможный подход состоит в построении собственных графических зависимостей, связывающих слой стока с индексом предшествующих осадков, сезоном года, количеством и продолжительностью осадков. При построении таких графиков вместо слоя стока принято использовать потери, равные разности слоя осадков и слоя стока за паводок, а затем переходить к стоку. Суть этого метода состоит в следующем.

Потери стока за паводок вначале связывают с индексом предшествующих осадков и сезоном года (месяц года или номер недели от начала года или наиболее ранней даты прохождения дождевых паводков) и в соответствии с расположением точек строят семейство кривых (рис. 5.1 а). Далее, по построенной зависимости определяют потери и связывают их с фактическими значениями потерь на новом графике. Точки этого графика помечают значениям продолжительности осадков и строят второе семейство кривых (рис. 5.1 б). По двум построенным графикам снова определяют вычисленные значения потерь и связывают их еще раз с фактическими значениями и количеством осадков (рис. 5.1 в). В конце строят связь значений потерь стока, вычисленных с учетом всех переменных, с фактическими значениями (рис. 5.1 г).

При наличии систематических отклонений точек от линии равных значений построение всех графиков следует проверить и возможно по-иному подойти к проведению линий связи.

После достижения равномерного расположения точек по отношению к линиям равных значений семейство кривых на рис. 5.1 е заменяют новым семейством кривых, позволяющим вычислить непосредственно значения стока. Это преобразование осуществляют простым перестроением кривых, исходя из условий баланса (сток равен количеству осадков минус потери). Два первых графика (рис. 5.1 а, б) при этом остаются без изменений (рис. 5.2).

Если зависимость потерь стока от времени продолжения паводка трудно построить, можно воспользоваться другим приемом. Сток за паводок сначала связывают с двумя наиболее важными независимыми переменными — индексом предшествующих осадков и слоем осадков, а затем учитывают остальные переменные. Пример совмещенной системы таких зависимостей показан на рис. 5.3 (см. пример 5.1).

Построение совмещенных корреляционных графиков — сложная задача. Сложность обуславливается тем, что связь между стоком (потерями) и каждой из рассматриваемых переменных выражена

слабо. Так, на графиках, выражающих зависимость потерь стока от индекса предшествующих осадков, сезона года и продолжительности осадков (см. рис. Б.1 а, б), ввиду отсутствия важнейшего параметра — осадков очень трудно построить семейство кривых.

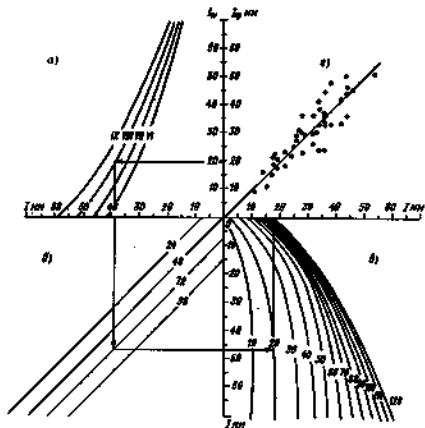


Рис. Б.1. Зависимости для расчета потерь стока за вывозок.

В календарных графиках (слева): а) потери стока с индексом увлажненности ( $I_{пр}$ ) и кривыми продолжительности дождя (цифры у линий — часовая); б) потери стока с продолжительностью дождя (цифры у линий — продолжительность дождя в часах); в) потери стока с индексом увлажненности — осадков в мм (цифры); д) расчетный и фактический потери стока.

В этом случае целесообразно построение начинать для дождевых вывозков, образовавшихся примерно одинаковыми осадками.

При проведении линий связи на поле графика необходимо учитывать общее представление о виде рассматриваемой зависимости. Так, например, с увеличением индекса предшествующих осадков потеря стока должна убывать. Зависимость эта, как правило, криволинейная. Учет сезона года отражает годовой ход температуры воздуха и осадков и, следовательно, увлажненности почвы. Чем больше

сезонное увлажнение почвы, тем меньше влияние индекса предшествующих осадков и тем круче линия связи на графике, и, наоборот, чем меньше сезонное увлажнение почвы, тем сильнее

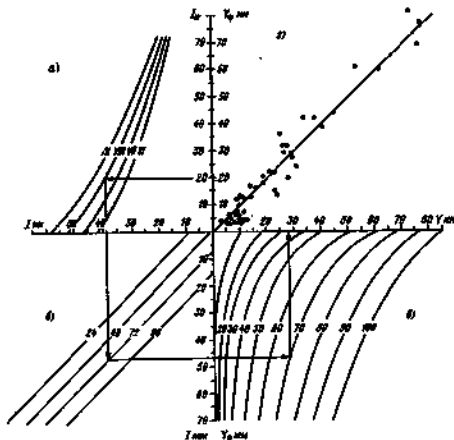


Рис. Б.2. Зависимости для расчета стока за вывозок.

В календарных графиках (слева): а) потери стока с индексом увлажненности ( $I_{пр}$ ) и временем продолжения вывозки (цифры у линий — часовая); б) потери стока с продолжительностью дождя (цифры у линий — продолжительность дождя в часах); в) стока с осадками (цифры у линий — осадки в мм (цифры)); д) расчетный и фактический стока.

индекс сильнее и тем положе линия связи. При большом индексе предшествующих осадков влияние сезонного увлажненности почвы меньше, а при малом — больше. Поэтому линия связи в верхней части графика проходит через меньшее расстояние, чем в нижней его части.

Связь между стоком и продолжительностью осадков обратная и близка к прямолинейной.

Установив таким образом на основе ограниченного количества исходных данных расположение линий связи на поле графика, зависимость исправляют с учетом уже всех имеющихся данных.

При установлении зависимости, учитывающей влияние слоя осадков (см. рис. 5.1 а), необходимо исходить из общего вида за-

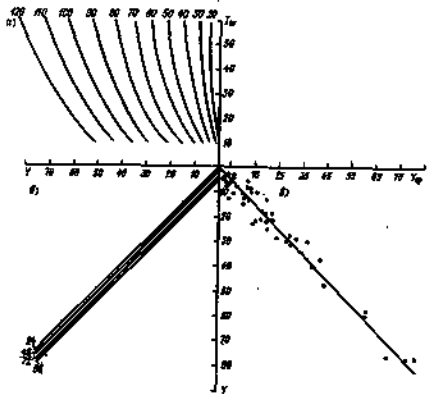


Рис. 5.3. Зависимость стока от уклона единичного гидрографа ( $1/n$ ), осадков (цифры у левой вертикали а) и продолжительности пика (цифры у левой вертикали б) для р. Рика у с. Мезгорья. В квадрате в — связь фактического и расчетного стока.

висимости стока от осадков (см. рис. 5.1). Линия равного количества осадков на графике обычно криволинейна. Расстояние между линией дождя уменьшается с увеличением слоя осадков. Угол наклона линий к вертикальной оси должен увеличиваться с увеличением слоя осадков.

#### 5.1.2. Метод единичного паводка

Для расчета трансформации притока можно пользоваться кривыми дообегания, рассмотренными в п. 3.1, а также методом единичного паводка, который широко используют на рубежном.

Единицей называется паводок, сформированный эффективными осадками количеством в 1 мм (в английской литературе 1 дюйм, равный 25,4 мм), выпавшими равномерно по водосбору в принятую единицу времени. Предложенный еще в 1932 г. Шерманом, этот метод развивался и обобщался многими исследователями.

Расчет гидрографа паводка для осадков, отличающихся от принятых в определении единичного паводка, основан на следующем:

— гидрограф, сформированный эффективными осадками количеством  $P_{\text{мм}}$ , выпавшими равномерно по водосбору в единицу времени, может быть получен путем умножения ординат единичного паводка на  $P$ ;

— гидрограф, сформированный эффективными осадками, выпавшими равномерно по водосбору в течение нескольких единиц времени, может быть получен путем суммирования гидрографов, полученных отдельно для каждой единицы времени в период выпадения осадков.

Наиболее простой способ нахождения единичного паводка вытекает из его определения и основан на выборе «изоэроэнтных» дождей, выпадающих в единицу времени. В этом случае можно рекомендовать следующую схему определения:

1. Сопоставляют ход осадков и стока; ищут осадки, выпадающие за одну расчетную единицу времени, и соответствующий им сток;
2. На выбранных гидрографах стока выделяют грунтовую составляющую и вычисляют слой стока от данного дождя;
3. Вычисляют ординаты единичных паводков путем деления расходов воды за каждую расчетную единицу времени на общий слой стока за паводок, равный эффективным осадкам, и выражают в  $\text{м}^3/(\text{с} \cdot \text{мм})$ . Удобно ординаты единичного паводка выражать в долях, когда на слой стока за паводок делят на расходы воды, а слой стока за каждую расчетную единицу времени. В этом случае сумма ординат единичного паводка равна единице;
4. Находят средний единичный паводок для бассейна путем осреднения ординат единичных паводков для всех выбранных случаев.

На практике часто трудно выделить дожди единичной продолжительности. В этих случаях используют два приема. Первый предполагает построение среди единичных паводков для дождей различной продолжительности. Затем каждый из них используют при расчете гидрографа паводка, сформированного дождем соответствующей продолжительности.

Другой прием основан на методе так называемых S-кривых (интегральный единичный паводок). В этом случае определяют единичные паводки для дождей различной продолжительности ( $I_1$ ), а затем с помощью S-кривых их пересчитывают в единичный паводок заданной единичной продолжительности ( $I_0$ ). Получаемые таким образом единичные паводки осредняют и получают обобщенный единичный паводок.

Вычисления ведут следующим образом. Для каждого единичного паводка, соответствующего продолжительности эффективных осадков, находят S-кривую путем суммирования единичных гидрографов, каждый из которых сдвигают на  $t_i$  единиц по отношению к предыдущему, причем смещение производят до тех пор, пока S-кривая не достигнет постоянных значений (эта продолжительность равна длине единичного паводка для  $t_i$  продолжительности). После этого S-кривую сдвигают вниз на  $t_0$  единиц времени и производят вычитание ordinат сдвинутой и несдвинутой S-кривых. Умножив полученные значения на  $i_0 t_0$ , получают единичный гидрограф для дождя продолжительностью  $t_0$ .

Порядок вычислений при расчете единичного паводка, соответствующего продолжительности дождя  $t_0 = 2$  единицы времени, в единичный паводок для дождя продолжительностью  $t_0 = 1$  единицы времени показан в табл. 5.1.

Таблица 5.1

Пример расчета ordinат единичного паводка для дождя продолжительностью 2 единицы ( $P_2$ ) времени в единичный паводок для дождя единичной продолжительности ( $P_1$ )

Время	Одиничный гидрограф единичного паводка	Одиничный гидрограф, сдвинутого		Одиничный S-кривой	Суммирование на 2 единицы времени ordinат сдвинутой S-кривой	Разность граф $(P_2 - P_1)$	Одиничный гидрограф для дождя продолжительности 2 единицы $t_0$
		на 2 единицы времени	на 4 единицы времени				
1	2	3	4	5	6	7	8
1	0,10			0,10	0,10	0,10	0,20
2	0,30			0,30	0,20	0,40	0,30
3	0,35	0,10		0,45	0,30	0,15	0,30
4	0,20	0,30		0,50	0,45	0,05	0,10
5	0,05	0,35	0,10	0,50	0,50	0	

Такую процедуру осуществляют для всех полученных единичных паводков, соответствующих дождям другой продолжительности  $t_0$ , после чего полученные паводки (графа 8 табл. 5.1) усредняют.

Следует подчеркнуть, что такой прием целесообразен при использовании небольших расчетных интервалов времени. При больших интервалах (сутки и больше) предпочтительнее пользоваться подходом, основанным на единичных дождях, так как при объединении осадков за несколько суток большую роль будет играть их распределение внутри выбрального периода и единичные паводки могут сильно меняться от одного дождя к другому.

На форму единичных паводков влияет распределение осадков по площади и объем выходящего или стока. Поэтому для построения зависимости необходимо отобрать дожди, имеющие более или менее равномерное распределение по бассейну. Если распре-

деление осадков по территории отличается значительными различиями, необходимо проводить классификацию единичных паводков в зависимости от распределения осадков по территории и объема стока, т. е. пользоваться серией крайних дождеваний.

### 5.1.3. Подготовка исходных данных

Прежде всего необходимы данные о стоке от каждого стокообразующего дождя. Общий слой стока за паводок вычисляют без учета грунтового составляющей. Для выделения грунтового стока можно применить горизонтальную срезу по максимальному предпаводочному расходу воды. Для построения расчетных зависимостей следует использовать одномоментальные паводки. Если паводок имеет многомодалый характер, то его необходимо расчленить на простые с учетом тиловой кривой стока.

Особое внимание следует уделять осадкам. Средние по бассейну осадки могут быть вычислены одним из описанных в гл. 4 способов. Для установления расчетных зависимостей необходимо отобрать данные только о стокообразующих осадках. Небольшие дожди, выпадающие после начала спада расходов воды, не учитывают, если они не оказывают заметного влияния на форму гидрографа. Небольшие дожди, выпадающие до главного пика, также исключают из стокообразующих осадков и учитывают при расчете характеристик увлажнения почвы.

Следующей важной характеристикой, используемой при построении зависимости, является увлажненность почвы перед началом паводка. Наблюдения о запасах влаги в почве в отдельных пунктах в архивах могут быть использованы для характеристики увлажненности почвы всего бассейна. Но обычно таких измерений недостаточно и они не обладают необходимой репрезентативностью. Поэтому при оценке влаги в почве перед паводком, как правило, используют косвенные показатели влажности почвы.

Наиболее простой характеристикой увлажненности почвы является предпаводочный расход воды. Эта характеристика может быть использована для территорий с влажным и близким к влажному климатом. Достаточно эффективной оценкой является индекс увлажнения почвы

$$I_v = \sum_{i=1}^n a_i P_i \quad (5.3)$$

где  $P_i$  — осадки за  $i$ -й интервал времени,  $i_0 a_i$  — общая продолжительность предшествующего периода,  $a_i$  — весовые коэффициенты. Интервалы времени отсчитывают в обратную сторону от момента, на который рассчитывается индекс.

Весовые коэффициенты зависят от температуры воздуха и интервалов времени, по которым учитываются осадки при подсчете индекса увлажнения. В табл. 5.2 приведены значения коэффициентов  $a_i$  в зависимости от температуры и интервалов времени при

Таблица 5.3

Значения коэффициента  $\alpha_i$  в формуле (5.3)

Интервал суммирования осадков, сут	Температура воздуха, °С				
	4	5	10	15	20
0—1/12	1,0	1,0	1,0	1,0	1,0
1/12—1/6	1,0	1,0	1,0	0,98	0,95
1/6—1	1,0	1,0	0,90	0,80	0,80
1—3	1,0	0,90	0,70	0,68	0,58
3—5	0,72	0,65	0,60	0,50	0,45
6—10	0,62	0,56	0,50	0,40	0,34
11—30	0,35	0,30	0,26	0,20	0,17
31—60	0,30	0,26	0,22	0,17	0,16
61—90	0,26	0,22	0,19	0,16	0,16
91—120	0,21	0,17	0,15	0,15	0,15
121—180	0,11	0,11	0,11	0,11	0,11

выборе осадков. Имея только суточные суммы осадков, можно пользоваться упрощенной зависимостью:

$$I_T = P_1 + 0,7P_{1-1} + 0,6P_{1-2} + 0,3P_{1-n-1} + 0,2P_{1-n-2} + 0,1P_{1-n-3} \quad (5.4)$$

где  $P_1, P_{2-1}$  и т. д.— количество осадков, выпавших за указанный индексом интервал времени ( $n$  суток), считая назад от даты, на которую рассчитан индекс.

При температуре воздуха ниже 10 °С рекомендуется брать осадки за периоды, более длинные тех, которые указаны в формуле (5.4).

Очень проста и удобна при расчете по суточным интервалам зависимость

$$I_T = \sum_{i=1}^n k^i P_i \quad (5.5)$$

Так же, как и в формулах (5.3) и (5.4), время отсчитывают в обратную сторону от момента, на который рассчитан индекс. Коэффициент  $k$  зависит от температуры и принимает следующие значения: при  $T=5^\circ\text{C}$   $k=0,94$ ; при  $T=10^\circ\text{C}$   $k=0,92$ ; при  $T=15^\circ\text{C}$   $k=0,9$ ; при  $T=20^\circ\text{C}$   $k=0,88$ . Зависимость (5.5) удобна в оперативной практике, так как позволяет очень просто вести непрерывный расчет индекса увлажнения без пересчета осадков за предыдущие моменты времени, как это требуется при использовании формул (5.3) и (5.4).

Индекс увлажнения на  $i$ -е сутки при известном значении на  $(i-1)$ -е сутки рассчитывают по простому соотношению:

$$I_{T,i} = k(P_i + I_{T,i-1}) \quad (5.6)$$

#### 5.1.4. Практические приемы прогноза дождей наводком

Рассмотренные зависимости позволяют прогнозировать объем стока за наводком, а также гидрограф либо максимальный расход (уровень). Однако для небольших водосборов прогнозируют, скорее, гарантированную величину, соответствующую осадкам за момент составления прогноза.

Используя зависимости (5.1)—(5.3), по сумме осадков по расчетному моменту времени прогнозируют ожидаемый объем стока при условии отсутствия осадков за период заблаговременности. После получения новой информации об осадках (если они не прекратятся) составляют новый прогноз в т. д.

Для прогноза распределения стока в период наводка либо максимального расхода (уровня) используют конечный удельный наводок над кривую дообегания. Для этого на каждый расчетный интервал времени вычисляют интегральные суммы осадков, начиная от первого интервала времени, со стокообразующими осадками. Затем по графикам рис. 5.1—5.3 определяют соответствующее им интегральное сумми осадков, разности которых и дают сток стока в каждую единицу времени. Осуществив их преобразование с помощью единичного наводка (аналогично использованию кривых дообегания), получают гидрограф, соответствующий осадкам, выпавшим к моменту выпуска прогноза. Аналогично предыдущему процедуре повторяют после получения новой информации об осадках.

В случае перерыва в ходе осадков вычисляют новый индекс увлажнения и суммирование осадков начинают с нового момента времени.

Для увеличения заблаговременности прогноза желательно привлекать данные краткосрочных прогнозов осадков. В некоторых случаях даже качественная информация об ожидаемых осадках может дать положительный эффект. Достаточно обширных количественных показателей эффективности различных способов учета будущих осадков нет. В каждом конкретном случае совместно с метеорологическими подразделениями должна быть выработана методология учета будущих осадков исходя из анализа формы выпуска и качества прогноза осадков для рассматриваемого региона.

**Пример 5.1.** Расчет объема и гидрографа наводочного стока р. Рухи у с. Мезгорья.

Для разработки расчетных зависимостей использованы данные наблюдений о стоке и осадках за период с 1970 по 1979 г. Расчетный интервал времени принят равным суткам. За рассматриваемый период было выделено 62 наводка и подсчитаны их объемы. Суточные суммы осадков обрабатывали как средние арифметические по данным пяти станций.

В качестве характеристики предшествующего увлажнения принят индекс (5.5), причем осадки просуммированы за 30

предшествующих суток. Определены также продолжительность осадков (в сутках), вызвавших паводки, и время их прохождения (порядковый номер недели, начиная с мая). По этим данным построена зависимость для расчета объема стока (см. рис. 5.3). Для установления этой зависимости использовалась способ сезонной графической корреляции.

На первом графике (см. рис. 5.3а) построена зависимость слоя стока от индекса предшествующих осадков и количества осадков, вызвавших паводки, поскольку установить связь с порядковым номером недели не удалось. На втором графике (см. рис. 5.3б) построена зависимость фактического стока (вертикальная ось) от стока, вычисленного по первому графику и продолжительности осадков. Для контроля на третьем графике (см. рис. 5.3в) построена связь между фактическим и вычисленным (с учетом трех аргументов) стоком. Сходимость рассчитанного и фактического стока удовлетворительная. Отношение  $s/\sigma$ , подсчитанное по данным о всех паводках, равно 0,20.

Построения зависимость была использована также для расчета гидрографа стока по методу единичного паводка. Ординаты единичного паводка определяли следующим образом. На основе анализа хода осадков и стока выделяли дождевые паводки, сформированные дождями суточной продолжительности. Для каждого выделенного паводка определяли распределение стока. Таблица 5.3

Таблица 5.3

Распределение стока во время паводка от суточного дожда 18 июня 1978 г. в р. Рух и с. Малгорья

Дата	Расход воды $Q$ м <sup>3</sup> /с	Грунтовый сток $Q_{гр}$ м <sup>3</sup> /с	Поверхностный сток $Q_{поверх} = Q - Q_{гр}$	Ординаты единичного паводка $\frac{Q_{поверх}}{P - U_{этал}}$
17/VI	10,5	10,5	0	0
18/VI	59,5	10,5	49,0	0,49
19/VI	30,7	10,5	20,2	0,20
30/VI	25,2	10,5	12,7	0,13
21/VI	16,3	10,5	5,8	0,06
22/VI	13,4	10,5	2,9	0,03
23/VI	11,3	10,5	0,8	0,00
24/VI	10,5	10,5	0	0
$\Sigma$			100,4	1,0

Иллюстрирует вычисленные ординаты единичного паводка от суточного дожда. Такие единичные паводки были построены для 11 суточных дождей (табл. 5.4). Форма единичных паводков оказалась

Таблица 5.4

Определение табличного графика единичного паводка р. Рух и с. Малгорья

Время прохождения паводка	Ординаты единичного паводка				
	1	2	3	4	5
12—16/V-70	0,61	0,27	0,10	0,02	
17—21/VIII-70	0,68	0,38	0,10	0,04	
18—23/VI-71	0,58	0,26	0,13	0,06	0,02
27—30/VIII-71	0,76	0,18	0,06	0	
29/VIII—2/IX-72	0,40	0,36	0,12	0,08	0,04
20—23/VIII-73	0,67	0,23	0,10	0	
30/IV—2/VI-76	0,51	0,30	0,10		
1—4/VIII-76	0,72	0,17	0,11	0	
17—24/VI-78	6,49	0,30	0,13	0,06	0,03
10—14/VII-79	0,78	0,16	0,06	0,01	
31/VII—4/VIII-79	0,71	0,22	0,07	0	
Сумма	6,78	2,61	1,07	0,27	0,08
Ординаты обобщенного единичного паводка	0,61	0,26	0,10	0,02	0,01

довольно близкой для всех случаев, что позволило получить обобщенный единичный паводок для суточных осадков. Ординаты этого паводка приведены в табл. 5.4.

Расчет гидрографа стока рассмотрен на примере дождевого паводка 1978 г. в табл. 5.5. В графе 2 этой таблицы приведено количество осадков, выпавших в бассейне за период с 31/VIII по 7/IX. По интегральной сумме осадков на каждые сутки (графа 3), начальному индексу увлажнения  $I_{н-22}$  мм и продолжительности осадков с графика рис. 5.3 сняты значения суммарного слоя стока (графа 4). Суточный сток определен по разности слоев суммарного стока (графы 5 и 6). Значения ординат единичного паводка приведены в графе 7. Порядок вычисления ежедневных расходов воды аналогичен расчету по кривой добогания (графы 8—17). В графе 18 представлены фактические расходы воды. Фактические и рассчитанные гидрографы за ряд паводков показаны на рис. 5.4.

Для использования рассмотренной схемы в протозее паводка необходимо учитывать прогноз количества осадков, так как естественная задержка времени меньше суток. Однако при наличии фактических данных об осадках по меньшим интервалам времени

Расчет гидрографа для впадения в Р. Ринца у с. Мезгорья,  $l_{\text{пр}} = 23$  км,  $Q_{\text{до}} = 4,89$  м<sup>3</sup>/с, 1978 г.

Дата	Осадки		Сток			$\rho_1$	Проведение $q_1$ (м <sup>3</sup> /с) на склоне единичного гидрографа $\rho_1$									Расход воды $Q$			Ошибки расчета $\Delta = Q_{\text{до}} - Q_{\text{р}}$
	Р, мм	ЭР, мм	Р, мм	В, мм	$q$ м <sup>3</sup> /с		$q_1^1$	$q_1^2$	$q_1^3$	$q_1^4$	$q_1^5$	$q_1^6$	$q_1^7$	$q_1^8$	$Q_{\text{до}}$	$Q = Q_{\text{до}} + Q_{\text{пр}}$	$Q_{\text{р}}$		
1	2	3	4	5	6	7	8	9	10	11	12	13	14	15	16	17	18	19	
31/VIII	25,0	35,0	3,0	3,0	18,8	0,94	11,5									11,5	15,0	34,2	-6,6
1/IX	37,2	62,2	21,0	16,0	112,5	0,26	4,89	68,6								73,5	77,6	74,6	3,1
2/IX	10,6	72,8	30,0	9,0	56,2	0,10	1,88	29,2	34,3							65,4	69,5	43,3	26,2
3/IX	7,5	80,8	37,0	7,0	43,8	0,02	0,38	11,2	14,6	36,7						52,9	57,0	38,0	19,0
4/IX	4,9	87,2	42,0	5,0	31,2	0,01	0,19	2,25	5,02	11,4	19,0					39,6	43,1	40,6	2,6
5/IX	1,0	86,2	42,0	0,0	0,0			1,12	1,12	4,38	3,11	0				14,7	18,8	27,0	-8,2
6/IX	0,9	89,1	42,0	0,0	0,0				0,56	0,56	3,12	0	0			4,66	8,64	19,9	-11,0
7/IX	0,1	89,2	42,0	0,0	0,0					0,44	0,62	0	0	0		1,06	5,14	16,4	-10,3



где  $R_i$  — рассчитанная водоподача в  $i$ -й момент времени;  $t_0$  — время начала снеготаяния;  $R_{\text{норм}}$  — параметр, характеризующий водопоглощающую способность бассейна перед началом снеготаяния.

Для определения параметра  $R_{\text{норм}}$  используют два подхода.

1. Строят (либо используют имеющиеся) воднобалансовые зависимости для долгосрочного прогноза объема половодья. По этим зависимостям находят ожидаемый объем весеннего половодья ( $Y$ ) в рассматриваемом году. Зная запас воды в снеге к началу снеготаяния в сумме с ожидаемым за период снеготаяния осадками ( $S_{\text{норм}}$ ) и полученный объем стока, определяют значение  $R_{\text{норм}}$  с помощью номограммы вида  $R_{\text{норм}} = f(Y, S_{\text{норм}})$ , построенной с использованием уравнения стока:

$$Y = S_{\text{норм}} - R_{\text{норм}} [1 - \exp(-S_{\text{норм}}/R_{\text{норм}})]. \quad (5.8)$$

Способы построения воднобалансовых зависимостей и номограммы  $R_{\text{норм}} = f(Y, S_{\text{норм}})$  подробно рассмотрены в первом выпуске «Руководства по гидрологическим прогнозам».

2. По данным за прошлые годы определяют аналогично предыдущему значению  $R_{\text{норм}}$  за каждый год. Затем строят график связи  $R_{\text{норм}}$  со стокообразующими факторами (чаще других используют характеристики увлажненности и льдистости почвы). Примеры таких зависимостей приведены в гл. 8 настоящего Руководства, а также в первом выпуске «Руководства по гидрологическим прогнозам». Для рек центральной части степной и лесостепной зон европейской части СССР В. Д. Комаровым была установлена аналитическая зависимость параметра  $R_{\text{норм}}$  от глубины промерзания ( $Z$ ) и запаса продуктивной влаги в 100-сантиметровом слое почвы ( $W$ ):

$$R_{\text{норм}} = A \exp[-bWZ/(0.75W_{\text{норм}})] \exp[-aW/(0.75W_{\text{норм}})], \quad (5.9)$$

где  $W_{\text{норм}}$  — запас влаги в том же слое при наименьшей влагоемкости;  $A, b, a$  — параметры, определяемые для конкретных водосборов. По данным для ряда водосборов указанной зоны были найдены числовые значения этих параметров:  $A=750$  мм,  $b=0.051$  1/см,  $a=0.11$ . Следует учитывать, что при определении этих параметров значение  $Z$  было ограничено 60 см, т. е. все большие значения были приравнены к 60 см.

Зная характеристики увлажненности и льдистости для данного года, по графикам связи их с  $R_{\text{норм}}$  либо по зависимости (5.9) определяют значение  $R_{\text{норм}}$  и затем используют при расчетах потерь по соотношению (5.7). Оба эти подхода близки по точности. Однако для прогноза лучше использовать второй подход, так как в этом случае при определении параметра  $R_{\text{норм}}$  не возникает проблем учета ожидаемых осадков за период снеготаяния.

### 5.3. Прогноз гидрографа по осадкам или интенсивности снеготаяния с учетом расходов воды в замыкающем створе

Рассмотрены в двух предыдущих пунктах способы прогноза паводков, основанные на учете только метеорологических данных, могут иметь значительные погрешности из-за приближенности определения потерь.

Если продолжительность осадков (снеготаяния) достаточно велика и в русловой системе находится уже существенный запас воды, можно часть дождевого (талого) стока предсказать по имеющимся запасам воды в руслах, что может несколько уточнить прогноз. Для такого уточнения расход воды в замыкающем створе разделим на две составляющие:  $Q_{\text{в}}$  — часть стока, обусловленная уже имеющимися в русловой системе запасами воды, и  $Q_{\text{д}}$  — часть стока, обусловленная осадками, которые к моменту составления прогноза уже выпали, но еще не стекли в речную сеть, и осадками, выпадающими за период заблаговременности прогноза:

$$Q_{t+\delta} = Q_{\text{в}, t+\delta} + Q_{\text{д}, t+\delta}, \quad (5.10)$$

где  $t$  — момент выпуска прогноза,  $\delta$  — заблаговременность. Величина  $Q_{\text{в}}$  может быть определена по расходам воды в замыкающем створе в день выпуска прогноза  $Q_t$ :

$$Q_{\text{в}, t+\delta} = a_{\text{в}} Q_t. \quad (5.11)$$

Значение коэффициента  $a_{\text{в}}$  можно определить по графику связи между расходами воды в момент составления прогноза и расходами воды за период заблаговременности  $Q_{t+\delta} = f(Q_t)$ . Если на этом графике провести прямую линию, ограничивающую точки со стороны оси  $Q_t$ , то значение коэффициента  $a_{\text{в}}$  будет равно тангенсу угла наклона этой линии к оси  $Q_t$ .

Величину  $Q_{\text{д}}$  в каждый момент  $t$  вычислим по данным об осадках (снеготаянии) с использованием усеченной кривой добегания  $R_{\text{в}, \delta}$ , характеризующей последовательность поступления части дождевой (талой) воды, еще не стекшей к замыкающему створу, при заблаговременности  $\delta$ :

$$Q_{\text{д}, t} = \sum_{\tau=0}^{\delta} q_{t-\tau} R_{\text{в}, \tau}, \quad (5.12)$$

где  $q_{t-\tau}$  — приток воды к русловой сети, определенный способами, рассмотренными в п. 5.1 либо 5.2.

Ординаты усеченной кривой добегания определяем по полученным ранее ординатам кривой добегания  $R$  для трансформации притока воды в гидрограф стока в замыкающем створе. Для их определения записываем очевидные соотношения:

$$Q_{\text{д}, t} = \tilde{Q}_t - a_{\text{в}} \tilde{Q}_t - \delta, \quad (5.13)$$

где  $\tilde{Q}_t$ ,  $\tilde{Q}_{t-1}$  — рассчитанные с использованием кривой дообегания  $p$  расходы воды в замыкающем створе в моменты времени  $t$  и  $t-1$ . Подставив соотношения для расчета  $\tilde{Q}_t$  и  $\tilde{Q}_{t-1}$  из (5.13), получим

$$\begin{aligned} Q_{t,t} &= \sum_{i=1}^t q_i p_{t-i+1} - a_0 \sum_{i=1}^{t-1} q_i p_{t-i+1} = \\ &= \sum_{i=1}^t q_i (p_{t-i+1} - a_0 p_{t-i+1}). \end{aligned} \quad (5.14)$$

При получении этого соотношения использовано условие, что ординаты кривой дообегания при  $i < 1$  равны нулю. Из выражения (5.14) следует, что ординаты усеченной кривой дообегания можно выразить через ординаты исходной кривой дообегания следующим образом:

$$p_{n,t,t} = p_t - a_0 p_{t-1}. \quad (5.15)$$

Для наглядности запишем несколько первых ординат усеченных кривых дообегания для заблаговременностей одной и двух суток:

— для  $\delta=1$

$$p_{n,1,t} = p_t; \quad p_{n,1,t} = p_t - a_0 p_t; \quad p_{n,1,t} = p_t - a_0 p_t \text{ и т. д.}$$

— для  $\delta=2$

$$p_{n,2,t} = p_t; \quad p_{n,2,t} = p_t - a_0 p_t \text{ и т. д.}$$

Сумма ординат полученных таким образом усеченных кривых дообегания равна примерно  $1-a_0$ . Следовательно, ошибка прогноза объема паводка с учетом фактических расходов в  $n$  раз меньше ошибки расчета, полученной без учета расходов воды в замыкающем створе, т. е. чем больше  $a_0$ , тем больше эффект уточнения. Степень уменьшения ошибок в значениях отдельных ординат гидрографа, кроме того, будет зависеть от формы кривой дообегания. С увеличением заблаговременности эффект уточнения снижается.

После определения ординат усеченной кривой дообегания можно записать выражение для прогноза расходов воды с заблаговременностью  $\delta$  едками:

$$Q_{t+\delta} = a_0 Q_t + \sum_{i=1}^{\delta} p_{n,i,t} q_{t+\delta-i+1}, \quad (5.16)$$

где  $g_m$  — число значимых ординат усеченной кривой дообегания,  $i$  — момент выпуска прогноза.

**Пример 5.2.** Расчет гидрографа дождевого паводка р. Риты у с. Мезгорья с учетом расходов воды в замыкающем створе.

Для расчета водоотдачи воспользуемся зависимостью, полученной в примере 5.1 (см. рис. 5.3). Ординаты едичного паводка также возьмем из предыдущего примера (табл. 5.5, графа 7).

Для определения коэффициента  $a_0$  (при  $\delta=1$ ) по фактическим расходам воды строим график связи  $Q_{t+1}=f(Q_t)$ , на котором проложим нижнюю отбеганную прямую (рис. 5.6). Тангенс угла наклона этой линии оказался равным 0,38, т. е.  $a_1=0,38$ . Тогда в соответствии с соотношением (5.15) усеченная кривая дообегания при заблаговременности 1 сут будет иметь ординаты 0,61 и 0,63.

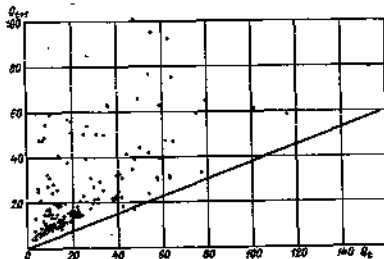


Рис. 5.5. Зависимость последующего стока от предыдущего  $Q_{t+1} = f(Q_t)$  (р. Риты — с. Мезгорье).

Расчеты гидрографа дождевого паводка по соотношению (5.16) сведены в табл. 5.6. В графе 2 этой таблицы помещены сведения

Таблица 5.6

Схема расчета гидрографа с использованием данных о расходах воды в замыкающем створе р. Риты у с. Мезгорья, 1978 г.

Дата	$Y$ м <sup>3</sup> /с	$p_{n1}$	$Q_n$ м <sup>3</sup> /с	$Q_{n1}$ м <sup>3</sup> /с	$Q_n - a_0 Q_{n1}$	$Q_{t+1} = Q_{n,t+1} + Q_{n,t}$	$Q_{t+1} - Q_n$
1	2	3	4	5	6	7	8
81/VIII	18,8	0,61	11,5	24,2	8,2	78,4	3,9
1/IX	112,5	0,09	89,2	74,5	28,8	68,3	22,7
2/IX	96,2	0,00	87,7	48,3	16,4	44,5	2,8
3/IX	45,8		28,4	35,0	14,4	44,5	2,8
4/IX	31,2		20,3	40,5	15,4	24,7	-8,8
5/IX	0	0,04	27,0	10,8	16,5	16,7	-10,7
6/IX	0		19,0	7,6	10,9	10,9	-0,6
7/IX	0			16,4	5,8	7,6	-7,8

о притоке воды, взятые из табл. 5.5 (графа 6). В графе 3 заносим ординаты усеченной кривой добегаия. Подставив значения на граф 2 и 3 в уравнение (5.12), получим ту часть стока, которая рассчитана непосредственно по данным об осадках (графа 4). Умножив фактические расходы воды (графа 6) на коэффициент  $\alpha$ , определим часть стока, обусловленную уже имеющимися запасами в русловой сети (графа 6). В графе 7 приведены рассчитанные расходы воды  $Q_t$ , полученные как сумма двух составляющих (графы 4 и 6) со сменением значений  $Q_0$  на один сутки.

#### 5.4. Прогноз расходов воды по притоку в речную сеть, вычисленному по гидрометрическим данным

Этот подход позволяет в значительной мере избежать погрешностей в определении потерь стока на водосборе. Способы расчета притока в речную сеть по гидрометрическим данным рассмотрены в гл. 2.

Для составления прогноза с заблаговременностью  $\delta$  в единицу используют выражение

$$Q_{t+\delta} = \sum_{i=1}^{m-\delta} p_i q_{t+\delta-i+1} + \sum_{i=1}^{\delta} p_i \bar{q}_{t+\delta-i+1}, \quad (5.17)$$

где  $q_t$  — приток в речную сеть в  $t$ -й момент времени;  $p_i$  — кривая добегаия, определяемая способами, рассмотренными в п. 5.1;  $i$  — момент выпуска прогноза;  $m$  — число значимых ординат кривой добегаия.

Первое слагаемое в соотношении (5.17) определяется притоком в речную сеть, вычисленным по фактическим данным, а второе — ожидаемым притоком на период заблаговременности ( $\delta$ ). По мере увеличения заблаговременности прогноза увеличивается роль ожидаемого притока и уменьшается роль фактического. Поэтому этот способ целесообразно использовать для сравнительно крупных рек.

Способы определения ожидаемого притока рассмотрены в п. 2.4.2. Естественно, что наиболее сложно оценить ожидаемый приток в период подъема паводка. Поэтому прогнозы в это время составляют с небольшой заблаговременностью. После наступления максимума притока ожидаемый приток довольно надежно оценивают по кривым спада, что позволяет выпускать прогноз до конца паводка (половодья). Заблаговременность прогноза максимального расхода воды за паводок, естественно, зависит от разницы во времени наступления максимума притока и максимума расхода воды в замыкающей створе.

При сильном влиянии неравномерности водоотдачи на гидрограф стока в замыкающем створе можно воспользоваться частными кривыми добегаия. В этом случае целесообразно воспользоваться расходами воды малых рек, которые могут служить харак-

теристикой водоотдачи. Бассейны малых рек должны быть расположены в различных по условиям формирования стока зонах рассматриваемого водосбора. При этом каждый бассейн косвенно отражает приток воды в речную сеть для территории, тяготеющей к этому бассейну. Необходимое количество малых бассейнов, их размеры и порядок распределения по территории зависят от размеров, орографии и степени развития речной сети водосбора, неравномерности водоотдачи, условий формирования потерь в др. Для весеннего половодья, как правило, можно ограничиться меньшим числом малых бассейнов, чем для дождевых паводков. При площади водосбора 20—50 тыс. км<sup>2</sup> наиболее целесообразно выбирать малые бассейны — размером 200—400 км<sup>2</sup>. В каждом конкретном случае необходимо делать тщательный анализ нескольких вариантов расчета для выбора оптимального. Коэффициенты стоковой привода и частные кривые добегаия определяют так же, как для приточных участков рек (см. п. 2.3).

## Глава 6. Прогноз талого, дождевого и тало-дождевого стока на основе математических моделей

В этой главе рассмотрено четыре модели формирования талого и дождевого стока, реализованные для различных физико-географических районов. Эти модели доведены до разработки методов прогноза и для них имеется программное обеспечение, сходное с фондом алгоритмов и программ либо опубликованное в виде методических указаний. Основное внимание при их изложении уделено практическим вопросам. Детальное описание особенностей моделей можно найти в соответствующих публикациях [7—11, 13, 14].

### 6.1. Модель формирования талого, дождевого и тало-дождевого стока

#### 6.1.1. Физические основы и расчетные соотношения модели

Модель основана на учете теплофизических процессов, происходящих в зоне аэрации и на поверхности почвы. Благодаря чему она может быть использована для непрерывного расчета талого, дождевого и тало-дождевого стока. Для верхнего слоя почвы мощностью  $z$  (обычно 50 см) записывают уравнение баланса типа (4.1) раздельно для жидкой и твердой составляющих влаги.

При задании соотношений для расчета составляющих водного баланса учитывают различия формирования стока на лесных и

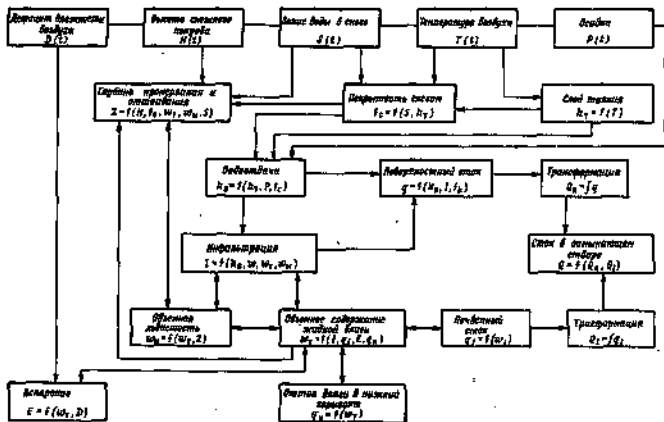


Рис. 6.1. Блок-схема модели формирования талого, дождевого и тало-дождевого стока.



$\lambda$  — коэффициент теплопроводности мерзлой (при промерзании) и талой (при оттаивании) почвы;  $\omega_0$  — прочно связанная влага, близкая к влажности завядания;  $\lambda_{\text{сн}}$  — коэффициент теплопроводности снега.

Коэффициент теплопроводности снега рассчитывают по зависимости

$$\lambda_{\text{сн}} = 1,373 \cdot 10^5 \rho_{\text{сн}}^2 \quad (6.3)$$

где  $\lambda_{\text{сн}}$  в Дж/(см·ч·°C),  $\rho_{\text{сн}}$  — плотность снега, г/см<sup>3</sup>.

Коэффициент теплопроводности для лесной и лесостепной зон можно рассчитать по соотношению:

$$\lambda_r = 4,19 [5,42\rho - 3,34] \left( \ln \frac{\rho}{\rho_0} + 4,6 \right) - (1,6\rho - 0,5), \quad (6.4)$$

$$\lambda_{\text{т}} = \lambda_r + 4,19 [0,8 + 26,7 (\omega/\rho - 0,1)], \quad (6.5)$$

где  $\lambda_r$  и  $\lambda_{\text{т}}$  — коэффициент теплопроводности талой и мерзлой почвы соответственно, Дж/(см·ч·°C);  $\rho$  — плотность почвы, г/см<sup>3</sup>.

Потери на впитывание в почву. Полагают, что основным фактором, влияющим на потери, является запас влаги в выделенном слое почвы к моменту расчета. Для прерывшей почвы, кроме того, учитывают влияние ее льдистости:

$$I = (10\omega_{\text{впит}} - W)(z\lambda) + i_0 (\omega_0/\omega_{\text{впит}})^{2,5} (1 + 8\omega_0)^{-2}, \quad (6.6)$$

где  $I$  — потери на впитывание в почву, мм/ч;  $\omega_{\text{впит}}$  — максимально возможная для рассматриваемой почвы продуктивная влажность;  $\omega_0$  — объемное содержание жидкой влаги;  $\omega_n$  — объемная льдистость;  $W = (10\omega_0 + \omega_n)z$  — общий запас влаги в слое почвы, мм;  $z$  — выделенный слой почвы, см;  $\lambda$  — параметр, характеризующий впитывающую способность почвы, ч/см;  $i_0$  — коэффициент фильтрации верхнего слоя почвы, мм/ч.

Для учета влияния грунтовых вод после оттаивания почвы в рассчитываемые по соотношению (6.6) потери вводят поправку

$$\Delta I = \xi (10\omega_{\text{гит}} - W_0)(z\lambda), \quad (6.7)$$

где  $W_0$  — запас влаги в почве в момент полного ее оттаивания, мм;  $\xi$  — параметр, мейный единицы.

Потери на испарение  $E$ . Испарение с талой и прерывшей почвы, освобождающейся от снега, рассчитывают по следующей зависимости:

$$E = k_2 D \exp [-(\omega_{\text{впит}} - \omega_0)/\omega_{\text{впит}}], \quad (6.8)$$

где  $E$  в мм/ч;  $D$  — дефицит влажности воздуха, гПа;  $k_2$  — параметр, равный испаряемости при единичном дефиците, мм/(гПа·ч).

Внутрипочвенный сток ( $q_1$ ) и отток влаги ( $q_n$ ) в нижележащий слой. Для расчета этих составляющих используют зависимости, аналогичные формуле Аверьянова:

$$q_1 = \lambda_1 (\omega_0/\omega_{\text{впит}})^{2,5}, \quad (6.9)$$

$$q_n = i_n (\omega_0/\omega_{\text{впит}})^{2,5}. \quad (6.10)$$

где  $q_1$  и  $q_n$  в мм/ч;  $\lambda$  — параметр меньше единицы, учитывающий дренированность водосбора;  $i_n$  — коэффициент фильтрации на нижней границе выделенного слоя, мм/ч.

Поверхностный сток. Поверхностный сток определяют по разности поступления и инфильтрации с учетом поверхностного задержания:

$$q_n = \begin{cases} (h_0 - I)(1 - s_f), & I < h_0, \\ 0, & I \geq h_0, \end{cases} \quad (6.11)$$

где

$$s_f = \exp \left[ -m \sum_1^1 (h_0 - I - E) \right]$$

$q_n$  — поверхностный сток, сформировавшийся на лесных участках, мм/ч;  $m$  — параметр поверхностного задержания воды, 1/мм.

При расчете поверхностного стока в поле учитывают то обстоятельство, что на части площади могут образовываться практически полностью водопроницаемые слои почвы. Поэтому полагают, что инфильтрация осуществляется только на участках, где не образовалась водопроницаемый слой. Тогда для поверхностного стока с полевых участков можно записать

$$q_n = \begin{cases} (h_0 - I)s_f x + h_0 s (1 - f_x), & I < h_0, \\ h_0 s (1 - f_x), & I \geq h_0, \end{cases} \quad (6.12)$$

где  $s = 1 - \exp [-m \sum_1^1 (h_0 - E)]$ ,  $f_x$  — доля площади полевых участков, на которой не образовался водопроницаемый слой. Эту величину рассчитывают по уравнению

$$f_x = 1 - \exp (-\alpha_z K_x) \sum_1^1 (\alpha_z K_x)^{\alpha_z - 1} / \Gamma(\alpha_z - 1 + 1), \quad (6.13)$$

где  $\alpha_z = 1/C_z^2$ ,  $z$  — параметр распределения глубины промерзания (обычно полагают равным 3);  $K_x = U_n / (\omega_0 Z_n)$  (здесь  $\omega_0$  и  $Z_n$  — средние для полевых участков влажность почвы и глубина промерзания;  $U_n$  — параметр, характеризующий критическое значение произведения влажности почвы на глубину промерзания, при превышении которого почва практически непроницаема, см).

Рассчитанный по соотношениям (6.11) и (6.12) поверхностный сток преобразуют в гидрограф с замыкающим створом с помощью дневной модели (2.8) с кривой дообегания (2.13). Аналогичным образом преобразуют ауэрипочвенный сток, рассчитанный по соотношению (6.9).

### 6.1.2. Исходные данные, используемые в модели

В приведенных соотношениях модели непосредственно используют следующие гидрометеорологические данные: осадки (жидкие и твердые), температуру, дефицит влажности воздуха, запас воды в снеге и толщину слоя снега. Кроме того, в начальный момент расчета необходимо задать какую-либо характеристику влажности

почвы (в слое з) и возможный диапазон ее изменения в многолетнем разрезе. При определении параметров модели необходимо также задать расходы воды в замыкающем створе (выходные данные модели).

Следует заметить, что объем исходных данных зависит от решаемой задачи. Если расчеты ведут непрерывно для всего года, т. е. рассматривают средний суточный расход дождевого, талого и тало-дождевого стока, то используют все перечисленные выше данные. При расчете только дождевого стока в период паводков данные о температуре воздуха и смежном покрове не используют.

Обычно принимают суточный интервал времени. Поэтому все данные, кроме данных о снежном покрове, должны быть представлены в виде средних суточных значений, осредненных для всего рассматриваемого водосбора. Для осреднения можно применять обычные приемы, рассмотренные в гл. 4. Данные о смежном покрове, полученные по снегометкам, осредняют отдельно для полевых и лесных участков. Если же водосбор практически полностью залесен (лесистость больше 0,8), можно использовать данные снегометок только для лесных участков и, наоборот, для практически полностью полевых водосборов (лесистость меньше 0,3) — только для полевых участков.

Начало расчета обычно выбирают в период летней межени после прохождения половодья, когда почва талая. Если имеются достаточно надежные наблюдения за влажностью почвы, они могут быть использованы в качестве характеристики начальной влажности почвы. В противном случае в качестве индекса увлажнения можно использовать средний за предыдущий период месяц или средний за декаду расход воды. Следует стремиться, чтобы этот период осреднения не включал в себя след половодья, а следовательно непосредственно за ним. Такая характеристика увлажнения зональна для лесной зоны. Для более южных районов следует отдавать предпочтение индексам увлажнения, рассчитываемым по осадкам (см. главу 5).

Переход от индекса увлажнения к начальной влажности почвы осуществляют с помощью зависимости

$$w_n = [0,3 + 0,4(Q_n - Q_n, \text{нм}) / (Q_n, \text{макс}} - Q_n, \text{нм})] w_{\text{макс}}$$

где  $Q_n$  — индекс увлажнения, используемый в качестве характеристики начальной влажности;  $Q_n, \text{нм}$  и  $Q_n, \text{макс}}$  — минимальное и максимальное значения этого индекса за имеющийся период наблюдений.

Так как используют осредненные данные, водосбор может быть таким, чтобы осредненные значения были репрезентативны. При сильно выраженной неравномерности водосбор можно разбить на несколько подбассейнов, для которых имеются измерения расходов воды в замыкающих створах. Затем для каждого из этих подбассейнов задают различные средние значения холодных данных и определяют параметры. Оптимальный размер водосборов для лесной зоны 5—10 тыс. км<sup>2</sup>.

### 6.1.3. Определение параметров модели

Для расчета (прогноза) необходимо задать коэффициенты, входящие в уравнения (6.1) — (6.13). Это наиболее трудоемкий этап реализации модели, поэтому он может быть осуществлен только методами оптимизации с помощью специальной программы для ЭВМ (прил. 2.4).

Некоторые коэффициенты принимают одинаковыми для полевых и лесных участков. К ним можно отнести  $k_0$  — коэффициент фильтрации на нижней границе выделенного слоя почвы;  $w_{\text{нм}}$  — максимально возможная для рассматриваемой почвы продуктивная влажность;  $k_2$  — испаряемость при единичном дефиците влажности воздуха;  $\xi$  — параметр, учитывающий влияние грунтовых вод на фильтрацию;  $w_0$  — влажность завядания;  $\gamma$  — водоудерживающая способность снега. Один коэффициент используют только при расчете для полевых участков ( $k_4$  — критическое значение произведений  $wz$  для образования водоупорных слоев).

Большая же часть коэффициентов может принимать различные значения для полевых и лесных участков:  $k$  — параметр, характеризующий сорбционные свойства почвы;  $\chi$  — дренажированность водосбора при образовании интраточечного стока;  $l_0$  — коэффициент фильтрации выделенного слоя почвы;  $m$  — параметр поверхностного задержания воды;  $v_1$  и  $v_2$  — параметры трансформации поверхностной водоотдачи;  $\frac{1}{2} k_2$  — параметры трансформации интраточечной водоотдачи;  $\beta$  — коэффициент сглаживания снега;  $\alpha$  — параметр кривой распределения снежного покрова;  $\rho$  — плотность почвы.

Следовательно, число определяемых коэффициентов сильно зависит от особенностей рассматриваемого водосбора, в частности от его лесистости.

Все коэффициенты разбивают на три группы.

1. Коэффициенты  $k$ ,  $\chi$ ,  $l_0$ ,  $m$ ,  $v_1$ ,  $v_2$ ,  $\alpha$ ,  $\rho$ ,  $U_k$ .  $\xi$  трудно измерить или вычислить прямым путем. Для их определения используют метод оптимизации с критерием качества:

$$K = \frac{1}{N} \sum_{i=1}^N \frac{1}{TK_i - TN_i} \sum_{j=1}^{TK_i} (Q_{f,i,j} - Q_{f,i})^2, \quad (6.14)$$

где  $N$  — число лет, включенных в оптимизацию;  $TN_i$  и  $TK_i$  — даты начала и конца оптимизации для  $i$ -го года;  $Q_f$  и  $Q_{f,i}$  — фактические и рассчитанные расходы воды в замыкающем створе.

2. Коэффициенты  $w_{\text{нм}}$ ,  $k_2$ ,  $\alpha$ , оказывающие большое влияние на суммарный сток и распределение его во времени, можно оценить по натурным измерениям либо по балансовым соотношениям.

Используя формулу Давидова, коэффициент  $k_0$  можно оценить по соотношению (если дефицит влажности воздуха выражен в гектопаскалях)

$$k_0 = 0,008(1 + 0,51w), \quad (6.15)$$

где  $u$  — средняя многолетняя скорость ветра для рассматриваемого района на высоте флюгера, м/с. Для лесной зоны европейской части СССР значение  $k_2$  можно принять равным 0,024 мм/ч (при  $u=4$  м/с).

Для оценки коэффициента стаявания в поле и в лесу можно использовать графики связи максимальных запасов воды в снеге с суммой положительных значений температуры от начала таяния до схода снега на 50 % площади. Тангенс угла наклона этой связи равен коэффициенту стаявания  $a$ . Такой график связи лучше строить не по средним для водосбора данным, а по отдельным станциям, помещаемым на одну связь.

Коэффициент  $\sigma_{\text{снег}}$  можно оценить по данным измерений гидрофизических характеристик снега.

Полученные таким образом оценки коэффициентов  $k_2$ ,  $a$ ,  $\sigma_{\text{снег}}$  могут оказаться недостаточно точными для конкретного небольшого водосбора из-за влияния различных местных особенностей. В связи с этим после определения параметров первой группы осуществляют оптимизацию параметров и второй и третьей группы.

3. Коэффициенты  $\sigma_0$ ,  $\gamma$ ,  $\rho$ ,  $\alpha$  оказывают значительно меньшее влияние на гидрограф в замыкающем створе. Ошибки при их задании не могут сильно сказаться на результатах расчета. Поэтому эти константы не оптимизируют, а оценивают по данным натурных измерений ( $\sigma_0$  и  $\rho$ ) либо с учетом рекомендаций, приведенных в п. 4.1 ( $\gamma$  и  $\alpha$ ).

Для надежного определения параметров необходимо привлечь данные за 8—12 лет. Этот ряд должен включать в себя экстремальные случаи формирования стока на данном водосборе (пикные и высокие коэффициенты стока, большие и малые значения снегозапасов и т. д.). Необходимо также выбрать показательную характеристику начального влагоудержания.

Оценку коэффициентов осуществляют по следующей схеме:

1. Задать оценки коэффициентов второй и третьей группы;
2. Выбирают начальные значения параметров первой группы.

От выбора начальных значений во многом зависит надежность получения оптимальных оценок параметров. При выборе начальных значений можно руководствоваться следующими. Значения параметров  $\tau_1$  и  $n_1$  находят из сопоставления графиков хода осадков (весной — температур) и гидрографов в замыкающем створе. Произведение  $\tau_1 n_1$  близко к разности абсцисс центров тяжести этих графиков. Начальное значение  $n_1$  можно принять равным 2—3 для данных гидрографов и 5—6 для гидрографов с острыми пиками. Для внутрипикового стока параметр  $n_2$  можно принять равным единице, а  $\tau_2$  — близким к произведению  $\tau_1 n_1$ . Параметры  $l_0$ ,  $m$  можно оценить по данным о гидрофизических характеристиках почв, характерных для данного водосбора, причем  $m=1/P_0$  (где  $P_0$  — максимально возможный слой поверхностного

задержания). Значительно сложнее задать начальные значения параметров  $k_1$ ,  $X$ ,  $\xi$ ,  $U_0$ .

Исходя из опыта использования модели для рек лесной зоны, можно рекомендовать начальные значения, приведенные в таблице 6.1.

Таблица 6.1

Рекомендуемые начальные значения параметров

Параметр	Единица измерения	Лес	Поле
$k_1$	г/см	4,0	1,5
$X$	—	0,1	0,5
$\xi$	—	—	0,1
$U_0$	см	—	14,9
$l_0$	мм/га	1,0	0,5
$l_c$	мм/га	0,1	0,1
$m$	1/мм	0,04	0,06

3. Выбранные для анализа годы разбивают на две выборки: калибровочную (3—5 лет) и проверочную (5—7 лет). Желательно, чтобы в обеих выборках были экстремальные годы.

4. По калибровочной выборке осуществляют оптимизацию параметров первой группы и по полученным оптимальным оценкам осуществляют расчеты для проверочной выборки.

5. Сравнивают нормированные критерии качества для обеих выборок:

$$K_1/\sigma_1^2 \approx K_2/\sigma_2^2 \quad (6.16)$$

где  $K_1$  и  $K_2$  — критерии качества для первой и второй выборок;  $\sigma_1$  и  $\sigma_2$  — средняя квадратическая изменчивость фактических расходов для каждой из этих выборок.

Если оценки различаются значительно, процедуру оптимизации повторяют с третьего пункта, немного состав выборки.

Если ни одна из перегруппировок выборок не приводит к удовлетворению, повторяют процедуру калибровки со второго пункта, назначив начальные значения параметров.

Если оценки (6.16) близки, переходят к шестой пункт.

6. Повторяют процедуру калибровки с четвертого пункта, включив в оптимизацию параметры первой и второй группы одновременно. Полученные после этого параметры принимают в качестве оптимальных и в дальнейшем считают постоянными для всех лет.

Пример 6.1. Разработка метода прогноза ежегодных расходов воды для небольшой реки (на примере р. Незя до д. Бусяево). Площадь водосбора 5700 км<sup>2</sup>, лесистость 0,8. Бассейн располо-

Жизнь в лесной зоне и характеризуется довольно устойчивым залегающим снежным покровом, оттепели непродолжительные и наблюдаются главным образом осенью при установлении снежного покрова. Дождливые периоды проходят в основном в период спада половодья. В отдельные годы наблюдаются снегодождевые периоды в осенне-зимний период. Уровни грунтовых вод в период весеннего половодья поднимаются довольно близко к поверхности и могут оказывать заметное влияние на сток. Для большинства лет характерно глубокое промерзание почв, однако в отдельные годы глубина промерзания может составлять 25—30 см.

Для осреднения данных об осадках, температуре и дефиците влажности воздуха, а также о толщине слоя снега и запасе воды в нем используем наблюдения на пяти станциях. Расчетный интервал времени принимаем равным одним суткам.

Исходные данные выбираем за 12 лет (с 1964 по 1976 г.). Наблюдательные станции расположены достаточно равномерно по водосбору, поэтому средние по водосбору ежедневные данные определяем как среднее арифметическое из показаний всех станций. По всем годам расчеты начинаем с 1/VIII и заканчиваем 31/VII следующего года (длина выборки за один год не должна превышать 365 суток). Данные о снежном покрове осредняем по данным снегозамеров, начиная с даты устойчивого перехода температуры воздуха через 0°C. Так как снегозамеры проводятся не ежедневно, средние по станции значения определяем из даты снегозамера, а затем интерполируем их таким образом, чтобы получить значения по пятидневкам. При интерполяции используем ежедневные данные об осадках и температуре воздуха. Так как бассейны почти полностью облесены, характеристики снежного покрова определяем только во измерениях на лесных маршрутах. Лимб максимальный снегозапас определяем раздельно для полевых и лесных маршрутов.

В качестве характеристик начального увлажнения почвы (1 августа) приведем средние за июль расход воды. Опыт показывает, что для лесной зоны такая характеристика достаточно показательна.

Для анализа условий формирования стока и выбора лет, включаемых в оптимизацию, приведем также данные о глубине промерзания (в бассейне имеются два пункта) и рассчитываем составляющие баланса за период половодья (табл. 6.2): максимальный запас воды в снеге для поля  $S_{\text{макс.л}}$  и для леса  $S_{\text{макс.л}}$ , количество осадков от даты наступления  $S_{\text{макс.л}}$  до даты стока снега в лесу  $P_1$ , количество осадков от даты стока снега в лесу до даты окончания половодья  $P_2$ , объем стока за половодье  $Y$ , средние за июль расход воды  $Q_{\text{июл}}$ , глубину промерзания почв  $Z$ , коэффициент стока за половодье  $\eta = Y / (0,8S_{\text{макс.л}} + 0,2S_{\text{макс.л}} + P_1)$ .

Как видно из данных таблицы, вводя для расчетов выборку отбираем большой диапазон изменения основных характеристик, влияющих на формирование потерь, и включает в себя годы с очень большими и малыми коэффициентами стока.

Таблица 6.2

Некоторые характеристики весеннего половодья и начальной влажности почвы для р. Иса — л. Басеино

Год	$S_{\text{макс.л}}$ , мм	$S_{\text{макс.л}}$ , мм	$P_1$ , мм	$P_2$ , мм	$Y$ , мм	$Q_{\text{июл}}$ , м/с	$Z$ , см	$\eta$
1965	155	184	15	32	106	16	53	0,64
1966	205	192	52	30	205	26	85	0,80
1967	133	98	22	42	24	16	109	0,17
1968	192	163	70	34	130	18	28	0,50
1969	130	87	17	76	125	26	102	0,81
1970	147	117	27	75	142	27	81	0,64
1971	185	97	49	96	96	18	57	0,64
1972	123	82	19	60	96	15	72	0,75
1973	186	116	30	24	72	11	84	0,47
1974	166	159	59	126	204	13	43	0,57
1975	126	109	26	16	63	15	43	0,36
1976	174	148	56	44	134	28	23	0,53

Подготовленные исходные данные набираем из перфокарты и записываем на магнитные носители ЭВМ в соответствующих форматах.

Определение параметров модели. При указанной лесности можно различить влияние различий формирования стока в поле и в лесу. Поэтому нужно определять параметры только для лесной части водосбора, кроме коэффициента стока  $\eta$ , который всегда различен для леса и для поля. Будем действовать в соответствии со схемой определения параметров, изложенной в п. 6.13.

1. Оценка параметров второй и третьей группы:  $S_{\text{макс.л}}$ ,  $S_{\text{макс.л}}$ ,  $\eta$ ,  $\rho$ ,  $\alpha$ . По данным измерений водо-физических характеристик почв в этой зоне (апрарем, из справочников «Водные ресурсы Нечерноземной зоны Европейской территории СССР» и «Агро-физические характеристики почв Нечерноземной зоны Европейской территории СССР») можно задать параметры  $S_{\text{макс.л}} = 0,4$ ,  $S_{\text{макс.л}} = 0,1$  и  $\rho = 1,3$  г/см<sup>3</sup>. Водоудерживающую способность снега, как отмечалось выше, примем равной  $\gamma = 0,13$ , а параметр кривой распределения снега  $\alpha = 11$ , что соответствует коэффициенту вариации запаса воды в снеге по площади, равную 0,3. Коэффициенту  $\eta$  в соответствии с выражением (6.15) примем равным 0,027 мм/(Па·ч). Коэффициент стока для лесных участков определим по снегу слоя воды, стянутого за некоторый промежуток времени, с суммой положительных значений температуры за этот же период.

При выборе промежутка времени суммирования температуры ориентируемся на одну из последних точек, когда прокрутка была близка к 10 баллам. Получаемая зависимость  $Z = -1(2T_7)$  показана на рис. 6.2. Тангенс угла наклона этой связи

равен коэффициенту стояния. В данном случае он оказался равным  $a_0 = 1.5$  мм/(°С·сут). Коэффициент стояния для полевых участков в соответствии с имеющимися в литературе оценками прием равным 4 мм/(°С·сут).

2. Начальные значения параметров первой группы принимаем в соответствии с данными табл. 6.1 для лесных участков:  $k = 4$  ч/см,  $\chi = 0.1$ ,  $\xi = 0.1$ ,  $t_0 = 1$  мм/ч,  $t_0 = 0.1$  мм/ч,  $m = 0.04$  мм<sup>-1</sup>. Параметры кривых добегания, в соответствии с рекомендациями,

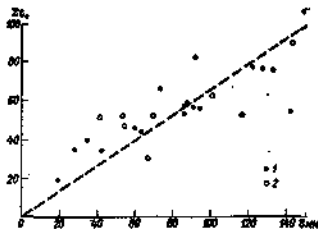


Рис. 6.2. Зависимость количества выпадающего снега от суммарной влажности воздуха средней суточной температуры воздуха.  
1 — по станциям Екхэлюв, Никель-Палена, Мамарен; 2 — определено по модели.

данными в п. 6.1.3, приняты равными:  $\tau_1 = 2$  сут,  $\tau_2 = 3$ ,  $\tau_3 = 6$  сут,  $\tau_0 = 1$ . Заметим, что  $\tau_1$  и  $\tau_2$  в этом случае соответствуют кривой добегания внутрипочвенного стока.

3. В калибровочную группу включаем 1965, 1966, 1967, 1968 и 1970 гг., характеризующиеся разнообразием основных характеристик.

4. По программе (прил. 2.6) осуществляем оптимизацию десяти параметров первой группы (так как рассматриваем только лесные участки, параметр их не используем). Параметры, полученные в результате оптимизации приведены в табл. 6.3 (графа 5).

5. Нормированный критерий качества для калибровочной и проверочной выборки оказался одинаковым:  $K_1/\sigma_1^2 = K_2/\sigma_2^2 = 0.14$ . Следовательно, результаты оптимизации можно считать показательными для обеих выборок и можно перейти к шестому дуплету.

6. К десяти оптимизированным ранее параметрам добавляем три параметра второй группы:  $\chi$ ,  $\xi$ ,  $a_0$ . Повторим процедуру оптимизации. Результаты оптимизации приведены в графе 6 табл. 6.3. Значение нормированного критерия качества для калибровочной выборки несколько меньше (0,099), чем для конт-

Таблица 6.3

Результаты определения параметров модели

№ группы	Параметры	Единица измерения	Значение параметров			
			калибровочная	1-й этап оптимизации	2-й этап оптимизации	3-й этап оптимизации
1	2	3	4	5	6	7
1	$k$	ч/см	4,0	3,96	3,84	4,40
1	$\chi$	—	0,1	0,08	0,11	0,07
1	$\xi$	мм/ч	1,0	0,88	0,93	0,87
1	$t_0$	мм/ч	0,1	0,04	0,016	0,008
1	$m$	мм <sup>-1</sup>	0,04	0,033	0,042	0,038
1	$\tau_1$	сут	2,0	1,83	1,69	1,43
1	$\tau_2$	—	3,0	3,23	3,66	4,40
1	$\tau_3$	сут	6,0	4,01	1,07	0,72
1	$\tau_0$	—	1,0	1,67	2,70	4,18
1	$\tau$	—	—	0,0	1,02	0,67
2	$\chi$	—	0,4	—	0,41	0,35
2	$\xi$	мм/(°С·сут)	0,027	—	0,036	0,034
2	$a_0$	мм/(°С·сут)	1,5	—	1,70	1,70
2	$\Sigma$	мм/ч	4,0	—	—	—
2	$\sigma_1$	—	—	0,1	—	—
2	$\sigma_2$	—	—	0,13	—	—
2	$\rho$	г/см <sup>3</sup>	—	1,3	—	—
2	$\alpha$	—	—	11	—	—

рольной (0,126). Анализ показал, что наибольшая относительная ошибка была в 1976 г. (0,31). Меняем калибровочную группу (вместо 1968 г. включаем 1976 г.; остальные годы не меняем). Оптимизируем все 13 параметров по новой группе лет (табл. 6.3, графа 7). Суммарная погрешность расчета снизилась, а оценки для двух выборок оказались довольно близкими:  $K_1/\sigma_1^2 = 0,096$ ,  $K_2/\sigma_2^2 = 0,109$ . Полученные в этом случае значения параметров были приняты для методики прогноза.

Краткосрочный прогноз расходов воды р. Ней — ж. Буслаево. Для прогноза необходимо знать влажные данные (температуру и дефицит влажности воздуха, а также осадки) на период заблаговременности. В данном случае значения температуры и дефицита влажности воздуха на период заблаговременности считаем постоянными, разными соответствующим значениям в день выпуска прогноза; осадки полагаем равными нулю.

Для повышения точности прогноза на 1—2 сут используем статистический алгоритм адаптации, описанный в п. 2.4.3.

С помощью соответствующей программы (прил. 2.8) составляем проверочные прогнозы ежедневных расходов воды по всем 12 годам. Расчеты показывают, что данная методика может быть использована для выпуска ежедневных прогнозов с заблаговременностью до 4 сут в период весеннего половодья и с заблаговременностью 2—3 сут в период прохождения дождевых паводков.

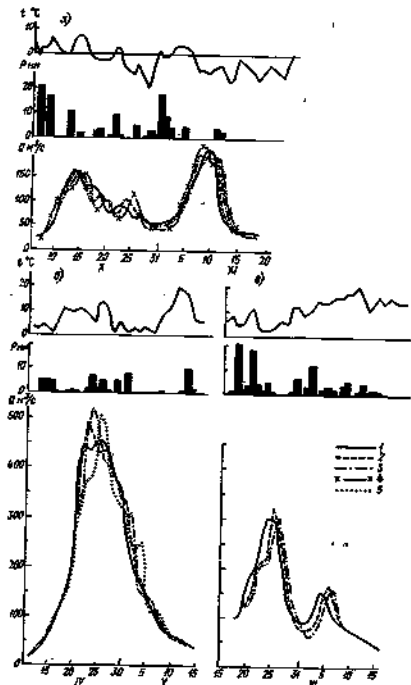


Рис. 6.3. Сопоставление фактических (1) и ожидаемых расходов воды с заблаговременностью 1 сут (2), 2 сут (3), 3 сут (4), 4 сут (5).  
а) тало-дождевой сток, б) талый сток, в) дождевой сток.

Средние за эти годы оценки прогноза ( $s/s_d$ ) для заблаговременности от 1 до 4 сут составили соответственно 0,60; 0,70; 0,67; 0,66. О вкладе алгоритма адаптации при выпуске прогноза различной заблаговременности можно судить по аналитическим оценкам, полученным без его учета, которые составили соответственно 1,14; 0,90; 0,72; 0,66.

На рис. 6.3 показаны результаты проверочных прогнозов различной заблаговременности для одного года, выпущенных в периоды формирования тало-дождевых паводков (осенью), всепогодного половодья (талый сток) и дождевых паводков (летом).

Когда бы прогноз их выпускали, входные данные используют начиная с 1/VIII по день выпуска прогноза, т. е. при каждом выпуске расчет начинают с одного и того же момента времени. Прогноз можно выпускать ежедневно либо с необходимой периодичностью, однако все входные данные и расходы воды в замыкающем створе должны быть заданы в виде непрерывных временных рядов.

В данном примере при составлении проверочных прогнозов использовали простой прием экстраполяции входных данных на период заблаговременности. В оперативной практике эффективность методики можно несколько повысить за счет использования краткосрочных метеорологических прогнозов, особенно прогноза температуры воздуха. Точность прогноза осадков некая, поэтому при прогнозе дождевых паводков приходится ориентироваться в основном на естественную (обусловленную временем добегаия) заблаговременность.

## 6.2. Модель формирования гидрографа половодья на равнинных реках

Опыт показывает, что обособленный прогноз расхода воды в замыкающих створе малых рек в весенний период получают благодаря предвычислению снеготаяния, ютерь стока и добегаия воды, т. е. моделия, описывающей процесс формирования тало стока. Причем при использовании фактических исходных метеорологических данных заблаговременность предсказания расхода воды небольших равнинных рек с площадью 4—8 тыс. км<sup>2</sup> составляет 2—3 сут. При использовании прогноза метеорологических элементов на несколько суток заблаговременность прогноза расхода воды таких рек увеличивается до 5 сут, что имеет большое практическое значение.

### 6.2.1. Описание модели

Используют два варианта модели:

1) полный, когда все составляющие баланса и трансформации водосточаи бассейна рассчитывают раздельно для полевых и лесных участков. При ограниченной информации довольно часто потери стока принимают одинаковыми для всего бассейна;

2) желонный, который предусматривает расчет снеготаяния раздельный для полевых и лесных участков. Потери стока, водоотдачу и добогатие к замыкающему створу принимают одинаковыми для всего бассейна.

Следует заметить, что оба варианта модели становятся совершенно одинаковыми, когда их используют при расчетах (прогнозе) расходов воды для открытых или полностью выветренных бассейнов рек. При построении модели для конкретных бассейнов допускают, что они более или менее однородны в гидрометеорологическом отношении. Поэтому при расчетах на крупных речных бассейнах необходимо их разделить на однородные (частные) водосборы.

Поступление воды на поверхность почвы. Реализованы два способа расчета. При расчете приведенной интенсивности снеготаяния и водоотдачи первым способом используют соотношения (4.4) — (4.7). Второй способ более строгий: при расчете интенсивности снеготаяния предусматривается учет влияния календарной даты и широты местности, а при расчете водоотдачи — снижение водоудерживающей способности снега в процессе таяния. Интенсивность снеготаяния для полевых участков рассчитывают по номограмме Шуляковского, представляющей собой зависимость вида

$$h_t = f(T, D),$$

где  $T$  — средняя дневная или средняя суточная температура воздуха;  $D$  — дата, на которую рассчитывают интенсивность снеготаяния.

Для европейской части СССР эту зависимость можно аппроксимировать следующим выражением:

$$h_t = \begin{cases} (\alpha_1 D_{20} + \beta_1)(T + 0,02D_{20} + 1,15) & \text{при } T > -2^\circ\text{C}, \\ 0 & \text{при } T \leq -2^\circ\text{C}, \end{cases} \quad (6.17)$$

где  $T$  — средняя суточная температура воздуха;  $D_{20}$  — число суток от 20/II до даты расчета интенсивности снеготаяния;  $\alpha_1$  и  $\beta_1$  — коэффициенты, определяемые по рис. 6.4 в зависимости от широты местности, для которой рассчитывают снеготаяние.

Для расчета водоотдачи снега используют уравнение

$$h_n = \begin{cases} \{[z_n - \gamma_n(1 - z_n)] - [z_{n-1} - \gamma_{n-1}(1 - z_{n-1})]\} S_{\text{снег}} & \text{при } z_n \leq z_{n-1}, \\ 0 & \text{при } z_n > z_{n-1}. \end{cases} \quad (6.18)$$

где  $S_{\text{снег}}$  — запас воды в снеге к началу снеготаяния;  $z_n$  и  $z_{n-1}$  — соответственно относительное стаяние снега на данной и предыдущий дни;  $\gamma_n$  — относительная убыль снега, при которой начинается водоотдача;  $\gamma_n$ ,  $\gamma_{n-1}$  — влагоемкость снега в  $n$ -й и  $(n-1)$ -й дни.

Для расчета перечисленных переменных используют следующие соотношения:

$$z_n = \sum_{i=1}^n (h_i / S_{\text{снег}}), \quad (6.19)$$

$$z_n = \begin{cases} 0,34 \gamma_{\text{снег}} + 0,059 & \text{при } \gamma_{\text{снег}} \leq 0,28, \\ 0,25 \gamma_{\text{снег}} + 0,083 & \text{при } \gamma_{\text{снег}} > 0,28; \end{cases} \quad (6.20)$$

$$\gamma_n = \begin{cases} (\gamma_{\text{снег}} - 0,06) \exp(-4z_n) + 0,06 & \text{при } \gamma_n \geq 0,063, \\ 0 & \text{при } \gamma_n < 0,063, \end{cases} \quad (6.21)$$

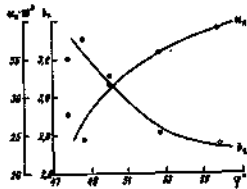


Рис. 6.4. Изменение коэффициентов  $\alpha_n$  и  $\beta_n$  в зависимости от широты места.

где  $\gamma_{\text{снег}}$  — максимальная влагоемкость снега перед началом снеготаяния при плотности  $\rho_0$ , вычисляемая по уравнению

$$\gamma_{\text{снег}} = \exp(-4\rho_0) - 0,04. \quad (6.22)$$

Расстаканную по уравнению (6.18) водоотдачу пересчитывают в поступление воды на поверхность почвы с учетом покрытости бассейна снегом:

$$h_n = h_n(1 - f), \quad (6.23)$$

где  $f$  — освобождавшаяся от снега площадь в долях единицы, определяемая по соотношению (4.7), приведенному в гл. 4.

Суммарные потери стока и приток воды к русловой сети. Суточные значения притока в период снеготаяния принимают пропорциональными действующей площади  $F_n$  в долях единицы:

$$q = h_n F_n. \quad (6.24)$$

Действующую площадь (никогда ее называют коэффициентом водоотдачи) рассчитывают по соотношению

$$F_n = 1 - \exp\left[-\left(\sum_{i=1}^n h_i\right) / \rho_{\text{снег}}\right], \quad (6.25)$$

где  $R_{\text{max}}$  — параметр, характеризующий максимально возможные суммарные потери талых вод при данном предшествующем увлажнении п.

При возврате холодов во время снеготаяния ежедневные осадки, выпадающие при  $t \leq 0^\circ\text{C}$ , считаются твердыми и прибавляют к запасам воды в снегу, а при  $t > 0^\circ\text{C}$  — жидкими. Полагают, что потери жидких осадков в период снеготаяния также же, как и потери талой воды.

Трансформация водоотдачи в гидрограф стока в замыкающем створе. Расход воды в замыкающем створе реки по полной и неполной схеме рассчитывают с использованием кривых добегания соответственно по уравнениям:

$$Q(t) = k_Q \left[ \int_0^t p_d(t-\xi) q_n(\xi) d\xi + \int_0^t p_d(t-\xi) q_n(\xi) d\xi \right] + Q_{\text{гр}} \quad (6.26)$$

$$Q(t) = k_Q \int_0^t p(t-\xi) q(\xi) d\xi + Q_{\text{гр}} \quad (6.27)$$

где  $k_Q$  — коэффициент для перехода от миллиметров к кубическим метрам в секунду; индексы л и н показывают, что данные члены уравнений относятся к полевой и лесной частям бассейна;  $Q_{\text{гр}}$  — грунтовая составляющая, которую принимают равной расходу воды в замыкающем створе перед началом снеготаяния. Для расчета кривых добегания используют двухпараметрическую функцию (2.18).

Расчеты ежедневных расходов воды в период половодья для частично залесенных бассейнов по полному варианту моделика осуществляются в соответствии с блок-схемой, показанной на рис. 6.5.

### 6.2.2. Рекомендации по определению параметров в констант модели

Модель включает в себя пять параметров для открытой и залесенной частей бассейна:  $a$  — коэффициент стаяния, мм/(сут. $^\circ\text{C}$ );  $a_1$  — если для полевых участков снеготаяние рассчитывают по соотношению (6.17), то вместо  $a$  определяют коэффициенты  $a_n$  и  $a_l$ ;  $b_n$ ;  $b_l$  — коэффициент вариации, характеризующий распределение свежего покрова по территории;  $R_{\text{max}}$  — параметр, характеризующий потери талого стока за период половодья;  $n$ ,  $\tau$  — параметры кривой добегания.

Эти параметры (кроме параметра  $R_{\text{max}}$ ) принимают постоянными для данного бассейна. Параметр  $R_{\text{max}}$  и входные данные (запасы воды в снежном покрове к началу снеготаяния, плотность снега перед началом снеготаяния, температура воздуха и осадки) меняются от года к году.

Рассмотрим подходы, используемые при определении параметров модели.

Коэффициенты стаяния определяют графически, как описано в п. 6.1.3 и примере 6.1.

Следует иметь в виду, что определенные таким образом коэффициенты стаяния являются усредненными за различные пе-

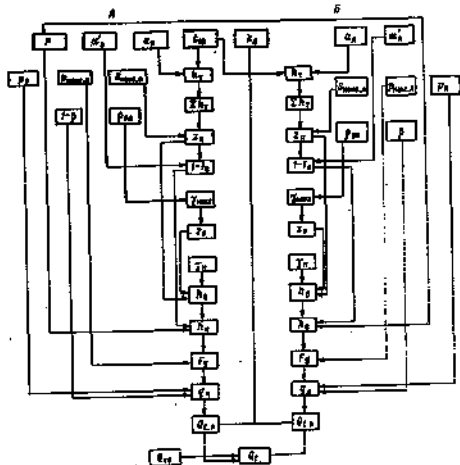


Рис. 6.5. Блок-схема расчета гидрографа водного стока для открытой (А) и лесной (Б) частей бассейна (полный вариант модели).

риоды снеготаяния и при расчете суточных значений могут быть неоптимальными. Поэтому их приходится уточнять путем сопоставления с данными снегосъемок.

Для бассейнов рек Волжско-кавказских водохранилищ коэффициенты стаяния варьировали незначительно: для лесных участков в пределах 2,0—2,4 мм/(сут. $^\circ\text{C}$ ), для открытых — от 4,0 до 4,4 мм/(сут. $^\circ\text{C}$ ).

Если снеготаяние рассчитывают по соотношению (6.17), то неизвестные параметры  $a_n$  и  $b_n$  определяют по графику рис. 6.4 для

апроты, примерно соответствующей расположению центра тяжести рассматриваемого водосбора.

Коэффициенты вариации снежного покрова на водосборе. Используются типовые кривые распределения снежного покрова (см. рас. 4.7), причем параметры распределения оценивают в соответствии с рекомендациями, данными в гл. 4. Получение таким образом коэффициентов вариации снежного покрова по площадям могут оказаться недостаточно точными для конкретного водосбора. Поэтому при уточнении методом подбора, суть которого сводится к следующему. Зная код температуры воздуха и коэффициент ставления, осуществляют расчет снеготаяния при различных коэффициентах вариации (в области лучшего приближенного значения) до тех пор, пока рассчитанные даты схода снежного покрова не совпадут за ряд лет с наблюдаемыми. Значение коэффициента вариации, соответствующее этому случаю, принимают в качестве расчетного.

При таком подходе учитывают следующие:

— коэффициент вариации для большинства бассейнов лесной, лесостепной и степной зон европейской части СССР колеблется от 0,3 до 0,6;

— чем меньше  $C_v$ , тем быстрее сходит снежный покров;

— особая чувствительность результатов расчета проявляется при значениях  $C_v < 0,35$ , когда погрешность  $C_v$  даже на 0,01 приводит к резкому снижению продолжительности таяния.

Параметры кривых добогатания. Определенные параметры  $h$  и  $t$  описано в п. 2.1.1.2. При этом для каждого бассейна задают информацию о входных и выходных значениях за 3—5 лет. В рассматриваемом случае входными данными являются: средне-взвешенная водоотдача бассейна в период снеготаяния (шедольный вариант модели) или значения водоотдачи отдельно для леса и леса (полярный вариант); выходные — гидрограф талого стока в замыкающем створе реки. При выборе начальных значений параметров следует учитывать размеры бассейна и общее время добогатания до замыкающего створа.

Так, например, при расчетах талого стока для 32 частных водосборов, расположенных в бассейне Волги, с площадью от 1,2 до 27 тыс. км<sup>2</sup> параметр  $t$  изменялся от 0,2 до 10, а  $h$  — от 0,3 до 2,5 сут. Причем для этих водосборов прослеживается связь между площадью бассейнов и параметром  $t$ : с увеличением площади бассейна, как правило, растет значение  $t$ .

Параметр, характеризующий потери стока. Допускают, что параметр  $R_{\text{пот}}$  учитывает общие потери воды, идущие на испарение со снега и с освобожденной от снежного покрова поверхности бассейна в период снеготаяния, на зольные поверхности емкости водосбора и просачивание.

Для определения этого параметра используют два подхода, изложенные в п. 5.2: 1) по воднобалансовым зависимостям, применяемым для долгосрочного прогноза половодья; 2) по зависимости  $R_{\text{пот}}$  от увлажненности бассейна и глубины промерзания,

построенным по архивным данным. В качестве характеристики увлажненности использовались сумма расходов воды за три осенних месяца (сентябрь — ноябрь) либо за три зимних месяца (декабрь — февраль). Выбор одной из указанных характеристик увлажненности осуществляют с учетом тесноты связи  $R_{\text{пот}}$  от каждой из этих характеристик.

Опыт показывает, что для различных частных водосборов бассейна Волги параметр  $R_{\text{пот}}$  варьирует в довольно широких пределах: от нескольких единиц до нескольких сотен в зависимости от состояния увлажненности бассейна, промерзания почв и других факторов.

Пример 6.2. Схема прогноза расхода воды р. Оки у г. Орла. Бассейн р. Оки до г. Орла расположен в степной зоне Восточно-Европейской равнины и занимает площадь 4900 км<sup>2</sup>, длина реки до г. Орла 114 км. Бассейн практически безлесен (коэффициент лесистости 0,04).

При разработке методики использовались материалы гидрометеорологических наблюдений за 1947—1965 гг. Материалы включают в себя следующие данные по бассейну:

- максимальные запасы воды в снеге,
- запасы воды в ледяной корке,
- осадки от даты максимального запаса воды в снеге до начала снеготаяния,
- ежедневные осадки за период снеготаяния и всего половодья,
- глубину промерзания почвы,
- содержание влаги в 100-сантиметровом слое почвы (индекс осеннего увлажнения),
- средние суточные значения температуры воздуха,
- знойность снежного покрова перед снеготаянием,
- скорость ветра и облачность,
- средний суточный расход воды у г. Орла за период половодья.

Во всех расчетах гидрографа половодья максимальные запасы воды в снежном покрове вычислены с учетом накопления снега в овражно-балочной сети. Для этого максимальные запасы, вычисленные по снегомерным съемкам умножали на коэффициент, равный 1,15.

В табл. 6.4 представлены основные составляющие водного баланса за половодье. Данные таблицы показывают, что все элементы водного баланса за многолетний период варьируют весьма значительно. В соответствии с этим значительно меняются от года к году коэффициенты стока за половодье.

Параметры, используемые при расчетах. В соответствии с рекомендациями, изложенными в п. 6.2.2, определены параметры к константы, необходимые для расчета половодья по снеготаянию.

Таблица 6.4

Средние значения составных частей водного баланса бассейна р. Оки до г. Орла за годовые, лет

Год	Запас воды в снежном покрове и в лесной корке и почве снеготаяния	Жидкая вода на период снеготаяния	Количество воды, поступающей за период снеготаяния	Сток за период снеготаяния без учета дождевой воды схода снежного покрова	Потери воды	Коэффициент талого стока
1947	150	13	160	138	27	0,88
1948	37	5	120	63	59	0,62
1949	73	18	36	43	48	0,46
1950	65	28	36	50	36	0,63
1951	87	54	140	115	25	0,82
1952	136	5	141	96	46	0,68
1953	60	1	70	53	13	0,79
1954	71	23	92	45	44	0,53
1955	96	27	121	80	41	0,57
1956	109	30	124	62	62	0,50
1957	140	1	141	40	101	0,28
1958	53	9	37	74	13	0,85
1959	68	2	70	54	16	0,77
1960	124	9	140	107	33	0,76
1961	48	25	66	25	43	0,36
1962	37-	11	68	49	13	0,72
1963	108	12	120	117	3	0,98
1964	123	16	136	90	96	0,48
1965	82	13	66	34	39	0,55
Среднее	88	17	108	70	38	0,66

Для расчета снеготаяния использовано соотношение (6.17). Коэффициенты  $a_1$  и  $b_1$  определены по рис. 6.4 при  $\varphi=63^\circ$  с. ш.

Параметр  $\sigma'$ , характеризующий кривую распределения снежного покрова для поля, получен при коэффициенте вариации, равном 0,45. Полученные параметры помещены в табл. 6.5. Коэффициент для перевода расходов воды, выраженных в кубических метрах в секунду, в слон стока в миллиметрах зависит от площади водосбора и в данном случае равен  $66,4 \text{ м}^3/\text{мм}$ . Грунтовую составляющую считали постоянной для всего половодья и полага-

Таблица 6.5

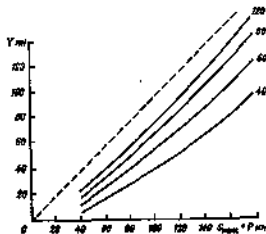
Параметры, использованные в расчетах гидрографа половодья р. Оки у г. Орла

Параметр	Единица измерения	Значение параметра
$a_1$	мм/(сут. °С)	0,086
$b_1$	—	2,86
$\sigma'$	—	5,0
$\lambda$	—	2,5
$\tau$	сут	3,3

гали равной расходу воды, предшествующему дате начала половодья.

Схема краткосрочных прогнозов. При использовании рассмотренной модели расчета гидрографа для выпуска краткосрочных прогнозов расходов необходимо:

- построить зависимости для определения параметра  $R_{\text{эпик}}$ ;
- выбрать способ задания данных о температуре воздуха и осадках на период заблаговременности;

Рис. 6.6. Зависимость водного стока  $Q$  р. Оки у г. Орла от суммы осадков  $S_{\text{эпик}}+P$  и индекса осадков  $I_{\text{эпик}}$ .

Цифры у линий — значения индекса увлажнения почвы.

— задать процедуру коррекции прогнозов по данным о фактических расходах воды.

Параметр  $R_{\text{эпик}}$  определяли по ожидаемому объему стока за половодье, найденному по зависимости последнего от снеготаяния к началу снеготаяния, сложившим с осадками за период снеготаяния, и осеннего увлажнения  $I_{\text{эпик}}$  (рис. 6.6). В качестве характеристики осеннего увлажнения использовали запас влаги в 100-сантиметровом слое влаги. При определении ожидаемого стока за половодье по графику 6.6 осадки за период снеготаяния принимали равными их норме.

В данной схеме использовали прогнозы осадков и температуры воздуха с заблаговременностью до 4 сут, т. е. на период заблаговременности задавали ожидаемые их значения. Коррекцию осуществляли по величине ошибок в день выпуска прогноза. Методика такой коррекции изложена в п. 2.4.3, соотношение (2.49).

### 6.3. Модель формирования дождевых наводков на горных водосборах

#### 6.3.1. Структура модели

Модель учитывает особенности горных водосборов, для которых характерно образование подповерхностного стока. Речной водосбор представляется линейной системой с сосредоточенными параметрами, состоящей из трех условных емкостей, в которых происходит образование и регулирование поверхностного, подповерхностного и грунтового стока. Расчетные выражения модели описывают основные элементарные процессы, происходящие на водосборе и в условной сети; испарение, поверхностные задержки, впитывание воды в почву, накопление ее в почвогрунтах, водоотдачу и стекание поверхностного и подповерхностного стока.

Входными данными Модели служат средние по водосбору значения интенсивности осадков  $P(t)$ , дефицита влажности воздуха  $D(t)$ , скорости ветра  $v(t)$ , а также расхода воды в замыкающем створе  $Q_0$  в начале расчетного периода (предположительный).

Интенсивность испарения рассчитывают по уравнению

$$E(t) = [k_1 + k_2 v(t)] D(t) \exp[-d(t)/W_{\max}], \quad (6.28)$$

где  $d(t)$  — дефицит влажности почвы;  $D(t)$  и  $v(t)$  — дефицит влажности воздуха и скорость ветра;  $k_1, k_2$  — коэффициенты зависимости для расчета испарения;  $W_{\max}$  — максимальная влагоемкость слоя почвы, в котором формируется подповерхностный сток.

При отсутствии сведений о скорости ветра второе слагаемое в уравнении (6.28) исключают.

Интенсивность инфильтрации рассчитывают следующим образом:

$$I(t) = \begin{cases} q_1(t) + h(t) + \Delta d(t) + i_0, & P(t) - E(t) > I(t), \\ P(t) - E(t), & P(t) - E(t) \leq I(t), \end{cases} \quad (6.29)$$

где  $q_1(t)$  — подповерхностная водоотдача;  $h(t)$  — задержка воды в почве;  $\Delta d(t)$  — изменение увлажненности водосбора за счет оттока воды;  $P(t)$  — осадки;  $i_0$  — параметр, характеризующий отток влаги из нижнего слоя почвы. Входные в это соотношение функции  $q_1(t)$ ,  $h(t)$  и  $\Delta d(t)$  определяют из выражения

$$\Delta d(t) = k_3 \exp[-0,10d(t - \Delta t)] [W_{\max} - d(t - \Delta t)], \quad (6.30)$$

причем

$$d(t) = \begin{cases} \int_{\tau=0}^t [E(\tau) + \Delta d(\tau) + i_0 - h(\tau)] \Delta t, & P(\tau) > 0, \\ \int_{\tau=0}^t [E(\tau) + \Delta d(\tau)] \Delta t, & P(\tau) = 0; \end{cases} \quad (6.31)$$

$$h(t) = \begin{cases} \frac{d(t - \Delta t)}{k_4}, & h(t) < P(t) - E(t), \\ P(t) - E(t), & h(t) \geq P(t) - E(t); \end{cases} \quad (6.32)$$

$$q_1(t) = \begin{cases} \frac{1}{k_5} (W_{\max} - 0,5[d(t) + d(t - \Delta t)]), & q_1(t) \leq P(t) - E(t) - h(t) - i_0, \\ P(t) - E(t) - h(t) - i_0, & q_1(t) > P(t) - E(t) - h(t) - i_0, \end{cases} \quad (6.33)$$

где  $k_4, k_5$  — параметры, зависящие от гидро-физических свойств почвы (водопоглощения, влагоемкости, водоотдачи).

Интенсивность поверхностной водоотдачи

$$q_2(t) = [P(t) - E(t) - I(t)] \eta \{1 - \exp[-mW(t)]\}, \quad (6.34)$$

где  $\eta$  и  $m$  — параметры, характеризующие действующую площадь и вместимость бессточных углублений;  $W$  — общее увлажнение водосбора, которое рассчитывают как

$$W(t) = \sum_{\tau=0}^t [P(\tau) - E(\tau) - I(\tau) + h(\tau)] \Delta t.$$

Для расчета грунтового стока используют выражение

$$Q_1(t) = \begin{cases} i_0, & P(t) > 0 \text{ или } q_1(t) > 0, \\ R^{-1} i_0, & P(t) = q_1(t) = 0, \end{cases} \quad (6.35)$$

где  $R$  — параметр кривой нестационарного подповерхностного стока.

Разгрузка запасов воды, накопившихся в речной сети бассейна до начала расчетного периода,

$$Q_3(t) = R' [Q_0 - Q_3(0)], \quad (6.36)$$

где  $Q_3(0)$  — грунтовый сток в начале расчета, определяемый из соотношения (6.36) при  $t=0$ .

Сток в замыкающем створе

$$\tilde{Q}(t) = Q_1(t) + Q_2(t) + Q_3(t) + Q_4(t), \quad (6.37)$$

где  $Q_1(t)$  и  $Q_2(t)$  — трансформированные по линейной модели (2.8) поверхностная и подповерхностная водоотдача с кривой дождевания (2.13).

#### 6.3.2. Определение параметров модели

При подготовке исходных данных для определения параметров модели необходимо учитывать следующее.

Расчет увлажненности водосбора выполняется непрерывно, начиная с конца паводка, предшествующего расчетному, либо с конца весеннего половодья, когда влажность почвы может быть

прямая близкой к максимальной возможной. Поэтому временные ряды исходных данных по каждому паводку должны включать в себя предпаводочный период и непосредственно период формирования и прохождения паводка.

Расчетный интервал времени необходимо назначать одинаковым для всех гидрометеорологических переменных. Его принимают таким образом, чтобы без существенных искажений описать паводочную волну. Это условие выдерживается в том случае, если расчетный интервал равен примерно  $0,20-0,25$  продолжительности подъема паводка. Однако исходные данные за предпаводочный период не обязательно детализировать во времени. Например, при расчетном интервале 3-12 ч их можно представить суммарными суммами осадков и средними за сутки значениями дефицита влажности воздуха и скорости ветра.

Методология определения параметров, полученная на основании опыта использования модели на горных водосборах Карпат, сводится к следующему:

а) значения четырех параметров модели ( $k_1$ ,  $k_2$ ,  $i_0$ ,  $R$ ) рассчитывают по материалам гидрометеорологических наблюдений в в дальнейшем считают их постоянными;

б) для остальных параметров ( $\tau_1$ ,  $\tau_2$ ,  $\tau_3$ ,  $W_{max}$ ,  $k_3$ ,  $\eta$ ,  $m$ ), значения которых находят путем оптимизации, на основе гидрометеорологических наблюдений определяют их приближенные начальные значения и пределы возможных изменений в конкретных условиях;

в) при оптимизации параметров применяют метод декомпозиции, т. е. рассматривают отдельные процессы стокообразования при исключении других.

Значения коэффициентов  $k_1$  и  $k_2$  определяют по данным наблюдений за испарением с водной поверхности или суши в пределах изучаемой территории. По территории эти коэффициенты меняются не очень резко и их можно принимать постоянными для однородных географических регионов. Для района Карпат, например,  $k_1=0,006\Delta t$  и  $k_2=0,003\Delta t$  (где  $\Delta t$  — расчетный интервал времени в часах). При использовании для расчета испарения лишь данных о дефиците влажности воздуха коэффициент  $k_1$  необходимо увеличить на величину  $k_2F/\Delta t$  ( $F$  — средняя многоточечная скорость ветра в рассматриваемом районе). Для Карпат в этом случае  $k_1=0,019\Delta t$ .

Значения коэффициентов фильтрации  $i_0$  устанавливают, ориентируясь на нижнюю часть кривой стока, когда прекращается поступление воды к замыкающему створу за счет поверхностного и подповерхностного стока. Коэффициент  $i_0$  полагают равным расходу воды в этот момент времени, выраженному в миллиметрах слоя за расчетный интервал времени. Для горных водосборов Карпат параметр  $i_0$  колеблется в пределах  $0,03-0,08$  мм/ч.

Значение параметра кривой истощения  $R$  довольно легко можно определить путем построения зависимости  $Q(t+\Delta t)=[Q(t)]$  для нижней части летня стока гидрографа за ряд паводков. По полу-

ченными точкам проводят прямую, тангенс угла наклона которой будет равен  $R$ .

Приближенные оценки и пределы возможных изменений параметров кривых дообегания ( $\tau_1$ ,  $k_1$  и  $\tau_2$ ,  $k_2$ ) устанавливают исходя из временного сдвига между центрами тяжести графиков осадков и гидрографов, соответственно при высоких и низких паводках.

Приближенные оценки параметров  $W_{max}$  и  $k_3$  могут быть определены по максимальным расходам воды низких паводков, когда преобладает подповерхностный сток, верхний предел которого равен отношению  $W_{max}/k_3$ . Полагая, что максимальные расходы этих паводков сформировались за счет подповерхностного стока, находим отношение  $W_{max}/k_3$ , приравняв его максимальному расходу из выбранных низких паводков, выраженному в миллиметрах за расчетный интервал времени. Параметр  $W_{max}$  оцениваем по данным о наибольшей влажности воздуха верхнего 30-сантиметрового слоя почвы, а значение отношения  $W_{max}/k_3$  рассчитываем параметр  $k_3$ . На карпатских водосборах  $W_{max}/k_3=1,3...1,7$  мм/ч.

Начальное значение параметра  $\eta$  принимают равным коэффициенту стока высоких паводков. Для Карпат, например, они равны  $0,60-0,80$ . Параметр  $m$  по фактическим данным для отдельных паводков оценить трудно, поэтому рекомендуется его начальное значение выбирать в диапазоне  $0,030-0,100$ .

После этого параметры  $\tau_1$ ,  $k_1$ ,  $\tau_2$ ,  $k_2$ ,  $W_{max}$ ,  $k_3$ ,  $\eta$ ,  $m$  уточняют с помощью метода оптимизации. Применение метода декомпозиции при оптимизации параметров облегчается тем, что есть возможность отобрать реализации, существенно отличающиеся по условиям формирования паводков — с различными удельным весом подповерхностной составляющей. Процесс оптимизации параметров модели выполняется в четыре этапа (табл. 6.6).

Таблица 6.6

Схема последовательной оптимизации параметров

Этап	Параметры		
	оптимизируемые	учитываемые в расчет без изменения их значений	исключенные из расчета
Гидрографы низких паводков			
I	$k_1, k_2, W_{max}, \tau_1, \tau_2$	$k_1, k_2, i_0, R$	$\tau_1, \tau_2, \eta, m$
Гидрографы средних и высоких паводков			
II	$\tau_1, \tau_2, k_1$	$k_1, k_2, k_3, k_3, W_{max}, i_0, R, \tau_1, \tau_2, \eta, m$	$m$
III	$k_2, \eta, m, \tau_1, \tau_2$	$k_1, k_2, k_3, W_{max}, i_0, R, \tau_1, \tau_2, \eta, m$	—
IV	$k_3, \eta, m, \tau_1, \tau_2, k_1, k_2$	$k_1, k_2, k_3, W_{max}, i_0, R$	—

На первом этапе в оптимизацию включают нижние паводки, когда в дождевом стоке преобладает подповерхностная составляющая. Начиная со второго этапа, к оптимизации привлекают также высокие паводки, когда существенный вес в формировании их пиковой части приобретает поверхностный сток. Согласно табл. 6.6, часть параметров (от 3 до 7) оптимизируют, а часть сохраняют постоянными. Последним присваивают значения, полученные на предыдущем этапе оптимизации.

Чтобы повысить надежность определения параметров, рекомендуется проводить их оптимизацию одновременно по нескольким паводкам. Оценку результатов оптимизации осуществляют по степени сходимости рассчитанных и наблюдаемых гидрографов. В качестве критерия оптимизации используют сумму квадратов отклонений рассчитанных расходов воды от наблюдаемых:

$$K = \sum_{i=1}^N \sum_{j=1}^{T_i} (Q_{i,j} - \tilde{Q}_{i,j})^2 \quad (6.38)$$

где  $N$  — количество паводков,  $T_i$  — количество ординат  $i$ -го паводка.

Расчет гидрографа паводка по модели и процедура определения ее параметров оформлены в виде стандартных программ для ОФАП (прил. 2.5, 2.6).

**Пример 6.3.** Расчет гидрографа р. Опор у г. Сколе ( $F = 733 \text{ км}^2$ ) во время паводка в июне 1969 г. Вначале определяем параметры описанной модели с помощью программы (прил. 2.5).

Учитывая интенсивность стокообразования на этом горном водосборе, принимаем 3-часовой расчетный интервал времени; для предпаводочного периода — суточный. Средние по бассейну значения метеорологических элементов рассматриваем как средневзвешенные по данным наблюдений в пяти (осадки) и трех (дефицит влажности воздуха и скорость ветра) пунктах. Осадки по 3-часовым интервалам определяем по данным самолетовского дождя. Для оптимизации выберем девять паводков различной высоты. Начальные значения параметров оценим в соответствии с рекомендациями, данными в п. 6.3.2. Процедуру определения оптимальных параметров построим аналогично табл. 6.6. В табл. 6.7 приведем оптимальные параметры, полученные после четвертого этапа оптимизации.

Используя эти параметры и входные данные, рассчитаем гидрограф паводка, прошедшего с 8 по 10/VI 1969 г., с помощью программы прил. 2.6. Расчеты для предшествующего паводку периода были начаты с  $1/V$ . Результаты расчета показаны на рис. 6.7.

При выпуске краткосрочного прогноза водотдачи на период заблаговременности рассчитывают путем экстраполяции по одному из рассмотренных в п. 2.4.2 способов. Экстраполяция более

эффективна при наличии сведений о вероятной тенденции в изменении интенсивности осадков.

Для уменьшения ошибки прогноза используют простую дилем, основанную на учете тенденции в изменении ошибки прогноза непосредственно перед его выпуском:

$$\Delta Q(\delta \Delta t) = -0,8^{|\delta|} \{0,5 [\Delta Q(0) + \Delta Q(-\delta t)] + 0,5 [\Delta Q(0) - \Delta Q(-\delta t)]\}, \quad (6.59)$$

где  $\Delta Q(\delta \Delta t)$  — поправка к прогнозу  $\delta$ -й заблаговременности,  $\Delta Q(0)$  и  $\Delta Q(-\delta t)$  — ошибки прогноза за два момента времени перед выпуском прогноза.

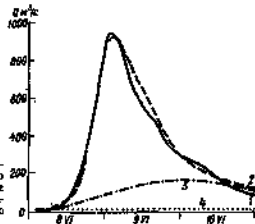


Рис. 6.7. Фактический (1) и рассчитанные гидрографы дождевого паводка на р. Опор у г. Сколе (2 — суммарный, 3 — подповерхностного стока, 4 — грунтового стока).

Таблица 6.7  
Оптимальные значения параметров математической модели формирования дождевого стока для бассейна р. Опор у г. Сколе

Символ параметра	Значение параметра	Символ параметра	Значение параметра
$k_1$	0,025	$\eta$	0,810
$k_2$	0,010	$\alpha$	0,035
$k_3$	13,92	$\tau_1$	1,35
$k_4$	0,977	$\tau_2$	0,30
$\beta_{\text{расч}}$	69,53	$\mu_1$	2,53
$k_5$	0,13	$\mu_2$	1,75
$K$	0,974		

#### 6.4. Модель формирования весенне-летнего стока на горных водосборах

Модель разработана с использованием данных, относящихся к территории Средней Азии и, как показал опыт применения модели для расчета гидрографов, лучшие результаты достигаются

для рек со сравнительно небольшими количеством жидких осадков, выпадающих на свободу от снега поверхностью бассейна. Из-за редкой сети наблюдательных станций в горах расчеты с помощью этой модели менее точны аналогичных расчетов для равнинных водосборов.

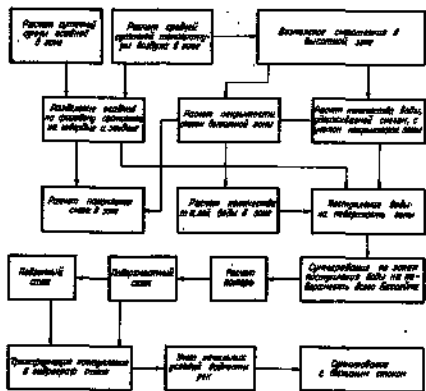


Рис. 6.8. Блок-схема модели формирования стока в бассейнах горных рек.

Для разработки на основе модели методики краткосрочных прогнозов расхода воды необходимы ряды наблюдений за 10—15 лет, которые должны включать в себя: суточную сумму осадков, среднее суточное значение температуры воздуха, ежедневный расход воды в створе, по которым необходимо прогноз. Кроме того, желательно иметь измерения запаса воды в снежном покрове и наблюдаемая за покрытием бассейна снегом по высотным зонам. Из физико-географических характеристик важнейшей является гипсографическая кривая бассейна в целом и его частей, если расчеты производят для каждой из этих частей отдельно. Используемое число станций определяется существующей гидрометеорологической сетью, кроме пересрабатываемых. Целесообразно также привлекать данные наблюдений по суммарным

осадкомерам на тех высотах, где обычные станции и посты отсутствуют.

При выпуске прогноза ежедневных расходов воды, как правило, приходится использовать метеорологические прогнозы температуры воздуха и осадков на несколько суток. Поэтому точность прогноза средних суточных расходов воды с запаздыванием до 3 сут в значительной мере зависит от успешности метеорологических прогнозов.

Модель состоит из двух основных блоков: 1) расчет накопления снега и поступления талой и дождевой воды на поверхность бассейна; 2) расчет потерь и трансформации водоотдачи бассейна и гидрограф стока. На рис. 6.8 приведена общая блок-схема модели.

#### 6.4.1. Расчет накопления снега и поступления воды на поверхность бассейна

Поступление воды на поверхность бассейна рассчитывают по высотным зонам, на которые предварительно разбивают бассейн. Более или менее оптимальным шагом выделения зон по высоте является 0,2—0,4 км.

Для интерполяции и экстраполяции суточных сумм осадков по высоте используют зависимость, предложенную Ю. М. Денисовым:

$$P(H, t) = P_H^0(t) [1 + k_2(H - H_1) + k_3(H - H_1)^2], \quad (6.40)$$

где  $P(H, t)$  — количество осадков за высоту  $H$  в момент  $t$ ;  $H_1$  — заданная высота, к которой приводят осадки, наименьшие на станциях в горах;  $k_2$  и  $k_3$  — параметры, определяемые для конкретного бассейна или его части по наблюдениям за осадками. Величину  $P_H^0(t)$  в уравнении (6.40) вычисляют по формуле

$$P_H^0(t) = \sum_{j=1}^n [P_{H_j}(t)/R(H)], \quad (6.41)$$

где  $P_{H_j}(t)$  — осадки на  $j$ -й станции, расположенной на высоте  $H_j$ ;  $n$  — число станций;  $R$  — выражение, стоящее в квадратных скобках в уравнении (6.40).

Значения  $k_2$  и  $k_3$  зависят от наклона и кривизны связи осадков с высотой, причем знак  $k_3$  определяет направление выкрутки кривой, аппроксимирующей эту связь. Годовой ход параметров  $k_2$  и  $k_3$  хорошо аппроксимируется уравнениями вида

$$k_i = k_{i,0} + A_i \cos[2\pi(t - \tau_i)/365] \quad (i = 2, 3), \quad (6.42)$$

где  $t$  — время, отсчитываемое от начала календарного года;  $k_{i,0}$  — средние за год значения параметров  $k_2$  и  $k_3$ ;  $A_i$  — амплитуда  $i$ -й косинусоиды;  $\tau_i$  — номер дня с максимальным значением параметра  $k_i$  или  $k_3$ .

Распределение температуры воздуха с высотой аппроксимируется линейной зависимостью, причем вертикальный градиент

температуры воздуха  $\gamma(t)$  изменяется во времени в соответствии с выражением

$$\gamma(t) = (a^2/t^2 + (t - \tau_0)/c) + \gamma_0, \quad (6.43)$$

где  $a$ ,  $\gamma_0$ ,  $\tau_0$ ,  $c$  — параметры, определяемые по данным наблюдений за температурой воздуха.

Общий вид зависимости (6.43) показан на рис. 6.9. Способ нахождения параметров описан ниже.

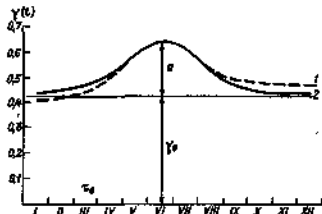


Рис. 6.9. Аппроксимация изотропного хода вертикального градиента температур воздуха.

1 — фактический ход на станции Фортанское хребта, 2 — его аппроксимация.

При расчете накопления и таяния снежного покрова по данным об осадках и температуре воздуха исходят из следующих допущений:

— выше изотермы  $2^\circ\text{C}$  ( $H_2$ ) осадки выпадают только в твердом виде, а ниже — только в жидком:

$$H_2(t) = H_1 - \lambda(2 - T(H_1, t))\gamma(t),$$

где  $T(H_1, t)$  — температура воздуха, приведенная к высоте  $H_1$  по формуле

$$T(H_1, t) = \frac{1}{\lambda} \sum [T(H_i, t) - \gamma(t)(H_i - H_1)],$$

где  $H_i$  — высота  $i$ -й метеостанции,  $\lambda$  — количество метеостанций;

— таяние снега происходит только в зонах ниже изотермы  $0^\circ\text{C}$  ( $H_0$ ) пропорционально температуре воздуха при заданном коэффициенте стаяния ( $k_1$ ):

$$H_0(t) = H_1 + T(H_1, t)\gamma(t);$$

— влажность снега не зависит от времени, т. е. водоотдачу можно рассчитать по соотношению (4.7);

— осадки, выпадающие в период снегооттаяния в твердом виде, прибавляют к запасу воды в снежном покрове;

— жидкие осадки приравнивают к поступлению воды непосредственно на поверхность бассейна, за исключением той их части, которая может быть удержана снежным покровом.

Распределение снежного покрова на каждой высотной зоне аппроксимируется экспонентой вида

$$g(S, h) = \exp[-(S + S_p \ln m - h)/S_p], \quad (6.44)$$

где  $h$  — переменная, равная слою становления снежного покрова, мм;  $S_p$  — параметр, равный значению среднего запаса воды в снежном покрове в зоне, при котором зона полностью покрыта снегом, мм;  $m$  — параметр, определяющий ошибку, содержащуюся в принятой аппроксимации  $g(S, h)$  (при  $m=100$  ошибка равна 1%);  $S$  — текущее значение запаса воды в снежном покрове в высотной зоне, мм.

Расчеты по уравнению (6.44) хорошо совпадают с эмпирической типовой кривой распределения запаса воды в снежном покрове в горах, полученной в работе Т. С. Абалаян [1].

При возврате морозов в период таяния слой замерзающей в снеге воды рассчитывают по соотношению

$$P_2(t) = 1,85 \sqrt{|-T_{\min}(t)|}. \quad (6.45)$$

где  $P_2(t)$  — количество замерзшей воды за  $t$ -е сутки, мм;  $T_{\min}$  — минимальная суточная температура воздуха.

Чтобы в расчетах иметь дело только со средней суточной температурой воздуха  $T$ , следует найти связь между  $T_{\min}$  и  $T$ .

Интенсивность таяния снега и ледников для каждой  $j$ -й зоны (мм/сут) вычисляют по формулам:

$$k_{\tau, j}(t) = \begin{cases} k_1 \gamma(t)(H_1 - H_j) & \text{при } H_j < H_0 \text{ и } S > 0, \\ 0 & \text{при } H_j \geq H_0 \text{ или } S = 0, \end{cases} \quad (6.46)$$

$$k_{\tau, j}(t) = \begin{cases} k_2 \gamma(t)(H_1 - H_j) & \text{при } g_{\lambda, j} < 1, \\ 0 & \text{при } g_{\lambda, j} = 1, \end{cases} \quad (6.47)$$

где  $k_1$  и  $k_2$  — коэффициенты стаяния снега и льда, мм/( $^\circ\text{C} \cdot \text{сут}$ );  $g_{\lambda, j}$  — покрываемость ледников снегом, пригитасемая равной  $g_j$  — покрываемости снегом  $j$ -й зоны.

Поступление дождевой воды  $h_k$  на участки зон, свободных от снега, принимают равным

$$h_{k, j}(t) = \begin{cases} (P(H_j)[1 + k_1(t)(H_j - H_0) + k_2(t)(H_j - H_0)^2]) & \text{при } g_j < 1, \\ 0 & \text{при } g_j = 1. \end{cases} \quad (6.48)$$

Дождь, выпадающие на снег, приравнивают к талой воде.

Водоотдачу всего бассейна, выраженную в расходах ( $\text{м}^3/\text{с}$ ), вычисляют по формуле

$$h_n(t) = c_1 \sum_{j=1}^N [k_{r,j}(t) f_{j1} + k_{r,j}(t) f_{j2}(1 - g_j) + k_{r,j} f_{j3}(1 - g_{n,j})], \quad (6.49)$$

где  $c_1$  — коэффициент, равный 0,0116;  $f_{j1}$  — площадь  $j$ -й высотной зоны без ледников;  $f_{j2}$  — площадь ледников в пределах  $j$ -й зоны, км $^2$ ;  $N$  — число высотных зон.

#### 6.4.2. Расчет потерь и трансформации водоотдач в гидрограф стока

Потери воды в течение весенне-летнего периода вычисляют с учетом суммарной водоотдачи с начала таяния:

$$I(t) = h_0(t) \exp \left[ -\alpha_1 S_0 \int_0^t q(\tau) d\tau \right], \quad (6.50)$$

где  $S_0$  — запас воды в снежном покрове перед началом сгонотаяния, мм;  $\alpha_1$  — оптимизируемый параметр. Величина  $S_0$  представляет собой средневзвешенные для водосбора запасы воды в снежном покрове к началу весеннего половодья (конец марта), рассчитанные по запасам для каждой высотной зоны.

Выражение (6.50) отражает известный факт увеличения коэффициента стока талых вод пропорционально интегральному значению поступления воды к моменту  $t$ . В горах это явление связано также с продвижением по мере развития половодья фронта таяния снега в верхние зоны, так как коэффициенты стока обычно возрастают с высотой зоны. Уменьшение коэффициента стока жидких осадков по мере освобождения от снега поверхности водосбора дословно учитывается благодаря замедлению роста общего коэффициента стока (талых и дождевых вод).

На этапе расчета гидрографов стока по известным значениям температуры воздуха и осадков производят также и вычисления испарения с поверхности каждой высотной зоны. Формулы, которые для этого применяют, приведены в работе [2].

Приток к русловой сети вычисляют по выражению

$$q(t) = h_n(t) - I(t), \quad (6.51)$$

где обозначения прежние.

Полагают, что этот приток проходит через две регулирующие емкости. Расчет расхода воды производят по следующей формуле:  $Q(t + \delta) = a_1 \cdot X + a_2 \cdot Z + b_1 \cdot \delta [0,5q(t + \delta - 2) - 2q(t + \delta - 1)] + b_2 \cdot \delta q(t + \delta)$ , (6.52)

где

$$X = \begin{cases} Q(t + \delta - 2) & \text{при } \delta = 1 \text{ и } 2, \\ \hat{Q}(t + \delta - 2) & \text{при } \delta = 2; \\ Q(t) & \text{при } \delta = 1, \\ Z = \begin{cases} Q(t + \delta - 2) & \text{при } \delta > 1, \end{cases} \end{cases}$$

$Q$  — фактический расход воды, из которого предварительно вычитают базисный сток,  $\text{м}^3/\text{с}$ ;  $\hat{Q}$  — рассчитанный расход воды;  $a_1, a_2, b_1, b_2, \delta$  — параметры, определяемые для каждой заблаговременности прогноза по архивным данным;  $t$  — момент составления прогноза;  $\delta$  — заблаговременность прогноза.

#### 6.4.3. Определение параметров моделей и корректировки прогнозов

Модель включает в себя ряд параметров, часть из которых находят с помощью непосредственных наблюдений за осадками, температурой воздуха, снежным покровом, а часть — подбирают путем оптимизации.

Для нахождения  $k_2$  и  $k_3$  предварительно для каждого месяца строят графические зависимости средних многолетних месячных сумм осадков от высоты. Далее, для средних высот выделенных высотных зон снимают значения осадков, до которых с помощью метода наименьших квадратов находят значения  $k_2$ ,  $k_3$  для каждого месяца. Способ определения  $k_2$  и  $k_3$ , а также параметров  $k_2, c, k_3, \alpha, A_2, A_3, \tau_2$  и  $\tau_3$  в уравнении (6.42) подробно описан в работе [14].

Для нахождения параметров  $c, \alpha, \tau_2$  и  $\tau_3$  в уравнении (6.42) предварительно определяют  $\gamma(t)$  для каждого месяца и строят хронологический график их изменения (см. рис. 6.10). Затем по минимальным значениям эмпирической кривой  $\gamma(t)$  проводят линию, параллельную оси  $t$ . Расстояние по оси ординат от этой линии до оси абсцисс равно значению  $\tau_2$ , расстояние от этой линии до вершины  $\gamma(t)$  — значению параметра  $\alpha$ , расстояние по оси абсцисс от оси ординат до кривой, параллельной оси ординат и проходящей через вершину  $\gamma(t)$ , — значению параметра  $\tau_3$ . Параметр  $c$  — масштабный коэффициент, вычисляемый по значениям кривой  $\gamma(t)$  при известных значениях остальных параметров по выражению

$$c = (t - \tau_3)^2 [\gamma(t) - \gamma_0] / (\alpha - [\gamma(t) - \gamma_0] \alpha^2). \quad (6.53)$$

Параметр  $S_p$  в уравнении (6.44) для каждой зоны находят путем построения графиков связи между средними запасами воды в снежном покрове зоны  $S$  и ее окружностью снегом  $g(S)$ :

$$\bar{S} = S_p g(\bar{S}), \quad (6.54)$$

откуда видно, что значение  $S_p$  равно углу наклона этой связи и зависит главным образом от расчлененности рельефа. Последняя зависимость справедлива в пределах изменения  $0 \leq S \leq S_p$ .

Водоудерживающую способность снега, а также  $k_1$  и  $k_2$  задают по литературным источникам. Однако параметр  $k_1$  можно подобрать, варьируя его значениями в пределах 2,0—6,5 мм/(°С·сут), по наилучшему совпадению рассчитанных и фактических расходов воды.

Параметры модели трансформации и потерь воды на водосборе определяют с помощью оптимизации. В качестве критерия качества используют следующее выражение:

$$K(Q, q, x) = \sqrt{\frac{\sum_{i=1}^{N-1} [Q(t+\delta) - \bar{Q}(t+\delta, x)]^2}{\sum_{i=1}^{N-1} [Q(t) - Q(t+\delta)]^2}}, \quad (6.56)$$

где  $Q(t+\delta)$  — расход воды, рассчитанный на  $\delta$ -е сутки от момента составления прогноза;  $T$  и  $N$  — соответственно количество суток в расчетном периоде и количество таких периодов;  $x$  — вектор искомого параметров, входящих в уравнения (6.50) и (6.52).

Алгоритм оптимизации позволяет накладывать ограничения на искомые параметры. Например, при оптимизации коэффициента сглаживания снега разумными ограничениями его значения, опирающимися на опытные данные, являются 2,0—6,0 мм/(°С·сут). При оптимизации параметра  $\alpha_1$  в уравнении (6.50) накладывается ограничение на его знак ( $\alpha_1 \geq 0$ ). Для другой пример. Оптимальные параметры в уравнении (6.52), полученные для заблаговременности прогноза на  $(t+1)$ -е сутки, можно использовать при оптимизации параметров этого уравнения для прогноза на  $t+\delta+1$  сут.

Между ходом средней суточной температуры воздуха и гидрографом стока существует опережение на 1—2 сут. Это позволяет уточнить прогнозируемые на 1—2 сут расходы воды путем применения коррекции. Уравнение для коррекции имеет следующий вид:

$$\bar{Q}(t+\delta) = \hat{Q}(t+\delta) + \alpha_2 [Q(t) - \bar{Q}(t)] \quad (\delta=1, 2), \quad (6.56)$$

где  $\hat{Q}(t+\delta)$  — расход воды, предвычисленный на  $(t+\delta)$ -е сутки без коррекции;  $\bar{Q}(t+\delta)$  — расход воды, предвычисленный с учетом коррекции;  $\alpha_2$  — параметр, знак которого меняется на обратный в экстремальных точках хода температуры воздуха.

**Пример 6.4.** Методика краткосрочных прогнозов расхода р. Варзоб заблаговременностью (—6 сут.

Высокой р. Варзоб (площадь и средняя высота соответственно 1225 км<sup>2</sup> и 2,65 км) до с. Дагана простирается на высоте от 1,0 до 5,0 км. В расчетах использовались наблюдения на 11 гидрометеорологических станциях и постах, расположенных на высоте от 0,96 до 2,8 км и на одной станции, временно действовавшей в течение лесных лет на высоте 4,0 км (Як-Арча). Наблюдения на этой станции велось лишь в течение июня—сентября экспедиционным отрядом.

На рис. 6.10 приведены изменения значений параметров  $k_1$  и  $k_2$  в течение года. Параметры определены по данным об осадках за 1964—1968 гг. без учета  $t$  с учетом наблюдений на упоминав-

шейся станции Як-Арча. Запас воды в снежном покрове вычислен по данным снегомерных стоек на высоте 4,0 км. Среднее годовое количество осадков по данной высоте составило 1800 мм. Средние многолетние месячные суммы осадков за период октябрь—май по Як-Арче рассчитаны согласно среднему распределению по месяцам годовых сумм осадков на ближайших к ней станциях Майхура, Газмок и Харамкуль.

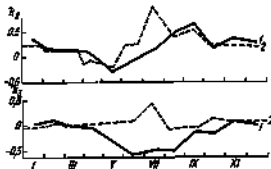


Рис. 6.10. Внутрисезонный ход параметров  $k_1$  и  $k_2$ , вычисленных без учета данных по Як-Арчи (1) и с учетом этих данных (2).

Суточные суммы осадков на различных высотах р. Варзоб вычисляем по формуле

$$P(H, t) = P_H(t) \left\{ 1 + \left[ 0,26 + 0,2 \cos \frac{2\pi}{365}(t - 63) \right] (H - 2,85) + \right. \\ \left. + \left[ 0,02 - 0,058 \cos \frac{2\pi}{365}(t - 4) \right] (H - 2,65)^2 \right\}, \quad (6.57)$$

где  $H$  — высота, к которой приведены наблюдения за осадками на станциях, принята равной 2,65 км;  $t$  — номер суток, начиная с 1/X.

Вертикальный градиент температуры воздуха, полученный по данным наблюдений за температурой воздуха на сети станций (высоты от 0,96 до 3,4 км), равен 0,65°С/0,1 км. Влажность снега принята равной 0,13.

Для получения связи между средней суточной и минимальной в течение суток температурой воздуха использованы данные наблюдений по г. Гушарм, с. Харамкуль и с. Кандара, расположенным в диапазоне высот 1,32—2,8 км. Связь имеет вид

$$T_{\min}(t) = 0,917(t) - 3. \quad (6.58)$$

Суточное поступление воды на поверхность бассейна рассчитываем при  $k_1$ , равном 3,0; 4,0 и 5,0 мм/(°С·сут). В среднем лучшие результаты для бассейна р. Варзоб по принятой модели формирования стока получены при  $k_1 = 3,0$  мм/(°С·сут).

В табл. 6.8 приведены диапазоны высотных зон и полученные для этих зон значения  $S_p$ . Значения воды в снежном покрове и пористость зон склонов для построения графика связи между ними для нахождения величины  $S_p$  по зонам вычислены по снегоотсыпкам и регулярным аэрофотосъемкам снежного покрова. При отсутствии данных наблюдений, позволяющих построить зависимости типа (6.54), можно воспользоваться данными табл. 6.8.

Таблица 6.8

Значения параметра  $S_p$  по высотным зонам

Высотная зона, км. . . . .	1,0—2,4	2,4—3,8	2,5—3,2	3,2—3,6	Выше 3,6
$S_p$ . . . . .	300	650	1050	1450	1700

Водоотдачу бассейна в период таяния снега рассчитываем с помощью формулы (6.49) за суточным интервалом времени с разбивкой по высоте через 0,2 км. Расход воды прогнозируем по выражению (6.52). Оптимальные параметры для указанного выражения помещены в табл. 6.9. Базисный сток приравняем

Таблица 6.9

Значения оптимальных параметров модели и оценка эффективности метода прогноза по зависимой (числитель) и независимой (знаменатель) выборкам

Зависимый выборка, сут	$a_1^e$	$a_2^e$	$a_3^e$	$a_4^e$	$\frac{z}{a_5}$	$\frac{Y}{P}$
1	$-4,65 \cdot 10^{-2}$	0,843	$-4,93 \cdot 10^{-1}$	0,117	$\frac{0,78}{0,74}$	$\frac{0,996}{0,997}$
2	$7,68 \cdot 10^{-4}$	0,845	0,0129	0,128	$\frac{0,73}{0,70}$	$\frac{0,997}{0,994}$
3	0,0280	0,843	0,0239	0,136	$\frac{0,68}{0,67}$	$\frac{0,999}{0,999}$
4	0,0235	0,843	0,0255	0,138	$\frac{0,68}{0,68}$	$\frac{0,999}{0,994}$
6	0,0259	0,843	0,0265	0,135	$\frac{0,65}{0,63}$	$\frac{0,997}{0,982}$

Примечание.  $Y$  — объем стока за период таяния фактический,  $P$  — то же вычисленный по прогнозическим расходам воды.

наименьшему расходу воды в зимнюю межель (10 м<sup>3</sup>/с). Коэффициент стока равен 0,75 для всех лет.

В этой же таблице приведена оценка точности прогноза расходов воды (при задании на период заблаговременности фактиче-

ских данных о температуре и осадках) с заблаговременностью 1—5 сут по зависимой (1964—1968 гг.; 300 случаев) и независимой (1969—1970 гг.; 360 случаев) выборкам. При составлении прогноза в оперативных условиях температура воздуха и осадки на период заблаговременности задают до краткосрочным и метеорологическим прогнозам.

Данные в табл. 6.9 свидетельствуют о следующем. Эффективность методики прогноза, оцененная по отношению  $s/s_0$  ( $a_5$  —

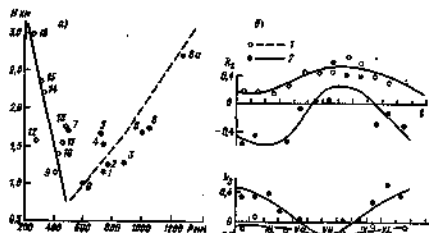


Рис. 6.11. Изменчивые по высоте годовые суммы осадков (а) и суточного стока параметров  $K_2$  и  $K_3$  (б) в бассейне р. Карадарья. 1 — склоны Ферганского хребта, 2 — склоны Алтайского хребта.

связки квадратическая изменчивость расхода воды за период заблаговременности прогноза), сохраняется примерно одинаковой на зависимой и независимой выборках данных. Это говорит об устойчивости найденных параметров модели. С увеличением заблаговременности средняя квадратическая ошибка прогноза возрастает и на 5-е сутки почти в 2 раза превышает ошибку прогноза на 1-е сутки. Повышение же эффективности методики с увеличением заблаговременности определяется тем, что с увеличением  $a_5$  растет быстрее, чем ошибка прогноза  $s$ .

Пример 4.8. Методика краткосрочных прогнозов расхода воды р. Карадарья.

Река Карадарья является левым притоком р. Сырдарья, питается водами притоков, стекающих по правому берегу со склонов Ферганского, а по левому берегу со склонов Алтайского хребта. Площадь бассейна до п. Камылбулат 12 370 кв. средняя высота Ферганского склона 2,3 км, Алтайского — 2,7 км.

Особенности распределения осадков по площади и высоте (рис. 6.11 а) привели к необходимости производить расчеты

поступления воды на поверхность Ферганского и Алайского склонов раздельно.

Для аппроксимации распределения осадков с высотой по наблюдением за ними на гидрометеорологических станциях и постах, расположенных на каждом из склонов, были получены по месяцам значения параметров  $k_2$  и  $k_3$ , входящих в формулу (6.40). На рис. 6.11 б представлен внутригодовой ход этих параметров и их

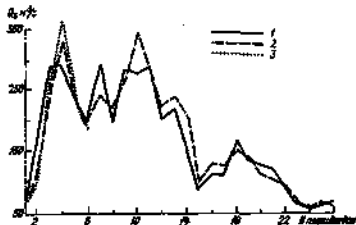


Рис. 6.12. Составление фактических и предприведенных средних за пятидневку расходов воды.

1 — фактическая, 2 — предприведенная, 3 — предприведенная с поправкой на изменение температуры воздуха и осадков.

аппроксимация с помощью косинусоид по формулам тела (6.42). Получены следующие значения параметров для Ферганского склона:  $k_{2,0} = -0,15$ ,  $A_2 = 0,41$ ,  $\tau_2 = 47$ ;  $k_{3,0} = 0,18$ ,  $A_3 = 0,31$ ,  $\tau_3 = 6$ ; для Алайского склона:  $k_{2,0} = 0,36$ ,  $A_2 = 0,16$ ,  $\tau_2 = 35$ ;  $k_{3,0} = -0,08$ ,  $A_3 = 0,06$ ,  $\tau_3 = 22$ .

Изменение вертикального градиента температуры воздуха в течение года аппроксимировано уравнением (6.43) с одинаковыми параметрами для обоих склонов:  $a = 2,5$ ;  $\tau_0 = 165$ ;  $\sigma = 450$ . Водоудерживающая способность снега принята равной 0,13, а коэффициент стаяния снега 3 мм/(°С·сут). Значения параметра  $S_p$  для каждой высотной зоны в уравнениях, служащих для расчета накопления и таяния снега, использовались те же, что и для бассейна р. Варзоб (см. табл. 6.8). Базисный сток составляет для всех лет 300 м<sup>3</sup>/с. При расчете потерь применено уравнение (6.60).

Оптимальные значения параметров зависимостей для расчета потерь и трансформации водотока бассейна с расходами воды определены по данным за семь лет (более 1200 случаев). Данные за два года (360 случаев) служили проверочной выборкой. Например, для схемы прогноза расходов воды с заблаговременностью

1 сут оптимальные параметры равны:  $a_1 = 0,11$ ;  $a_2 = 0,858$ ;  $b_1 = 0,006$ ;  $b_2 = 0,010$ ;  $\alpha_1 = 0,8 \cdot 10^{-5}$ ;  $\alpha_2 = -0,144$ .

Прогностической схемой также предусматривается прогноз средних за 5 сут расходов воды по следующему выражению:

$$\bar{Q}_{i+5} = a_1 Q(t-1) + a_2 Q(t) + b_1 [0,5\bar{Q}_{i-2} - \bar{Q}_{i-1}] + b_2 \bar{Q}_i \quad (6.59)$$

где  $i$  — номер пятидневки;  $\bar{Q}$  — среднее за 5 сут значение притока к русловой сети;  $Q$  и  $Q(t-1)$  — средние суточные значения расхода воды в замкнутым створе в моменты времени, обозначенные в скобках;  $k_2 = 5$ ;  $a_1$ ,  $a_2$ ,  $b_1$  и  $b_2$  — параметры, соответственно равные 0,049; 0,717; 0,015; 0,120. Параметр  $\alpha_1$  в уравнении (6.50) для расчета потерь равен 0,846.

Результаты испытаний уравнений (6.59) в оперативном режиме с использованием прогноза температуры воздуха и осадков на несколько суток вперед приведены на рис. 6.12. Оценка относительной средней квадратической ошибки прогноза при испытаниях в оперативном режиме 0,71  $\sigma$ .

# Часть III ПРОГНОЗ РАСХОДОВ И УРОВНЕЙ ВОДЫ ДЛЯ РЕЧНЫХ СИСТЕМ

## Глава 7. Методы, основанные на представлении речной системы в виде цепочки частных бассейнов

При многоцелевом использовании водного объекта нередко приходится разрабатывать комплекс методов прогноза для большого числа створов, расположенных на основной реке и притоках. В таких случаях водосбор разбивают на ряд бассейнов, соединенных параллельно-последовательно друг с другом и для каждого из них разрабатывают методики прогноза.

Большинство прогностических схем основано на определении параметров связей по фактическим данным наблюдений за стоком и некоторыми метеорологическими факторами. Поэтому для более надежного определения параметров все частные бассейны должны быть ограничены гидрометрическими створами, в которых проводятся наблюдения за расходами (уровнями) воды. Если речной водосбор разбить с учетом гидрометрической сети, получим два типа частных бассейнов (рис. 7.1):

1) бассейнам, тяготеющие к участкам рек, ограниченным одним или несколькими входными и выходными створами, в которых ведутся наблюдения за расходами или уровнями воды. Для этих бассейнов форма волны паводка (заводка) во многом определяется гидрографией входных створов. В отдельных случаях заметную роль на трансформацию расходов (уровней) воды может оказывать боковой приток. В зависимости от соотношения этих факторов и имеющейся информации используют соответствующие методы прогноза, изложенные в ч. I настоящего выпуска Руководства;

2) бассейны, для которых имеются данные измерения расходов воды только для выходных створов рек. В некоторых случаях могут быть измерены расходы воды в ряде входных створов, однако связь их с расходами воды в замыкающем створе пренебрежимо мала. Для этих бассейнов характерно очень сильное изменение объема и формы волны паводка за счет притока воды к русловой сети. Поэтому главная задача состоит в расчете притока воды к русловой сети. Схемы прогноза для этих бассейнов значительно сложнее, чем для бассейнов первого типа. Для получения достаточной заблаговременности часто приходится



Рис. 7.1. Схема речной системы Пенеры.

1 — гидрометрический створ, 2 — метеорологическая станция, 3 — граница водосбора, 4 — граница частного бассейна, 5 — паводок участка.

Таблица 7.1

Характеристика частных бассейнов первого типа и оптимальные параметры для них

№ бассейна	Выходной створ	Тип выходной информации	Входной створ	$\lambda$	$\tau$ сут	$\kappa$	$\frac{d}{H_0} \text{ м/м}^2$	$\rho$	$H_0$ см
3	Печора — с. Троицко-Печорск	Расход	р. Печора — с. Якша	1,80	0,30	4,88	—	—	—
			р. Идыч — с. Приуральск	1,40	0,47	3,78	—	—	—
5	Печора — с. Усть-Шугор	Расход	р. Печора — с. Троицко-Печорск	1,30	1,31	2,02	—	—	—
			р. Шугор — п. Млыбеманьки	1,40	0,23	2,28	—	—	—
6	р. Печора — с. Усть-Кожва	Уровень	р. Печора — с. Усть-Шугор	1,00	0,61	3,44	0,641	1,472	50
7	р. Уса — с. Адъяа	Расход	р. Уса — с. Петрунь	1,03	0,59	3,05	—	—	—
			р. Косью — п. Косью	2,13	1,60	2,65	—	—	—
			р. Кожим — п. Кожим						
8	р. Печора — с. Усть-Уса	Уровень	р. Печора — с. Усть-Кожва	1,05	1,11	1,67	0,471	1,519	100
			р. Уса — с. Адъяа	1,01	1,31	2,13			

25  
 Примечания.  $\lambda$  — коэффициент стоковой привадики;  $\kappa$ ,  $\tau$  — параметры кривых добегашиа (2.13);  $d$ ,  $\rho$ ,  $H_0$  — параметры условных прямых расходов (2.21).

использовать метеорологические данные. Методы прогноза для таких бассейнов приведены в гл. II настоящего выпуска Руководства.

Для объединения всех частных бассейнов в одну систему необходимо задать условия их сопряжения. В общем случае имеются две возможности:

1) если расходы (уровни) воды выходного створа реки верхнего бассейна до момента выпуска прогноза заданы, то их используют на входе следующего за ним участка, а на период заблаговременности расходы принимают равными ожидаемым по прогнозу расходам на выходе верхнего участка:

$$q_n(t) = \begin{cases} Q_{n-1}(t) & \text{при } t \leq t_n \\ \tilde{Q}_{n-1}(t) & \text{при } t > t_n \end{cases} \quad (7.1)$$

где  $q_n(t)$  — расходы воды на входе  $n$ -го участка;  $Q_{n-1}(t)$  — фактические расходы воды на выходе  $(n-1)$ -го участка;  $\tilde{Q}_{n-1}(t)$  — ожидаемые расходы воды на выходе  $(n-1)$ -го участка.

2) если выходные расходы (уровни) воды верхнего участка реки до момента выпуска прогноза не заданы, то на входе следующего за ним участка используют расходы, рассчитанные на выходе верхнего участка для всего интервала времени:

$$q_n(t) = \tilde{Q}_{n-1}(t).$$

Особенности разработки схем прогноза для речных систем рассмотрены на примерах.

**Пример 7.1.** Автоматизированные прогнозы расходов (уровней) воды для р. Печора до с. Усть-Уса в период открытого русла.

Схема водосбора р. Печора с указанием гидрометрических створов показана на рис. 7.1. Весь водосбор разбит на восемь частных бассейнов. Бассейны 3-й и с 5-го по 8-й можно отнести к бассейнам первого типа; бассейны 1, 2-й и 4-й — ко второму типу.

При разработке методов прогноза для бассейнов первого типа использована линейная модель трансформации расходов (уровней) воды с сосредоточенным боковым притоком. Сосредоточенный приток и параметры определены согласно методике, изложенной в п. 2.3.1. В табл. 7.1 дана характеристика этих бассейнов и значения параметров, полученные в результате оптимизации.

Для расчета гидрографа стока в бассейнах второго типа использована математическая модель формирования талого, дождевого и тало-дождевого стока (см. п. 6.1). Параметры модели определены для каждого частного бассейна в соответствии с рекомендациями, данными в п. 6.1.3, независимо. Использованы данные об осадках, температуре и дефиците влажности воздуха, толщине слоя снега и запасах воды и льда, расходах в замыкающих каналах за 1965—1976 гг. Все данные представлены в виде средних суточных значений, осредненных для каждого водосбора. Характеристика водосборов и входной информации дана в табл. 7.2.

Таблица 7.1

Характеристика частных бассейнов первого типа и интегральные параметры для них

№ бассейна	Выходной створ	Тип стока, вид информации	Входной створ	а	т, сут.	п	к, сут.	б	М, км
1	Печора — с. Трошино-Печорск	Расход	Печора — с. Язда	1,20	0,30	4,53	—	—	—
2	Печора — с. Усть-Шугор	Расход	р. Идыл — с. Сраурмак	1,40	0,47	9,78	—	—	—
3	Печора — с. Усть-Уса	Уровень	р. Печора — с. Трошино-Печорск	1,20	1,31	2,02	—	—	—
4	Печора — с. Усть-Козьма	Расход	р. Шугор — в. Мучабашман	1,40	0,32	2,28	—	—	—
5	Печора — с. Алама	Расход	р. Печора — с. Усть-Шугор	1,00	0,61	3,44	0,641	1,472	50
6	Печора — с. Усть-Уса	Уровень	р. Уса — с. Петруте	1,02	0,50	3,05	—	—	—
7	Печора — с. Усть-Уса	Уровень	р. Козьма — в. Козьма	2,13	1,00	2,65	—	—	—
8	Печора — с. Усть-Уса	Уровень	р. Козьма — в. Козьма р. Копти — в. Копти	1,06	1,11	1,67	0,471	1,819	100
			р. Печора — с. Усть-Козьма р. Уса — с. Алама	1,01	1,31	2,13	—	—	—

Примечание.  $k$  — коэффициент стоковой притока;  $a$ ,  $t$  — параметры стоковой притока;  $p$ ,  $t$  — параметры прямых потерь (2.13);  $b$ ,  $b_0$  — параметры условий формирования расхода (2.8).

Таблица 7.2

Характеристика частных бассейнов второго типа

№ бассейна	Конечный створ	Площадь бассейна, км <sup>2</sup>	Длина, км	Средняя высота, м	Число пунктов, установленных при определении	
					в бассейне, а	Т, Р, D
1	р. Пелора — с. Явля	9,62	91	290	5	5
	р. Илмет — с. Приуралск	10,50	90	326	2	3
	р. Шугор — с. Мичаби-венна	9,28	68	468	3	3

Примечание.  $S_{max}$ , км — максимальный запас воды и снега на лесных участках,  $T$  — средняя суточная температура воздуха,  $P$  — осадки за сутки,  $D$  — средний суточный дефицит влажности воздуха.

Получение в результате оптимизации значения параметров модели для этих частных бассейнов даны в табл. 7.3.

Таким образом, используя параметры, приведенные в табл. 7.1 и 7.3, можно последовательно рассчитывать расходы воды от створа к створу. Для использования этой схемы при выпуске про-

Таблица 7.3

Параметры модели для бассейнов второго типа, использованные в хронологической схеме

Параметр	Единица измерения	Площадь бассейна		
		1	2	4
$h$	ч/см	2,50	3,12	2,67/1,5
$z$	—	1,0	0,7	0,34/0,95
$f_0$	мм/ч	0,64	0,98	10,0/1,06
$f_0$	мм/ч	0,16	0,21	0,06
$m$	1/мм	2,005	0,016	0,0/0,5
$t_1$	сут	1,15	1,04	0,56
$t_2$	сут	0,58	0,35	2,98
$M_1$	—	2,12	4,13	0,17
$M_2$	—	0,00	4,06	2,46
$W_{max}$	—	0,41	0,35	0,41
$h_0$	мм/(гПа·ч)	0,018	0,017	0,0/1
$h_0$	мм/(°C·сут)	1,49/6,0	1,61/6,0	2,1/7,19
$U_{max}$	—	—	—	0,45
$U_{min}$	—	—	—	2,68
$W_0$	—	0,10	0,10	0,10
$U$	—	0,13	0,13	0,13
$Q$	—	6,25/5,5	6,25/5,5	6,25/5,5
$Q_{max}$	г/см <sup>2</sup>	1,50	1,30	1,3/1,04

Примечание. В числителе — значения параметров для лесных участков, в знаменателе — для полей.

гноза необходимо выбрать способ задания информации на период заблаговременности. В данном случае информация задана следующим образом:

— для бассейнов второго типа температура и дефицит влажности воздуха приняты постоянными, равными соответствующим значениям на дату выпуска прогноза, а осадки — равными нулю. При выпуске прогноза в оперативном режиме лучше пользоваться краткосрочными (до 5 сут) прогнозами температуры воздуха и осадков;

— для бассейнов первого типа информация задана по-разному. Если входные створы колмаевые (с. Петрушь и с. Космо), расходы воды для них экстраполированы: на подъеме — то соотношению (2.78), на спаде — то соотношению (2.87). Для входных створов, являющихся одновременно выходными выше расположенного соседнего бассейна, на период заблаговременности не использованы прогнозы расходов воды в выходном створе предыдущего участка.

Для повышения точности (особенно для небольшой заблаговременности) прогнозы во всех створах корректированы с помощью статистического алгоритма адаптации (в. 2.4.3, зависимость (2.97)).

Прогноз для всей системы составлен на ЭВМ с помощью программы (приложение 2.6) в период открытого русла. Для выпуска прогноза потребовалась следующая информация:

— параметры моделей для всех бассейнов, приведенные в табл. 7.1 и 7.3 (эта информация не меняется от прогноза к прогнозу);

— данные о ежедневных осадках, температуре и дефиците влажности воздуха, в зимний период также данные снегостоянок, усредненные для 1, 2-го и 4-го бассейнов. Эти данные должны быть введены начиная с 1/VIII до даты выпуска прогноза, так как характеристика начальной влажности почвы задавалась 1/VIII;

— данные о ежедневных уровнях воды в выходных створах 6-го и 8-го бассейнов, а также о расходах воды в выходных створах остальных частных бассейнов не меньше, чем за 15 сут до выпуска прогноза.

Для сокращения объема входной информации от одного выпуска прогноза к другому предусмотрено накопление данных, так что необходимо ввести только данные, поступающие между этими сроками выпуска прогнозов.

Допустимая заблаговременность прогноза (для которой  $s/\sigma$  не превышает 0,8) несколько увеличивается вниз по течению. В табл. 7.4 даны полученные оценки прогнозов различной заблаговременности для всех створов. Следует отметить, что эти оценки получены без учета метеорологических прогнозов при экстраполяции входных данных на период заблаговременности. Опыт применения этой схемы в оперативной практике в течение двух лет (в период весеннего половодья) показал, что использование краткосрочных прогнозов температуры и осадков вместо экстраполяции позволяет повысить точность прогноза на 10—20 %.

Таблица 7.4

Оценка прогноза расходов (уровней) воды по участкам речной системы Печоры

Заблаговременность, сут				
1	2	3	4	5
$\frac{\sigma_1}{\sigma_0}$	$\frac{\sigma_2}{\sigma_0}$	$\frac{\sigma_3}{\sigma_0}$	$\frac{\sigma_4}{\sigma_0}$	$\frac{\sigma_5}{\sigma_0}$
р. Печора — с. Яшка (расход)				
0,37	0,48	0,62	0,62	0,66
р. Ижма — п. Приуральск (расход)				
0,63	0,61	0,68	0,73	
р. Печора — с. Троицко-Печорск (расход)				
0,80	0,56	0,85	0,80	0,66
р. Шугор — с. Метальнички (расход)				
0,51	0,58	0,76		
р. Печора — с. Усть-Шугор (расход)				
0,62	0,66	0,70	0,77	0,79
р. Печора — с. Усть-Кюкля (уровень)				
0,56	0,62	0,61	0,72	0,80
р. Уса — д. Адмыа (расход)				
0,50	0,69	0,88		
р. Печора — с. Усть-Уса (уровень)				
0,34	0,45	0,55	0,77	0,74

Примечание.  $\sigma_0, \sigma_1, \dots, \sigma_5$  — средняя квадратическая величина расходов (уровней) воды за один, двое и т. д. суток.

Пример прогноза для всей системы р. Печоры, составленного 21/У 1977 г., показан на рис. 7.2. Для сравнения на рисунке показаны также фактические расходы и уровни воды на период заблаговременности, не использованные в расчетах.

Пример 7.2. Автоматизированный прогноз притока воды в каскад волжско-камских водохранилищ.

Рассматриваемая схема представляет собой автоматизированную систему выпуска прогноза расходов воды в период весеннего

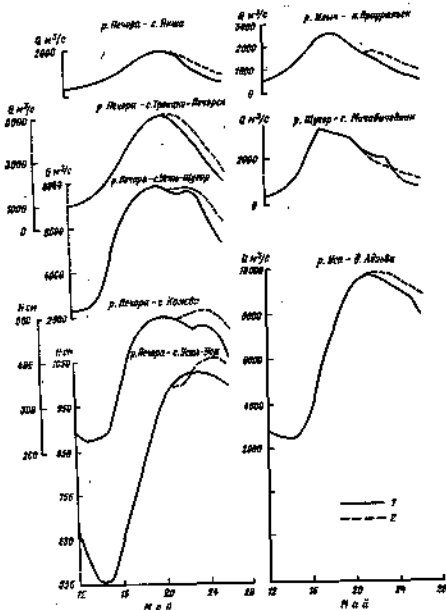


Рис. 7.2. Пример прогноза расходов и уровней воды, составленного 21/У 1977 г. с заблаговременностью до 5 сут до речной системы р. Печора.

1 — фактические данные, 2 — прогнозоточные данные.

позволяет для значительной части волжско-камского бассейна общей площадью 800 тыс. км<sup>2</sup>.

Система позволяет в автоматизированном режиме рассчитывать фактический ежедневный приток к каждому из шести водохранилищ; выпускать прогноз ежедневного притока с заблаговременностью 5 сут в основные водохранилища волжского каскада, включая Ивановское, Угличское, Рыбинское, Горьковское, Куйбышевское и Нижнекамское; составлять прогноз ежедневных расходов воды с указанной заблаговременностью р. Волги в Вятки соответственно у створов Старихи и Вятские Поляны; по 32 частям бассейна определять интенсивность снеготаяния и водоотдачи водосбора.

Автоматизированная система состоит из комплекса программ, осуществляющих подготовку исходной информации для прогноза, включая ее оцифрование и раскодировку поступивших гидрологических сообщений; формирование массивов входных и выходных данных; реализацию методов расчета и прогноза весеннего притока воды в крупные водохранилища, основанных на математической модели, приведенной в п. 6.2 данного выпуска Руководства.

Исходные данные для разработки схем и в выпуска прогноза. В качестве исходных данных для прогноза используют информацию, поступающую ежедневно из местных управлений по гидрометеорологии в виде телеграфных сводок о метеорологических элементах (температура воздуха и осадки) и о расходах воды в створех рек. Всего для выпуска прогноза используются данные по 130 гидрологическим постам и 98 метеорологических станциям. При каждом выпуске прогноза эту информацию раскодруют, осуществляют ее первичный контроль, сортируют по суточным интервалам времени, а также по отдельным районам водосборов. Объем гидрологической и метеорологической информации показан в табл. 7.5.

Обработка информации на ЭВМ. Оперативная гидрологическая информация по каналам связи поступает в ЭВМ.

Таблица 7.5

Объем ежедневной гидрометеорологической информации, требуемой для расчета и прогноза притока воды в водохранилища

Водохранилище	Количество гидропостов, данные метеорологических станций о ежедневных расходах воды		Число станций с данными об осадках и температуре воздуха
	для расчета фактического притока	для прогноза притока	
Ивановское	5	1	11
Угличское	4	—	7
Рыбинское	16	—	18
Горьковское	32	29	19
Куйбышевское	64	47	33
Нижнекамское	9	6	13
Итого	130	83	96

Осуществляется ее первичная обработка, а затем реализация численных схем гидрологических прогнозов.

Первичная обработка включает в себя следующие элементы: — основывание сводок и отдельных сообщений, поступающих в Гидроцентр СССР в общем потоке информации,

— определение типа кода,

— основывание даты и срока,

— определение передающей станции (название, местоположение),

— контроль сообщений в целях обнаружения ошибок, связанных с промежутой передачей данных.

— раскодирование телеграмм,

— размещение раскодированных телеграмм в памяти ЭВМ,

— преобразование информации к виду, удобному для дальнейшей обработки.

При составлении прогноза расчет производится с какого-то начального момента времени  $t_0$ . Поэтому исходную информацию представляют в виде удлиняющихся рядов, которые последовательно накапливают и хранят в течение некоторого периода времени на магнитных носителях ЭВМ. В тех случаях, когда информация о расходах воды отсутствует, их значения восстанавливают путем экстраполяции по расходам воды за двое предшествующих суток.

При выпуске краткосрочных прогнозов расходов воды в весенний период на основе моделей снеготаяния используют данные об ожидаемой температуре воздуха и осадках на 5 сут вперед, получаемые из метеорологических прогнозов. В алгоритме предусмотрен также автоматизированный прогноз температуры воздуха, основанный на экспоненциальном сглаживании. Однако для исключения грубых ошибок при этом должен осуществляться контроль опытным способом.

Общая схема прогноза. Схема прогноза построена по методу лексикома. Для части бассейнов прогноз составляют по метеорологическим данным на основе расчета снеготаяния (см. п. 6.2).

Для другой части створов прогноз основан на расчете трансформации воли паводков при условии, что от входных створов до замыкающих время дообегания составляет не менее 5 сут.

Общая упрощенная блок-схема прогноза приведена на рис. 7.3.

На схеме показаны все водохранилища, включенные в схему, и районы, объединяющие ряд рек, входящих в каждое водохранилище. Расчет и прогноз осуществлен последовательно для всех водохранилищ, начиная с Ивановского и кончая Куйбышевским.

Параметры и константы, необходимые для расчета, приведены в табл. 7.6.

Результаты расчетов выводят на печать в виде таблицы. В системе предусмотрено три типа выдачи результатов:

— сокращенная выдача, когда на печать выносятся ожидаемые расходы воды и замыкающих и промежуточных створов,

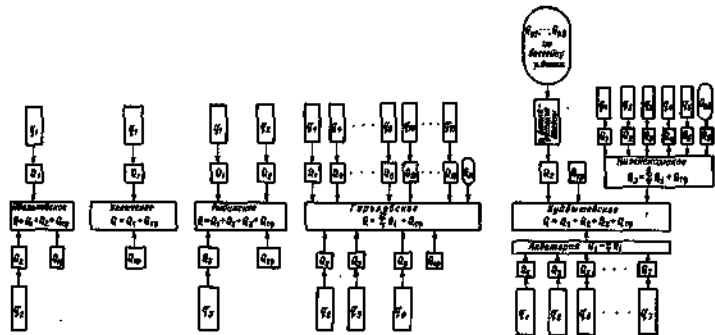


Рис. 7.3. Общая баланс-схема автоматизированного прогноза притоков воды для каскада водохранилищ.

$f_i$  — приток в речной сети, рассчитанный с учетом снегооттаивания;  $Q_i$  — трансформированные расходы фактических стоков для водохранилищ от снегооттаивания;  $Q_{1п}$  — фактические расходы врезки створов;  $Q_{1г}$  — расходы створовых дам.

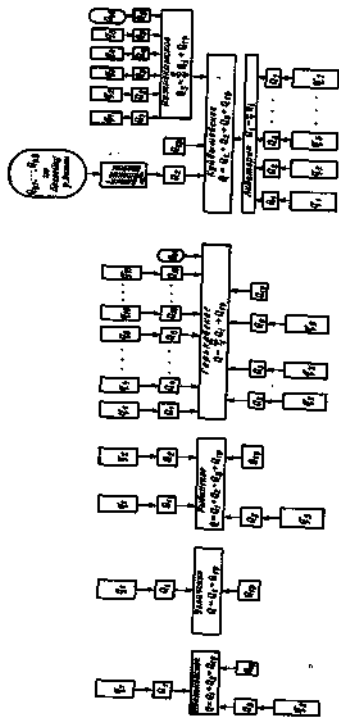


Рис. 7.3. Структура автоматического средства контроля уровня воды для каскада водохранилищ.

1... датчик; 2... усилитель; 3... интегрирующий элемент; 4... элемент с обратной связью; 5... исполнительный элемент.

$$f_1 \cdot f_2 \cdot f_3 \cdot f_4 \cdot f_5$$

Таблица 7.6

Константы для прогноза бегового притока воды с каскада водных объектов водохранилища (в числителе — для воды, в знаменателе — для дна)

Номер объекта	Река — пункт	Коэффициент суммарной инерции в цепи (с/сут)		Средняя скорость течения в м/сек	Средняя глубина в м	Число измерений в сутки	Число измерений в месяц	Число измерений в год	
		Числитель	Знаменатель						
<b>Ильинское водохранилище</b>									
1	Волга — Старина	4,4	7,72	170	0,45	21	4,2	1,3	
		2,4	5,67		0,40				
2	Лена — Еграс, Шоша — Мукулайно-Городище, Тьма — Ионтия, Тьрасы — Мельто	4,4	7,72	225	0,45				
		2,4	5,67		0,40				
<b>Углицкое водохранилище</b>									
1	Медвежья — Волжиге, Сосна, Нерль — Подол, Дубки — Вербихин	4,4	7,72	225	0,46	8	2,2	2,2	
		2,4	5,67		0,40	23			
<b>Рыбное водохранилище</b>									
1	Улейка — Сивино, Коросино — Сушино, Сутка — Речное, Илья — Ст. Илья, Сип — Игнатово, Кельма — Самца-2, Ягорья — Мостовая, Сагома — Радножа, Гада — Гавило, Мологи — Устьюшка	4,4	6,25	281	0,45	28	4,25	1,75	
		2,4	5,94		0,40	12	2,35	0,87	
2	Мологи — Устьюшка	4,4	6,25	221	0,45	30	6,65	2,05	
		2,4	7,29		0,4	22	3,41	1,15	
3	Жалоч — Шутово, Суда — Курьяново, Коваль — В. Двор, Ворон — Янчиново	4,4	5,67	315	0,58	30	10,0	1,16	
		2,4	7,72		0,50	28	5,28	1,53	
<b>Кубинское водохранилище</b>									
1	Цивиль — Туево	5	4,94	46,76	0,46	10	3	0,2	
2	Кубин — Чувшино, Буца — Чулково	5	6,25	26,04	0,40	8	4	0,2	
3	Тьма — Туево	5	5,25	15,05	0,40	6	6	0,3	
4	Матва — Пестрица	5	6,25	37,98	0,40	16	6	0,1	
5	Патва — Слобода, Потуринское, Зап — Пальчиново	5	6,25	35,99	0,40	16	6	0,2	
6	Дугай — Караваново	7	6,65	7,90	0,34	9	6	0,2	
7	Большой — Чермасин	5	4,94	70,02	0,43	24	6	0,3	

Номер района	Рек — ручьи	Коэффициент стабильности в штиль (0,97)	Коэффициент неравномерности в штиль (0,7)	Первоначальный расход воды в м <sup>3</sup> /сут	Коэффициент расхода при расходе воды в штиль (0,7)	Число суток при котором расход превышает первоначальный	Число суток при котором расход превышает первоначальный	Число участков в районе	Примерное значение
<b>Нижнекамские водохранилища *</b>									
1	Иж — Агура	4	6,25	45,7	0,40	15	4	0,32	
2	Нижнее течение р. Иж	5	4,94	15,05	0,45	15	3	0,35	
3	Быстрый Тазла — Айтзено, Барь — Малосуконское	4	6,25	70,0	0,40	15	4	0,37	
4	Соя — Мышарово	5	4,94	70,8	0,45	8	3	0,30	
5	Иж — Нигайбыково	5	4,94	142,4	0,45	16	3	0,30	
<b>Горьковские водохранилища</b>									
1	Касья — Рылово, Уралома — Востанно, Пазна — Воголово, Пещера — Чебаково	4	8,04	20,4	0,45	15	2,5	0,4	
2	Котрсом — Главаров Ям	2	8,75		0,40	7	0,5	0,1	
2	Соловца — Борятниково, Тупицкино — Овражки, Нерехта — Перехта	4	5,94	57,6	0,45	24	2	0,6	
3	Котрсом — Главаров Ям	2	4,25		0,40	22	1,5	0,5	
3	Соловца — Борятниково, Тупицкино — Овражки, Нерехта — Перехта	4	6,04	15,6	0,45	15	3	0,9	
4	Котрсом — Вуд	2	8,55		0,40	9	2,5	1,2	
4	Котрсом — Вуд	4	5,67	103	0,45	24	4,5	0,9	
5	Обнора — Шама, Соль — Верх. Жар	2	7,72		0,40	17	1,5	1	
5	Обнора — Шама, Соль — Верх. Жар	4	6,25	20,7	0,45	20	4	0,5	
6	Тубин — Борон, Шама — Рубцово, Давыдов — Любимово	2	5,94		0,40	14	3	0,4	
6	Тубин — Борон, Шама — Рубцово, Давыдов — Любимово	4	6,25	25,2	0,45	18	4	0,4	
7	Медя — Никонов, Покчи — Рыжково, Стедара — Шолохово	2	6,94		0,40	8	4	0,3	
7	Медя — Никонов, Покчи — Рыжково, Стедара — Шолохово	4	6,94	16,0	0,45	9	3	0,6	
8	Сунжа — К. Тисково, Шеста — Привольное	2	6,25		0,40	7	2	0,5	
8	Сунжа — К. Тисково, Шеста — Привольное	4	6,94	10,7	0,45	5	3	0,35	
9	Иемля — Семин	2	6,25		0,40	3	2	0,35	
9	Иемля — Семин	4	8,67	43,0	0,46	17	3	0,3	
10	Мера — М. Березово, Мислова — Заборье, Желитя — Келья, Сивитя — Покровское	2	7,72		0,40	18	3,5	2,3	
10	Мера — М. Березово, Мислова — Заборье, Желитя — Келья, Сивитя — Покровское	4	5,67	16,8	0,45	9	4	0,35	
11	Ноя — Буславо	2	7,72		0,40	15	3	0,2	
11	Ноя — Буславо	4	5,67	66,1	0,45	16	2	0,35	
12	Исраевый Лух — Юрово, Волчий Лух — Тамосино	2	7,72		0,40	7	1,5	0,3	
12	Исраевый Лух — Юрово, Волчий Лух — Тамосино	4	5,67	10,5	0,45	10	4	0,35	
13	Межа — Залетино	2	7,72		0,40	15	3	0,35	
13	Межа — Залетино	4	5,67	24,5	0,45	11	3,2	0,5	
		2	7,72		0,40	15	3,7	0,3	

\* Данные относятся по всему водосбору.

а также фактический, рассчитанный по расходам воды, и ожидаемый ежесуточный приток воды в водохранилища;

— расширенная выдacha, когда помимо результатов прогноза печатаются суточные значения сбегания воды для всех районов на дату выпуска прогноза и на 5 сут вперед;

— полная выдacha, которая содержит всю исходную гидрологическую и метеорологическую информацию, результаты расчета половодья от начала половодья до даты выпуска прогноза и на 5 сут вперед, а также ожидаемые расходы для всех районов и приток воды к водохранилищам. Полная выдacha позволяет анализировать всю исходную информацию и результаты расчетов за весь период половодья. Такой анализ дает возможность корректировать прогноз с учетом опыта и знаний специалиста. Практика показывает, что корректировка прогноза специалистами дает обычно положительные результаты в отношении уменьшения потерь.

За период испытания рассматриваемой системы по всем водным объектам было выпущено 560 прогнозов с заблаговременностью 1—5 сут. В целом ошибки прогнозов, составленные в оперативном режиме на 5 лет, удовлетворяют требованиям настоящей. Применение этой системы не требует перестройки сбора гидрометеорологической информации, но в то же время позволяет максимально использовать данные наблюдений существующих станций и постов. Несмотря на большое количество объектов, по которым составляется прогноз, затраты времени обслуживающего ее персонала сведены к минимуму.

## Глава 8. Прогноз стока по русловым запасам и притоку воды в речную сеть

В л. 2.2.1 были рассмотрены способы расчета объемов воды на участках рек. Разбив речную сеть на ряд участков и построив для каждого из них кривые объемов, можно определить запасы воды в определенной части речульной сети:

$$W = \sum_{i=1}^m W_i, \quad (8.1)$$

где  $W_i$  — объем воды на  $i$ -м участке,  $m$  — число участков.

Определение общего запаса воды во всей разветвленной речной сети, включающей и очень малые реки, сопряжено с трудностями, связанными с недостатком гидрометрических данных. В таких случаях целесообразно использовать ту или иную модель распределения водотоков различного порядка в речной сети.

### 8.1. Определение русловых запасов воды с учетом моделей строения речной сети

В основе таких моделей лежит группировка водотоков (рек) по их порядку. Самые малые периферические русла, получающие воду непосредственно со склонов, принимаются за водотоки первого порядка. Собираясь эти водотоки дают начало потокам второго порядка, которые в свою очередь образуют реки третьего порядка и т. д. Считается, что потоки одного порядка характеризуются близкими гидрологическими, гидравлическими и морфометрическими параметрами, которые взаимосвязаны и отражают особенности водотоков (рек) данного порядка. Общая длина реки  $n$ -го порядка ( $L_n$ ) есть сумма длин ( $l$ ) потоков от 1-го до  $n$ -го порядка, т. е.

$$L_n = \sum_{i=1}^n l_i$$

В табл. 8.1. приведены соотношения между общей длиной реки и ее порядком  $n$ , полученные Н. А. Ржаницыным для рек равнинных ландшафтов европейской части СССР.

Таблица 8.1  
Средние длины рек и их порядок для равнинных рек во Н. А. Ржаницыну

Длина реки, км	Порядок реки	Длина реки, км	Порядок реки	Длина реки, км	Порядок реки
0,8	1	16,0	6	338	11
1,5	2	81,0	7	620	12
2,5	3	57,0	8	1140	13
5,1	4	104	9	2000	14
9,3	5	190	10	3810	15

Сгруппировав в соответствии с этой таблицей все потоки речной системы и определив для каждой группы средние характеристики потоков и их число в группе, можно подсчитать русловые запасы воды по всей речульной сети по соотношению

$$W = \sum_{i=1}^s l_i N_i \omega_i \quad (8.2)$$

где  $l_i$ ,  $\omega_i$  — средние значения длины и площади поперечного сечения потоков  $i$ -го порядка;  $N_i$  — число потоков  $i$ -го порядка;  $s$  — максимальный порядок потока данной речной сети, т. е. порядок этой сети.

Для рек больших порядков (обычно больше 6-го) характеристики, входящие в соотношение (8.2), определяются по справочникам и данным гидрометрических наблюдений. Для большей части территории СССР эти данные обобщены в справочнике «Гидрологическая изученность» и в гидрологических ежегодниках.

Для более мелких потоков такие данные обычно отсутствуют и их приходится определять путем экстраполяции на основе соотношений, характеризующих строение речной сети.

Обобщив морфологические зависимости Н. А. Ржаницына, К. В. Горбунов получил следующие формулы, связывающие основные характеристики потоков различного порядка:

$$l_n = l_{n-1} + d/K_1 \quad (8.3)$$

$$N_n = \{(2,077 - 0,077n) \cdot [2,077 - 0,077(n + a)]\} N_{n-1} + K_2 \quad (8.4)$$

для периода межень

$$\omega_n = 0,013 e^{0,2n^2 - 0,001n^3} \omega_{n-1} + 2,1^a \quad (8.5)$$

где  $l_n$  и  $l_{n-1}$ ,  $N_n$  и  $N_{n-1}$ ,  $\omega_n$  и  $\omega_{n-1}$  — соответственно длина, количество и средняя площадь живого сечения водотоков  $n$ -го и  $(n+1)$ -го порядка;  $K_1$  — наиболее вероятное значение отношения длины потоков двух смежных порядков в данной речной сети, называемое обычно коэффициентом длины;  $K_2$  — наиболее вероятное значение отношения числа потоков одинакового порядка в речных сетях двух смежных порядков, иногда называемого коэффициентом бифуркации.

Значения коэффициентов длины и бифуркации колеблются в значительных пределах:  $K_1$  — от 1,3 до 2,5,  $K_2$  — от 2,5 до 4. Средние значения коэффициента длины составляют, согласно Ржаницыну, для равнинных рек степной и лесостепной зоны 1,83, для рек лесной зоны 1,41, а для рек с сильно заболоченными бассейнами 1,28. Среднее значение коэффициента бифуркации для равнинных рек составляет 2,5–2,7. Речная сеть горных районов характеризуется более высокими значениями коэффициентов  $K_1$  и  $K_2$ .

Используя зависимости (8.3)–(8.5), можно получить выражение для расчета запасов воды в речульной сети  $n$ -го порядка до записей в речульной сети  $(n+a)$ -го порядка в меженьный период:

$$W_n = \{(2,077 - 0,077n) \cdot [2,077 - 0,077(n + a)]\} \times \\ \times 0,013 e^{0,2n^2 - 0,001n^3} \cdot 0,686 W_{n-a} \quad (8.6)$$

Зависимости (8.3)–(8.6) приближенные, поскольку их коэффициенты могут существенно меняться для различных водосборов. Следует также учитывать, что зависимости (8.5) и (8.6) получены для меженьного периода и при прохождении паводков могут нарушаться. В связи с этим их целесообразно использовать для определения соответствующих характеристик потоков малого порядка (с 1-го по 5-й), сведения по которым отсутствуют в гидрологических ежегодниках и справочниках «Гидрологическая изученность». Аналогичные характеристики для потоков выше 6-го порядка необходимо определять по фактическим данным об уровнях воды, площади живого сечения и длине рек, помещаемым в указанных справочниках.

Р. А. Нсжиховский предлагает другую схематизацию речной сети для подсчета русловых запасов воды. Для описания структуры речной сети и его склона используют число створов, равноудаленных от истоков рек. Вся русловую сеть делят на крупную, среднюю и мелкую. К крупной речной сети обычно относят участки рек, ограниченные гидрометрическими створами, удаленными на 100—150 км от истоков. Для небольших бассейнов с площадью водосбора меньше 15 000 км<sup>2</sup> лучше использовать граничные створы, удаленные на 50 км, а для больших бассейнов ( $F > 100 000$  км<sup>2</sup>) — на 150 км. Если граничных створов мало ( $n_0 < 5$ ), то для повышения точности подсчета объема воды крупную русловую сеть лучше ограничивать створами с площадью водосбора 600, 2000 и 4300 км<sup>2</sup>, что примерно отвечает граничным створам, удаленным соответственно на 5, 100 и 150 км.

При подсчете объема воды в крупной речной сети обычно используют гидрометрические данные, а для подсчета запасов воды в средней и мелкой сети — морфометрические зависимости. Эту сеть разбивают на 10 групп, в каждую из которых включают реки, ограниченные створами, отстоящими от истоков на расстояниях 10, 20 и т. д. через 10 км. Из справочника по водным ресурсам определяют число створов, попавших в каждую градацию. Русловый запас (в кубических метрах) в этой сети определяют по соотношению

$$W_{\text{ср}} = 10^6 AM/\bar{v}, \quad (8.7)$$

где  $M$  — среднее для небольших рек (ограниченных створами, удаленными не более чем на 100 км от истоков) модуль расхода, км<sup>3</sup>/(с·км<sup>2</sup>);  $\bar{v}$  — скорости течения, м/с. Параметр  $A$  определяют по формуле

$$A = \frac{1}{100} (0,5n_0f_0 + n_1f_{10} + \dots + n_{10}f_{100} + 0,5n_{10}f_{100}), \quad (8.8)$$

где  $n_0, n_1, \dots, n_{10}$  — число створов, удаленных от истоков на расстояния 0, 10, ..., 100 км;  $f_0, f_{10}, \dots, f_{100}$  — средняя площадь водосборов для этих же градаций от истоков.

При подсчете числа рек с длиной меньше 10 км могут возникнуть затруднения из-за ограниченности сведений о них. В этом случае можно воспользоваться табл. 8.2.

При использовании средней скорости течения  $\bar{v}$  в гидрометрических створах будем получать некоторые заниженные объемы, так как эта скорость обычно больше средней скорости для всего малого бассейна. Поэтому можно использовать формулу

$$\bar{v} = 0,75v_{\text{макс}}^{0,25} v_{\text{ср}}^{0,75}, \quad (8.9)$$

где  $Q_{\text{макс}}$  — средняя многолетний максимальный расход воды, м<sup>3</sup>/с;  $i$  — средневзвешенный уклон реки от истока до пункта наблюдения, ‰;  $a$  — параметр, определяемый для рек с площадью водосбора от 200 до 5000 км<sup>2</sup> по табл. 8.3.

Таблица 8.3

Количество малых рек ( $l < 10$  км) для европейской части СССР на 1000 км<sup>2</sup> площади

Гидрометрическая величина	Рельеф бассейна	
	низкие равнины и низины	высокогорья и горы
Тухарская	122	107
Лесная	150	160
Лесостепная	60	65
Степная	30	35
Полупустынная	25	30

Таблица 8.2

Параметр  $a$  в формуле (8.9) для рек европейской части СССР

Характеристика рек	Морфометрические характеристики рек		$a$
	отношения средней ширины и средней максимальной глубины в пойме (или в долине)	отношения средней ширины и средней глубины в пойме	
Очень большая	400	40	0,12
	200	20	0,14
Большая	200	25	0,15
	150	20	0,16
Средняя	100	15	0,19
	70	10	0,22
Небольшая	40	5,0	0,26
	20	2,0	0,30
Отсутствует	15	1,3	0,32
	5,0	1,1	0,35

Среднюю площадь водотока ( $f_i$ ) каждой градации  $i$  можно определять по формуле

$$f_i = 0,58l_i^{0,76}, \quad (8.10)$$

При подсчете русловых запасов для водосбора с площадью  $F > 25 000$  км<sup>2</sup> можно значительно упростить расчеты, используя для расчета  $A$  вместо зависимости (8.8) следующую формулу:

$$A = aF + d, \quad (8.11)$$

где  $c, d$  — параметры, определяемые по табл. 8.4;  $F$  — общая площадь, соответствующая средней и мелкой речной сети.

Объемы, подсчитанные на основе моделей строения речной сети, обычно представляют собой лишь индекс русловых запасов.

Таблица 8.5

Расчет морфометрических характеристик речной сети Вязки (река 13-го порядка,  $F = 129\ 008 \text{ км}^2$ )

Длина реки, км	Порядок реки (аналогично) $n$	Число рек каждого порядка $N_n$	Суммарная длина рек каждого порядка $\sum L_n$ км	Средняя длина реки $L_n$ км $\frac{\sum L_n}{N_n}$	Средняя длина потока $L_n$ км $L_n = L_n - 1$	Число потоков высшего порядка $N_n$ $N_n = N_{n-1} + \dots + N_1$	Суммарная длина потоков высшего порядка $\sum L_n$ км	Площадь, охватываемая потоком высшего порядка в данном месте, км <sup>2</sup> по формуле (8.1)
1	2	3	4	5	6	7	8	9
1,1-1,2	1	Нет сведений						
2,1-3,5	2	То же				80 000 *	32,0	0,0006
3,6-6,5	3	"				32 000 *	22,4	0,0018
6,6-10	4	"				12 000 *	15,6	0,0064
11-24	5	"				5 000 *	11,5	0,020
25-44	6	"				1 700 *	7,6	0,063
45-80	7	191	8370	17,1	0,4 *	767	5,7	0,145
81-147	8	183	5645	30,8	0,7 *	276	4,2	0,30
148-266	9	57	3545	62,2	1,3 *	98	2,8	1,0
266-510	10	20	2201	110	2,3 *	36	1,7	
511-880	11	13	3091	190	4,5 *	16	1,3	
881-1870	12	4	1406	374	8,2 *	5	0,9	
	13	0	0	0	164	1	0,3	
		1	1314	1314	324 *	1	0,4	

\* Данные получены путем экстраполяции (рис. 8.1).

\*\* Границы потоков 12-го и 13-го порядков определены на карте-схеме, после чего на данную область определены непосредственно по среднему, а не по формуле, так это сделано для потоков с 11-го по 7-й порядок.



где  $N'_i$  — число рек главного порядка, всегда равное единице (в данном случае  $z=13$ ).

Средняя длина потока  $n$ -го порядка равна разности средней длины рек данного и предыдущего порядка:

$$l_n = L_n - L_{n-1} \quad (8.13)$$

Подставив соответствующие данные табл. 8.5 в формулы (8.12) и (8.13), найдем значения  $N_n$  и  $l_n$  для потоков с 11-го до 8-й порядков. Поскольку реки 12-го порядка в Вятку не впадают, границу между потоками 12-го и 13-го порядков назначаем условно в точке падения в Вятку р. Пижмы (11-го порядка). Длину этих потоков затем определяем по данным срезочника.

Для определения значений  $l_n$  и  $N_n$  более мелких потоков построим зависимости  $l_n = f_1(n)$  и  $N_n = f_2(n)$  на полулогарифмической сетке по данным, рассчитанным для потоков больших порядков (рис. 8.1). Эти зависимости отражают закономерности, описываемые формулами (8.3) и (8.4). Как видно на рис. 8.1, эти зависимости достаточно хорошо аппроксимируются прямыми линиями. Продолжив эти прямые в область потоков малых порядков, с рис. 8.1 можно снять соответствующие величины для потоков с 1-го по 8-й порядков.

В графе 8 табл. 8.5 приведена суммарная длина потоков, разная произведению  $l_n N_n$ . Подставив их в формулу (8.2), получим выражение для расчета запасов воды в речной сети Вятки:

$$W_{1-11} = 32,0a_1 + 22,4a_2 + 15,6a_3 + 11,5a_4 + 7,6a_5 + 5,7a_6 + 4,2a_7 + 2,8a_8 + 1,7a_9 + 1,3a_{10} + 0,9a_{11} + 0,3a_{12} + 0,4a_{13}, \quad (8.14)$$

где средняя площадь поперечного сечения потока  $a_i$  выражена в тысячах квадратных метров, а запасы воды — в кубических километрах.

Площадь поперечного сечения потока рассчитываем по зависимости ее от уровня воды  $H$  на гидрологических постах в бассейне Вятки, затем усредняем для всех потоков данного порядка. Зависимость  $a = \varphi(H)$  строим заблаговременно по данным таблицам изверженных расходов, помещаемых в гидрологических ежегодниках т. 4, вып. 5—7 (либо публикующихся отдельными изданиями). Если пост не расходный, то зависимость  $a = \varphi(H)$  строим по данным поперечного профиля гидрологического поста. Всего таким образом по бассейну Вятки можно построить более 40 зависимостей  $a = \varphi(H)$ , но более 90% из них будет принадлежать потокам (8—13)-го порядков. Следовательно, потоки малых порядков, число которых велико (табл. 8.5), остаются практически не освещенными данными изобудней за уровнем воды.

Для приближенной оценки запасов в малых потоках используем морфометрическую закономерность (8.5), позволяющую экстраполировать площадь поперечного сечения потоков. С ее помощью площадь сечения потоков с 1-го по 7-й порядков выражаем через площадь сечения потока 8-го порядков (графа 9 табл. 8.5).

Умножив затем отношение  $a_n/a_8$  (графа 9) на соответствующую ему величину  $l_n N_n$  (графа 8), получим соотношения для расчета

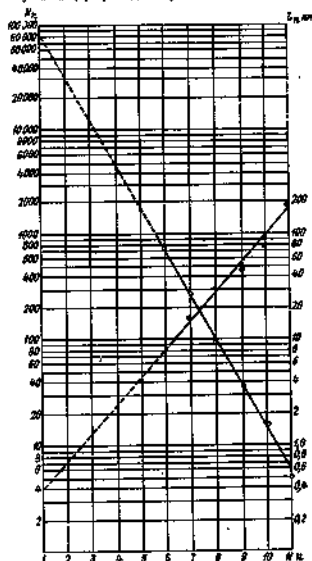


Рис. 8.1. Экстраполяции числа ( $N_n$ ) и средней длины ( $l_n$ ) потоков речной сети Вятки.

запасов воды в потоках малых порядков через площадь сечения потока 8-го порядков:

$$W_1 = 1,66a_8; \quad W_2 = 0,83a_8; \quad W_3 = 0,40a_8; \quad W_4 = 0,23a_8; \\ W_5 = 0,084a_8; \quad W_6 = 0,034a_8; \quad W_7 = 0,016a_8,$$

Таблица 8.6

Расчет запаса воды в речной сети Вятки 30/IV 1957 г. по формуле (8.16)

Рекка-пункт	Уровень воды Н см	Площадь водосбора в км <sup>2</sup> (S) км <sup>2</sup>
Потоки 6-го порядка		
Федоровки — Комарово	454	130
Белая Колуница — Клиновка	263	78
Медянка — Песок	394	132
Леска — Ибра	301	137
Средняя площадь $\omega_6$ км <sup>2</sup>	119	
Запас воды $W_{1-6} =$ $= 6,1 \cdot 10^{-2}$ км <sup>3</sup>	0,73	
Потоки 8-го порядка		
Вятка — Краснополье	364	166
Черная Колуница — Тросма	362	53
Леска — Летка	372	106
Чепца — Подом	718	1650
Волынка — Великоречье	579	390
Застрель — Шеняшино	590	440
Ярва — Нарисно	270	65
Немка — Лугинка	311	250
Ван — Новакск	668	500
Лушви — Шиньки	935	179
Лобань — Рыбинск Ва- тга	784	360
Средняя площадь $\omega_8$ км <sup>2</sup>	368	
Запас воды $W_8 =$ $= 1,7 \cdot 10^{-2}$ км <sup>3</sup>	0,96	
Потоки 10-го порядка		
Вятка — Евстринское	564	920
Кобра — В. Горюканы	318	310
Кобра — Коротык	367	140
Летка — Кляма	619	214
Чепца — Глазов	696	3400
Молома — Пермское	492	490
Пижма — Худяки	615	3980
Кляма — М. Семск	590	282
Вала — Вижок	543	278
Средняя площадь $\omega_{10}$ км <sup>2</sup>	996	
Запас воды $W_{10} =$ $= 1,3 \cdot 10^{-2}$ км <sup>3</sup>	1,30	
Потоки 11-го порядка		
Вятка — Устьевская	466	730
Чепца — Глазов	366	1370
Вятка — Слободной	372	1110

Рекка-пункт	Уровень воды Н см	Площадь водосбора в км <sup>2</sup> (S) км <sup>2</sup>
Молома — Шетиньки	586	740
Кляма — Вижок	736	720
Средняя площадь $\omega_{11}$ км <sup>2</sup>	965	
Запас воды $W_{11} =$ $= 0,9 \cdot 10^{-2}$ км <sup>3</sup>	0,88	
Потоки 12-го порядка		
Вятка — Кара	408	2440
Вятка — Котельники	553	4080
Средняя площадь $\omega_{12}$ км <sup>2</sup>	3230	
Запас воды $W_{12} =$ $= 0,3 \cdot 10^{-2}$ км <sup>3</sup>	0,97	
Потоки 13-го порядка		
Вятка — Арск	624	3680
Вятка — В. Пермское	393	4000
Вятка — Вятское По- долье	782	3900
Вятка — Перемышль По- долье	1111	4880
Средняя площадь $\omega_{13}$ км <sup>2</sup>	4056	
Запас воды $W_{13} =$ $= 0,4 \cdot 10^{-2}$ км <sup>3</sup>	1,63	
Суммарный запас воды		
$W_{1-13} = \sum_{i=1}^{13} W_i = 6,15$ км <sup>3</sup>		

а суммарный запас в потоках малого порядка, следовательно, будет:  $W_{1-13} = 3,24$  км<sup>3</sup>. Подставив последнее соотношение в формулу (8.14), получим упрощенную формулу, по которой можно делать практический расчет запасов воды в речной сети Вятки на любую дату:

$$W_{1-13} = 6,1\omega_6 + 1,7\omega_8 + 1,3\omega_{10} + 0,9\omega_{11} + 0,3\omega_{12} + 0,4\omega_{13} \quad (8.15)$$

Пример расчета запаса воды для Вятки на 30/IV 1957 г. приведен в табл. 8.6.

Расчитанный суммарный запас воды составил 6,15 км<sup>3</sup>, причем около 80 % этой воды оказалось сосредоточенной на нижних участках средних и крупных рек (в потоках 10—13-го порядка).

Расчитанный запас воды в речной сети, как показывают исследования, обычно несколько ниже действительного. Это связано с тем, что площадь поперечного сечения в гидрометрических створах, как правило, на 20—40 % меньше средней на участке площади сечения потоков (гидрометрические створы специально выбирают в местах с неширокой поймой). Если полученные запасы

водой показывают как индекс действительных запасов, например при прогнозе по ним стока, то это занижение можно не учитывать. Если же запасы воды необходимо определить более точно, например при составлении руслового водного баланса, то в вычислениях описанным методом запасы воды в речной сети необходимо ввести поправочный коэффициент, равный среднему отношению запасов, рассчитанных по морфометрическим характеристикам,



Рис. 8.2. Схема русловой сети бассейна р. Сож до г. Гомеля.

Римские цифры — номера участков кружной русловой сети, арабские цифры — номера створов по табл. 8.7.

к запасам, рассчитанным по уравнению водного баланса речной сети.

**Пример 8.2.** Определение русловых запасов р. Сож до г. Гомеля (способ Р. А. Нежиловского).

Река Сож до г. Гомеля имеет площадь водосбора  $F=36\ 900\ \text{км}^2$  и длину  $L=543\ \text{км}$ . На этом участке владеют четыре больших притока: Остер, Проня, Бессаль и Ипуть. Поскольку главных створов, удаленных на 100 км от истоков, в данном бассейне всего пять, крупную русловую сеть ограничили сверху створами с площадью  $f_{\text{пр}}=f_{\text{ст}}=2060\ \text{км}^2$ . Выделенная таким образом крупная русловая сеть разделена на девять относительно бесприточных участков (рис. 8.2), которые вместе с гидрометрическими створами и формулами для вычисления средних расходов воды  $\bar{Q}$  на них указаны в табл. 8.7.

На большинстве участков скорость течения  $\bar{V}$  не остается постоянной при изменении расхода воды  $\bar{Q}$ , но и лет необходимыми для построения связей  $\bar{V}=\bar{V}(\bar{Q})$ . Поэтому для всех участ-

Таблица 8.7

К вычислению объема воды в кружной русловой сети бассейна р. Сож до г. Гомеля

№ участка	Участок	Длина, км	Средняя скорость, м/с	Формулы для определения среднего расхода воды $\bar{Q}$ м <sup>3</sup> /с
I	р. Сож, створ 1/ао — устье р. Остера	82	0,65	$\bar{Q} = Q_1 + 0,5Q_2$
II	р. Сож, устье р. Остера — устье р. Проня	132	0,60	$\bar{Q} = Q_3$
III	р. Сож, устье р. Проня — шт. Чечерск	94	0,64	$\bar{Q} = 0,5(Q_4 + Q_5)$
IV	р. Сож, шт. Чечерск — г. Гомель	87	0,67	$\bar{Q} = 0,7Q_6 + 0,3Q_7$
V	р. Остер, створ 1/ао — устье	120	0,40	$\bar{Q} = 0,9Q_8$
VI	р. Проня, створ 1/ао — устье	81	0,69	$\bar{Q} = 0,5(Q_9 + Q_{10})$
VII	р. Бессаль, створ 1/ао — устье	220	0,49	$\bar{Q} = 0,5(Q_{11} + Q_{12})$
VIII	р. Ипуть, створ 1/ао — устье р. Удича	130	0,38	$\bar{Q} = 1,3Q_{13}$
IX	р. Ипуть, устье р. Умеч — устье	160	0,38	$\bar{Q} = 1,3Q_{13}$

Примечание. Порядковый номер гидрометрического створа соответствует номеру при  $Q$ : 1) р. Сож — г. Удочы, 2) р. Сож — г. Чечерск, 3) р. Сож — г. Славгород, 4) р. Сож — шт. Чечерск, 5) р. Сож — г. Гомель, 6) р. Вихра — с. Куровичи, 7) р. Остер — с. Ходуны, 8) р. Проня — с. Вуляно, 9) р. Проня — с. Дятла, 10) р. Бессаль — с. Волыковичи, 11) р. Бессаль — с. Светловожи, 12) р. Ипуть — с. Крутояр, 13) р. Ипуть — с. Удичица.

ков принята линейная зависимость  $\bar{W}=\bar{W}(\bar{Q})$ , т. е.  $\bar{W}=\bar{W}(\bar{Q})/F$  ( $\bar{W}$  в млн м<sup>3</sup>,  $F$  в м. в. в. м. Значения  $\bar{W}$ , найденные отчасти по наблюдениям в гидрометрических створах (с уменьшением в среднем на 20 %) и отчасти по времени добегания гребней паводков, приведены в табл. 8.7. По данным этой таблицы для подчета объема воды (в млн м<sup>3</sup>) в кружной русловой сети после приведения подобных членов получаем выражение

$$\begin{aligned} W_{\text{кр}} = & 0,13Q_1 + 0,22Q_2 + 0,09Q_3 + 0,28Q_4 + 0,08Q_5 + 0,05Q_6 + \\ & + 0,28Q_7 + 0,07Q_8 + 0,07Q_9 + 0,27Q_{10} + 0,27Q_{11} + \\ & + 0,48Q_{12} + 0,50Q_{13}. \end{aligned} \quad (8.16)$$

где индексы при расходах соответствуют номерам гидрометрических створов по табл. 8.7.

Объем воды в средней в мелкой русловой сети определяем по уравнению (8.7). Для этого вычисляем коэффициент  $A$  и средние для небольших рек (отграниченных створами, удаленными от истока не более чем на 100 км) модули стока  $M$  и скорости течения воды  $V$ . Коэффициент  $A$  находим по формуле (8.11), для которой параметры  $c$  и  $d$  берем из табл. 8.4. Поскольку рассматриваемая средняя и мелкая русловая сеть ( $0 < i < 100$ ) расположена

в лесостепной зоне, то  $c=0,035$ ,  $d=43,1$ . В итоге  $A=0,035 \times 38\ 900 + 43,1 = 1400$ .

Для вычисления среднего модуля расхода выбираем реки-аналоги, расположенные равномерно по территории бассейна, которые можно считать репрезентативными

$$\bar{M} = \frac{1}{8} \left( \frac{Q_{14}}{188} + \frac{Q_{15}}{185} + \frac{Q_{16}}{171} + \frac{Q_{17}}{173} + \frac{Q_{18}}{1180} \right),$$

где индексами при расходах обозначены створы: 14 — р. Белая Натопа — с. Нисаревца ( $F=158 \text{ км}^2$ ), 15 — р. Лобжаника — с. Поля ( $F=130 \text{ км}^2$ ), 16 — р. Пролях — г. Горки ( $F=171 \text{ км}^2$ ), 17 — р. Унеча — г. Унеча ( $F=173 \text{ км}^2$ ) и 18 — р. Унеча — с. Лопатин ( $F=1180 \text{ км}^2$ ).

Расчетную среднюю скорость течения  $B$ , равную  $0,35 \text{ м/с}$ , находим путем осреднения по четырем небольшим рекам-аналогам, длина которых  $l < 100 \text{ км}$ . Для этого среднюю скорость каждой реки-аналога вычисляем по формуле (8.9), для которой параметр  $a$  берем из табл. 8.3.

В результате для подсчета объема воды в средней и мелкой русловой сети ( $W_{ср.м}$  млн  $\text{м}^3$ ) получаем уравнение

$$W_{ср.м} = 5,06Q_{14} + 6,15Q_{15} + 4,68Q_{16} + 4,63Q_{17} + 0,68Q_{18}. \quad (8.17)$$

По уравнениям (8.16) и (8.17) рассчитываем запасы, суммарные значения которых приведены в табл. 8.8.

Таблица 8.8

Исходные данные для построения эмпирических зависимостей р. Сож у г. Гомель

Год	Дата вскрытия притока	Объем воды в крупной, средней и мелкой русловой сети $W_{ср.м}$ в млн $\text{м}^3$	Минимальный расход в момент половодья р. Сож у г. Гомель и время его наступления		
			$Q_{мин}$ м $^3$ /с	дата	$\Delta T$ сут
1949	9/IV	807	1470	16/IV	10
1950	7/IV	350	428	20, 31/IV	13 и 14
1951	31/III	2270	3960	6/IV	8
1952	16/IV	922	966	24/IV	8
1953	1/IV	2515	2910	6, 7/IV	5 и 6
1954	10/IV	1181	888	15/IV	5
1955	13/IV	628	1170	23, 24/IV	10
1956	18/IV	3070	4740	23/IV	5
1957	4/IV	860	1060	13/IV	8
1958	18/IV	3950	4490	29/IV	5
1959	30/III	728	890	9/IV	10
1960	12/IV	931	879	20/IV	8
1961	18/III	428	879	26/III	13
1962	8/IV	1618	3140	13/IV	4
1963	15/IV	1171	2230	16/IV	4
1964	12/IV	1177	1920	19/IV	7
1965	19/IV	631	880	27/IV	8
1966	4/III	904	1270	10/III	6
	14/III	976	1130	18/III	4
	2/IV	774	973	9/IV	7

## 8.2. Прогноз стока по запасам воды в русловой сети и притоку

Эти прогнозы основаны на зависимости

$$\bar{Q}_{t+\delta} = f(W_k, q_{t+\delta}), \quad (8.18)$$

где  $\bar{Q}_{t+\delta}$  — средняя расход воды за период заблаговременности прогноза  $\delta$ ;  $W_k$  — условные запасы воды в момент выпуска прогноза  $t$ ;  $q_{t+\delta}$  — приток воды к русловой сети за период заблаговременности прогноза.

По мере удлинения периода времени, на который составляется прогноз, уменьшается роль запасов, накопленных к моменту выпуска прогноза, и увеличивается роль последующего притока. Следовательно, заблаговременность такого прогноза зависит от интенсивности сбратки условных запасов и притока и может значительно меняться для различных рек (прежде всего от размера водосбора) и от сезона года.

В периоды летней и зимней межени заметного поступления поверхностных вод нет и прогноз может быть составлен только по данным о условных запасах воды в момент прогноза:

$$\bar{Q}_{t+\delta} = f(W_k). \quad (8.19)$$

Такие зависимости используют и в том случае, если приток в русловую сеть за период заблаговременности существует, но значимость его в многолетнем разрезе не очень велика.

При построении эмпирических зависимостей типа (8.19) запаса воды надо учитывать только в той части речной сети, с которой вода проходит через замыкающий створ в течение периода осреднения представляемого стока. Для этого на карте крохотной добогатая русловой стока выделают зону между изодройной, проходящей через замыкающий створ, и изодройной, удаленной от него на  $\delta$  сут. Для этой зоны и подсчитывают условные запасы.

Иногда удается построить зависимости с заблаговременностью, заметно превышающей время добогатия в русловой сети бассейна. Это чаще всего связано с малыми некоторой теждельца в изменении притока за период заблаговременности или с его малостью по сравнению с подземным стоком за этот же период.

Во время весеннего половодья и дождевых паводков приток воды в речную сеть резко меняется за период заблаговременности прогноза и зависимости вида (8.19) выражены слабо. В этих случаях необходимо учитывать последующий приток, т. е. строить зависимости (8.18) с двумя переменными.

Для расчета притока воды можно воспользоваться способами, изложенными в гл. 2.3.1. Сложность состоит в том, что эти способы позволяют определить приток только до момента выпуска прогноза, поэтому на период заблаговременности его необходимо экстраполировать. Ряд наиболее часто используемых способов экстраполяции рассмотрен в п. 2.4.2. Следует отметить, что все эти

способы дают сравнительно хорошие результаты для периода спада уровней и значительно хуже для периода подтопа. Поэтому способ прогноза, основанный на соотношении (8.18), чаще всего используют после наступления максимума притока. Для довольно крупных рек максимум притока воды в русловой сети наблюдается значительно раньше максимума расходов воды в замыкающем створе. Это обстоятельство используют при прогнозах  $Q_{\max}$  и  $H_{\max}$  по эмпирическим зависимостям  $Q_{\max} = f(W_{\max})$ , либо  $H_{\max} = f(W_{\max})$ .

Рассмотренные в п. 2.3.1 способы расчета притока довольно трудоемки и требуют привлечения обширной гидрометрической информации. При недостаточной освещенности водосбора данных наблюдений может быть использован приближенный прием, основанный на разделении объема стока за предсказываемый период на две составляющие, определяемые уже известными к моменту составления прогноза запасам воды в русловой сети, и поступлением воды в русло за период заблаговременности. В качестве характеристики запаса воды в русловой сети, известного к моменту составления прогноза, используют средние значения за какой-либо период времени расхода воды  $Q_w$ . Практически деление на две составляющие объема стока осуществляют путем построения графика зависимости (8.19) без учета притока. На этой зависимости проводят прямую линию, ограничивающую точки со стороны оси  $W_t$ , и проходящую через начало координат. Уравнение этой линии имеет вид

$$Q_w = aW_t \quad (8.20)$$

где  $a$  — тангенс угла наклона этой линии к оси  $W_t$ .

Если положить, что сток, определяемый уравнением (8.20), обусловлен уже имеющимися запасами воды, то последующий приток в русловой сети будет равен разности между фактическим стоком за период прогноза и рассчитанным по зависимости (8.20):

$$Q_{t, t+\Delta} = Q_{t, t+\Delta} - aW_t \quad (8.21)$$

Конечно, такое разделение носит условный характер, однако позволяет получить довольно простой способ учета притока.

В этом случае, как и при прямом определении притока, для прогноза необходимо экстраполировать значения  $Q_t$  на период заблаговременности. При этом можно использовать прием экстраполяции, изложенные в п. 2.4.2. Иногда для экстраполяции  $Q_t$  строят зависимость вида

$$Q_{t, t+\Delta} = f(q_t) \quad (8.22)$$

где  $q_t$  — приток к русловой сети, рассчитанный по гидрометрическим данным к моменту выпуска прогноза.

Такой прием позволяет составить прогноз несколько раньше, так как максимум значения  $q$  наблюдается раньше, чем  $Q_t$ .

С учетом соотношения (8.22) можно записать прогнозируемую зависимость

$$Q_{t, t+\Delta} = aW_t + f(q_t) \quad (8.23)$$

Пример 8.3. Прогноз высоты и времени наступления пика весеннего половодья р. Сож у г. Гомеля по русловым запасам.

Используем данные о русловых запасах, подсчитанных по методу Немжиновского в примере 8.2.

Дата выпуска прогноза соответствует моменту прохождения максимума половодья на двух сравнительно небольших реках: р. Сож у с. Укошес ( $F=2600 \text{ км}^2$ ) и р. Бесель у с. Светловичи

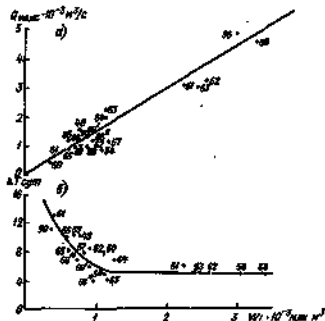


Рис. 8.3. Зависимости  $Q_{\max} = f(W_t)$  (а) и  $\Delta T = f(W_t)$  (б) для р. Сож у г. Гомеля.  
Числа у точек — годы.

( $F=5010 \text{ км}^2$ ). Эти реки расположены соответственно в верхней и нижней частях бассейна и являются достаточно показательными в отношении времени наступления пика половодья на средних и малых реках бассейна. Разница в датах пика половодья на этих двух реках в большинство лет мала (1—3 сут), что не создает трудностей при выборе даты выпуска прогноза. В отдельные годы это различие составляет 4—5 сут. В этих случаях прогноз составляют на среднюю дату пиков половодья указанных рек, но не позднее, чем через 2 сут после максимума на одной из них.

По русловым запасам на указанные даты, максимальным расходам воды у г. Гомеля и времени их наступления за 1949—1966 гг. (табл. 8.8), строим зависимости для прогноза максимального расхода весеннего половодья  $Q_{\max} = f(W_t)$  и времени его наступления  $\Delta T = f(W_t)$  (рис. 8.3). Заблаговременность прогноза

составляет 5—6 сут в многоводные годы и 12—13 сут в маловодные. Точность зависимости для предсказания расходов  $Q_{t+5}$  характеризуется отношением  $s/\sigma_4=0.47$ , а для прогноза  $\Delta T$  это отношение составляет 0,69.

**Пример 8.4.** Прогноз средних за 5 сут расходов водоем р. Обь у г. Барнаула ( $F=169\,000$  км<sup>2</sup>) по русловым запасам.

Запасы воды в русловой сети определяем по расходам воды в трех створах: р. Катунь — с. Сростки ( $Q_K$ ), р. Бия — г. Бийск ( $Q_B$ ) и р. Обь — г. Барнаул ( $Q_0$ ). Время добегания до верхних створов составляет соответственно 1,5 и 2 сут; от верхних створов до г. Барнаула — 3,5 сут. Таким образом, общее время добегания к замыкающему створу составляет примерно 5 сут, что и явилось основанием для разработки методики прогноза средних за 5 сут расходов воды.

С учетом времени добегания на указанных участках можно записать выражение для расчета русловых запасов:

$$W = 1,5 \frac{Q_K}{2} + 2,0 \frac{Q_B}{2} + 3,5 \frac{Q_K + Q_B + Q_0}{2} = \\ = 2,5Q_K + 2,75Q_B + 1,75Q_0.$$

По этому соотношению были рассчитаны русловые запасы в период прохождения весеннего половодья с 1964 по 1983 г. На рис. 8.4 приведена зависимость этих запасов с усредненными по пятидневкам расходами воды. Зависимость оказалась линейной и хорошо аппроксимируется формулой

$$Q_{t+5} = 0,27W_t.$$

**Пример 8.5.** Прогноз среднего декадного стока р. Ока у с. Нижнего Избылка по русловым запасам и притоку воды.

Площадь водосбора до с. Нижнего Избылка 224 000 км<sup>2</sup>. Русловые запасы вычисляем в зоне речной сети с декадным прогнозом воды по уравнению

$$W_t = \sum_{i=1}^5 \tau_i Q_i = 0,1Q_1 + 0,7Q_2 + 0,8Q_3 + 0,4Q_4 + 1,1Q_5. \quad (8.24)$$

где индексы при  $Q$  означают створы на Оке: 1 — с. Половское ( $F=99\,000$  км<sup>2</sup>), 2 — г. Касимов ( $F=130\,000$  км<sup>2</sup>), 3 — г. Муром ( $F=188\,000$  км<sup>2</sup>), 4 — с. Нижний Избылок, 5 — г. Ковров на р. Клязьма ( $F=24\,900$  км<sup>2</sup>).

При определенных коэффициентов в уравнении (8.24), зависящих от постоянного времени добегания на участках реки, последнее было выражено в значениях расчетной единицы, равной 5 сут. Расход воды  $Q_0$  в створе, расположенном на вхождении добегания руслового стока, равной 10 сут, до с. Нижнего Избылка, находим

путем интерполяции расходов воды на участке Половское—Касимов с учетом соотношения времени добегания:

$$Q_0 = 0,4Q_1 + 0,6Q_2. \quad (8.25)$$

По известным значениям средних декадных расходов воды  $Q_{t+5}$  и рассчитанным русловым запасам в момент прогона  $t_0$  строим график  $Q_{t+10} = f(W_{t_0})$ , в котором по старшим оси русло-

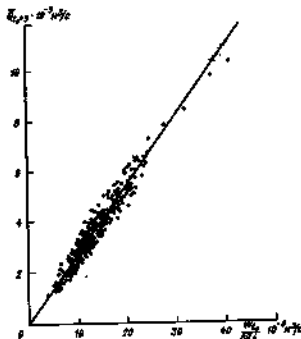


Рис. 8.4. Зависимость для прогноза среднего десятидневного стока р. Ока у г. Барнаула.

вых запасов проводим прямую. Аналитическое выражение этой прямой имеет вид

$$Q_{t+10} = 0,58W_{t_0}$$

где 0,58 — значение тангенса угла наклона прямой к оси русловых запасов воды.

Используя это выражение и значения средних декадных расходов, по выражению (8.21) получаем ряд значений составляющей, обуславливаемой последующим притоком воды в русловую сеть:

$$Q_{t+10} = \bar{Q}_{t+10} - 0,58W_{t_0}$$

По этим значениям, начиная с максимума  $Q_{t+10}$ , строим график связи смежных значений и проводим среднюю линию,

аналитическое выражение которой имеет вид

$$Q_{q, t_0+n} = 0,45Q_{q, t_0-10}.$$

Складывая обе составляющие, получаем выражение для прогноза среднего декадного стока:

$$\bar{Q}_{q, t_0+n} = 0,58\bar{W}_{t_0} + 0,45Q_{q, t_0-n}. \quad (8.26)$$

При прогнозе по такой методике надо ежедневно или через день рассчитывать значения  $Q_{q, t_0-n}$ . Прогноз можно составлять с момента, когда  $Q_{q, t_0-n}$  достигнет максимума.

Также прогнозы можно составлять несколько раньше, если для задания составляющей  $Q_{q, t_0-n}$  на период заблаговременности воспользоваться зависимостью (8.22). При этом для расчета притока воды воспользуемся уравнением водного баланса всего участка (между 10-й изокротой и замыкающим створом):

$$q_t = Q_t - Q_0 + (W_{t_0} - W_{t_0-1}).$$

Расход воды  $Q_0$  определяем по соотношению (8.26), а  $W_{t_0}$  и  $W_{t_0-1}$  — по формуле (8.24).

Зависимость между  $Q_{q, t_0+n}$  и  $q_t$  (с момента наступления максимума притока  $q_t$ ) оказалась линейной, к ее можно аппроксимировать выражением

$$Q_{q, t_0+n} = 0,35q_t.$$

Тогда вместо зависимости (8.26) получим следующее уравнение для прогноза средних декадных расходов воды:

$$Q_{q, t_0+n} = 0,58\bar{W}_{t_0} + 0,35q_t.$$

### 8.3. Прогноз расходов воды по тенденциям и кривым спада

Эти способы прогноза основаны на использовании инерционности в гидрологических явлениях. Предполагается, что существующая в момент выпуска прогноза тенденция в изменении уровня или расхода воды сохраняется в течение некоторого времени. Это свойство позволяет применять методы экстраполяции хода уровней и расходов воды по тенденциям их изменения на некоторое время вперед. Один из приемов основывается на использовании связи между широкими интервалами времени либо между расходами, взятыми в различные моменты времени. Такая экстраполяция на короткий период (бóльший на спаде и меньший на подъеме) дает неплохие результаты для крупных рек. При увеличении заблаговременности формальная экстраполяция может приводить к нереальным результатам.

Более обоснованным является прогноз стока по кривым спада паводков и половодья, в котором используют как прием формаль-

ной экстраполяции, так и методы физического анализа явления истощения. Опыт показал, что при отсутствии значительного притока воды в речную сеть кривые спада различных паводков могут быть обобщены в виде одной типовой кривой. Для рек, вытекающих из озер, кривые спада наиболее устойчивы и между стоком предыдущего и последующих периодов в течение длительного времени сохраняются связь.

Наилучшие условия для прогноза по тенденциям имеются в паводках крупных рек, где подъем и спад уровня характеризуется плавностью и большой продолжительностью. В этом случае указанный метод может быть не только менее трудоемким, но и более точным, особенно при прогнозе с малой заблаговременностью (2—3 сут).

Возможность уверенного экстраполирования уровня или расхода воды на средних реках значительно уменьшится ввиду резких и непродолжительных подъемов и спадов уровня. Метод тенденций на малых реках, со средней продолжительностью устойчивых подъемов и спадов 5—8 сут, не может быть использован даже при заблаговременности прогноза 1 сут.

В практике используют два подхода при экстраполяции:

а) устанавливают зависимости, учитывающие закономерности хода уровней (расходов) в данном створе в течение предшествующего периода времени;

б) ищут типовые для данной реки формы хода уровней (расходов), например кривые спада половодья.

В первом способе чаще других используют зависимости вида:

$$H(t) = H(0) + at + bt^2, \quad (8.27)$$

$$H(t) = H(0) + at^m, \quad (8.28)$$

$$D = f(\Delta), \quad (8.29)$$

где  $H(0)$  и  $H(t)$  — уровень воды соответственно в момент времени  $t$ , равный 0 и  $t$ ;  $a$ ,  $b$ ,  $c$ ,  $m$  — коэффициенты;  $\Delta$  и  $D$  — изменения уровня (расхода) воды соответственно за короткий период времени  $\Delta t$  и более длительный ( $\Delta t + \delta$ );  $\delta$  — заблаговременность прогноза.

Для определения коэффициентов зависимости (8.27) и (8.28) преобразуют в линейные уравнения соответственно:

$$[H(t) - H(0)]/t = a + bt, \quad (8.30)$$

$$\lg[H(t) - H(0)] = \lg c + m \lg t. \quad (8.31)$$

Во всех этих случаях зависимости строят по данным за наибольший период времени и коэффициенты постоянно уточняют, что снижает их объективность и затрудняет использование в прогнозе. Соотношения (8.27) — (8.29) чаще используют на период подъема уровней воды для прогноза с малой заблаговременностью.

Для прогноза спада уровня предпочтительнее пользоваться вторым подходом, основанным на типовых кривых спада. Существует ряд способов установления типовых кривых спада.

В способе, предложенном А. В. Огнерским, учитываются различия в ходе спада, связанные со степенью наполнения русла. В этом случае строятся несколько типовых кривых по ежегодным кривым спада, сгруппированным по величине  $Q_{max}$ .

К. П. Воскресенский предложил строить среднюю многолетнюю кривую спада уровня по ежегодным кривым, выражаемым в относительных величинах: расход воды — в долях максимального расхода для данного года, а время — в долях продолжительности спада:

$$Q_i/Q_{max} = f(t/T_{cs}), \quad (8.32)$$

где  $Q_i$  — расход воды в  $i$ -й момент времени, считая от даты максимального расхода воды  $Q_{max}$ ;  $T_{cs}$  — продолжительность спада.

Чтобы использовать такую кривую спада для прогноза, необходимо помимо известной к моменту выпуска прогноза величины  $Q_{max}$  также знать  $T_{cs}$ . Поскольку последнюю можно определить только в конце спада, используют следующий приближенный способ ее предвычисления. Через несколько суток после начала спада (в момент  $t_1$ ) вычисляют отношение  $Q_{i1}/Q_{max}$  и по его значению с типовой кривой спада (8.32) снимают значение  $t_1/T_{cs}$ . Зная  $t_1$ , определяют продолжительность спада  $T_{cs}$ . После этого по кривой спада на каждые сутки можно определить  $Q_i/Q_{max}$ , а следовательно, и ход расхода воды на протяжении всего спада.

Для описания кривых спада используют также аналитические выражения

$$Q_t = Q_{max} \exp(-at) \quad (8.33)$$

или

$$Q_t = Q_{max} / (1 + \beta t), \quad (8.34)$$

где  $a$  и  $\beta$  — коэффициенты, которые зависят от строения речной сети бассейна, распределения запасов воды в речушной сети и их пополнения.

Коэффициенты  $a$  и  $\beta$  могут значительно меняться от года к году и даже в период спада для одного года. Поэтому первоначально определяют средние их значения за период спада для ряда лет, а затем строят графики связи полученных значений с характеристиками запасов воды в бассейне:

$$a = f(W) \text{ либо } \beta = f(W),$$

где  $W$  — запас воды в речушной сети, определенный на дату максимального расхода каждого года.

При большой изменчивости коэффициентов  $a$  и  $\beta$  в период спада строят обобщающие за ряд лет зависимости

$$a, \beta = f(t) \text{ либо } a, \beta = f(t).$$

Пример 8.6. Прогноз расходов воды по кривой спада годового р. Припяти у г. Мозыря.

Площадь бассейна р. Припяти 114 300 км<sup>2</sup> (длина 802 км). Значительная часть бассейна покрыта болотами. Интенсивность спада годового и его продолжительность зависят от высоты весеннего половодья и количества осадков за период спада. Осадки влияют в основном на интенсивность спада и редко влияют подьем уровня.

Для описания кривой спада воспользуемся выражением (8.34). Вначале определим значения  $\beta$ , преобразованного соотношением (8.34):

$$\beta = (\sqrt{Q_{max}/Q_t} - 1) T_{cs}. \quad (8.35)$$

Расчеты по этому соотношению выполнены за период с 1936 по 1960 г. для всех спадов годового. В табл. 8.9 приведем при-

Таблица 8.6

Расчет параметров  $\beta$ ,  $\bar{\beta}$  и  $\beta/\bar{\beta}$ , р. Припять — г. Мозырь, 1936 г.

Дата	Время от начала спада $t$	$Q_t$	$\frac{Q_{max}}{Q_t}$	$\sqrt{\frac{Q_{max}}{Q_t}}$	$\sqrt{\frac{Q_{max}}{Q_t}} - 1$	$\beta = (\sqrt{\frac{Q_{max}}{Q_t}} - 1) T_{cs}$	$\frac{\beta}{\bar{\beta}}$
1	2	3	4	5	6	7	8
29/IV	0	3480					
3/V	3	3060	1,138	1,067	0,067	0,019	0,64
6/V	6	2660	1,285	1,136	0,136	0,028	0,74
9/V	9	2330	1,695	1,306	0,298	0,033	0,94
11/V	11	1820	2,111	1,468	0,468	0,038	1,09
14/V	15	1340	2,562	1,606	0,606	0,040	1,14
17/V	18	1180	3,027	1,740	0,740	0,041	1,17
19/V	20	1040	3,388	1,815	0,815	0,041	1,17
34/V	25	879	3,991	1,973	0,973	0,039	1,11
29/V	30	742	4,609	2,147	1,147	0,036	1,09
8/VI	35	647	5,380	2,329	1,329	0,037	1,08
5/VI	40	564	6,064	2,463	1,463	0,037	1,08
13/VI	45	500	6,940	2,613	1,613	0,036	1,08
16/VI	60	446	7,698	2,789	1,789	0,035	1,00
23/VI	55	411	8,321	2,885	1,885	0,034	0,97
28/VI	60	390	9,500	3,082	2,082	0,036	1,00
3/VII	65	319	10,72	3,274	2,274	0,038	1,00
8/VII	70	286	12,00	3,464	2,464	0,036	1,00
15/VII	75	265	15,41	3,962	2,962	0,035	1,00
18/VII	80	231	14,71	3,791	2,791	0,035	1,00
23/VII	85	223	15,34	3,916	2,916	0,034	0,97
					$\bar{\beta} = 0,035$		

мер расчета для 1956 г. Для каждого года определяем средние значения  $\bar{\beta}$  и отношения  $\beta_i/\bar{\beta}$  (графа 8). Чтобы избежать ошибок в отборе данных для расчета, продолжительность спада  $T$ ,

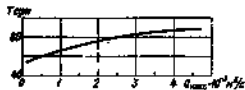


Рис. 8.5. Зависимость продолжительности спада половодья от максимальных расходов воды для р. Препятки у г. Мозыря.

определенную по таблицам расходов воды, составляем графически с  $Q_{\max}$  к проводим кривую  $T=f(Q_{\max})$  (рис. 8.5); эту зависимость используем для вычисления продолжительности спада  $T$ .

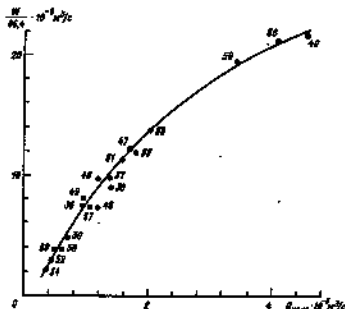


Рис. 8.6. Связь запаса воды в речной сети с максимальным расходом воды за верховья половодья для р. Препятки у г. Мозыря.

Цифры у точек — годы.

На дату наступления максимальных расходов у г. Мозыря определяем условные запасы в бассейне р. Препятки до г. Мозыря, используя при этом расходы воды в створах Туров ( $Q_T$ ), Лучацк ( $Q_L$ ), Злобин ( $Q_Z$ ) и Мозырь ( $Q_M$ ):

$$W = 7,5Q_T + 6,0Q_L + 3,5Q_Z + 1,5Q_M$$

Полученные значения условных запасов довольно хорошо связаны с максимальными расходами воды (рис. 8.6), поэтому

в дальнейшем вместо значений  $W$  на дату максимального расхода будем использовать  $Q_{\max}$ .

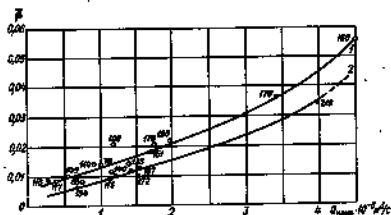


Рис. 8.7. Связь  $\bar{\beta} = f(Q_{\max}, P)$  для р. Препятки у г. Мозыря.

Цифры у точек — количество осадков за период спада, мм; 1 — осадки меньше или равны среднему многолетнему количеству, 2 — осадки больше среднего многолетнего количества.

Для получения прогностических зависимостей строим графики  $\bar{\beta} = f(Q_{\max})$  (рис. 8.7) и  $\beta_i/\bar{\beta} = f(t)$  (рис. 8.8). Рассеивание точек на графике связи для  $\bar{\beta}$  вызвано в основном различным количеством

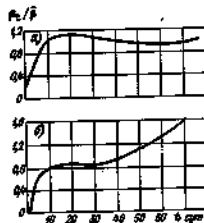


Рис. 8.8. Связь  $\beta_i/\bar{\beta} = f(t)$  для р. Препятки у г. Мозыря.

а)  $Q_{\max} > 100 \text{ м}^3/\text{с}$ ; б)  $Q_{\max} < 100 \text{ м}^3/\text{с}$ .

осадков на спаде половодья. Анализ показал, что учет этих осадков можно ограничить разделением всех лет на две группы: с осадками меньше или равными среднему многолетнему количеству (рис. 8.7.1) и больше его (рис. 8.7.2). Осадки вычисляем за три месяца спада половодья (считая и месяц, когда начался

спад). На втором графике (рис. 8.8) также наметились две связи: для лет с максимальными расходами большие яки равными 1200 м³/с и для лет с расходами меньше 1200 м³/с.

По полученным зависимостям составляем прогноз расходов воды на спаде паводков. Порядок составления следующий. В момент наступления  $Q_{\text{макс}}$  по его значению и ожидаемому по прогнозу погоды осадкам за период спада (меньше и равно среднему многолетнему количеству или больше его) по зависимости на рис. 8.7 находим значение  $\beta$ . Затем в соответствии со значением  $Q_{\text{макс}}$  с графиков, приведенных на рис. 8.8, снимаем значения  $\beta_1/\beta$  и пересчитываем в  $\beta_1$  путем умножения на найденное по рис. 8.7 значение  $\beta$ . Полученные значения  $\beta_1$  подставляем к формулу (8.34) и рассчитываем ожидаемые расходы воды на спаде. Пример такого прогноза приведен в табл. 8.10.

Таблица 8.10

Прогноз расходов воды на спаде паводка р. Притонь — г. Миллер,  $Q_{\text{макс}} = 4490 \text{ м}^3/\text{с}$ ,  $\beta = 0,866$

Дата	t	$\frac{\beta_1}{\beta}$	$\beta_1$	$\beta_1^2$	$(1 + \beta_1 \cdot t)^2$	$\frac{Q_{\text{макс}} - Q_{\text{прог}}}{(1 + \beta_1 \cdot t)^2}$ м³/с	$Q_{\text{прог}}$ м³/с
29/IV	0						3420
30/IV	1	0,226	0,019	0,010	-1,020	3960	3916
1/V	2	0,371	0,018	0,026	1,068	3250	3180
2/V	3	0,487	0,016	0,046	1,096	3150	3060
3/V	4	0,571	0,020	0,080	1,168	2900	2960
4/V	5	0,667	0,023	0,116	1,240	2740	2730
5/V	6	0,743	0,026	0,158	1,326	2560	2560
6/V	7	0,823	0,026	0,208	1,447	2360	2360
7/V	8	0,896	0,021	0,248	1,558	2190	2180
8/V	9	0,949	0,025	0,297	1,662	2030	2030
9/V	10	1,000	0,026	0,350	1,722	1880	1880
10/V	11	1,029	0,026	0,396	1,749	1750	1750

## Глава 9. Физико-статистические методы

### краткосрочных прогнозов расходов и уровней воды для крупных рек

#### 9.1. Постановка задачи

Рассматриваемые методы являются наиболее распространенными в практике гидрологических прогнозов. Их применяют в условиях, когда физическая связь между прогнозируемыми элемен-

тами и факторами, их определяющими, многообразна как по числу этих факторов, так и по виду их проявления. Кроме того, эти методы часто используют при недостатке или невысокой точности исходных данных.

В случае редкой наблюдательной сети, особенно с измерением расхода воды, для разветвленных речных систем можно воспользоваться довольно простым методом, основанным на составлении линейных уравнений, параметры которых неизвестны, но критично-следственные связи между функцией и потенциальными аргументами физически объяснимы. Например, известно, что изменение уровня воды в заданном створе реки связано с изменениями расходов и уровней в расположенной выше части речной системы. Приближенно эту связь можно выразить в виде линейного уравнения:

$$H_{t+j} = \sum_{i=1}^n x_i \cdot \delta H_{t,i} + c_0 \quad (9.1)$$

где  $H_{t+j}$  — уровень воды на постах;  $j$  — порядковый номер поста;  $c_0$  — момент составления прогноза;  $t$  — период заблаговременности прогноза;  $x_i, \delta, c_0$  — параметры, которые могут принимать различные значения при разной заблаговременности;  $n$  — число створов, учитываемых при заблаговременности  $t$ .

Это уравнение в косвенном виде учитывает не только общие условные запасы воды, но и их распределение в речной системе.

Принятое в уравнении (9.1) упрощение приводит к снижению точности прогноза уровней воды. Однако приток воды за период заблаговременности и другие мучительные при составлении прогноза факторы оказывают не менее существенное влияние.

Для повышения точности или увеличения заблаговременности прогноза уровней в число аргументов могут быть включены средние по бассейну суммы осадков  $P$  за какой-либо период, предшествующий моменту составления прогноза, или равности осадков и испарения, которые рассчитывают каким-либо способом. Косвенной характеристикой этой разности может служить осредненная по бассейну температура воздуха  $T$  за период суживания осадков. Прогностическое уравнение в этом случае примет следующий вид:

$$H_{t+j} = \sum_{i=1}^n x_i \cdot \delta H_{t,i} + a_0 P - b_0 T + c_0 \quad (9.2)$$

При существенном различии условий стокообразования по площади бассейна или во времени средние значения основных факторов не всегда являются достаточно информативными аргументами прогностических зависимостей. Приходится вместо них учитывать значения стокообразующих факторов, характеризующих отдельные части бассейна. К некоторому повышению точности прогноза уровней и расходов воды может приводить также учет

децимки русловых запасов воды, т.е. учет тенденции к их увеличению или уменьшению. Например, косвенным показателем этих запасов могут служить уровни воды в вышележащих створах за несколько суток до момента составления прогноза ( $H_{k,t_0-k}$ ). Тогда уравнение для прогноза будет выглядеть следующим образом:

$$H_{t_0+k} = \sum_{i=1}^{n_0} x_i \delta^i H_{t_0-k} + \sum_{i=1}^{l_0} x_i \delta^i H_{t_0-k-1} + \sum_{i=1}^{m_0} x_i \delta^i P_i - \sum_{i=1}^{n_0} x_i \delta^i \Gamma_i + c_0, \quad (9.3)$$

где  $n_0$ ,  $l_0$  — соответственно число постов, уровней на которых учитываются в момент составления прогноза и на  $k$  сут раньше;  $n_0$ ,  $l_0$  — число учитываемых пунктов наблюдений за осадками  $P$  и температурой воздуха  $T$ .

Таким образом, задача разработки методики прогноза уровня (расхода) определенной заблаговременности сводится к решению систем линейных уравнений с известными параметрами  $x_k$ .

Представим уравнение (9.3) для конкретного числа постов и пунктов наблюдений за осадками и температурой воздуха в развернутом виде. Например, примем  $l_0=2$ ,  $n_0=1$ ,  $l_0=2$  и  $n_0=1$ . Тогда в проточасточном уравнении

$$H_{t_0+k} = x_1 H_{t_0-k} + x_2 H_{t_0-k-1} + x_3 P_{t_0-k} + x_4 P_{t_0-k-1} + x_5 T_{t_0-k} + x_6 T_{t_0-k-1} + c \quad (9.4)$$

требуется определить в неизвестных параметрах  $x_1, \dots, x_6$  и  $c$  при длине ряда наблюдений за всеми переменными, равной  $n$ , т.е. решить относительно  $x_i$  следующую алгебраическую систему:

$$x_1 d_{1,1} + x_2 d_{1,2} + \dots + x_3 d_{1,3} = h_1,$$

$$x_1 d_{2,1} + x_2 d_{2,2} + \dots + x_3 d_{2,3} = h_2,$$

$$\dots$$

$$x_m d_{m,1} + x_2 d_{m,2} + \dots + x_m d_{m,3} = h_m. \quad (9.5)$$

где  $d_{i,j}$  — известные данные наблюдений за уровнями воды, осадками, температурой воздуха;  $h$  — предсказываемые уровни.

Для нахождения свободного члена  $c$  вводят фиктивный аргумент со значениями, равными единице.

Для окончательного определения параметров системы уравнений (9.5) с помощью метода наименьших квадратов сводится к нормальной системе, в которой число уравнений равно числу неизвестных параметров:

$$Ax = y, \quad (9.6)$$

где  $A$  — ковариационная (или корреляционная) матрица аргументов;  $y$  — вектор взаимной ковариации (или корреляции) аргументов и функций.

Наиболее часто решение системы (9.6) находят с помощью того или иного способа обращения матрицы  $A$ , т.е.

$$x = A^{-1}y, \quad (9.7)$$

где  $A^{-1}$  — матрица, обратная матрице  $A$ .

Уже три числа параметров больше двух и достаточно длинных выборок решение системы (9.7) представляет собой очень трудную задачу. В этих случаях необходимо пользоваться стандартными программами, имеющимися в библиотечках ЭВМ.

Если система уравнений (9.6) плохо обусловлена (определитель слишком мал), то при ее численном решении ошибки, присутствующие в исходных данных, а также связанные с неадекватностью модели финансовому явлению, могут многократно возрасти и приводить к неустойчивости некоторых параметров.

Вследствие этого необходимо с большой осторожностью увеличивать число аргументов, поскольку такое увеличение обычно приводит к тому, что системы уравнений вида (9.5) или (9.6) акцентируют в себя сильно скоррелированные между собой аргументы. В результате система уравнений, как правило, становится плохо обусловленной, что вызывает неустойчивость их решения, проявляющуюся в физической неоправданности получаемых коэффициентов. Проверка этих решений на независимой выборке данных может давать существенно худшие результаты, чем на зависимой. Поэтому целесообразность увеличения числа аргументов в проточасточных уравнениях следует проверять на независимых выборках данных.

На одном из заключительных этапов разработки проточасточных уравнений с помощью физико-статистических методов следует оценить точность общего коэффициента корреляции этого уравнения. Формулы, позволяющие произвести такую оценку, приведенные в учебнике по статистике [5]. Однако они выведены в предположении взаимнонезависимости членов ряда наблюдений, по которым получают эмпирический коэффициент корреляции  $R_0$ . Значения же уровней и расходов воды в створе реки, разделенные сравнительно короткими отрезками времени (сутки, пятниевки, декады, для больших рек и месяцы), скоррелированы между собой. Поэтому возникает необходимость установить число действительно независимых, так называемых эквивалентно независимых, наблюдений ( $m_1$ ) в выборке данных. Это позволяет сделать формула

$$m_1 = m/\tau_1, \quad (9.8)$$

где  $m$  — длина ряда наблюдений, принятого в расчетах;  $\tau_1$  — радиус автокорреляции.

Радиус автокорреляции можно оценить двумя способами. Первый способ приближенный, заключается в графическом построении автокорреляционной функции и определении расстояния от ее начала до момента, когда она становится близкой к нулю. Это расстояние приравнивают к радиусу автокорреляции.

Другой способ состоит в расчете  $\tau_i$  по формуле

$$\tau_i = \frac{2}{R(0)} \sum_{\tau=0}^{\infty} R(\tau) \quad (9.9)$$

где  $R(i-\tau)$  — автокорреляционная функция;  $R(0)$  — максимальное значение автокорреляционной функции. Верхний предел суммирования можно ограничить достаточно большим периодом времени.

Основную ошибку коэффициента корреляции при известном  $\tau_i$  вычисляют по формуле

$$\Delta R = (1 - R_0^2) / \sqrt{m} \quad (9.10)$$

Повысить надежность решения плохо обусловленных систем уравнений позволяют специальные способы поиска их устойчивых решений. Традиции некоторых из них, в частности метода просеивания, способа разрежения и компонентного анализа, и примеры применения их в задачах гидрологических прогнозов изложены в последующих параграфах.

### 9.2. Метод просеивания

Наиболее простым способом отбора оптимального числа аргументов является их поочередный перебор с оценкой вклада, который вносит каждая из независимых переменных в определенную функцию, т. е. следовательно, эффективности прогностической зависимости. Применительно к линейным уравнениям количество информации об интересующей функции при данном числе аргументов достаточно надежно можно оценить общим коэффициентом корреляции или его квадратом, получившим название коэффициента детерминации. Например, для множественных моделей при нормальном распределении переменных (множественная регрессия) информативность какого-либо аргумента или их совокупности может быть оценена с помощью одной из формул:

$$I(a_j) = 0,5 \ln(D^*/D) \quad (9.11)$$

$$I(a_j) = 0,5 \ln[1/(1 - R_j^2)] \quad (9.12)$$

или

$$I(a_j) = 0,5 \ln(\sigma^2/\sigma_j^2) \quad (9.13)$$

где  $D$  — определитель матрицы, составленной из парных коэффициентов корреляции аргументов и функций;  $D^*$  — определитель матрицы, включающей в себя парные коэффициенты корреляции только аргументов;  $R_j$  — общий коэффициент корреляции;  $I(a_j)$  — оценка количества информации в  $a_j$ -м аргументе или совокупности  $a_j$ -х аргументов;  $\sigma$  — средняя квадратическая оценка изменчивости предсказываемого явления;  $\sigma_j$  — средняя квадратическая ошибка уравнения регрессии.

При использовании метода просеивания следует иметь в виду, что выбор аргументов и надежность полученных уравнений в определенной степени зависят от способа (или порядка) перебора предсказателей, статистических взаимосвязей между аргументами, от объема выборки и ее статистических характеристик.

В практике наиболее часто используют следующий метод перебора. В качестве первого выбирают аргумент, имеющий наиболее высокий парный коэффициент корреляции с предсказываемым явлением. Вторым следует признать аргумент, который дает наибольший вклад в снижение ошибки простейшего уравнения вместе с первым и т. д. Для мягкости прогноза рекомендуется строить графики возрастания количества информации о предсказываемом явлении в зависимости от числа отобранных аргументов — функций насыщения (рис. 9.1).

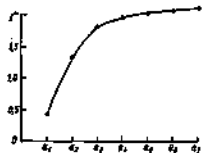


Рис. 9.1. Функция насыщения.  
 $a_j$  —  $j$ -й аргумент;  $I_j$  — общее количество информации в  $j$ -х аргументах.

В другом способе для установления порядка перебора аргументов привлекают априорные представления (сведений) об исследуемом гидрологическом явлении или процессе. Первым в этом случае выбирают аргументы, которые несомненно должны оказывать в той или иной степени влияние на прогнозируемое явление. Например, очевидно влияние водности каждого из притоков на расход воды (или уровень) в замыкающем створе участка реки. Однако если на этих притоках и по длине реки найдется довольно много измерительных створов, то метод просеивания следует применять для отбора оптимального числа этих створов. Просеивание можно выполнять также путем оценки вклада каждого аргумента в общий коэффициент корреляции по методу Г. А. Алексеева [1].

Пример 9.1. Прогноз минимального уровня воды на р. Северной Двине с учетом отбора аргументов прогностической зависимости методом просеивания.

Опорным для определения глубины на верхнем участке реки является гидрологический пост Абрамково. Желательная заблаговременность прогноза минимального уровня в соответствии с нормальной длительностью рейсов судов составляет не менее 10 сут. На основных притоках р. Северной Двины имеется 16 гидрологических постов. Методом просеивания в качестве

аргументов отобраны уровни по 6 верхним постам и уровень в п. Абрамково в день составления прогноза (табл. 9.1). Эти посты отмечены на рис. 9.2 двойным кружком.

В табл. 9.1 приведены первые коэффициенты корреляции, а также количество информации  $I(a_i)$ , которое содержит каждый из предсказателей (графа 10), и в совокупности с предшествующими

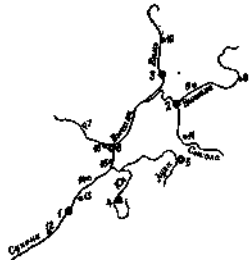


Рис. 9.2. Схема речной сети и расположения гидрометрических станций и постов в бассейне р. Северной Двины до с. Абрамково.

1 — Торжок, 2 — Ступинский, 3 — Парованский, 4 — Косыгинский, 5 — Тоголово, 6 — Обухово, 7 — Елиза, 8 — Александров, 9 — Парф., 10 — Волынская, 11 — Палуда, 12 — Царьки, 13 — Котельня, 14 — Абрамово Слободы, 15 — Большая Ятоса, 16 — Тиса-Курва.

Таблица 9.1

Корреляционная матрица и количество информации

Номер поста предсказателя	$H_1$	$H_2$	$H_3$	$H_4$	$H_5$	$H_6$	$H_7$	$H_{\text{абр.}}(t_0)$	$r$	$r^2$
	1	2	3	4	5	6	7	8	9	10
$a_1$	1,000	0,870	0,631	0,776	0,967	0,736	0,709	0,748	0,410	0,41
$a_2$	0,870	1,000	0,913	0,812	0,790	0,905	0,905	0,956	0,989	1,38
$a_3$	0,612	0,901	1,000	0,899	0,881	0,895	0,902	0,986	1,227	1,81
$a_4$	0,775	0,812	0,899	1,000	0,808	0,730	0,716	0,781	0,471	1,89
$a_5$	0,967	0,790	0,881	0,808	1,000	0,881	0,890	0,914	0,901	2,01
$a_6$	0,736	0,905	0,902	0,716	0,881	1,000	0,905	0,952	1,122	2,05
$a_7$	0,709	0,905	0,899	0,730	0,890	0,905	1,000	0,954	1,284	2,67
$H_{\text{абр.}}(t_0)$	0,748	0,956	0,986	0,781	0,914	0,982	0,954	1,000		

(графа 11) в отношении максимального декадного уровня в Абрамкове для случая, когда в речной системе выше Абрамкова наблюдается в основном спад уровней. В табл. 9.1 помещены данные, относящиеся к аргументам, отобраным путем просеивания с использованием формул (9.10).

В итоге для декадных прогнозов максимальных уровней у Абрамкова получено следующее уравнение:

$$H_{\text{абр.}}(t_0 + n) = 0,27H_1 + 0,28H_2 + 0,30H_3 + 0,6H_4 + 0,32H_5 + 0,22H_6 + 0,30H_7 + 7,35,$$

где  $H_1, \dots, H_7$  — уровни в верхних постах и у Абрамкова в день выпуска прогноза  $t_0$ .

Объем выборки, на которой произведены расчеты, равен 288 случаям и представляет 10 лет наблюдений. Средняя квадратическая ошибка этого уравнения составила  $\pm 20$  см. Ошибка общего коэффициента корреляции определена по уравнению (9.10): радиус автокорреляции средних суточных уровней воды в п. Абрамково  $\tau_0$  равен 12 сут, соответственно число эквивалентно независимых наблюдений  $m_0 = 24$ , откуда  $\Delta_{\text{кр}} = 0,008$ .

Для повышения точности прогноза в качестве дополнительного фактора, определяющего минимальный уровень в заданном створе, можно учитывать фазу режима уровней на верхних постах. Например, для случаев, когда в верхнем течении реки и на ее притоках наблюдается преимущественно спад или подъем уровня. Например, с учетом указанных особенностей прогноза минимальных уровней для периода летне-осенней межени можно составлять на основе данных только пяти постов по уравнению следующего вида:

$$H_{\text{абр.}}(t_0 + 10) = 0,27H_1 + 0,07H_2 + 0,36H_3 + 0,03H_4 + 0,25H_5 + 15.$$

Средняя квадратическая ошибка уравнения  $\pm 11$  см.

### 9.3. Способ разрежения

Этот способ целесообразно применять, если в качестве аргументов используются значения какого-либо гидрологического или метеорологического элемента, распределенного во времени или по пространству. Суть метода состоит в том, что при расчетах используются данные не всех станций и постов, а которых производят наблюдения (или не в каждый момент времени наблюдений), а с разрежением, степень которого зависит от корреляционной связи данных наблюдений. Посредством, как известно, характеризуется авто- или пространственными корреляционными функциями.

Наглядный пример по применению метода разрежения представляет нахождение оптимальных кривых добогазая, удовлетво-

рящих достаточно большому ряду наблюдений. Для этого обычно используют интегральное уравнение Винера—Хопфа:

$$r_{eQ}(t) = \int_0^t r_{eQ}(t-\xi) \rho(\xi) d\xi, \quad t \geq 0, \quad (9.14)$$

$$\rho(t) = 0 \quad \text{при } t < 0,$$

где  $r_{eQ}(t)$  — взаимокорреляционная функция между расходами воды в верхнем (q) и нижнем (Q) гидрометрических створах;  $r_{ee}(t)$  — автокорреляционная функция расходов воды в верхнем створе;  $\rho(t)$  — оптимальная кривая добегапия.

В общем случае задача нахождения  $\rho(t)$  по уравнению (9.11) относится к классу некорректных: малым погрешностям  $r_{eQ}(t)$  и  $r_{ee}(t)$  может отвечать сколь угодно большая погрешность в вычислении  $\rho(t)$ .

Воспользовавшись приближенным представлением интеграла по формуле прямоугольников, заменяя бесконечный верхний предел конечным  $T$  ( $T$  желательно брать не меньше, чем предполагаемая длина  $\rho(t)$ ), можно получить систему линейных уравнений с  $n$  неизвестными:

$$r_{eQ}(t) = \sum_{i=0}^{n-1} r_{ee}(t-i\Delta t) \rho(i\Delta t) \Delta t, \quad (9.15)$$

$$t = 0, \Delta t, 2\Delta t, \dots, (n-1)\Delta t.$$

Здесь  $r_{eQ}(t)$  — элементы вектора взаимной корреляции входе и выхода системы, а  $r_{ee}(t-i\Delta t)$  — элементы корреляционной матрицы, представляющие собой значения автокорреляционной функции на концах временных интервалов:

$$\Delta t = T/(n-1).$$

Матрицу  $R(t-i\Delta t)$  системы (9.15) можно представить, имея в виду, что  $r_{ee}(\Delta t) = r_{ee}(-\Delta t)$ , в следующем виде:

$$R(t-i\Delta t) = \begin{pmatrix} r_{ee}(0) & r_{ee}(\Delta t) & \dots & r_{ee}((n-1)\Delta t) \\ r_{ee}(\Delta t) & r_{ee}(0) & \dots & r_{ee}((n-2)\Delta t) \\ r_{ee}(2\Delta t) & r_{ee}(\Delta t) & \dots & r_{ee}((n-3)\Delta t) \\ \dots & \dots & \dots & \dots \\ r_{ee}((n-1)\Delta t) & r_{ee}((n-2)\Delta t) & \dots & r_{ee}(0) \end{pmatrix}. \quad (9.16)$$

Неизвестную кривую добегапия  $\rho(t)$  отыскивают с помощью метода наименьших квадратов либо любым другим методом решения системы линейных уравнений. Прямые методы разрешения в данном случае заключаются в том, что в расчет принимают значения корреляционных функций с интервалами  $2\Delta t$ ,  $3\Delta t$  и т. д. Шаг может быть задан и переменным. Далее для нахождения кривой добегапия применяют те же методы решения систем линейных уравнений, что и в предыдущем случае.

**Пример 9.2.** Определенные оптимальной кривой добегапия для участка р. Лены.

По средним суточным расходам воды р. Лены в п. Солынка и п. Табага получаем авто- и взаимокорреляционные функции. Далее с помощью метода наименьших квадратов находим 11 ординат (интервал между которыми равен 1 сут) оптимальной кривой добегапия воды для названного выше участка. На рис. 9.3 (линия 1) четко заметно проявление неустойчивости, заключаю-

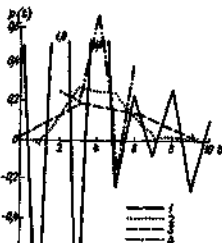


Рис. 9.3. Функция выливания, рассчитанная с помощью метода наименьших квадратов.

- 1)  $\Delta t = 1$  сут, количество исходных ординат 11;
- 2)  $\Delta t = 1$  сут, количество исходных ординат 5;
- 3)  $\Delta t = 2$  сут, количество исходных ординат 5;
- 4)  $\Delta t = 1$  сут, количество исходных ординат 5.

щаяся в резких физически необъяснимых скачках соседних ординат — от  $-1,0$  до  $1,8$ .

На этом же рисунке приводим кривые добегапия, полученные тем же методом наименьших квадратов, но значения корреляционных функций для средних суточных расходов воды в перечисленных выше пунктах снимаем с интервалами 2 и 3 сут (линии 2 и 3), т. е. исходные данные подвергнем разрежению. Как можно видеть, ход ординат кривой добегапия стал более закономерным, следовательно, вид кривой стал отвечать сложившимся в гидрологии представлениям о ее форме.

Если же сократить число исходных параметров механически, например оставить только на поиске ординат пачкалок со 2-й по 6-ю, т. е. искать всего 5 ординат вместо 11, но, как и в первом случае, с интервалом 1 сут, то результат (линия 4 на рис. 9.2) может не только не ухудшиться, но даже улучшиться.

Таким же эффект имеет место при нахождении параметров линейных простейших уравнений, аргументы которых представляют распределение по пространству стокообразующих факторов (осадков, запасов воды в снежном покрове и др.).

#### 9.4. Компонентный анализ

Компонентный анализ (КА), применительно к метеорологическим задачам известный как метод естественных составляющих, используют для представления полей или функций (времени или пространства) гидрологических элементов с помощью собственных векторов и корреляционных матриц в нескольких типичных задачах: 1) сглаживания неравномерности распределения гидрометеорологических элементов во времени или пространстве; 2) представления и учета в компактной форме эти неравномерности; 3) нахождения устойчивого решения плохо обусловленных систем уравнений для полей гидрологических прогнозов.

Улучшение формальной стороной аппарата КА нередко приводит к необоснованной постановке физических задач и переоценке его достоинств. В то же время КА обладает рядом важных свойств, на которые еще мало обращают внимания в гидрометеорологических исследованиях. Особенно это относится к третьему из перечисленных выше задач. Кратко рассмотрим основные достоинства КА. Главную роль в КА играют собственные векторы  $u_i$ , удовлетворяющие матричному равенству

$$Au_i = \lambda_i u_i \quad (9.17)$$

где  $\lambda_i$  — собственные числа матрицы  $A$  исходной системы (9.6). Каждому собственному числу соответствует свой собственный вектор.

Собственные векторы и собственные числа имеют особые свойства: первые образуют ортогональную систему, сумма вторых равна сумме диагональных элементов матрицы  $A$ . Эти свойства оказываются полезными в ряде прикладных задач гидрологических прогнозов.

С помощью системы собственных векторов можно перейти от исходных переменных  $F$ , являющихся функцией времени или пространства, к коэффициентам разложения вида

$$T_i(t_j) = \sum_{i=1}^n F_j(t_j) u_{i,j} \quad (9.18)$$

где  $T_i$  — коэффициенты разложения поля (или функции);  $u_{i,j}$  — элементы собственных векторов ковариационной (корреляционной) матрицы аргументов  $A$ ;  $i$  — номер собственного вектора и соответствующего ему коэффициента разложения;  $j$  — номер точки, в которой задана исходная переменная в момент времени  $t_j$ .

Разложение по собственным векторам обладает существенным преимуществом перед любым другим разложением: главная информация сосредоточивается в сравнительно небольшом числе коэффициентов разложения. Кроме того, коэффициенты разложения не коррелируются между собой. Если  $\lambda_i$  расположить в убывающем порядке, то можно определить число собственных векторов, достаточных для описания поля или функции, заданных

в  $l$  точках, с заданной степенью точности. Среднюю квадратическую ошибку аппроксимации заданного поля (функции) в этом случае легко определить по соотношению

$$s_k = \frac{\lambda_{k+1}}{\sum_{i=1}^n \lambda_i} \sqrt{\sum_{i=1}^n \lambda_i} \quad (9.19)$$

где  $n$  — порядок рассматриваемой корреляционной матрицы;  $s_k$  — оценка точности аппроксимации при  $k$ -м числе удерживаемых собственных векторов.

Задачу представления информации в компактной форме (удержание только нескольких коэффициентов разложения) решает в общем виде с помощью формул типа (9.18). Если использовать сразу несколько полей физически неоднородных стокообразующих факторов (запас воды в снежном покрове и глубина промерзания почвы, индее осадки, температура воздуха, запас влаги в почве и др.), то коэффициенты разложения следует вычислять для каждого поля (функции) отдельно по своей системе собственных векторов при числе удерживаемых коэффициентов разложения меньше  $n$ . Вопрос о числе удерживаемых коэффициентов разложения решают также для каждого стокообразующего фактора отдельно.

Если поля одного стокообразующего фактора статистически неоднородны, например корреляционные функции полей этого фактора затухают в различных направлениях существенно по-разному, то имеет смысл разложение производить по двум взаимно перпендикулярным направлениям, т.е. получить для полей одного фактора две системы собственных векторов.

Следует иметь в виду, что сокращение объема информации с помощью КА (учет только части компонентов) приводит к потере части информации, которая должна быть не очень существенной для рассматриваемой задачи.

Чем более гладкая функция подвергается разложению по собственным векторам, тем меньшее количество коэффициентов требуется удержать для достаточной точной аппроксимации этой функции. Поля гидрометеорологических элементов, как правило, являются существенно связными, т.е. их корреляционные функции затухают не очень быстро. Такой характер полей позволяет представить их небольшим числом коэффициентов разложения и, таким образом, значительно сократить размерность линейных моделей.

Линейные прогностические зависимости на базе КА в общем виде можно представить следующим образом:

$$h(t_{i+k}) = \sum_{p=1}^N \sum_{j=1}^{k_p} x_{p,j} \bar{T}_{p,j}(t_i) \quad (p=1 \dots N, i=1 \dots k_p < n_p) \quad (9.20)$$

где  $h(t_{i+k})$  — прогнозируемая величина (объем стока, расходы, уровень воды) в  $t_{i+k}$ -й момент времени;  $x_{p,j}$  — параметры (коэффи-

менты регрессии);  $k$  — число удерживаемых коэффициентов разложения  $T_{p,i}$ , представляющих поля одного стохобразующего фактора;  $i$  — номер  $T_{p,i}$ , относящегося к одному стохобразующему фактору;  $p$  — номер стохобразующего фактора;  $N$  — общее число стохобразующих факторов.

В частном случае, когда рассматривают поле (функцию) одного фактора, уравнение (9.20) может быть упрощено:

$$A(i+1) = \sum_{i=1}^{k-1} \lambda_i T_i(i). \quad (9.21)$$

Параметры  $\lambda_i$  уравнений (9.20) либо (9.21) находят, как правило, с помощью метода наименьших квадратов. Однако с большой осторожностью следует подходить к удержанию коэффициентов разложения с большими порядковыми номерами, т.е. коэффициентов, соответствующих малым значениям собственных чисел, так как они отражают, как правило, мелкомасштабные изменения фактора, не всегда оказывающие большое влияние на предсказываемое явление.

Используя аппарат компонентного анализа, при решении систем (9.6) можно обойтись без обращения ковариационной (корреляционной) матрицы  $A$  и без промежуточных вычислений коэффициентов разложения. Тогда применяют следующую формулу:

$$x = \sum_{i=1}^{k-1} (\beta_i / \lambda_i) \psi_i \quad \left( \beta_i = \sum_{j=1}^m \beta_{ij} \mu_{ij} \right). \quad (9.22)$$

где  $\lambda_i$  и  $\psi_i$  — соответственно собственные числа и собственные векторы матрицы  $A$ ;  $\beta_i$  — суммы произведений правой части уравнения (9.6) и соответствующих векторов.

Из выражения (9.22) легко увидеть природу неустойчивости (дестабилизации) коэффициентов уравнений регрессии при их нахождении с помощью уравнения (9.7): если хотя бы одно собственное число  $\lambda_i$  матрицы  $A$  равно нулю, исковые коэффициенты  $x$  могут быть как угодно большими; если ранжированные  $\lambda_i$  уменьшаются быстрее, чем соответствующие значения  $\beta_i$ , а исходные данные задают приближенно (например, из-за погрешностей наблюдения), то ошибки могут многократно увеличиваться и решение будет неустойчивым. Ошибки же исходных данных, являющиеся при разработке методов гидрологических прогнозов, пологостью устранить не удается. Задача осложняется еще и тем, что поля (функции) гидрометеорологических элементов являются корреляционно связанными в соседних точках, и это приводит как раз к тому, что ранжированные значения  $\lambda_i$  затухают гораздо быстрее, чем  $\beta_i$ .

Если учитывать все компоненты ( $k=n$ ) при использовании выражения (9.22), то коэффициенты регрессии не будут отличаться от коэффициентов, полученных по выражению (9.6) с точностью до

ошибки вычисления. Смысл же КА состоит в удержании только части компонентов ( $k < n$ ):

$$x(k) = \sum_{i=1}^{k-1} (\beta_i / \lambda_i) \psi_i, \quad (9.23)$$

где  $k$  — число удерживаемых компонентов.

Вопрос о числе удерживаемых компонентов решают в зависимости от доступной информации, имеющейся при разработке метода. Естественным является требование, чтобы средняя квадратическая ошибка искомого уравнения соответствовала погрешности исходных данных, т.е. чтобы решение системы уравне-

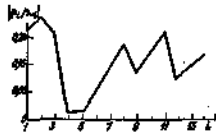


Рис. 9.4. График модулей амплитудной характеристики  $|\beta_i/\lambda_i|$  (р. Селенная Довня).

ний было не точнее, чем позволяет точность исходных данных. Реализовать такое условие позволяет критерий изыскан, который выражается следующей формулой:

$$s_i^2 = \sum_{j=1}^m \beta_{ij}^2 - \sum_{i=1}^k (\beta_i^2 / \lambda_i). \quad s_i^2 \approx \Delta_i^2 \quad (9.24)$$

где  $s_i^2$  — квадрат погрешности уравнения регрессии;  $\Delta_i^2$  — квадрат средней погрешности исходных данных;  $\beta_{ij}$  — фактические измерения прогнозируемой функции в момент  $t$ ;  $m$  — общее число измерений (длина ряда);  $n$  — число искоемых коэффициентов;  $k$  — число удерживаемых компонентов решения;  $i$  — порядковым номером ранжированных значений соответствующих собственных чисел  $\lambda_i$  (начиная с наибольшего).

При отсутствии сведений о погрешностях исходных данных можно прибегнуть к поиску так называемого квазиоптимального решения. Число удерживаемых в этом случае компонентов определяется по графику функции  $|\beta_i/\lambda_i| = f(i)$ . Оно равно значению  $i$ , при котором функция достигает первого или второго, достаточно глубокого локального минимума. На рис. 9.4, приведенном в качестве примера, легко определить, что  $i$  можно принять равным 4 или 5.

Наряду с уравнением (9.20) применим подход, основанный на подавлении компонентов, соответствующих малым  $\lambda_i$ , с помощью специального параметра  $\alpha$ . Тогда используем следующую формулу:

$$x_\alpha = \sum_{i=1}^n \beta_i (\lambda_i + \alpha) \psi_i. \quad (9.25)$$

а для еще более сильного подавления малозначимых компонентов (также соответствующих малым  $\lambda_i$ ) формулу

$$x_n = \sum_{i=1}^n (b_i \lambda_i + \alpha^2 (\lambda_i + 2\alpha)^{-1})^{-1} b_i. \quad (9.26)$$

Параметр  $\alpha$  в двух последних выражениях подбирают с помощью перечисленных выше критериев. Например, применяя соотношение (9.26) в сочетании с критерием малости, параметр  $\alpha$  можно найти путем решения следующего уравнения:

$$\Delta_n^2 = \sum_{i=1}^n b_i^2 (\lambda_i + \alpha)^{-1} - \alpha \sum_{i=1}^n b_i^2 (\lambda_i + \alpha)^{-2}, \quad (9.27)$$

где  $\Delta_n^2$  — квадрат заданной средней погрешности исходных данных.

Пример 9.3. Методом прогноза характерных уровней воды р. Северной Двины и р. Луны.

Для разработки методики использования данных по 16 постам, включая замыкающий пост в Абрамкове. Расположение постов и присвоенные им номера показаны на рис. 9.2. В последующем наложениям при необходимости будут использоваться только номера пунктов.

По данным об уровнях воды в этих створах за 10 лет, составившим выборку объемом 268 случаев, получаем корреляционную матрицу 16-го порядка. Далее с помощью стандартной программы из библиотеки ЭВМ ЕС-1040 находим собственные числа и собственные векторы этой матрицы. В табл. 9.2 приведены 12 первых

Таблица 9.2

Собственные числа и векторы разложения

$i$	$\lambda_i$	$\Sigma \lambda_i$	$\frac{\sum_{i=1}^n \lambda_i}{\sum_{i=1}^n \lambda_i} \cdot \frac{1}{n}$
1	12,823	12,823	0,80
2	1,826	14,758	0,92
3	0,824	15,782	0,95
4	0,366	16,548	0,97
5	0,171	15,719	0,98
6	0,087	15,806	0,98
7	0,064	15,870	0,99
8	0,33	15,923	0,99
9	0,331	15,954	0,99
10	0,020	15,974	0,99
11	0,016	15,990	0,99
12	0,006	15,996	0,99

собственных чисел (остальные четыре опущены из-за малости), расположенных в убывающем порядке, и оценки аппроксимации распределения уровней воды по постам за притоках р. Северной Двины по формуле (9.19) при разном числе удерживаемых членов

разложения. Из данных таблицы следует, что первые четыре коэффициента разложения дают 0,97 всей информации о состоянии запаса воды (соответствующих наблюдениям на уровнях) в речной сети выше Абрамкова. Собственные векторы, с помощью которых вычислены эти коэффициенты разложения, представлены в табл. 9.3. Каждый из них изображен графически на схеме (рис. 9.6).

Таблица 9.3

Собственные векторы

Номер вектора	Номер пункта наблюдения на уровнех воды							
	1	2	3	4	5	6	7	8
1	0,28	0,26	0,26	0,23	0,25	0,27	0,27	0,26
2	0,40	-0,26	-0,20	0,19	-0,09	-0,06	-0,09	-0,37
3	-0,09	0,12	0,12	0,65	0,49	-0,22	-0,23	-0,32
4	0,18	0,31	0,31	-0,50	0,05	-0,26	-0,22	0,26

Номер вектора	Номер пункта наблюдения на уровнех воды							
	9	10	11	12	13	14	15	16
1	0,28	0,26	0,25	0,21	0,24	0,24	0,26	0,27
2	-0,27	-0,21	-0,09	0,43	0,37	0,32	0,16	-0,06
3	-0,22	0,14	0,26	-0,21	-0,01	-0,14	0,19	0,32
4	-0,07	0,40	0,14	0,35	0,07	-0,09	-0,06	-0,29

Несколькими первыми собственными векторами апостериори удается дать физическое толкование. Так, например, первый вектор  $w_1$  (см. рис. 9.5 а) характеризует степень общего выполнения русел водой (80 % общей дисперсии). Второй вектор  $w_2$  (см. рис. 9.5 б) отражает различия в водности русел в юго-западе (р. Сухола и ее притоки) и северо-востоке (р. Вытегда и притоки) бассейна. Условная граница между положительными и отрицательными значениями элементов вектора  $w_2$  проходит четко с северо-востока на юго-запад, что хорошо соответствует направлению излияний средних многолетних значений наибольшего за зиму запаса воды в снег, сроков оттаивания снега, срока снежного покрова и начала таяния его; влагозапас в слое почвы 0—30 см и т.д.

Третий вектор  $w_3$  (см. рис. 9.5 в) характеризует неравномерность распределения русловых запасов воды по отдельным бассейнам системы р. Северной Двины до с. Абрамкова. Так, элементы вектора, относящиеся к гидрологическим постам р. Вычи, имеют положительные знаки, а верховьях р. Вытегда — отрицательные, а на р. Сисоле — вновь положительные. Примерно такая же картина наблюдается в системе р. Сухола.

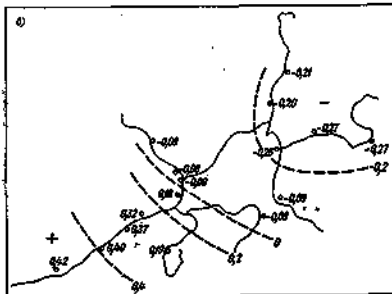
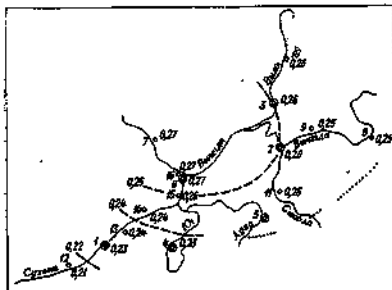
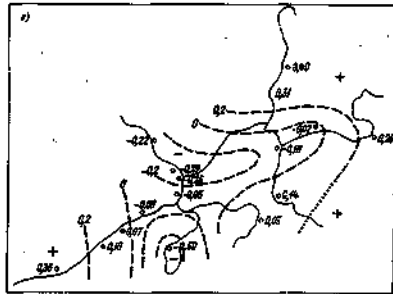
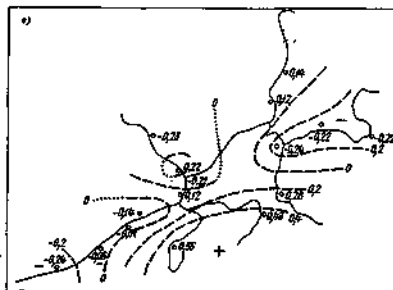


Рис. 3.5. Схема размещения гидрологических постов на реках третьего (а) и четвертого (б) годовых циклов.



бесоточья Северной Двины и значимы первого (а), второго (б).

На схеме четвертого вектора  $u_4$  (см. рис. 9.5а) видна развилка в знаках его элементов, относящихся к нижним участкам отдельных рек и к их верховьям, т.е. отражает разницу в наводнениях русла в низовьях и верховьях рек.

По первым четырем собственным векторам и ежедневным уровням воды на отобранных 16 постах по формуле (9.18) вычисляем коэффициенты разложения  $\Gamma(t)$ . В результате получаем хронологические ряды четырех коэффициентов разложения, которые в сумме представляют, как уже говорилось, 97% всей информации о распределении запасов воды в руслах речной сети Северной Двины до Абрамкова. О том, что четырех компонентов достаточно для решения задачи, свидетельствует и график амплитудной характеристики (см. рис. 9.4).

После этого коэффициенты разложения  $\Gamma(t)$  используем в качестве аргументов в зависимости для предсказания минимального уровня воды в будущей декады ( $H_{\min}(t_{i+10})$ ) в с. Абрамкове, т.е. составляем систему уравнений (9.21), которую решаем обычными способами. Для Абрамкова получаем следующие прогностическое уравнение:

$$H_{\min}(t_{i+10}) = 44,0\Gamma_1(\Gamma_i) - 12,7\Gamma_2(t_i) + 7,0\Gamma_3(t_i) + 12,4\Gamma_4(t_i) + 252. \quad (9.28)$$

Следует отметить, что для получения более однородных рядов данные об уровнях предварительно были преобразованы с помощью соотношения

$$H_{L,j} = (H_{L,j} - \bar{H}_j)/\sigma_j \quad (9.29)$$

где  $H_{L,j}$  — уровень воды в  $j$ -м створе в момент времени  $t$ ;  $\bar{H}_j$  — среднее многолетнее значение уровня в  $j$ -м створе;  $\sigma_j$  — дисперсия уровней в  $j$ -м створе. Поэтому при составлении прогноза по уравнению (9.28) уровень во всех створах должны быть предварительно пересчитаны по этому соотношению. Используя полученные преобразованные уровни и собственные векторы из табл. 9.3, определяем коэффициенты разложения по формуле (9.18), которые затем подставляем в уравнение (9.28).

Если прогноз составляют довольно часто, для сокращения вычислений целесообразно преобразовать уравнение (9.28) к виду, не требующему вычисления коэффициентов разложения:

$$H_{\min}(t_{i+10}) = \sum_{k=1}^4 x_k H'_k(t_i) + c. \quad (9.30)$$

Коэффициенты  $x'_k$  рассчитываем с помощью выражения

$$x'_k = \sum_{i=1}^4 x_{ki} \cdot \Gamma_i \quad (9.31)$$

Подставив в последнюю формулу значения коэффициентов  $\Gamma_i$  из уравнения (9.28) и векторов из табл. 9.3, получим следующее соотношение:

$$H_{\min}(t_{i+10}) = 6,2H'_{1,i} + 11,1H'_{2,i} + 10,8H'_{3,i} + 5,3H'_{4,i} + 15,9H'_{5,i} + 8,1H'_{6,i} + 8,7H'_{7,i} + 17,3H'_{8,i} + 12,0H'_{9,i} + 19,7H'_{10,i} + 17,1H'_{11,i} + 6,6H'_{12,i} + 6,6H'_{13,i} + 4,3H'_{14,i} + 9,6H'_{15,i} + 11,7H'_{16,i} + 262,4. \quad (9.32)$$

где  $H'_{k,i}$  — уровень воды, преобразованный по соотношению (9.29).

Если большие сократится объем вычислений при выпуске прогноза, если от  $H'$  перейти к исходным наблюдениям за уровнями воды ( $H$ ), имея в виду соотношение (9.29). Тогда прогноз можно составлять не по соотношению (9.32), а по следующему уравнению:

$$H_{\max}(t_{i+10}) = 10^{-3}(5H_{1,i} + 6H_{2,i} + 6H_{3,i} + 6H_{4,i} + 19H_{5,i} + 4H_{6,i} + 4H_{7,i} + 12H_{8,i} + 7H_{9,i} + 11H_{10,i} + 19H_{11,i} + 4H_{12,i} + 4H_{13,i} + 3H_{14,i} + 8H_{15,i} + 6H_{16,i}) - 15, \quad (9.33)$$

где  $H_{k,i}$  — уровень воды, непосредственно измеренный на постах в момент составления прогноза  $t_i$ .

Преимущества КА четко выявляются при сравнении прогностических уравнений, полученных на одних и тех же данных с применением КА и без его применения — обычным методом наименьших квадратов. Уравнение (9.33), как уже говорилось, найдено с помощью КА, а ниже приведено уравнение множественной регрессии, рассчитанное по тем же исходным данным, но методом наименьших квадратов:

$$H_{\max}(t_{i+10}) = 10^{-3}(108H_{1,i} - 8H_{2,i} + 36H_{3,i} + 3H_{4,i} + 27H_{5,i} + 10H_{6,i} + 14H_{7,i} - 0,1H_{8,i} + 32H_{9,i} - 10H_{10,i} + 19H_{11,i} - 3H_{12,i} - 118H_{13,i} + 82H_{14,i} - 7H_{15,i} - 20H_{16,i}) + 180, \quad (9.34)$$

где обозначения такие же, как и в уравнении (9.33).

Сравнение уравнений (9.33) и (9.34) показывает, что коэффициенты в уравнении (9.34) физически более оправданы в смыслеходящая влияния запасов воды в руслах рек на будущий уровень в створе замыкающего поста. Коэффициенты изменяются по длине рек более закономерно. Неустойчивость коэффициентов в уравнении (9.34), которая проявляется в несоразданных скачках их значений от 108 до -113 для постов, расположенных по соседству на одной реке (например, для постов 1 и 13), после применения КА для получения уравнения (9.33) заметно уменьшилось. Это связано и с средней квадратической ошибкой прогноза на независимой выборке, которая включала в себя 10 лет наблюдений и

состояла из 145 случаев: для уравнения (9.34) она равна 37 см, а для уравнения (9.35) — 27 см.

При нахождении уравнений для прогноза характерных уровней воды в п. Бездан на р. Дунае также применен КА, но не в традиционной форме посредством предварительного вычисления хронологического хода коэффициентов разложения  $T_i$ , как было доказано при нахождении уравнений для прогноза уровней воды в п. Абрамково на р. Северной Двине, а путем использования уравнения (9.22). Для этого достаточно вычислить ковариационную матрицу  $A$  аргументов, ее собственные числа  $\lambda_i$  и собственные векторы  $m_i$ , а также вектор взаимной ковариации  $u$  аргументов и функции прогнозируемого уравнения. Далее с помощью одного из приведенных выше критериев (9.24) или по графику амплитудной характеристики следует определить число удерживаемых компонентов ( $k < n$ ) и рассчитать по формуле (9.22) параметры и прогнозируемого уравнения.

Таким образом, например, получено следующее уравнение:

$$N_{\text{макс. } t_1+20} = 10^{-3}(25N_1 + 66N_2 + 22N_3 + 4N_4 + 60N_5 + 4N_6 + 10N_7 + 43N_8), \quad (9.35)$$

где  $N_{\text{макс. } t_1+20}$  — прогнозируемые на период 20 сут максимальные уровни воды в п. Бездан;  $N_1, \dots, N_8$  — уровни воды в момент составления прогноза  $t_1$  на семи вышележащих постах соответственно: Ретексбурге (1), Шердигте (2), Ликке (3), Веле (4), Братсаве (5), Будавете (6), Моклаче (7) и в самом Бездане (8).

**Пример 9.4.** Прогноз уровня воды, лимитирующего судоходство.

На рис. 9.6 приведен пример, в котором первый ( $T_1$ ) и второй ( $T_2$ ) коэффициенты разложения, полученные в предыдущем примере, используются для альтернативного прогноза: будет ли в будущую декаду амплитудный уровень в Абрамкове выше или ниже уровня, лимитирующего судоходство на этом участке реки. Дискриминирующая функция, проведенная на рисунке пунктиром, аппроксимируется следующими линейным уравнением:

$$f(T_1, T_2) = T_1 - 0,38T_2 - 1,70 = 0. \quad (9.36)$$

При значениях дискриминантной функции  $f(T_1, T_2) > 0$  минимальный уровень в последующую декаду в Абрамкове будет больше, а при значениях  $f(T_1, T_2) < 0$  — меньше уровня, лимитирующего судоходство на участке г. Колгас — с. Абрамково.

В простом случае, как на рис. 9.6, дискриминантную линию легко провести, если у точек на графике выписать значения уровней, соответствующих значениям  $T_1$  и  $T_2$ .

**Пример 9.5.** Прогноз средних декадных расходов воды в п. Бездан на р. Дунае с учетом неравномерности выпадения осадков по площади бассейна.

Руслевые запасы воды в день выпуска прогноза составляют лишь часть стока в последующее время. Остальная часть формируется за счет истощения запасов воды в бассейне и притока воды от осадков, выпадающих в период, непосредственно предшествующий моменту составления прогноза и равный времени добегания осадков до русла реки, а также от осадков, выпадающих в период

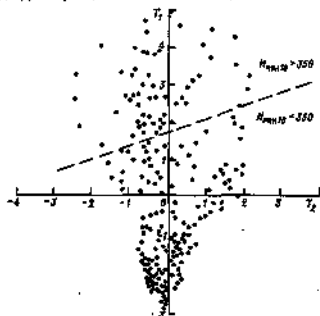


Рис. 9.6. График для альтернативного прогноза лимитирующего судоходства уровней воды (р. Северная Двина).

заблаговременности прогноза, коэффициент стока которых зависит от увлажненности бассейна. Для учета каждого из перечисленных факторов разработаны расчетные способы. Однако они требуют соответствующих данных наблюдений с определенными разрешениями во времени и пространстве. В качестве выдела общих запасов влаги можно принять осадки за тот или иной период, предшествующий прогнозу. Длина периода зависит от размеров бассейна или от впитываемости истощения этих запасов в конкретном бассейне.

Для Дуная выше п. Бездан (площадь водосбора 210 250 км<sup>2</sup>, расстояние от устья 1425 км), в качестве характеристики общих запасов воды в бассейне, кроме запасов в основных руслах, использованы месячные суммы осадков. Конечно, эта характеристика является приближенной.

Осадки по водосбору распределяются неравномерно. Для учета этой неравномерности можно применять представление полей с помощью собственных векторов. Бассейн выше Бездана разби-

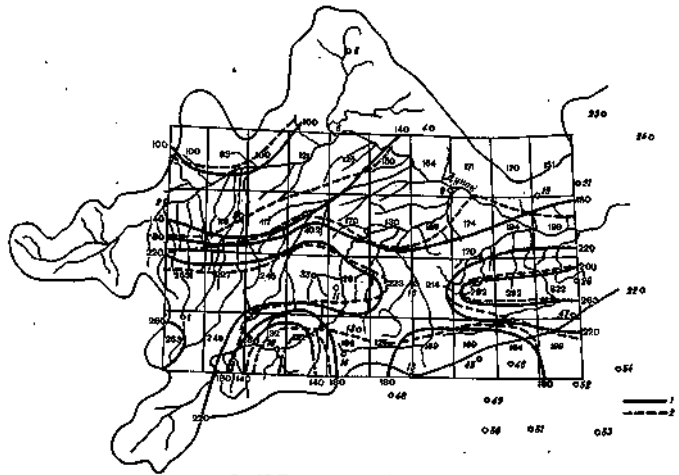


Рис. 9.7. Поле фактических (1) и восстановленных (2) осадков.

всем регулярной сетки на 40 ( $4 \times 10$ ) прямоугольников (рис. 9.7), в центр которых линейно интерполируем количество осадков по данным ближайших станций. Вес станции принимаем обратно пропорциональным расстоянию от центра, но с учетом их взаимного расположения.

За 11 лет наблюдений для каждого из пяти месяцев (с июня по август) строим карты колей осадков. По ним получаем корреляционные матрицы и их собственные векторы  $u_i(x)$  и  $x_i(y)$  по двум взаимно перпендикулярным направлениям. Коэффициенты разложения вычисляем по следующим формулам:

$$T_{i,1} = \sum_y F(x, y) u_i(x) x_j(y) \left( \sum_y u^2(x) = 1, \sum_y x^2(y) = 1 \right);$$

$$T_{i,2} = \sum_x F(x, y) u_i(x) v_j(y) \quad (j=0, i=1 \dots n_x);$$

$$T_{i,3} = \sum_y F(x, y) x_i(y) v_j(y) \quad (i=0, j=1 \dots n_y). \quad (9.37)$$

где  $n_x$  и  $n_y$  — количество точек, представляющих коле по осям  $x$  и  $y$ .

Для аппроксимации полей осадков удерживаем первые два коэффициента разложения по оси  $x$  и первые три — по оси  $y$ . Точность представления исходных полей при этом равна  $\bar{\epsilon} = 0,49$  с. При восстановлении по первым четырем (по оси  $x$ ) и пяти (по оси  $y$ ) коэффициентам разложения среднее квадратическое значение ошибки равно  $\bar{\epsilon} = 0,18$  с. Значения  $\bar{\epsilon}$  и  $\sigma$  получаем в результате осреднения по всем восстанавливаемым полям. На рис. 9.7 приведены фактическое и восстанавливаемое поле осадков за май 1965 г. В общем виде прогностическое уравнение имеет вид:

$$Q_{ср. n} = a \sum_{i=1}^n b_i Q_i + \sum_{i=1}^2 c_i T_i(x) + \sum_{j=1}^4 d_j T_j(y). \quad (9.38)$$

где  $Q_i$  — расходы воды в шести створах Дуная (пункты Шердинг, Регенбург, Линц, Братислава, Будапешт, Бездан);  $b_i$  — задаваемые параметры для вычисления русловых запасов воды, зависящие от времени добегания на участках между соседними створами  $i$  и  $i+1$ ;  $a$ ,  $c_i$  и  $d_j$  — неизвестные параметры. Аналогичные уравнения можно получить для минимальных и максимальных декадных уровней. В табл. 9.4 приведены значения параметров этих уравнений.

Первый член правой части уравнения (9.38) представляет собой вычисляемые запасы воды в основном русле Дуная и его притоке р. Инн, второй член — поля месячных сумм осадков в бассейне Дуная, характеризующиеся шестью независимыми выше коэффициентами разложения. Параметры  $a$ ,  $c_i$  и  $d_j$  находим с помощью метода оптимизации.

Сопоставление точности прогноза на независимой выборке, составленного без учета выпадающих осадков, с тем же прогнозом по уравнению (9.38) показывает, что последний имеет меньшую

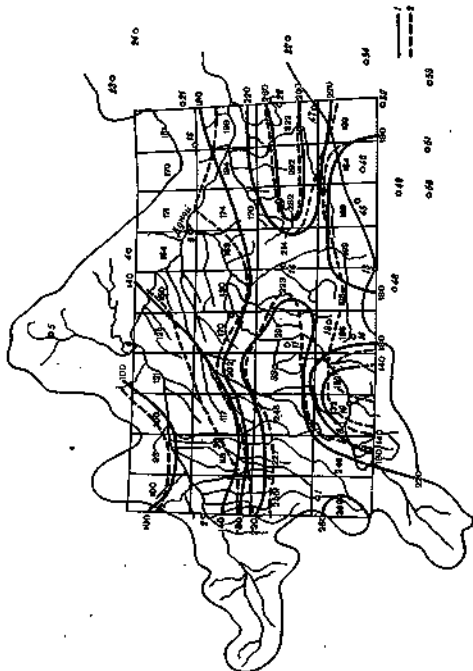


Рис. 9.7. Поле фактических (1) и восстанавливаемых (2) осадков.

Таблица 9.4

Значения характеристик урочища (9.26) для прогноза характерных декадных расходов воды в г. Вельям

Расход воды	$\alpha$	$\alpha_1 \times 10^{-4}$	$\alpha_2 \times 10^{-3}$	$\alpha_3 \times 10^{-2}$	$\alpha_4 \times 10^{-1}$	$\alpha_5 \times 10^{-1}$	$\alpha_6 \times 10^{-1}$
$Q_{ср, 10}$	0,99	-0,68	-3,04	-0,18	3,06	-0,94	1,43
$Q_{мин, 10}$	0,91	-2,33	-0,15	-3,80	4,02	-1,94	0,57
$Q_{макс, 10}$	1,00	0,91	0,54	-1,15	0,21	-1,52	-0,96

погрешность. Особенно очевиден выигрыш в точности прогноза максимальных расходов на декаду (табл. 9.5).

Таблица 9.5

Эффективность методов прогноза характерных декадных расходов в г. Вельям на Ивановской водопроводной станции

Вид прогноза	$Q_{ср, 10}$	$Q_{мин, 10}$	$Q_{макс, 10}$
По русловым запасам	0,56	0,70	0,65
По русловым запасам с учетом осадков	0,53	0,69	0,49

Пример 9.8. Определение кривой добегания с помощью компонентного анализа.

Кривую добегания притока воды в русловую сеть р. Вычегды выше г. Сыктывкар получаем следующим образом. По расходам воды в г. Сыктывкар вычисляем приток воды по способу, изложенному в гл. 3 настоящего Руководства, автокорреляционную функцию, а также взаимокорреляционную функцию расходов с вычисленными значениями притока.

Далее, получаем собственные числа  $\lambda_i$  и собственные векторы автокорреляционной матрицы, представляющей в дискретном виде (с суточным интервалом) автокорреляционную функцию. Значения ординат неизвестной кривой добегания находим по формулам (9.22) и (9.26).

На рис. 9.8 а (кривая 1) показано изменение модуля амплитудной характеристики  $|V_i/\lambda_i|$  ( $\beta_i$  — суммы произведений элементов собственных векторов со взаимокорреляционной функцией) в зависимости от номера собственного числа. Первый локальный минимум этой функции показывает, что для нахождения искомого решения с помощью компонентного анализа (путем отбрасывания части компонентов) достаточно удержать пять первых компонентов ( $k=5$ ). Соответствующее решение приведено на рис. 9.8. По сравнению с ординатами кривой добегания, найденной методом

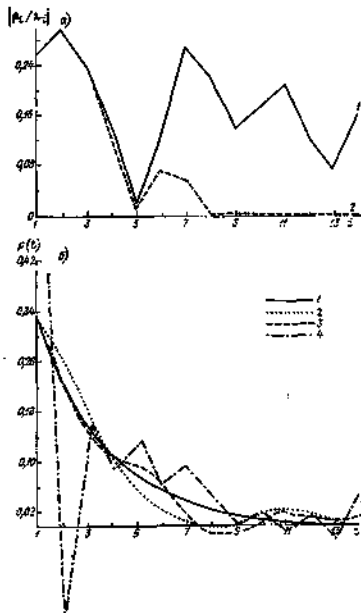


Рис. 9.8. Кривые добегания, полученные по поступающей воде на водосбор в расходах в г. Сыктывкар на р. Вычегда.

а) — модуль амплитудной характеристики, полученный по измеренным данным (кривая 1) и метод применения формул (9.26) (кривая 2); б) соответствующая оригинальному процессу добегания, вычисленная: 1 — на автокорреляционной функции устья; 2 — с помощью компонентного анализа (9.22); 3 — с помощью формул (9.26); 4 — с помощью метода вычисления наводнения.

наименьших квадратов, показывая на том же рисунке, оно лучше отвечает принятым представлениям о кривой дообегания для одного характерного участка и весьма близко к кривой дообегания, подобраемой по тем же исходным данным на электронно-моделирующем устройстве.

Процедуру (9.26), в которой компоненты подавляются, используем для нахождения кривой дообегания со следующими условиями:

$$\sum_{k=1}^{k < n} (a_k^2/\lambda_k) \leq R_0^2 \quad (9.39)$$

Значение  $R_0^2$  определено так же, как и в предыдущем случае, во первом локальном минимуме на графике моделей амплитудной характеристики  $|\beta_i/\lambda_i|$ :  $\sum_{i=1}^m (\beta_i^2/\lambda_i^2) = 0.23$ . Параметр  $\alpha$ , подавляющий компоненты, соответствующие малым значениям  $\lambda_i$ , найдем из выражения

$$R_0^2 = \sum_{i=1}^{i=m} \{ \beta_i^2 / [\lambda_i + \alpha^2(\lambda_i + 2\alpha)] \} \quad (9.40)$$

На рис. 9.8 б показан ход ординат кривых дообегания, найденных путем применения процедуры (9.26), а на рис. 9.8 а видно, в какой степени подавлялись различные компоненты по сравнению с фактическими.

## Приложение 1

Таблица гамма-функции  $\Gamma(x)$

x	$\Gamma(x)$	x	$\Gamma(x)$	x	$\Gamma(x)$	x	$\Gamma(x)$
1,00	1,0000	1,25	0,9064	1,50	0,8862	1,75	0,9191
01	0,9643	28	0,9044	51	0,8886	76	0,9214
02	0,9888	27	0,9026	52	0,8870	77	0,9238
03	0,9936	26	0,9007	53	0,8856	78	0,9262
04	0,9984	25	0,8990	54	0,8842	79	0,9288
1,05	0,9738	1,30	0,8975	1,85	0,8989	1,60	0,9314
06	0,9887	31	0,8960	56	0,8896	81	0,9341
07	0,9912	32	0,8948	57	0,8896	82	0,9368
08	0,9907	33	0,8934	58	0,8914	83	0,9397
09	0,9908	34	0,8922	59	0,8924	84	0,9426
1,10	0,9614	1,35	0,8912	1,60	0,8935	1,85	0,9456
11	0,9474	36	0,8902	61	0,8917	86	0,9487
12	0,9336	37	0,8898	62	0,8959	87	0,9518
13	0,9200	38	0,8885	63	0,8972	88	0,9551
14	0,9064	39	0,8878	64	0,8986	89	0,9584
1,15	0,8830	1,40	0,8873	1,85	0,9001	1,60	0,9618
16	0,8708	41	0,8868	66	0,9017	91	0,9652
17	0,8587	42	0,8864	67	0,9035	92	0,9686
18	0,8467	43	0,8860	68	0,9060	93	0,9724
19	0,8349	44	0,8858	69	0,9068	94	0,9761
1,20	0,8182	1,45	0,8857	1,70	0,9086	1,56	0,9799
21	0,8156	46	0,8856	71	0,9106	96	0,9837
22	0,8131	47	0,8856	72	0,9126	97	0,9877
23	0,8106	48	0,8858	73	0,9147	98	0,9917
24	0,8085	49	0,8860	74	0,9168	99	0,9958
1,25	0,8064	1,50	0,8862	1,75	0,9191	2,00	1,0000

Значения гамма-функции для  $x < 1$  и для  $x > 2$  могут быть вычислены с помощью формул:

$$\Gamma(x) = \Gamma(x+1)/x, \quad \Gamma(x) = (x-1)\Gamma(x-1)$$

Примеры:

$$1) \Gamma(0,7) = \frac{\Gamma(1,7)}{0,7} = \frac{0,886}{0,7} = 1,266,$$

$$2) \Gamma(3,5) = 2,5 \cdot \Gamma(2,5) = 2,5 \cdot 1,5 \cdot \Gamma(1,5) = \\ = 2,5 \cdot 1,5 \cdot 0,8862 = 3,234.$$

## Приложение 2

### Краткая характеристика программ, использовавшихся в примерах

#### 2.1. Расчет трансформации гидрографа стока на речных системах<sup>1</sup>

Программа предназначена для определения параметров кривой дождевки, выраженной двухпараметрическим гамма-распределением. Гидрограф стока в замыкающем створе рассчитывают с помощью линейной модели (3.8). Программа может быть также использована для определения параметров, если в замыкающем створе заданы уровни воды. В этом случае автоматически определяют параметры кривой расходов.

Программа включает в себя независимый модуль для учета распределенного бокового притока (оттока на пойме), который, по желанию пользователя, может быть исключен.

Расчеты можно вести либо для одиночного участка, либо для нескольких соединенных последовательно участков. В последнем случае необходимо соблюдать следующие условия:

— во входных створах первого участка и на всех притоках должны быть заданы расходы воды; для остальных участков вместо расходов воды могут быть заданы уровни;

— если во входном створе какого-либо участка заданы уровни воды, то оптимизацию параметров для него необходимо вести одновременно с оптимизацией для предыдущего участка.

— при учете распределенного бокового притока как во входных, так и в выходном створах необходимо задавать данные о расходах воды.

Результатом работы программы являются оптимальные параметры кривых дождевки и рассчитанные расходы (уровни) воды для всех включенных в расчет участков.

Программа написана на языке ФОРТРАН-4 и в полном варианте включает в себя 804 оператора. Необходимый объем оперативной памяти 100К.

#### 2.2. Смешанная модель формирования стока речной системы<sup>2</sup>

Программный комплекс, реализующий смешанную модель формирования стока речной системы, состоит из восьми компонентов,

<sup>1</sup> Программа составлена Н. П. Черновой. Сведения о программе опубликованы в Авторизованном перечне новых поступлений в ОФАП Госкомгидромета СССР (Обнинск, 1981, вып. 4, с. 30).

<sup>2</sup> Программа составлена А. В. Ромашович и А. Я. Полуниным. Сведения о программе опубликованы в Авторизованном перечне новых поступлений в ОФАП Госкомгидромета СССР (Обнинск, 1986, вып. 4, с. 22—23).

каждый из которых может быть использован независимо. Для реализации задачи, рассмотренной в примере 4.1, из данного комплекса используют два компонента MORISIN и HYDRSIN.

Компонент MORISIN позволяет по данным наблюдений за установленным режимом воды рассчитать морфометрические характеристики русла (ширину и площадь поперечного сечения).

Реализация данного компонента предусматривает:

- ввод основных параметров и некоторых массовых исходных данных;

- считывание из баз данных исходной информации на период расчета по уровням воды для опорных гидрологических постов, расходам воды для входного и замыкающего створов, а также расходам воды по выделенным боковым притокам;

- определение масштабов нормирования, нормировку исходных данных и расчет правой части интегрального уравнения, полученного в результате интегральных преобразований уравнения неразрывности;

- циклический ввод параметров, определяющих степень аппроксимирующую площадь поперечного сечения полиномом Чебышева;

- расчет элементов исходной матрицы, оценка значений функций регуляризации и определение по ним коэффициентов разложения ширины русла в ряд по полиномам Чебышева;

- доопределение нулевых коэффициентов разложения площади поперечного сечения русла в ряд по полиномам Чебышева, расчет и печать по ним в табличной форме для опорных гидрологических постов исходных морфометрических характеристик русла;

- оценка значений критерия качества, определяющего выбор оптимальной степени аппроксимирующих полиномов Чебышева;

Компонент HYDRSIN позволяет по заданным морфометрическим характеристикам русла и данным наблюдений за установленным режимом воды рассчитать гидравлические характеристики русла (коэффициент шероховатости в формуле Шван-Маннинга и модуль расхода воды) с помощью решения обратной задачи для упрощенного уравнения давлений при наличии (отсутствии) сосредоточенных боковых притоков. Реализация данного компонента предусматривает:

- ввод основных параметров ведомостельных массивов исходных данных и коэффициентов разложения площади поперечного сечения русла в ряд по полиномам Чебышева, полученным с помощью компонента MORISIN;

- считывание из баз данных исходной информации по уровням воды для опорных гидрологических постов, расходам воды для входного и замыкающего створов, а также расходам воды по выделенным боковым притокам на период расчета;

- расчет промежуточных расходов воды с использованием интегрального аналога уравнения неразрывности, определение масштабов нормирования и нормировки исходных данных;

- расчет правой части интегрального уравнения Фредгольма 1-го рода, полученного в результате интегральных преобразований упрощенного уравнения, и определение по заданным коэффициентам разложения для опорных гидрологических постов ширины и площади поперечного сечения русла;

- циклический ввод параметров, определяющих степень аппроксимирующую квадрат коэффициента шероховатости полиномом Чебышева, порядковый номер аппроксимации заданного оптимального параметра регуляризации;

- расчет элементов исходной матрицы плена, оценка значений функций регуляризации и определение по ним коэффициентов разложения квадрата коэффициента шероховатости в ряд по полиномам Чебышева;

- расчет по коэффициентам разложения и печать в табличной форме для опорных гидрологических постов исходных гидравлических характеристик русла (коэффициентов шероховатости и модулей расхода воды).

Оба модуля написаны на языке ФОРТРАН-4. Модуль MORISIN включает в себя 925 операторов, модуль HYDRSIN — 1016. Необходимая оперативная память для работы MORISIN — 222К, для HYDRSIN — 238К.

### 2.3. Численная схема расчета неустановившегося движения воды в разветвленной системе речных русел<sup>1</sup>

Программа позволяет с помощью численного интегрирования уравнений Сен-Венана дать расчет (прогноз) уровней и расходов воды по длине трех расчетных участков, схематизировавших разветвленную речную систему Нижней Волги, с одним входом, одной общей вершиной и двумя выходами. Расчеты могут быть выполнены с учетом искусственного регулирования стока в вершине дельты вододельителем.

Реализация программы предусматривает:

- ввод основных параметров и некоторых массивов исходных данных;

- считывание прямых доступом с магнитного диска ряда вспомогательных массивов исходных данных, определяющих кривые расхода воды для двух выходных створов, площади затопления поймы по длине реки, отметки нулей графиков гидрологических постов и их расстояния от входных створов по каждому расчетному участку;

- ввод значений расходов воды для входного створа, уровней воды в начальный момент времени для опорных гидрологических

<sup>1</sup> Программа составлена А. В. Ротенштейн. Сведения о программе опубликованы в Автореферате серии новых поступающих в ОАИГ Госкомгидромета СССР (Облик, 1981, вып. 4, с. 31).

постов, а также значений уровней воды, характеризующих режим работы водохранилища в том случае, если в вершине дельты происходит искусственное регулирование стока:

— считывание прямым доступом с магнитного диска массивов, определяющих морфометрические и гидравлические характеристики русла, заданные для всех спорных гидрологических постов по длине трех расчетных участков и восстановленные с помощью компонентов MORSIN, HYDRSIN, а также кривых связи фактических уровней воды с расчетными;

— расчет начального распределения уровней и расходов воды по длине трех расчетных участков с шагом, равным шагу интегрирования исходной системы уравнений по расстоянию;

— численное интегрирование исходной системы уравнений по времени в соответствии с использованием двухшаговой явной конечно-разностной схемы Лакса—Вендрофа в случае искусственного и естественного распределения воды в вершине дельты с учетом и без учета притока-оттока воды на пойму;

— выдача на печать с любым интервалом времени для любых фиксированных пунктов по длине трех расчетных участков рассчитанных значений уровней и расходов воды.

Программа написана на языке ФОРТРАН-4 и включает в себя 874 оператора. Необходимый оперативный объем памяти 126К.

#### 2.4. Модель формирования талого и дождевого стока (RSMC) <sup>1</sup>

Программа реализует алгоритм модели формирования талого, дождевого и тало-дождевого стока (п. 7.1). Программа может быть использована для:

— калибровки модели по заданной информации для конкретного водосбора с последующим расчетом по полученным оптимальным параметрам для всей подготовленной выборки, включая годы, не вошедшие в оптимизацию;

— расчета гидрографа стока по заданным параметрам без предварительной калибровки для всех лет, информация по которым записана на магнитных носителях.

Расчеты можно вести как непрерывно для всего календарного года, так и для отдельных периодов года, например только для теплого периода (дождевые паводки), либо в период прохождения дождевых и тало-дождевых паводков при неустойчивом задевании снежного покрова.

Программа может быть использована для практически полностью залесенных либо полевым водосборам, а также для частично залесенных.

<sup>1</sup> Программа составлена В. И. Корнеем и В. А. Бельчицким. Сведения о программе опубликованы в Авторском отчете «Исследования по гидрологии в ОФАП Госкомгидромета СССР (Объекты, 1986, вып. 2, с. 8).

Все гидрометеорологические данные, необходимые для расчета по модели, предварительно должны быть записаны на магнитные носители в три файла. Управляющую информацию (для выбора режимов работы программ) и часто меняющуюся при калибровке данные (параметры, оптимизируемые годы и т. д.) вводит с перфокарт.

На АЦПУ выдаются полученные параметры модели и ежедневные расходы воды, сформированные в виде годовых таблиц.

Программа написана на языке ФОРТРАН-4 и включает в себя 1673 оператора. Необходимый объем оперативной памяти 150К.

#### 2.5. Оптимизация параметров математической модели формирования дождевого стока <sup>1</sup>

Программа реализует алгоритм модели формирования дождевых паводков, изложенный в п. 7.2. Для определения параметров модели используются метод Розенброка. В качестве критерия качества используются суммы квадратов отклонений рассчитанных объемов гидрографа от фактических. В оптимизацию может быть включено несколько паводков одновременно.

Для работы программы необходимо задать средние по водосбору осадки, дефицит влажности воздуха и скорость ветра, расходы воды в замыкающем створе на периоды паводков, а также начальные значения параметров.

В результате расчета на АЦПУ выдаются оптимальные значения параметров, критерий качества и рассчитанные ординаты гидрографа.

Программа написана на языке ФОРТРАН-4 и включает в себя 346 операторов. Необходимый объем оперативной памяти 86К.

#### 2.6. Расчет гидрографа дождевого паводка по математической модели ГМЦ—УкрНИИ <sup>2</sup>

Программа может быть использована для расчета дождевых паводков по полученным ранее параметрам модели, изложенной в п. 7.2.

Входные данные аналогичны данным, используемым в программе приложения 2.5, за исключением расходов воды, которые можно не вводить. На АЦПУ выдаются рассчитанные ординаты гидрографа.

<sup>1</sup> Программа составлена М. Н. Сооско. Сведения о программе опубликованы в Информационном бюллетене «Алгоритмы и программы» (ВНТИЦ, 1983, 5(60), с. 36).

<sup>2</sup> Программа составлена М. Н. Сооско. Сведения о программе опубликованы в Информационном бюллетене «Алгоритмы и программы» (ВНТИЦ, 1983, 5(66), с. 38).

Программа написана на языке ФОРТРАН-4 и включает в себя 184 оператора. Необходимый объем оперативной памяти 80К.

## 2.7. Расчет ежедневных расходов воды горной реки на основе математической модели формирования стока<sup>1</sup>

Программа состоит из нескольких блоков, осуществляющих следующие операции:

- расчет параметров формулы, аппроксимирующей суточное распределение осадков с высотой;
- расчет суточных сумм осадков и средних суточных значений температуры воздуха, приведенных к заданной высоте;
- расчет поступления воды на поверхность водосбора;
- запись на магнитную ленту входных данных: температуры воздуха, осадков, расходов воды, констант модели;
- оптимизацию параметров модели;
- выпуск прогноза расходов воды в оперативном режиме.

Таким образом, комплекс программ позволяет вести как разработку метода прогноза, так и оперативный выпуск прогноза. Этот комплекс реализован для р. Карадары, однако может быть использован для других водосборов после небольших изменений. Программа написана на языке АЛГОЛ-60.

## 2.8. Выпуск непрерывных краткосрочных прогнозов расходов (уровней) воды для речных систем<sup>2</sup>

Программа реализует схему трансформации на речных системах, основанную на использовании кривых добега, описываемых двухпараметрически гамма-распределением. Для корректировки прогноза использован статистический алгоритм адаптации (см. п. 3.4.3).

Программа может быть использована как для выпуска прогноза в реальном масштабе времени по всем заданным створам рассматриваемой системы, так и для выпуска серии прогнозов за какой-либо интервал времени на ардных данных. В последнем случае помимо серии прогнозов различной заблаговременности рассчитывают средние квадратические ошибки прогнозов.

<sup>1</sup> Мухин В. М., Полунина А. Я. Методические указания к разработке метода краткосрочного прогноза расходов воды горных рек на основе математической модели формирования стока. — М.: Гидрометеоиздат, 1982, с. 65—147.

<sup>2</sup> Программа составлена В. И. Коренью. Сведения о программе опубликованы в Авторизованном перечне новых поступлений в ОФАП Госкомитетом СССР (Обанк, 1982, вып. 4, с. 18).

Помимо собственно блока расчета трансформации имеется блок по созданию и редактированию банка данных для речной системы. Это позволяет в зависимости от технического оборудования ЭВМ и объема исходной информации вести расчеты с использованием входной информации с перфокарт, с магнитного диска и одновременно с перфокарт и магнитного диска. Следовательно, можно использовать программу для выпуска прогноза в реальном масштабе времени при непрерывном поступлении новой информации. При этом запись ранее на магнитном диске информацию редактируют в соответствии с датой поступления новых данных.

Входными данными являются расходы либо уровни воды и параметры трансформации. Предусмотрено несколько режимов выдачи, отличающихся объемом выдачи входных данных.

Программа написана на языке ФОРТРАН-4 и включает в себя 1482 оператора. Необходимый объем оперативной памяти 162К.

## Список литературы

### Общие

1. Анколов Б. А., Клячкин Г. П., Комаров В. Д. Курс гидрологических прогнозов.—Л.: Гидрометеоиздат, 1974.—420 с.
2. Алексин Ю. М. Краткосрочные прогнозы стока на равнинных реках.—Л.: Гидрометеоиздат, 1956.—266 с.
3. Бефань Н. Ф., Клячкин Г. П. Улучшения и методические разработки по гидрологическим прогнозам.—Л.: Гидрометеоиздат, 1963.—381 с.
4. Гидрологические прогнозы: Труды IV Всесоюз. гидро. съезда.—Л.: Гидрометеоиздат, 1976, т. 1.—375 с.
5. Гидрологические прогнозы и практические основы гидрологических расчетов: Труды V Всесоюз. гидро. съезда.—Л.: Гидрометеоиздат, 1969, т. 6.
6. Попов Е. Г. Гидрологические прогнозы.—Л.: Гидрометеоиздат, 1979.—256 с.

### К главам 1—2.

1. Акмившин В. В. и др. Способы определения параметров крутых дождевых.—Труды Гидрометцентра СССР, 1971, вып. 72, с. 34—53.
2. Жидиков А. П. Прогноз уровней и расходов воды в Волге ниже Волжской ГЭС им. XII съезда КПСС.—Труды ЦНИГ, 1967, вып. 183, с. 79—107.
3. Жидиков А. П., Полуин А. Я. О корреляции краткосрочных прогнозов расходов водам.—Труды Гидрометцентра СССР, 1963, вып. 285, с. 69—74.
4. Клячкин Г. П., Мельников П. И. Приближенный расчет установившегося движения водных масс.—Л.: Гидрометеоиздат, 1958.—72 с. (Труды ЦНИГ. Вып. 95).
5. Клячкин Г. П. Основы методов краткосрочных прогнозов водного режима.—Л.: Гидрометеоиздат, 1962.—156 с. (Труды ЦНИГ. Вып. 22(56)).
6. Клячкин Г. П., Жидиков А. П. Расчет уровней и расходов воды ниже ГЭС.—Труды ЦНИГ, 1964, вып. 133, с. 3—22.
7. Корень В. И. Определение параметров крутых дождевых при отсутствии наблюдений за расходами воды в замыкающем створе.—Труды Гидрометцентра СССР, 1978, вып. 207, с. 108—112.
8. Корень В. И. Статистический алгоритм адаптации при выдусе ледяных краткосрочных прогнозов стока.—Метеорология и гидрология, 1964, № 3, с. 80—84.
9. Корень В. И., Чернова Н. П. Учет распределения годового притока при расчетах установившегося движения воды.—Труды Гидрометцентра СССР, 1962, вып. 240, с. 67—73.

10. Кучмент Л. С. Математическое моделирование речного стока.—Л.: Гидрометеоиздат, 1972.—192 с.

11. Левин А. Г., Жидиков А. П. Прямые расчеты хода уровней р. Волги ниже Сталинградской ГЭС методом электроаналогии.—Метеорология и гидрология, 1961, № 8, с. 38—41.

12. Пособие по краткосрочным прогнозам паводочного стока рек.—Л.: Гидрометеоиздат, 1973.—148 с.

13. Топоров В. М. Построение графы обводки воды для участков рек путем колбора на ЭВМ.—Труды ЦСРНИГМИ, 1976, вып. 37, с. 26—33.

### К главе 3

1. Грушевский М. С. Волны паводков и изливов в реках.—Л.: Гидрометеоиздат, 1969.—337 с.
2. Корень В. И. Интегрирование уравнений Сен-Венана и аппроксимация морфометрических и гидравлических характеристик русла при расчетах установившегося движения.—Труды Гидрометцентра СССР, 1974, вып. 181, с. 36—48.
3. Корень В. И., Романов А. В. Определение морфометрических и гидравлических характеристик русла при интегрировании уравнений Сен-Венана.—Метеорология и гидрология, № 5, 1976, с. 71—80.
4. Кучмент Л. С. Математическое моделирование речного стока.—Л.: Гидрометеоиздат, 1972.—192 с.
5. Романов А. В. Численная схема прогноза водного режима в системе разветвленных русел Нижней Волги.—Труды Гидрометцентра СССР, 1963, вып. 246, с. 30—41.

### К главам 4—5

1. Бефань Н. М. Основы теории ливневого стока.—Труды ОГМИ, 1958, ч. 2, вып. 14.—310 с.
2. Бефань Н. Ф. Прогнозирование дождевых изливов на основе терриформально общих закономерностей.—Л.: Гидрометеоиздат, 1977.—182 с.
3. Исследование возможности установившейся способности речных колборов для дальнейших расчетов и прогнозов водного стока.—Л.: Гидрометеоиздат, 1960.—138 с. (Труды ГИИ. Вып. 265).
4. Комаров В. Д. Весенний сток речных вод Европейской части СССР, условия его формирования и методы прогноза.—М.: Гидрометеоиздат, 1959.—295 с.
5. Комаров В. Д., Михарова Т. Т., Сиднеуб Е. С. Расчет гидрографов дождевых и снеговых равнинных рек на основе данных об испаряемости снеготаяния.—Труды Гидрометцентра СССР, 1969, вып. 37, с. 3—39.
6. Корень В. И. Математическая модель дождевого и талого стока с гидрометрическими прогнозами.—В кн.: Некоторые вопросы современной научной и прикладной гидрологии. М., 1981, ч. 1, с. 156—169.
7. Левин А. Г. Прогноз паводков по данным о расходах воды малых рек.—Труды Гидрометцентра СССР, 1967, вып. 2, с. 8—35.
8. Ливисей Р. К., Колес М. А., Паулюс Д. Л. Х. Прикладная гидрология.—Л.: Гидрометеоиздат, 1962.—769 с.

К главе 6

1. Абаляев Т. С., Мазурова Л. И., Никонорова С. И. Об использовании аэрофотограмметрии для изучения снежного покрова в горном бассейне р. Барзоб.—Труды Гидрометеостроения СССР, 1971, вып. 12, с. 92—105.
2. Абаляев Т. С., Мухин В. М., Полаухин А. Я. О ледниковом явлении и возможности долгосрочного прогноза стока горных рек в бассейнах оледененных водосборов.—Материалы гидрометеорологических исследований, 1980, вып. 39, с. 42—49.
3. Вадков А. И. Анализ и прогнозы стока рек Камчатки.—Л.: Гидрометеоиздат, 1966.—274 с.
4. Виноградов Ю. В. Вопросы гидрологии дождевых паводков на малых водосборах Средней Азии и Южного Казахстана.—Л.: Гидрометеоиздат, 1967.—202 с. (Труды КашНТИМ, Вып. 26)
5. Глазман Г. Е. К расчету количества твердых осадков в талых и горных.—Труды САНИИ, 1938, вып. 99(180), с. 30—41.
6. Голубов В. А. О построении математической модели формирования стока в горном водосборе.—Труды КашНТИМ, 1975, вып. 48, с. 3—36.
7. Жидков А. П., Нечаева Н. С. Методические указания по разработке систем краткосрочных прогнозов расхода воды рек и притоков воды в водохранилищах и методах прогнозирования на основе моделей талого стока.—Л.: Гидрометеоиздат, 1982.—72 с.
8. Жидков А. П., Левин А. Г., Нечаева Н. С., Попов Е. Г. Методы расчета и прогноза водостоя на каскадах водохранилищ и речных систем.—Л.: Гидрометеоиздат, 1977.—128 с.
9. Комаров В. Д., Мухин В. М., Полаухин А. Я. Модель формирования снежного покрова и поступления воды на поверхность горного бассейна.—Труды Гидрометеостроения СССР, 1976, вып. 163, с. 38—57.
10. Корень В. И. Моделирование процессов формирования стока рек лесной зоны Европейской территории СССР.—Метеорология и гидрология, 1980, № 10, с. 78—85.
11. Корень В. И., Вельчиков В. А. Опыт использования модели формирования талого и дождевого стока рек лесной зоны Европейской территории СССР.—Труды Гидрометеостроения СССР, 1983, вып. 246, с. 3—20.
12. Математическое моделирование процессов стока горных рек.—Л.: Гидрометеоиздат, 1972.—162 с. (Труды САНТИИМ, Вып. 81(76)).
13. Мухин В. М. Модель формирования стока горной реки.—Труды Гидрометеостроения СССР, 1977, вып. 186, с. 63—78.
14. Мухин В. М., Полаухин А. Я. Методические указания к разработке метода краткосрочного прогноза расходов воды горных рек на основе математической модели формирования стока (на примере р. Карадере).—М.: Гидрометеоиздат, 1982.—149 с.
15. Шенкин Н. Д., Шенгурова Э. К. Лимитные модели бассейновой трансформации стока.—Труды САНТИИМ, 1970, вып. 82(87), с. 47—56.

К главе 7

1. Жидков А. П. Расчеты гидрографа весеннего притока воды в водохранилища Верхней Волги.—Труды Гидрометеостроения СССР, 1960, вып. 228, с. 64—84.

2. Жидков А. П., Нечаева Н. С. Опыт анализа краткосрочных прогнозов расхода притока воды в Волжские водохранилища.—Труды Гидрометеостроения СССР, 1961, вып. 346, с. 32—39.
3. Корень В. И., Вельчиков В. А., Нечаева Н. С. Краткосрочные прогнозы расхода притока воды в Волжские водохранилища. Математический анализ.—В кн.: Труды V Всесоюз. гидрол. съезда. Л., 1969, т. 6.
4. Кучмент Л. С., Нечаева Н. С. Совместное использование электронных вычислений в моделировании явлений и гидрологических прогнозах.—Метеорология и гидрология, 1965, № 4, с. 49—68.
5. Методические указания к построению математической модели формирования дождевых паводков и ее использованию для выпуска оперативных прогнозов расхода воды с помощью ЭВМ.—М.: Обнинск, 1974.—181 с.

К главе 8

1. Воскресенский К. П. Опыт разработки методики прогнозов многолетнего режима рек Европейской части СССР.—Труды ГИИ, 1940, вып. 10, с. 138—164.
2. Горбунов Ю. В. Подсчет запаса воды в речной сети на основе морфологической закономерности ее строения и практического применения метода к прогнозу стока.—В кн.: Труды IV Всесоюз. гидрол. съезда. Л., 1976, т. 7, с. 339—347.
3. Неижиковский Р. А. Русловая сеть бассейна и процесс формирования стока воды.—Л.: Гидрометеоиздат, 1971.—476 с.
4. Пособие по краткосрочным прогнозам гидрологического стока рек.—Л.: Гидрометеоиздат, 1973.—147 с.
5. Ржаницин Н. А. Морфологические и гидрологические закономерности строения речной сети.—Л.: Гидрометеоиздат, 1950.—337 с.
6. Савонников В. И. Основы прогноза стока по запасам воды в речной сети.—Л.: Гидрометеоиздат, 1966.—134 с.
7. Савонников В. И. Прогноз стока рек в бассейне Волги по русловым запасам воды и притоку в речную сеть.—М.: Гидрометеоиздат, 1960.—283 с.

К главе 9

1. Алексеев Г. А. Объективные методы определения и нормализации корреляционных связей.—Л.: Гидрометеоиздат, 1971.—363 с.
2. Айдерсов Т. Введение в дисперсионный статистический анализ.—М.: Физматлит, 1968.—480 с.
3. Барнов Н. А. Аналитическое представление последовательности метеорологических величин посредством естественных ортогональных составляющих.—Труды ЦНИИ, 1959, вып. 74, с. 3—24.
4. Кульбак С. Теория информации и статистика.—М.: Наука, 1967.—408 с.
5. Митропольский А. К. Техника статистических вычислений.—М.: Физматлит, 1961.—479 с.
6. Мухин В. М. Пушечниковые аксиоматические ортогональные функции в решении прогнозов многолетних уровней воды.—Труды Гидрометеостроения СССР, 1968, вып. 26, с. 47—68.

7. Мухин В. М. Решение некоторых обратных задач в гидрологии при помощи регуляризирующих алгоритмов.—Труды Гидрометцентра СССР, 1969, вып. 55, с. 12—36.

8. Мухин В. М. Прогнозы характерных уровней и расходов воды р. Дуны с заблаговременностью 10—20 суток.—Труды Гидрометцентра СССР, 1962, вып. 240, с. 2—21.

9. Подов Е. Г., Мухин В. М. Рейсовые прогнозы уровней воды для судостроения.—Метеорология и гидрология, 1967, № 5, с. 60—66.

10. Служкин В. Е. О квадратичной ошибке коэффициента корреляции в случае олигардных стигмических рядов.—В кн.: Избранные труды. М., 1960, с. 64—101.

11. Фадеева В. Н. Связь для систем с потоком обобщенных матриц.—Журнал ВМ и МФ, 1968, т. 3, № 5, с. 22—25.

12. Хедди Дж. Линейная алгебра.—М.: Высшая школа, 1966.—206 с.

13. Шендик Н. Д. Естественные ортогональные составляющие помех осциллов за колоссаль период и некоторые возможности их использования для долгосрочных гидрологических прогнозов.—Труды САННИГМИ, вып. 26(107), 1976, с. 81—104.

## Оглавление

Предисловие .....	3
Введение .....	5
Часть I. Прогноз расходов и уровней воды на участках рек .....	7
Глава 1. Способы прогноза по соответствующим уровням и расходам воды .....	9
1.1. Способы прогноза на беспроточных и слабопроточных участках рек .....	10
1.1.1. Определение соответствующих уровней (расходов) воды двумя методами и времени их добегания на участке по характеристическим точкам графика комбинированного уровня (расхода) воды .....	10
1.1.2. Построение графика связи между соответствующими уровнями двух постов и определение времени добегания воды на участке по крайним расходам и табличным наблюдениям за уровнем воды .....	10
1.1.3. Определение времени добегания воды на участке реки на основе принципа наименьших возмущенностей .....	11
Пример 1.1. Построение графиков связи соответствующих уровней и времени их добегания для р. Днепра на участке г. Галич—г. Могилев-Подольский по характеристическим точкам .....	12
Пример 1.2. Определение времени добегания с помощью графика соответствующих уровней воды и данных наблюдений за уровнем воды р. Днепра на участке г. Галич—г. Могилев-Подольский .....	12
Пример 1.3. Построение графика связи соответствующих уровней и времени их добегания для р. Марш на участке створа Чукутук—с. Малаяя на основе принципа наименьших возмущенностей .....	14
1.2. Способы прогноза на проточных участках .....	18
Пример 1.4. Зависимость для прогноза уровня воды Агура у с. Ковалытиново по методу соответствующих уровней .....	18
Пример 1.5. Зависимость для прогноза естественных уровней воды р. Днепра у с. Речица по сумме расходов верхних створов .....	18
1.3. Способы прогноза с учетом расчлененности паводка .....	19
Глава 2. Прогноз расходов и уровней воды, основанный на преобразованных уравнениях трансформации паводочной волны .....	21
2.1. Линейные модели трансформации для беспроточных участков .....	21
2.1.1. Определение крайних добеганий .....	25
Пример 2.1. Определение ординат кривой добегания путем решения обратной задачи .....	32
Пример 2.2. Определение параметров кривой добегания для дельты уровня воды в створе с. Казки по расходу воды в с. Усть-Шувар (р. Печора) .....	33
Пример 2.3. Установление прогнозностной зависимости для р. Прут на участке с. Корчан—г. Углич по методу Маскиган .....	35
2.2. Нелинейные модели трансформации .....	36
2.2.1. Построение кривых объемов для участка реки .....	39

Пример 2.4. Построение правой обводки воды для участка р. Оки от г. Калуга до г. Каширы по урвниному водному балансу	45
2.2.2. Расчет расходов воды по кривым обводкам	46
2.3. Дифференциальные трансформации для притоковых участков	49
2.3.1. Методы, основанные на учете сосредоточенного бокового притока	50
Пример 2.5. Выбор сосредоточенных притоков и определение коэффициентов стоковой приводки для р. Усы на участке с. Петуши — с. Азьяма	52
2.3.2. Учет распределенного бокового притока	53
Пример 2.6. Определение ordinат правой обводки бокового притока для р. Оки на участке г. Малоярославский Погост — г. Звениво	57
2.3.3. Расчет бокового притока на участке реки	59
Пример 2.7. Определение бокового притока воды на участке р. Оки от г. Калуга до г. Каширы по урвниному водному балансу	63
Пример 2.8. Расчет суммарного бокового притока на участках р. Тоны от г. Новокузнецка до г. Кемерово и от г. Кемерово до г. Тонка по данным о расходах воды	63
3.4. Практические приемы прогноза с использованием урвниных трансформации водны	65
3.4.1. Определение возможной заблаговременности при использовании кривых обводки на период абсолютности прогноза	65
3.4.2. Задание входных данных на период абсолютности прогноза	67
3.4.3. Учет начальных условий и корректировка прогноза	70
3.4.4. Примеры прогноза, основанного на использовании кривых обводки	76
Пример 2.9. Прогноз расхода воды р. Усы в створе с. Азьяма с учетом сосредоточенного притока	75
Пример 2.10. Прогноз расхода воды р. Оки в створе г. Звениво с учетом распределенного бокового притока	76
Пример 2.11. Прогноз уровня воды р. Оки в створе с. Чиндэт 1-4	78
Глава 3. Использование урвниных Сед-Венна для расчета (прогноза) расходов и урвней воды на зарегулированных участках рек	81
3.1. Численное интегрирование урвниных Сед-Венна	82
3.2. Задание морфометрических и гидрологических характеристик урвня	85
Пример 3.1. Расчет (прогноза) расходов и урвней воды в регулируемой системе русла Нижней Волги с использованием одномерной модели неустойчивого движения воды	87
Часть II. Прогноз амплитудных расходов воды для небольших водосборов	93
Глава 4. Процессы формирования речного стока и их характеристика	93
4.1. Урвнение водного баланса для небольших интервалов времени	94
4.2. Математические модели для гидрологических прогнозов	101
Глава 5. Графоаналитические способы прогноза гидрографа стока	104
5.1. Прогноз дождевых паводков на данных об осадках	104
5.1.1. Построение взаимосвязей между выпадением стоком и факторами, обуславливающими его	104
5.1.2. Метод единичного пикетажа	105
5.1.3. Подготовка исходных данных	111
5.1.4. Практические приемы прогноза дождевых паводков	113

Пример 5.1. Расчет объема и гидрографа паводочного стока р. Ринк у с. Мекторал	113
5.3. Особенности прогноза гидрографа весеннего половодья на речных реках	117
5.3. Прогноз гидрографа по осадкам или интенсивности снеготавления с учетом расхода воды в замкнутом створе	119
Пример 5.2. Расчет гидрографа дождевого паводка в створе у с. Мекторал с учетом расхода воды в замкнутом створе	126
5.4. Прогноз расходов воды по притоку в речную сеть, включенную до гидрологических данных	122
Глава 6. Прогноз талого, дождевого и тало-дождевого стока на основе математических моделей	123
6.1. Модель формирования талого, дождевого и тало-дождевого стока	123
6.1.1. Физические основы и расчетные соотношения модели	123
6.1.2. Исходные данные, используемые в модели	127
6.1.3. Определение параметров модели	129
Пример 6.1. Разработка метода прогноза снеговых расходов воды для небольшой реки	131
6.2. Модель формирования гидрографа паводков на речных реках	137
6.2.1. Описание модели	137
6.2.2. Рекомендации по определению параметров и констант модели	140
Пример 6.2. Схема прогноза расхода воды р. Оки у г. Сураж	143
6.3. Модель формирования дождевых паводков на горных водосборах	146
6.3.1. Структура модели	146
6.3.2. Определение параметров модели	147
Пример 6.3. Расчет гидрографа р. Оки у г. Солое ( $F=733 \text{ км}^2$ ) во время паводка в июне 1959 г.	160
6.4. Модель формирования весенне-летнего стока на горных водосборах	151
6.4.1. Расчет накопления снега и поступления воды на поверхность бассейна	153
6.4.2. Расчет потерь и трансформации водостокан и гидрограф стока	156
6.4.3. Определение параметров модели и корректировка прогноза	157
Пример 6.4. Методика краткосрочных прогнозов расхода в Валдайском водохранилище 1—5 сут	158
Пример 6.5. Методика краткосрочных прогнозов расхода воды р. Каралары	161
Часть III. Прогноз расходов и урвней воды для речных систем	164
Глава 7. Методы, основанные на распределении речной системы в виде цепочки частных бассейнов	164
Пример 7.1. Автоматизированные прогнозы расходов (урвней) воды для р. Петуши до с. Усть-Фы в период открытого русла	166
Пример 7.2. Автоматизированный прогноз хроника воды в каскад водохранилищ водохранилищ	170
Глава 8. Прогноз стока по условиям баланса и притоку воды в речную сеть	177
8.1. Определение урвней паводков воды с учетом влияния строения речной сети	178
Пример 6.1. Определение расхода воды в речной сети бассейна Ветви на морфометрических данных (способ Ю. В. Горбунова)	182

Пример 8.2. Определение русловых запасов р. Сож до г. Гомеля (способ Р. А. Нейнгозовского) . . . . .	188
8.3. Прогноз стока по запасам воды в русловой сети в зимнюю	191
Пример 8.3. Прогноз высоты в пределах проточных шлюза зимнего	
руслового запаса р. Сож у г. Гомеля на русловых	198
запасах . . . . .	
Пример 8.4. Прогноз средних на 6 сут расходов воды р. Оби	
у г. Бергауда ( $P=169\ 000 \text{ км}^2$ ) по русловым за-	194
пасам . . . . .	
Пример 8.5. Прогноз среднего ледяного стока р. Оси	
у с. Нижнего Игровища по русловым запасам и	194
притоку воды . . . . .	
8.8. Прогноз расходов воды по условиям в зимнем стоке . . . . .	196
Пример 8.8. Прогноз расходов воды по кривой стока в зим-	
нюю воду р. Припяти у г. Мозыря . . . . .	199
Глава 9. Физико-статистические методы краткосрочных прогнозов	
расходов и уровней воды для крупных рек . . . . .	202
9.1. Постановка задачи . . . . .	202
9.2. Метод просеивания . . . . .	206
Пример 9.1. Прогноз минимального уровня воды на р. Север-	
ной Двине с учетом отбора аргументов простран-	207
ственной зависимости методом просеивания . . . . .	
9.3. Способ разрывов . . . . .	209
Пример 9.3. Определение оптимальной кривой дообитки для	
участка р. Лены . . . . .	211
9.4. Компонентный анализ . . . . .	212
Пример 9.3. Методика прогноза характерных уровней воды	
в Северной Двине и р. Дуды . . . . .	216
Пример 9.4. Прогноз уровня воды, лимитирующего судоходство	
Пример 9.5. Прогноз средних ледяных расходов воды	222
в д. Вельды на р. Дуды с учетом неравномерно-	
сти ледяных осадков по водохранилищам . . . . .	
Пример 9.6. Сравнение кривой дообитки с помощью компо-	
нентного анализа . . . . .	226
Приложение 1. Таблица гамма-функции $\Gamma(x)$ . . . . .	229
Приложение 2. Кривые характеристика программ, использованных	
в примерах . . . . .	231
Список литературы . . . . .	235

**Практическое руководство**

**Руководство по гидрологическим прогнозам, выд. 3**

**Краткосрочный прогноз расходов и уровня воды на реках**

Редактор Е. Э. Бурлаковский. Художественный редактор В. Э. Елксин. Технический редактор Н. Ф. Гречиха. Корректор И. В. Лаврова.

И. К. Сапко и набор И. И. Б. Павленко в печать 17.06.86. М-1708. Формат 60x90. Удк. спец. № 2. Литературная редакция. Печать высокая. Печ. л. 154. Кр.-отт. 15,5. 4-е изд. л. 17,0. Тираж 250 экз. Издатель ГИДРО. Минск 14 пр. Дзерж. 1 р. 24 к. Белгосиздат. Гидрометиздат. 1986. Ленинград, ул. Вильгельма, д. 28. Ленинградская типография № 4 ордена Трудового Красного Знамени Ленинградского объединения «Книжное издательство» им. Ветерина Союзной Социалистической Федерации кнечество СССР по делам книжности, полиграфии и книжной торговли. 1986. Ленинград, Пролетарский перекресток, д.